

MINISTERUL EDUCATIEI SI INVATAMINTULUI  
INSTITUTUL POLITEHNIC "TRAIAN VUIA" TIMISOARA

Ing.ANTILA VALERIU

T\_E\_Z\_A\_D\_E\_D\_O\_C\_T\_O\_R\_A\_T

CONDUCATOR STIINTIFIC,  
Prof.dr.doc.șt.ing.POPOVICI VLADIMIR

BIBLIOTECA CENTRALĂ  
UNIVERSITATEA "POLITEHNICA"  
TIMIȘOARA

164.108

34 C

- 1983 -

# C U P R I N S U L

I n t r o d u c e r e	<u>Pag.</u>
1. Imbinări bimetal utilizate în metalurgia aluminiului. . 1	
1.1. Evoluția imbinărilor sudate în metalurgia aluminului. . . . .	1
1.1.1. Imbinări sudate Cupru-Cupru. . . . .	2
1.1.2. Imbinări sudate Aluminiu-Aluminiu. . . . .	5
1.1.3. Imbinări sudate Cupru-Aluminiu. . . . .	8
1.1.4. Imbinări sudate Oțel-Cupru. . . . .	9
1.1.5. Avantajele utilizării imbinărilor sudate. . 9	
1.2. Stadiul actual de utilizare a imbinărilor sudate în metalurgia aluminiului. . . . .	12
1.3. Imbinări Oțel-Al pentru construcția dispozitivului port-anod. . . . .	14
1.3.1. Stadiul actual de construcție al dispozitivului port-anod. . . . .	14
1.3.2. Variante constructive de dispozitiv port-anod propuse în prezenta teză. . . . .	20
1.4. Funcțiile și condițiile de exploatare ale dispozitivului port-anod. . . . .	24
2. Studii și cercetări cu privire la sudarea prin frecare a imbinărilor Oțel-Al. . . . .	28
2.1. Materiale folosite la experimentări pentru dispozitivele port-anod D P A 4,5,6 . . . . .	29
2.2. Pregătirea componentelor imbinării Oțel-Al . . .	30
2.3. Utilajul folosit la sudare. . . . .	35
2.4. Parametrii tehnologici și regimul de sudare. . .	36
2.5. Procesul de sudare. . . . .	42
2.5.1. Sudarea dispozitivelor port-anod D P A 4,5.42	
2.5.2. Sudarea dispozitivului port-anod D P A 6. .44	
3. Experimentări privind sudarea MIG a imbinărilor bimetal cu tija anodică din aliaj de aluminiu. . . . .	52
3.1. Materiale utilizate. . . . .	52
3.2. Pregătirea pentru sudare. . . . .	54
3.3. Procesul de sudare. . . . .	57
3.3.1. Sudarea MIG a dispozitivului port-anod D P A 1. . . . .	57
3.3.2. Sudarea MIG a dispozitivului port-anod D P A 3 . . . . .	58

	<u>Pag.</u>
3.3.3. Sudarea MIG a dispozitivului port-anod	60
D P A 4. . . . .	60
3.3.4. Sudarea MIG a dispozitivului port-anod	66
D P A 5. . . . .	66
3.3.5. Răcirea artificială a îmbinărilor bimetal	
la sudarea MIG a D P A 4,5. . . . .	68
4. Sudarea electrică a componentelor de oțel de la îmbinăriile bimetal cu tetrapodul din oțel. . . . .	74
4.1. Procesul de sudare. . . . .	74
4.2. Efectul sudurilor din oțel asupra rezistenței îmbinărilor bimetal. . . . .	78
5. Studii și cercetări cu privire la controlul calității îmbinărilor sudate. . . . .	88
5.1. Controlul calității îmbinărilor sudate Oțel-Al. . .	88
5.1.1. Incercări la rupere la tracțiune pentru alegerea componentei din Oțel a îmbinărilor bimetal. . . . .	88
5.1.2. Incercări mecanice pentru verificarea regimului de sudare prin frecare a D P A 4,5,6	97
5.1.3. Incercarea la fluaj a îmbinărilor Oțel-Al. .	97
5.1.4. Distribuția defectelor în sudurile Oțel-Al realizate prin frecare. . . . .	105
5.1.5. Controlul cu radiații al îmbinărilor Oțel-Al sudate prin frecare. . . . .	106
5.1.6. Cercetarea metalografică a îmbinărilor Oțel-Al sudate prin frecare. . . . .	115
5.2. Controlul calității îmbinărilor Al-Al. . . . .	124
5.2.1. Controlul calității îmbinărilor Al-Al ale dispozitivului port-anod D P A 3. . . . .	124
5.2.2. Controlul calității îmbinărilor Al-Al ale dispozitivului port-anod D P A 4 . . . . .	136
5.2.3. Controlul calității îmbinărilor Al-Al ale dispozitivului port-anod D P A 5 . . . . .	138
6. Incercările electrice ale îmbinărilor Oțel-Aluminiu . .	139
6.1. Incercări la stabilitate termică . . . . .	140
6.1.1. Efectuarea incercărilor. . . . .	140
6.1.2. Prelucrarea datelor experimentale. . . . .	143
6.1.3. Interpretarea rezultatelor . . . . .	150
6.2. Incercări dinamice la şocuri de curent. . . . .	153
6.3. Incercări electrice ale dispozitivelor port-anod D P A 1 și D P A 4 . . . . .	165

7. Organizarea producției de serie a dispozitivului port-anod . . . . .	17e
7.1. Incadrarea execuției D P A 4,5,6 în criteriile de organizare a fabricației de structuri sudate	17o
7.2. Dimensionarea atelierului de fabricație a D P A 4,5,6 . . . . .	175
8. Considerații finale și contribuții originale . . . . .	181
8.1. Considerații finale . . . . .	181
8.2. Contribuții originale . . . . .	183
Notății folosite în text	186
B i b l i o g r a f i e	188
A N E X E	199

Anexa 1 . Informare tehnică privind încercările electrice ale barelor bimetal de tip Al-Fe(Extras).

CCSIT-EP-LMP Craiova, nr.520082/06.06.1980.

Anexa 2 . Informare tehnică privind încercările electrice ale dispozitivelor port-anod DPAl și DPA4 (Extras) CCSIT-EP-LMP Craiova, nr.520085/14.06.1980.

Anexa 3 . Sudarea prin frecare a aluminiului, aliajelor de aluminiu cu OL37(Extras).ISIM-Timișoara, nr.1763 și 1781 din 1981.

Anexa 4 . Rezultatele încercării la fluaj a îmbinărilor sudate oțel-aluminiu.ISIM- Timișoara, nr.13661/10.02.1981.

Anexa 5 . Aviz CTE. Intreprinderea de Aluminiu Slatina, nr.53/16.01.1982.

Anexa 6 . Hotărîre privind acordarea brevetului de invenție, nr.79.000. OSIM- București, nr.12/15.01.1982.

## INTRODUCERE

In țara noastră, în ultimii ani, metalurgia metalelor neferoase s-a dezvoltat deosebit de rapid. În prezent, prin întreprinderile de aluminiu din Oradea și Tulcea și de aluminiu din Slatina, se asigură Al și aliajele sale, care se folosesc în diverse ramuri ale industriei, pe o scară tot mai mare. În procesul de fabricație electrolitică a Al, tija dispozitivului de susținere a blocului anodic în cuva de electroliză se execută din aliaj de Al. Ca tonaj, Al ocupa al doilea loc în lume după oțel și întrece cu mult fiecare din celelalte metale neferoase.

Dezvoltarea construcțiilor din aliaj de Al este în strânsă legătură cu progresele realizate în ultimele decenii la sudarea lor prin diferite procedee moderne. Astfel, după un început promițător de sudare a Al și aliajelor sale cu arcul electric și sudarea cu gaze, o extindere deosebită a îmbinărilor din Al a fost obținută prin progresele procedeelor de sudare în mediu de gaze inerte WIG și MIG. Extinderea utilizării industriale a sudării prin explozie a făcut posibilă aplicarea acestui procedeu și în industria Al. În prezent, pentru asamblarea partilor componente din metale diferite ale dispozitivului care susține blocul anodic în cuva de electroliză, se folosește o placă Oțel-Al sudată prin explozie. În cadrul prezentei teze de doctorat s-a adoptat o soluție proprie de realizare a îmbinărilor Oțel-Al pentru metalurgia Al cu procedeul de sudare prin frecare. Sudarea prin frecare a îmbinărilor Oțel-Al pentru dispozitivul port-anod, sudarea MIG a componentelor din Al ale îmbinărilor bimetal cu tija anodică din aliaj de Al, controlul calității acestor îmbinări, încercările electrice la stabilitate termică și încercările dinamice la șocuri de curent a îmbinărilor Oțel-Al sudate prin frecare constituie tematica studiilor și cercetărilor desfășurate în prezenta lucrare. Teza de doctorat este constituită din 8 capitole și cuprinde 198 file text, 51 tabele, 104 figuri, 54 macro și microfotografii și 10 file anexe.

Pe capitol, lucrarea prezintă urmatorul conținut:

În capitolul 1 se arată evoluția îmbinărilor sudate în metalurgia Al și se examinează critic în raport cu stadiul actual

de dezvoltare a procedeelor de sudare. Solutiile adoptate pentru realizarea imbinarilor Otel-Al ale dispozitivului port-anod se analizeaza comparativ, intre variantele constructive propuse in teza si variantele care se utilizeaza in prezent. In vederea trecerii la realizarea programului de cercetari, se definesc functiile si conditiile de exploatare ale dispozitivului port-anod.

Capitolul 2 cuprinde studiile si cercetările efectuate pentru sudarea prin frecare a imbinarilor Otel-Al. Toate aceste imbinari se execută cu o componentă din aliaj ATSi5Fe. Se sudează prin frecare şapte tipuri de probe bimetal cu componenta din otel din mărci diferite, întrucât rezistența imbinării este influențată de comportarea la sudare a oțelului cu aliajul din Al. Capitolul se încheie cu procesul de sudare prin frecare a imbinarilor Otel-Al ale variantelor dispozitivului port-anod propuse în prezența teză.

O atenție deosebită se acordă experimentărilor privind sudarea MIG a imbinarilor bimetal cu tija din aliaj de Al (capitolul 3). Se optimizează tehnologia de sudare a dispozitivului port-anod, care se utilizează în prezent în metalurgia Al, prin creșterea secțiunii rostului de sudare și sudarea imbinarilor Al-Al pe garnituri din otel. Cusăturile rezultă fără defecte la rădăcină și corespundător formate pe toată grosimea de imbinare. Racirea imbinarilor bimetal este necesară la sudarea MIG a imbinarilor Al-Al deoarece temperatura nu trebuie să depășească, după valorile recomandate în literatura tehnică de specialitate, 673 K în cazul combinațiilor Al cu oteluri obișnuite și 873 K în cazul perechilor de materiale Al-Otel inoxidabil. Se arată două dispozitive de racire cu apă respectiv cu aer comprimat, a imbinarilor Otel-Al sudate prin frecare. Din cauza formei constructive, la dispozitivul port-anod utilizat în prezent, nu se poate asigura racirea fortată a imbinării bimetal sudată prin explozie.

Se elaborează tehnologia de sudare a imbinarilor Otel-Otel și se arată două dispozitive de racire cu aer comprimat a imbinarilor Otel-Al la sudarea electrică a dispozitivului port-anod (capitolul 4). Se analizează starea de tensiune a imbinarilor

bimetal în timpul sudării cusăturilor **Otel-Otel**. Cu datele efective ale măsurătorilor se obțin valorile tensiunilor introduse în sudurile executate prin frecare, ca urmare a înglobării în construcția dispozitivului port-anod a îmbinărilor **Otel-Al** sudate prin frecare. În continuare, trei dispozitive port-anod complet sudate se încearcă la tractiune, la temperatura normală. Rezultă că, după asamblarea în construcția dispozitivului port-anod executat în variantele cu sudura **MIG** și electrică, capacitatea portantă a îmbinărilor **Otel-Al** sudate prin frecare se reduce, comparativ cu valorile existente înainte de asamblare. Această concluzie se afirmă atât prin analiza experimentală a tensiunilor cît și prin rezultatele încercării la rupere.

In acest stadiu al experimentărilor, cercetările cuprinse în prezența teză s-au orientat în direcția realizării unui dispozitiv port-anod fără îmbinări **Al-Al** sudate **MIG** și fără îmbinări **Otel-Otel** sudate electric. Studiile efectuate s-au finalizat cu sudarea prin frecare a subansamblului din oțel direct pe subansamblul din **Al**, astfel încât dispozitivul port-anod se execuță cu un singur procedeu de sudare.

In capitolul 5 se prezintă studiile și cercetările cu privire la controlul calității îmbinărilor sudate **Otel-Al** și **Al-Al**. Metodele de control care se utilizează sunt următoarele: încercări mecanice, metoda colorării, controlul cu radi și penetranță, analiza chimică și analiza metalografică. După programul urmat, se deosebesc două programe de încercări:

- controlul calității pentru alegerea unei marci de oțel cu o bună comportare la sudarea prin frecare cu aliajul **ATSi5Fe**;
- controlul calității pentru verificarea regimurilor de sudare și a îmbinărilor sudate ale dispozitivului port-anod.

In cadrul urmăruim program de încercări probele, care au provenit din sudarea prin frecare a aliajului **ATSi5Fe** cu șapte marci de oțeluri, se încearcă la tractiune la temperatura normală și în regim termic de scurtă durată, la 473K și 633 K. În urma efectuării acestor încercări s-a stabilit că, dintre perehile de materiale cercetate, combinația **OL37-ATSi5Fe** este corespunzătoare pentru îmbinările bimetal sudate prin frecare ale dispozitivului port-anod.

Pentru aprecierea comportării la încălzire de lungă durată se efectueauă încercarea la fluaj a îmbinărilor OL37-ATSi5Fe. Se constată că influența temperaturii asupra rezistenței la rupere a îmbinărilor Oțel-Al sudate prin frecare este diferită în funcție de durata de exploatare a dispozitivului port-anod. Astfel, cea mai intensă interdependență se înregistrează pînă la 1000 ore de funcționare, ceea ce corespunde cu 1,48 cicluri de utilizare în cuvele pentru fabricația electrolitică a Al. Intervalul care urmează după durata critică de funcționare se caracterizează printr-o influență redusă a temperaturii asupra rezistenței la rupere a îmbinărilor bimetal. Verificarea regimului de sudare prin frecare a îmbinărilor Oțel-Al pentru dispozitivul port-anod se face prin încercări la tractiune. În continuare, se cercetează distribuția defectelor în sudurile Oțel-Al prin reducerea în trepte a diametrului îmbinărilor bimetal și controlul prin metoda colorării a suprafețelor respective. Din diagramele de distribuție se constată creșterea numărului și mărimei defectelor de la exterior înspre centrul sudurii Oțel-Al, apoi se analizează cauzele tehnologice care provoacă această distribuție. Controlul cu radiații se efectuează pe MB-Al pentru admiterea materialului turnat la sudarea prin frecare a dispozitivului port-anod. În acest scop se realizează 450 expuneri radiografice. Pentru interpretarea radiografiilor se elaborează criterii de apreciere a calității componente din ATSi5Fe, pe baza controlului radiografic. Rezultatele analizei metalografice se prezintă în încheerea cercetărilor cu privire la controlul calității îmbinărilor Oțel-Al sudate prin frecare. Prin analiza metalografică se confirmă că MSF-40, spre deosebire de ZTa-10, asigură condițiile de calitate pentru execuția îmbinărilor bimetal de grosimi mari ( $\phi$ 60... $\phi$ 90 mm), ale dispozitivului port-anod. Capitolul se încheie cu controlul calității îmbinărilor Al-Al. Din studiul macrostructural se constată că, în varianta propusă în teză, față de varianta dispozitivului port-anod utilizată în prezent, garnitura din oțel contribuie la formarea corectă a rădăcinii, îmbinările Al-Al rezultînd compacte și fără defecte specifice îmbinărilor care nu se sudează pe garnituri.

Categoria următoare de încercări o constituie încercările electrice ale îmbinărilor Otel-Al (capitolul 6). Prin încercări de stabilitate termică se obțin 462 date experimentale, care se prelucrează statistic, apoi se reprezintă curbele de încălzire ale îmbinărilor bimetal sudate prin frecare. Se analizează încălzirile produse sub efectul termic al curentului electric în componente din otel și Al, precum și în sudura prin frecare. De asemenea se compară valorile coeficientului unghiular al curbelor de încălzire și vitezele de încălzire. Pe baza rezultatelor obținute la încercările de stabilitate termică se constată că îmbinările Otel-Al sudate prin frecare corespund, din punct de vedere al conducerii curentului electric, pentru a fi utilizate în procesul de fabricație electrolitică a Al. În continuare se arată încercările dinamice la șocuri de curent, la care se obțin 252 date experimentale. Încercările electrice sunt efectuate și în condiții de solicitare echivalente ale variantelor dispozitivului port-anod sudate prin explozie și prin frecare. Temperatura și căderile de tensiune se determină raportindu-se la aceleasi puncte de măsurare. Se constată că, în varianta sudată prin frecare, se asigură condiții mai bune de răcire și o temperatură de exploatare mai coborâtă a îmbinărilor Otel-Al, comparativ cu varianta sudată prin explozie. Se menționează, de asemenea, că pierderile de energie electrică pe dispozitivul port-anod sudat prin frecare, care se pronunță în prezentă teză, reprezintă numai 19% din pierderile de energie electrică înregistrate pe dispozitivul port-anod care se utilizează în prezent în metalurgia Al.

Având în vedere că anumite rezultate ale tezei sunt deja parțial introduse în producție, în capitolul 7 se prezintă organizarea unui sector corespunzător pentru fabricația de serie a dispozitivului port-anod sudat prin frecare.

Teza de doctorat se încheie cu capitolul 8 în care se evidențiază considerațiunile finale și câteva din revendicările mai importante tehnico-științifice ale autorului.

Teza este completată cu anexe și bibliografia cercetată.

Rezultatele obținute și concretizate în prezentă teză de doctorat sunt urmărea unei activități de cercetare a autorului, desfășurată de o durată de peste opt ani sub îndrumarea sistematică

tică a conducerului științific, tovarășul prof.dr.doc.șt.  
ing.VLADIMIR POPOVICI.

Partea experimentală a lucrării a fost executată în laboratoarele Institutului de Subingeri din Reșița, ca și într-o serie de întreprinderi și institute de cercetări. Dintre acestea se menționează următoarele:

- Institutul de Sudură și Încercări de Materiale din Timișoara pentru încercări la fluaj și lucrări de sudare prin frecare cu mașina MSF-40;
- C.C.S.I.T. Electroputere Craiova, laboratorul de mare putere, pentru încercări electrice de stabilitate termică și încercări la șocuri de curent ale dispozitivului port-anod sudat prin frecare;
- Intreprinderea de Construcții de Mașini din Reșița pentru încercări mecanice, analiza metalografică și tur-narea tijei din ATSi5Fe a dispozitivului port-anod sudat prin frecare;
- Intreprinderea Mecanică din Reșița pentru dispozitive de sudare;
- Intreprinderea de Construcții Metalice din Bocșa pentru control nedistructiv cu radiații penetrante;
- Intreprinderea de Aluminiu Slatina pentru pre-lucrări mecanice, lucrări de sudare prin topire și urmărirea comportării dispozitivului port-anod sudat prin frecare în cuvete pentru fabricația electrolitică a AL;
- Centrul de Cercetări și Proiectări pentru Tehnologia Aluminiului Slatina pentru colaborări la asamblarea construcției metalice a dispozitivului port-anod, care s-a propus în prezența teză, cu blocul de anodi precopți pulverizați.

Indeplineșc o datorie de conștiință exprimând pe această cale o profundă recunoștință conducerului meu științific tovarășului prof.dr.doc.șt.ing.Vladimir Popovici, pentru înaltă competență cu care a îndrumat eforturile mele de cercetare științifică, pentru tactul și bunăvoița cu care m-a înconjurat, în momentele inherent dificile care apar într-o activitate de mare extindere și lungă durată.

..

Adresez cele mai alese si călduroase multumiri tovarăsilor ing.**Gheorghe Paraschiv**, inginer șef si ing.**Vladimir Economu**, sef serviciu tehnic de la Intreprinderea de Aluminiu din Slatina, pentru sprijinul permanent si pentru efortul generos cu care au asigurat baza materială a cercetării astfel ca realizarea practică a părții experimentale din teză să fi putut deveni posibilă. Prezint de asemenea cele mai sincere multumiri ing.**M.Cezarie**, ing.**E.Munteanu** si ing.**S.Văduva** din cadrul serviciului tehnic, pentru ajutorul consecvent si substanțial pe care mi l-au acordat în interesul studiilor si cercetărilor cuprinse în teză.

Voi multumiri exprim tovarăsului ing.**Ion Arjoca** si colectivului de sudare prin frecare al **ISIM Timisoara**, pentru afirmarea unui remarcabil spirit de colaborare si efectuarea unor valoroase lucrări de sudare a dispozitivului port-anod.

Deosebite multumiri adresez colegilor mei care m-au ajutat si înțeles în legătură cu teza de doctorat.

## 1.-IMBINARI BIMETAL UTILIZATE IN METALURGIA ALUMINIULUI

**Metalurgia Al** cuprinde operațiile tehnologice pentru obținerea și prelucrarea în semifabricate a Al. Folosirea îmbinărilor sudate în metalurgia Al este strîns legată de dezvoltarea proceselor tehnologice de fabricație electrolitică.

### 1.1.-Evolutia îmbinărilor sudate în metalurgia aluminiului

Îmbinări Cu-Cu, amolasate în partea anodică a unor cuve experimentale, s-au sudat cu flacără de gaz încă din anul 1934. Din 1940 a fost însusită sudarea cu electrod de cărbune a șinelor din Al de secțiuni mari. În perioada celui de al doilea război mondial s-au efectuat primele încercări de sudare cu gaz a benzilor din Cu cu tijele din otel care se află în partea catodică a circuitului electric al cuvei. Aceste tipuri de îmbinări au fost demontabile iar suprafețele de contact s-au rabotat pentru a se obține un contact electric satisfăcător. Îmbinările cu suprafețe nerabotate s-au suprainselzit în timpul exploatarii. Tijele din otel suprainselzite din cauza unui contact necorespunzător s-au răscit redede după sudarea cu sinele din Cu și s-a obținut o cădere de tensiune mai mică decât la îmbinările realizate prin strîngere. Astfel a anșrut ideea sudării îmbinărilor Cu-Otel în metalurgia Al. În 1943 s-a experimentat în condiții industriale sudarea îmbinărilor Cu-Al din partea anodică a cuvelor de electroliză (figura 1.1). În 1947 s-a realizat un nou tip de îmbinare tija catodica din otel - sîră de Cu și s-a elaborat o tehnologie de sudare cu arc electric a Cu cu otelul. În 1950

s-au obținut îmbinări sudate Cu-Al. O cuvă de mare capacitate, model 1952, prezintă următoarele tinuri de îmbinări sudate: Cu-Cu, Al-Al, Cu-Al, Otel-Cu (figura 1.2).

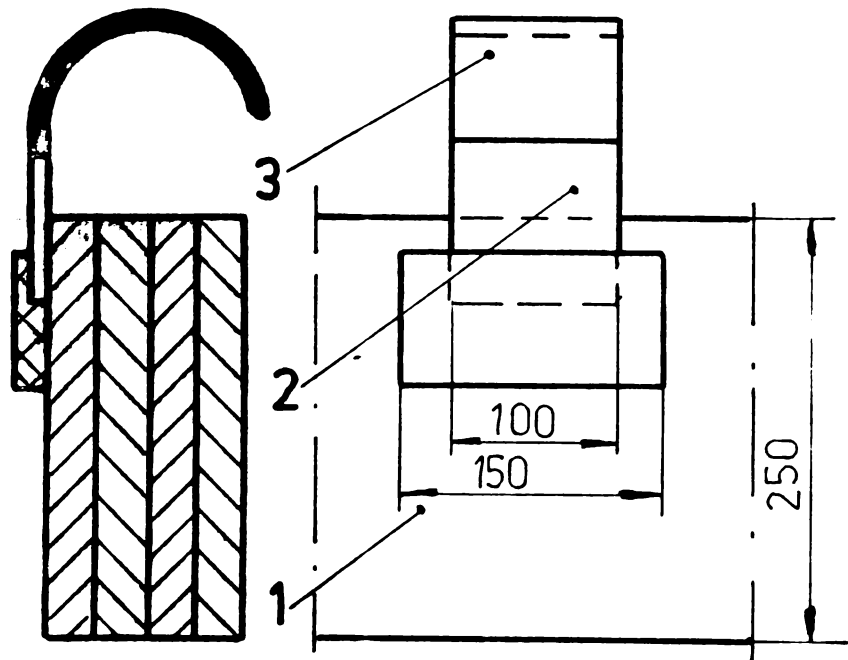


Fig.1.1.-Îmbinare sudată Al-Cu (1943)  
1-șină din Al; 2-șină din Cu 10x100 mm  
3-pachet de benzi 1x100

#### 1.1.1.-Îmbinări sudate Cupru-Cupru

Îmbinările Cu-Cu se referă la legăturile anodice și catodice și din 1934 se execută prin sudare. Legătura anodică se stabilește între pachetul flexibil al benzilor și sinele rigide. La unele cuve de electroliză benzile din Cu catodic se îmbină cu bara catodică din Al în sistemul pachet (figura 1.3). La astfel de noduri se necesită numeroase operații de demontare întrucât se cere curățirea periodică a fiecărei benzi de ambele părți, iar numărul benzilor ajunge pînă la 48 într-un nod. Pentru diminuarea acestui neajuns s-au sudat mai multe benzi elastice ale pachetului din Cu de cîte o placă din Cu de 20x250x300 mm (figura 1.4). Prin aceasta, numărul suprafețelor de protejat s-a redus vînă la 10 iar cădereea de tensiune de îmbinare a scăzut. Îmbinări de tip Cu-Cu se află în

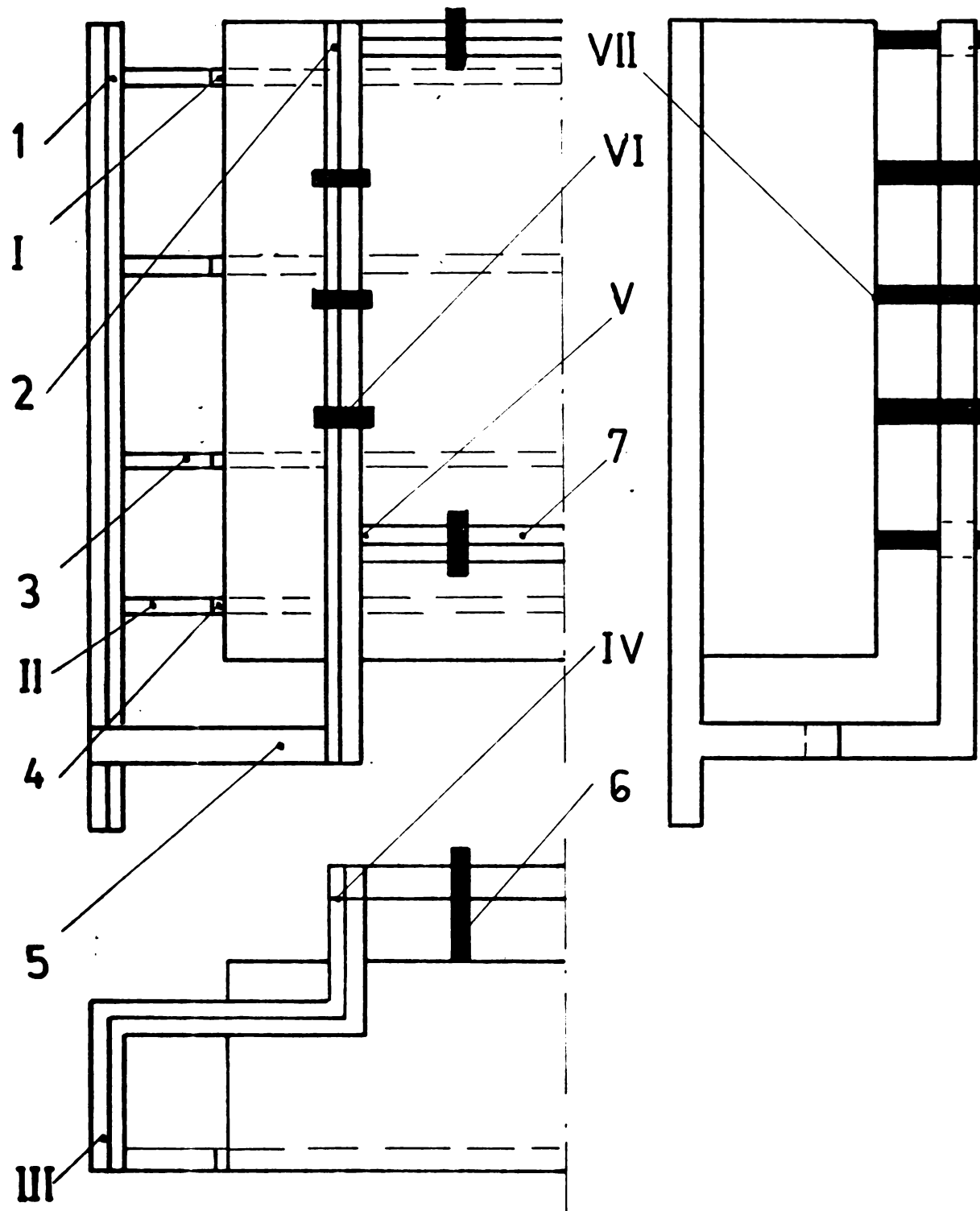
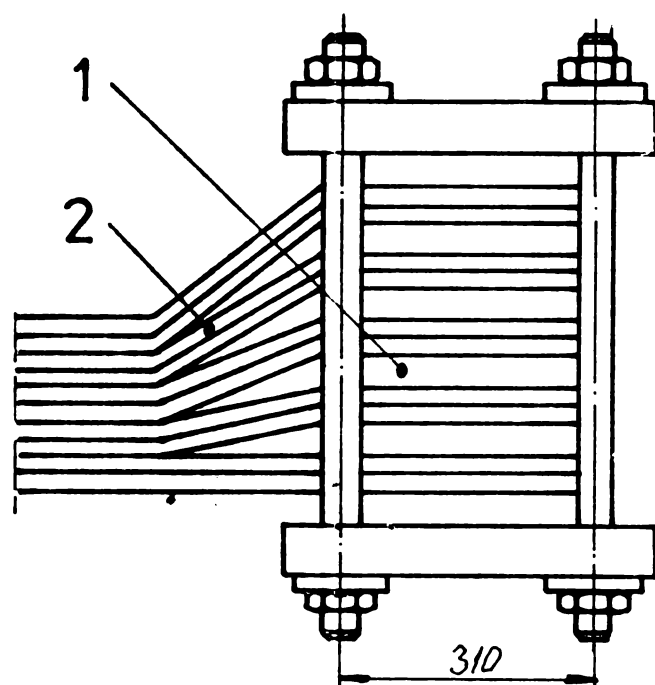
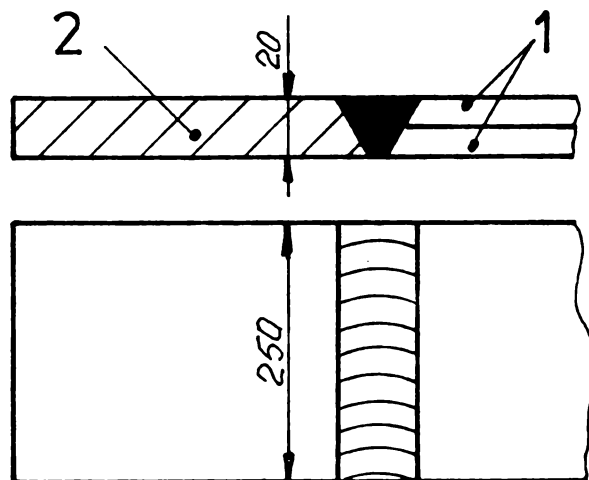


Fig.1.2.-Schema unci cu iarbări sudate (anul 1952): 1-bară catodică (Al); 2-bară catodică (Al); 3-benzi elastice (Cu); 4-tijă (otel); 5-suport anodic (Al); 6-Cu anodic; 7-sină compensatoare (Al).

Imbinări sudate: I-Otel-Cu; II-Cu-Al; III, IV, V - Al-Al;  
VI- Cu-Al; VII- Otel-Cu.

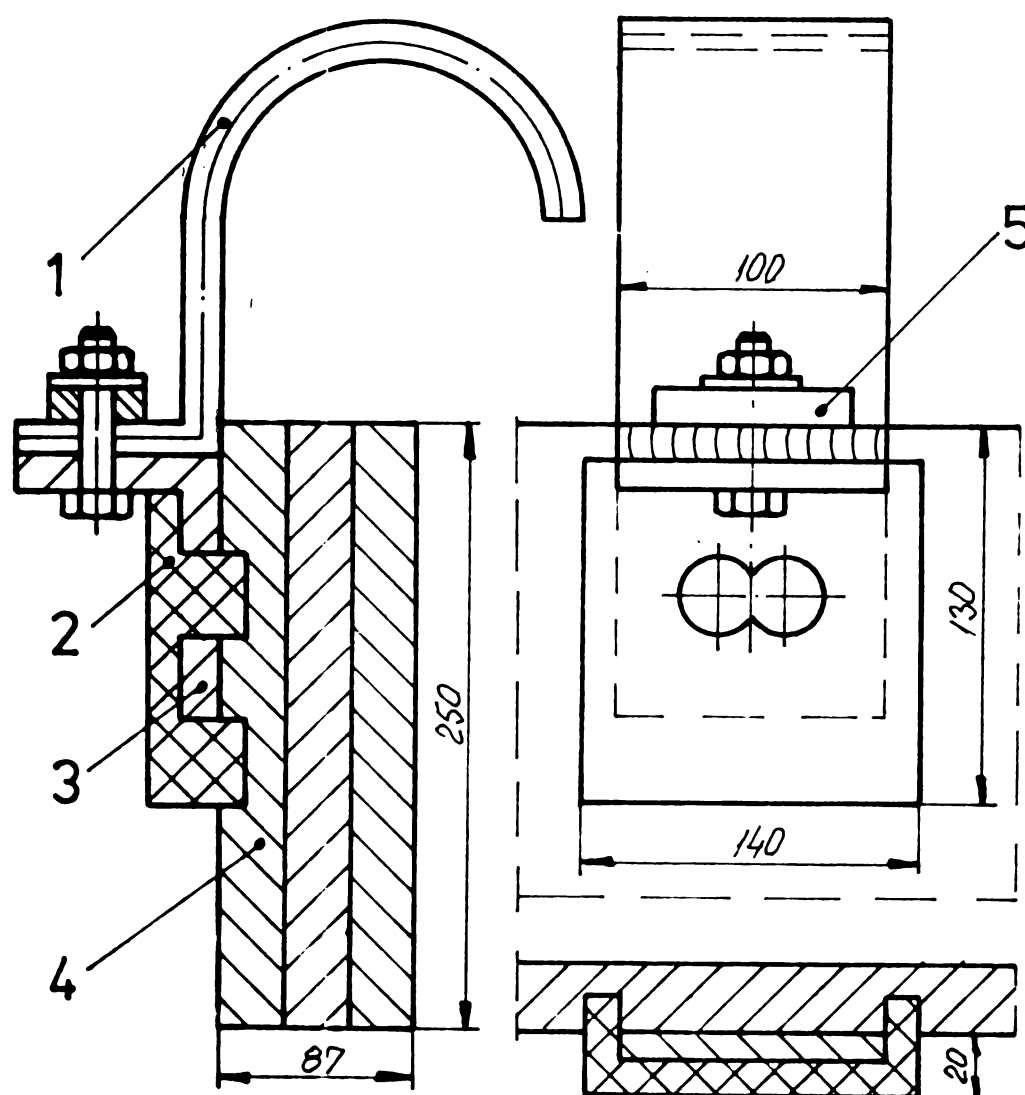


**Fig.1.3.-Imbinare demontabilă între bara catodică din Al(1) și pachetul cu benzi elastice din Cu (2)**

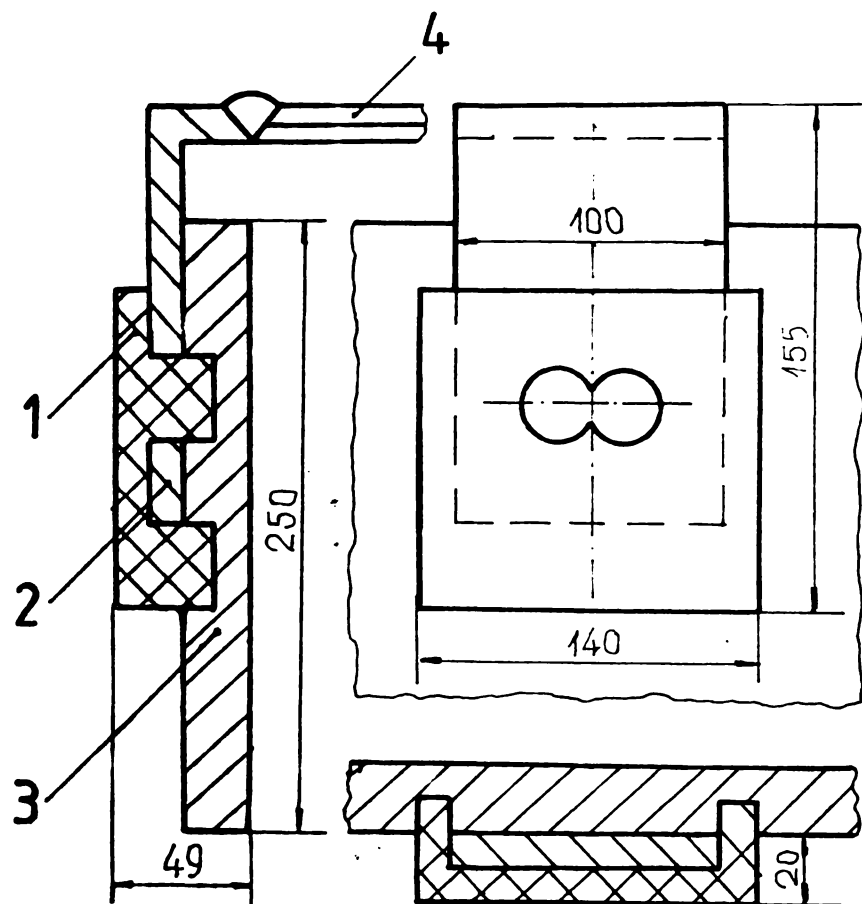


**Fig.1.4.-Sudarea benzilor elastice din Cu (1) cu o placă de Cu (2)**

redurile II (figura 1.5) și VI (figura 1.6).



**Fig.1.5.-Nod sudat de tip VI (Cu-Al):**  
**1-pachetul benzilor din Cu anodic;**  
**2-metal depus prin sudare;**  
**3-suport din Cu;**  
**4-sină din Al;**  
**5-placă de strângere lox<sup>35x80mm</sup>.**



**Fig.1.6.-Nod sudat de tip II (Cu-Al):** 1-metal denus prin sudare; 2-suport din Cu; 3-sină din Al; 4-pachetul benzilor din Cu catodic

Pe aceste îmbinări nu rezultă căderi de tensiune, cu condiția ca secțiunea cusăturii să fie egală cu secțiunea conductorului electric.

### 1.1.2.-Îmbinări sudate Aluminiu-Aluminiu

Îmbinările sudate Al-Al se execută între subansambluri mari și grele ale cuvelor de electroliză. Astfel, s-a sudat nodul IV (figura 1.2) între bara anodică și suportul anodic. În timpul demontării pachetului anodic, dezavantajele unei asemenea îmbinări sudate au devenit evidente. Comparativ, sudarea suportului anodic cu bara catodică s-a dovedit mai oportună, deoarece pachetul catodic nu se demontaază la reparația capitală a cuvei. Când nodul III a fost sudat (figura 1.7), la montarea sau demontarea barei anodice s-au folosit tiranți care au menținut suporturile anodice în poziție verticală, cu pachetele anodice decurlate (figura 1.8).

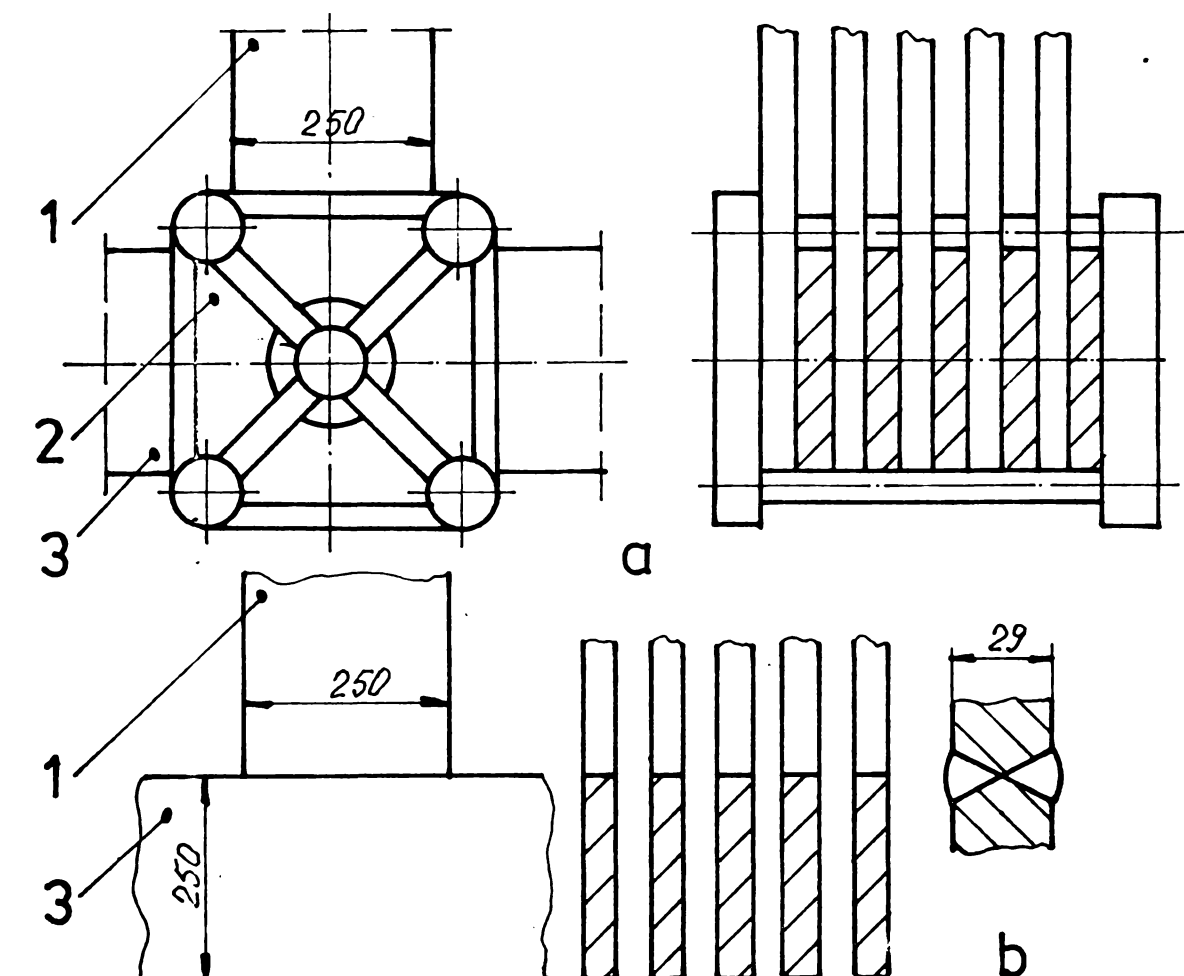


Fig.1.7.-Nod de tip III:  
a) varianta demontabilă;  
b) varianta sudată;  
1-suport anodic; 2-blacă din oțel; 3-bară catodică .

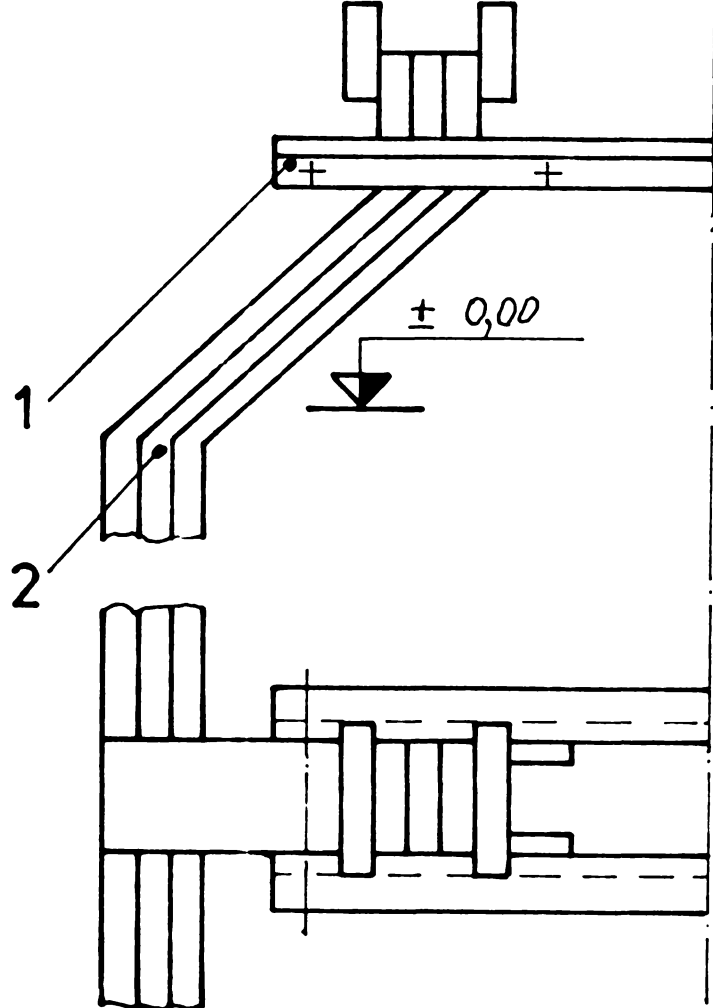


Fig.1.8.-Tirant pentru  
sustinerea suportului  
anodic: 1-tirant;  
2-suport anodic .

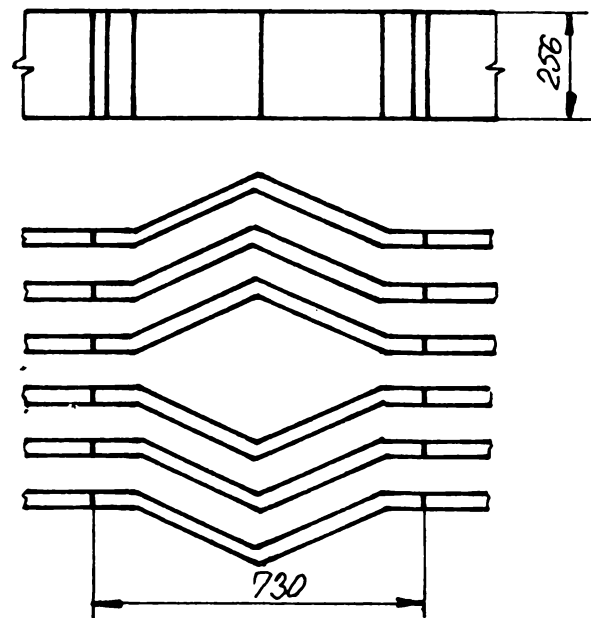


Fig.1.9.-Compensator de dilatație

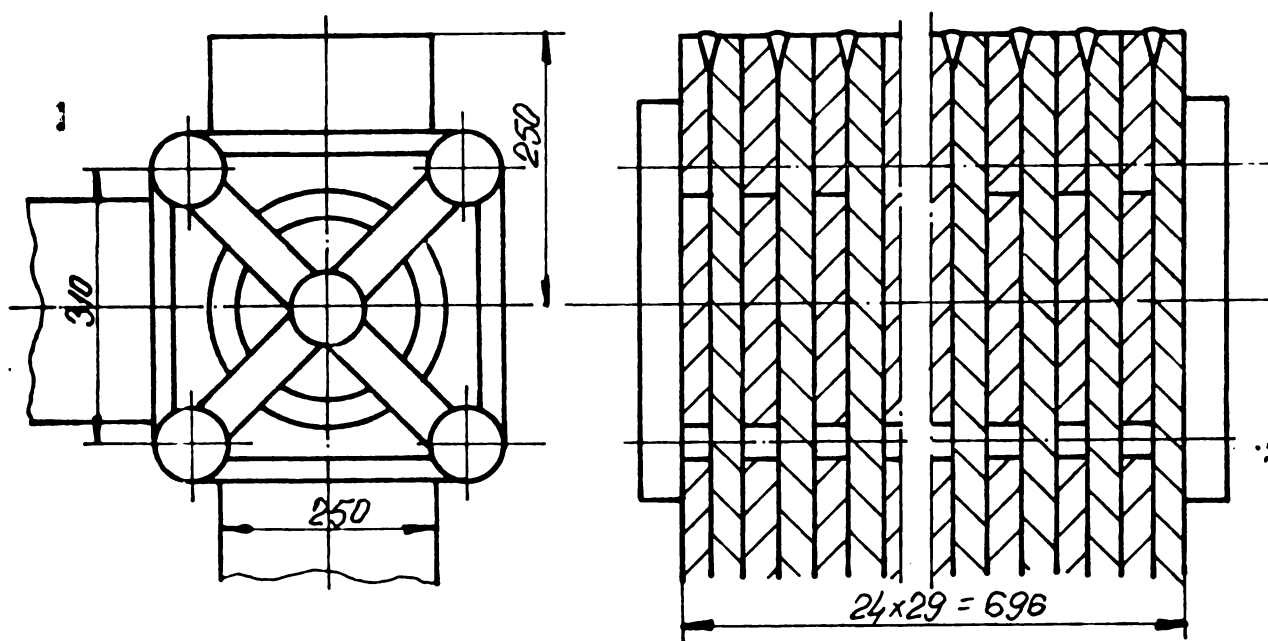


Fig.1.10.-Imbinare sudată între sine din al disuse perpendicular

In varianta sudată se execută de asemenea compensatoarele de dilatație (figura 1.9) și nodurile unghiulare de contact între coruri (figura 1.10).

#### 1.1.3.-Imbinări sudate Cupru-Aluminiu

Imbinările Cu-Al sunt folosite cel mai des la asamblarea cuvelor de electroliză și reprezintă 54% din numărul total de imbinări metalice ale cuvei. O imbinare Cu-Al este reprezentată în figura 1.5. Suportul 3 din Cu se sudează de șina 1 din Al și se folosește o imbinare suplimentară cu șuruburi de strigere. Imbinarea de tip VI, în construcție demontabilă, se arată în figura 1.11. În unele variante s-a eliminat indoirea Cu anodic. Pachetul de benzi s-a orientat în jos, direct spre tija din otel prin modificarea imbinării sudate (figura 1.12).

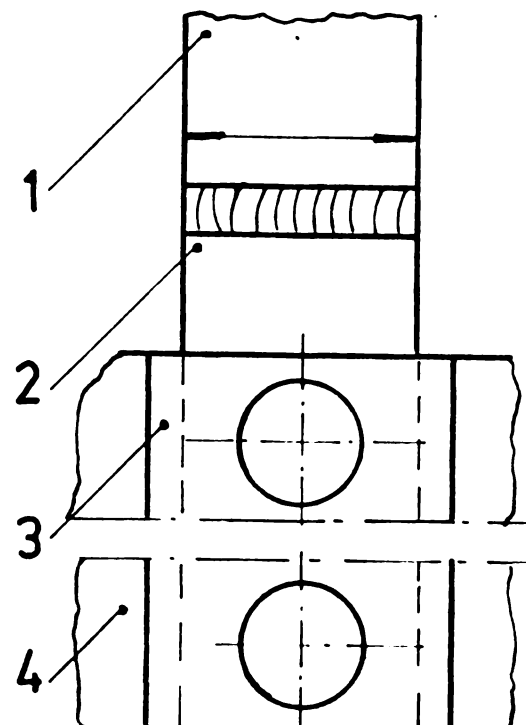
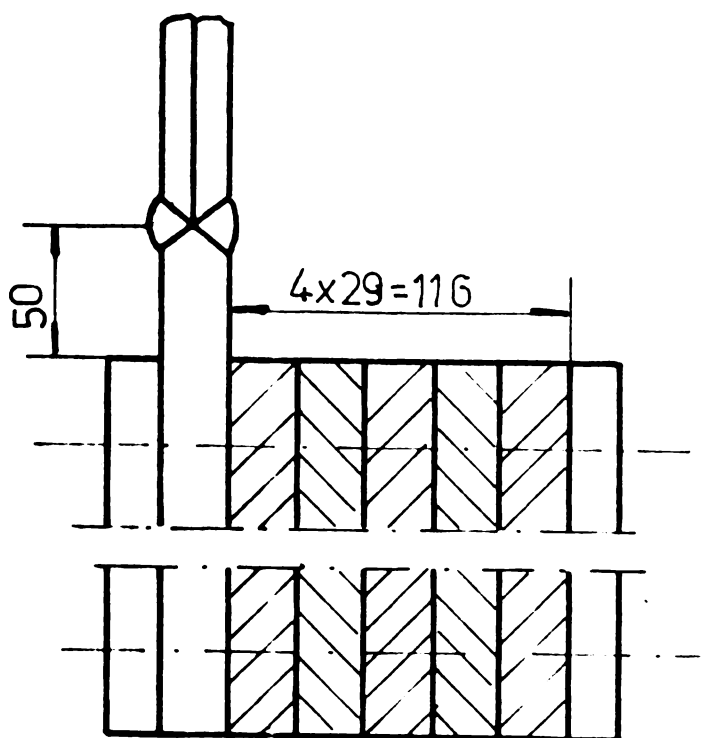


Fig.1.11.-Nod demontabil de tip VI (Cu-Al): 1-benzi din Cu anodic; 2-placă din Cu; 3-placă din otel; 4-Al anodic .

#### 1.1.4.-Imbinări sudate Otel-Cupru

Imbinările Otel-Cupru au reprezentat 12,6% din numărul total de imbinări metalice ale cuvelor de electroliză. Nodul sudat

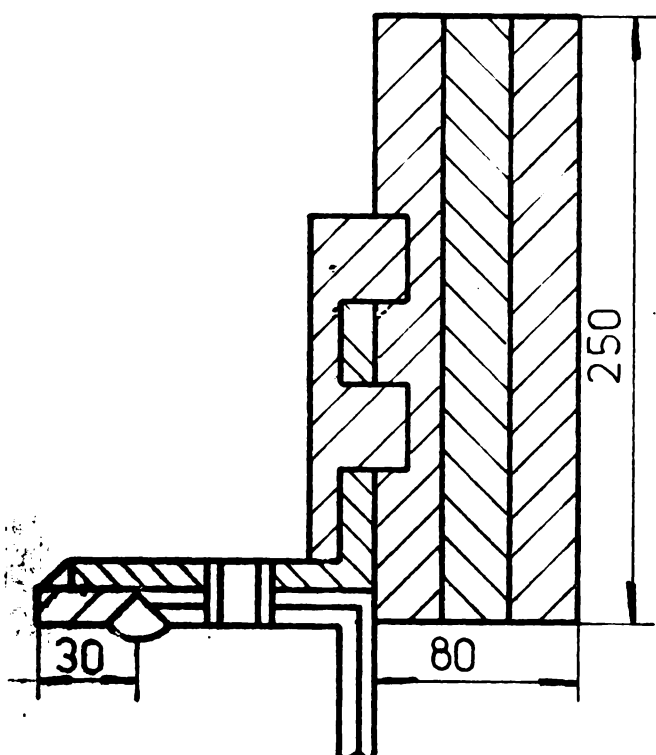


Fig.1.12.-Nod sudat de tip VI  
(Cu-Al)

otel și s-au sudat cap la cap cu componente din Cu, care s-au sudat de tije anterior.

I O<sub>tel</sub>-Cu împreună cu nodul II

Cu-Al se arată în figura 1.13.

Sudurile O<sub>tel</sub>-Cu s-au executat electric cu electrod de carbune. Suprafața cusurilor s-a mărit cu două electronituri.

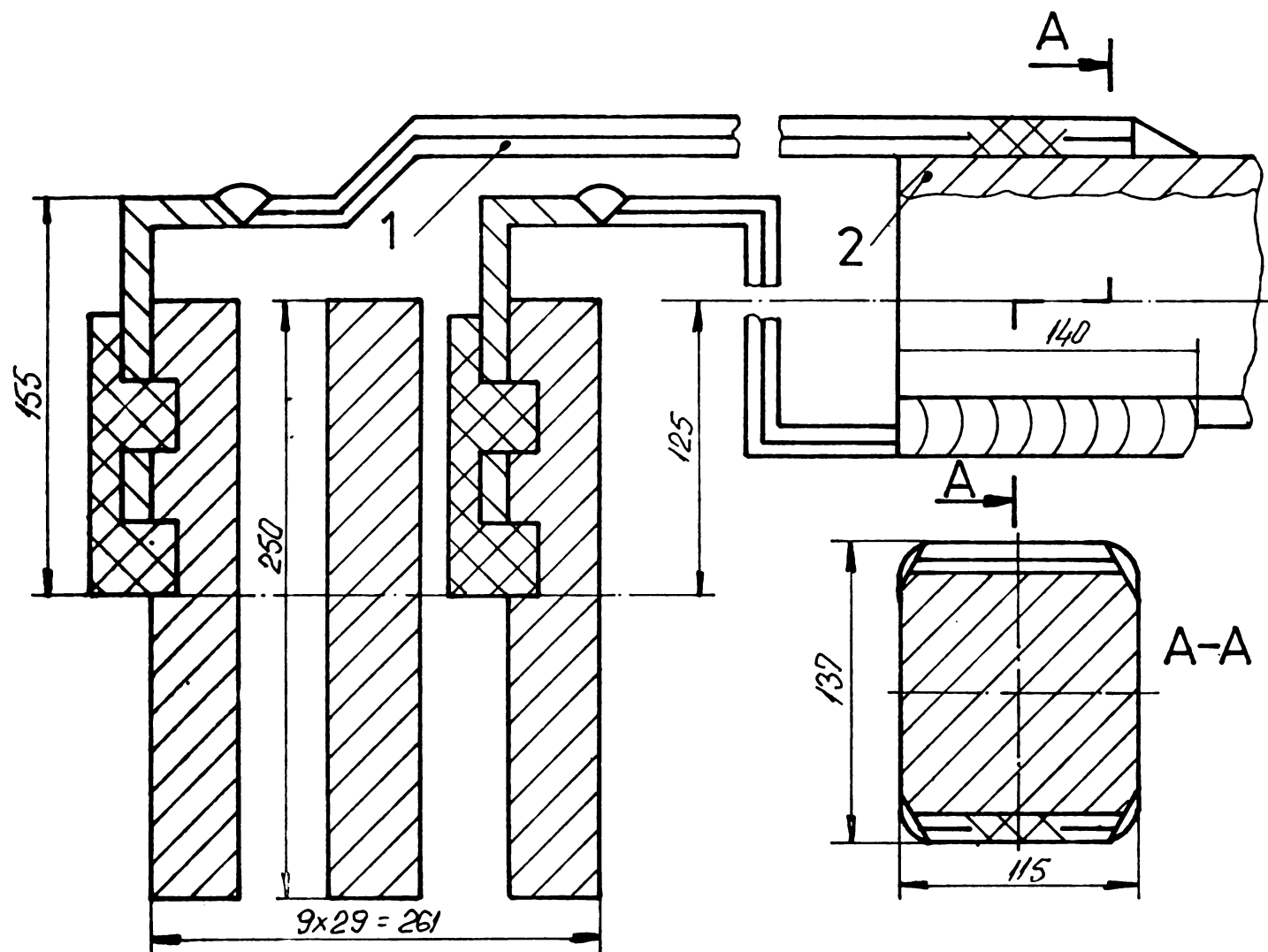
In figura 1.14 se prezintă imbinarea sudată a tijelor din oțel cu partea superioară (a) respectiv inferioară (b) a pachetului din Cu. Pachetele elastice din Cu catodic au trecut deasupra sau sub tijele din

#### 1.1.5.-Avantajele utilizării imbinărilor sudate

Avantajele importante ale utilizării imbinărilor sudate în metalurgia Al sănt următoarele:

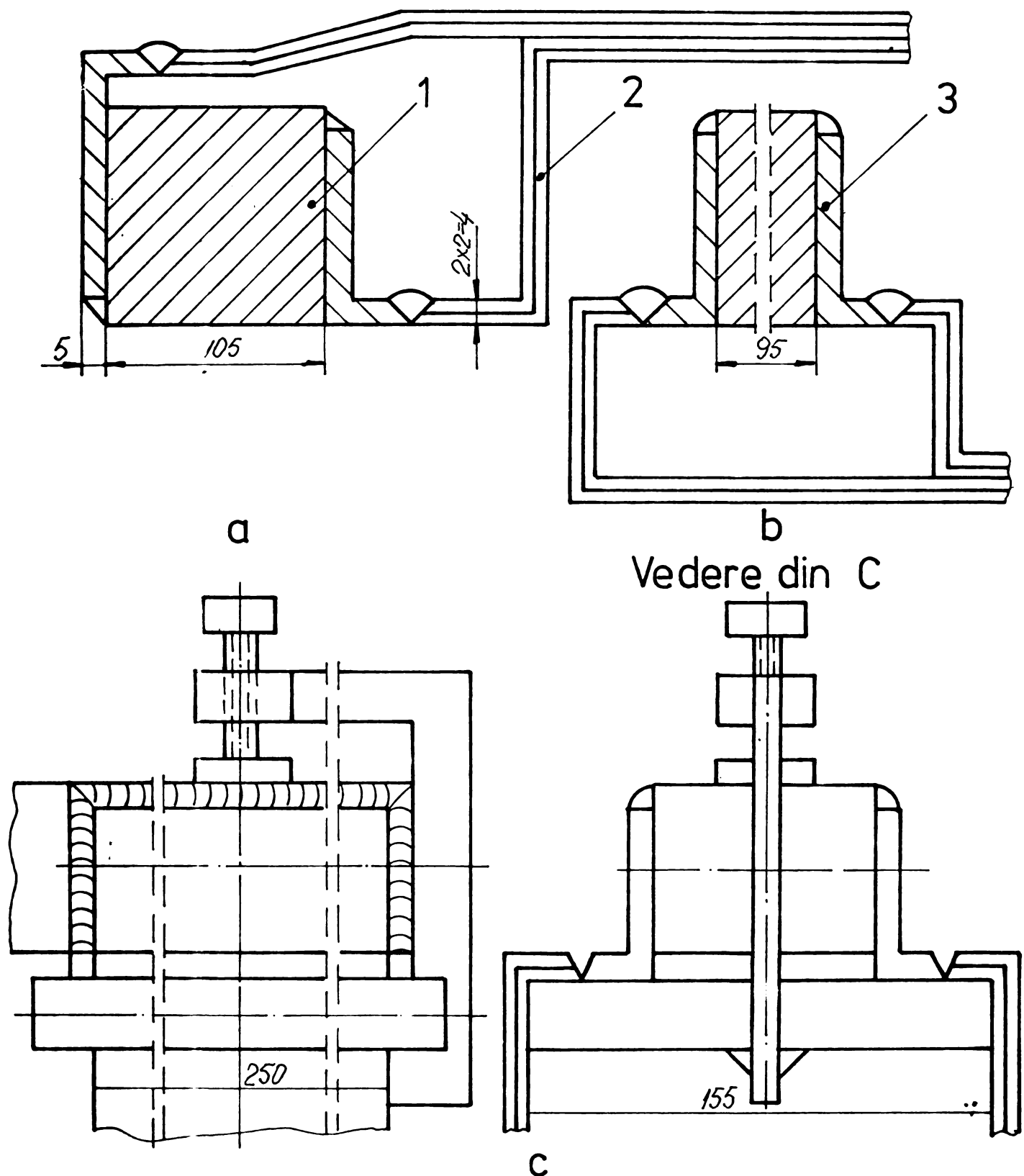
-economie de energie electrică pînă la 15% în timp ce la imbinările prin strîngere pierderile de energie electrică cresc, ca urmare a rezistenței electrice mari și a oxidării suprafețelor de contact;

-economie de metale feroase și neferoase întrucît se elimină plăcile, bolțurile, viulivele și rondelile de strîngere, etc;



**Fig.1.13.-Noduri sudate de tip I (Otel-Cu) și II (Cu-Al);**  
1-benzi din Cu; 2-tijă din otel .

- se elimină operațiile de rabotare a capetelor tijelor catodice și de găurire a tijelor, sinelor și plăcilor de strângere;**
- se reduce substanțial numărul măsurărilor pentru controlul căderilor de tensiune în îmbinări și nu este necesară operația de curățire a suprafețelor de contact;**
- se reduce durata și costul lucrarilor deoarece materialele ajung la locul de montaj sub formă prefabricată și se crează posibilitatea execuției lucrașilor cu metode industriale rapide.**



**Fig.1.14.** -Nod sudet la tîn I (Oval-Cu): a-dispozitivul superioară a Cu catodic; b-dispozitivul inferioră a Cu catodic; c-dispozitiv de sudare; 1-tijă lini oval; 2-bunci din Cu catodic; 3-blca din Cu.

Avantajele enumerate ale lipinarilor sudate au deschis noi posibilități în crearea unor tehnologii de fabricație a al, economice și cu pierderi mici la energie electrică.

## 1.2. Stadiul actual de utilizare a îmbinărilor sudate în metalurgia aluminiului

Stadiul de aplicare a îmbinărilor sudate în metalurgia Al a fost determinat de nivelul concepției privind preiectarea construcțiilor sudate și gradul de dezvoltare a precedențelor de sudare.

Sub aspectul concepției constructiv-tehnologice, examinarea critică a îmbinărilor sudate prezентate în subcapitolul 1.1. pune în evidență următoarele neajunsuri:

- realizarea cuvei prin folosirea unui număr prea mare de îmbinări sudate ;
- construcția cuvei din trei metale diferite (Al, Cu, Oțel), a mărit foarte mult tipurile de îmbinări sudate (Al-Al, Al-Cu, Cu-Cu, Cu-Oțel, Oțel-Oțel) ;
- preiectarea necorespunzătoare a nodurilor a făcut necesară consolidarea îmbinărilor prin suduri în găuri ;
- utilizarea sudurilor și a buloanelor în aceeași îmbinare ;
- necorelarea constructiv-tehnologică a îmbinărilor sudate, prevăzindu-se numeroase îmbinări Cu-Al deși sudarea lor era dificil de realizat.

Cusăturile s-au executat cu procedee de sudare învecosite : sudarea manuală cu electrod nefuzibil și sudarea oxiacetilenică.

Calitatea sudurilor a fost foarte slabă, întrucât nu s-a putut preveni formarea oxizilor de Cu și Al. De asemenea, în cazul sudării cu electrod de cărbune s-a produs impurificarea cu carbon a băii metalice. Astfel, au rezultat cusături cu caracteristici mecanice inferioare și cu rezistență redusă la temperaturi ridicate. Productivitatea a fost scăzută iar unele materiale utilizate deficitare.

Pentru înălțarea tuturor dificultăților arătate s-a impus preiectarea cuvelor de electroliză și modernizarea tehnologiei de execuție pe baza progresului precedențelor de sudare. Construcția instalațiilor actuale ale metalurgiei Al se realizează cu două metale: Oțel și Al, benzile din Cu fiind înlocuite cu benzi din Al.

Față de construcțiile precedente au fost eliminate îmbinăriile sudate de tip Cu-Cu, Cu-Al și Cu-Oțel. În prezent se folosesc următoarele tipuri de îmbinări: Al-Al, Oțel-Oțel și Oțel-Al.

Îmbinările Al-Al se sudează prin procedeul MIG iar îmbinăriile Oțel-Oțel se sudează electric. O variantă de îmbinare Oțel-Al este prin strângere, cu suruburi. În acest caz însă, rezistența electrică de contact este foarte mare ( $143 \mu\Omega$  pentru Oțel-Al)

iar căderile de tensiune importante ( $5 \dots 10 \text{ mV}$ , sau mai mult) Astfel, se impune necesitatea execuției în variantă sudată a acestor îmbinări.

Sudarea prin explozie a fost descoperită în 1957 de V.Philipchuk [154]. Aceast procedeu a fost însușit la sudarea îmbinărilor Otel-Al, întrucât nu se folosește metal de adas, prin presiunea și temperatura ce se produc simultan în cîteva microsecunde MB nu suferă transformări și se realizează o legătură interatomieă între materiale cu puncte de fuziune și dilatarea termică diferite.

Astfel, rezistența electrică de contact se reduce substanțial ( $0,34 \mu\Omega$ ) iar căderile de tensiune se micșorează de cca zece ori ( $6 \dots 8 \text{ mV}$ ). La început, plăcile bimetal sudate prin explozie s-au folosit în partea catedică a circuitului electric al cuvei.

În acest scop, ele s-au sudat electric în nodul I (fig.12) de tija 4 din otel apoi, prin procedeul MIG, de benzile elastice 3 din Al. În fază următoare s-a generalizat utilizarea plăcilor Otel-Al pe teată cuva, ele folosindu-se și pentru îmbinarea părților componente ale dispozitivului pert-anod : tija din ATSi 5 Fe și tetrapedul din otel OL 42.

Având în vedere că la o singură cuvă se necesită 24 plăci bimetal și că acestea se asigură din import, la un preț total de  $6 \dots 10 \text{ milioane lei valută în devizie libere pe an}$ , s-a pus problema realizării în țară a plăcilor Otel-Al sudate prin explozie.

În țara noastră, cercetările în domeniul sudării prin explozie au fost incepute în anul 1970 de un colectiv condus de col.dr. ing. N.Ionescu, din inițiativa prof.dr. dec.st.ing. Vl.Popevici, realizindu-se o colaborare între Academia Militară și Institutul Politehnic „Traian Vuia” din Timișoara. În 1976 încep cercetările privind sudarea prin explozie a plăcilor Otel-Al pentru Intreprinderea de Aluminiu Slatina [153]. Aceste cercetări sunt laborioase și de durată.

Prin realizarea plăcilor Otel-Al sudate prin explozie sunt necesari explozivi plastici. Astfel, se deschide o nouă direcție de cercetare pentru obținerea explozivilor plastici, cu concursul chimiei și pretehnicii.

În cazul prezentei teze de doctorat s-a adoptat o soluție proprie, de sudare prin freare a îmbinărilor Otel-Al pentru metallurgia Al. Procedeul de sudare propus este economic, ușor accesibil și cu posibilități rapide de generalizare în practica industrială.

### 1.3. Îmbinări Oțel-Al pentru constructia dispozitivului port-anod

Dispozitivul port-anod este un ansamblu metalic care susține blocul anodic în cuva de electroliză. Subansamblile acestui dispozitiv se execută din două materiale diferite: oțel și aliaj ACSI 5 Fe. Asamblarea părților componente ale dispozitivului port-anod se face prin sudare sau strângere cu suruburi. În prezent în metalurgia Al se utilizează ambele tipuri de îmbinări, rezultând următoarele variante ale dispozitivului port-anod :

- D P A 1 cu placă bimetal sudată prin explozie;
- D P A 2 cu îmbinare Oțel cementabilă.

Variantele corectate și propuse în prezenta teză pentru a fi utilizate în metalurgia Al sunt următoarele :

- D P A 3 cu placă bimetal sudată prin explozie, la care se optimizează tehnologia de sudare a D P A 1 ;
- D P A 4,5,6 cu îmbinări Oțel-Al sudate prin fricare.

Elementele constructive comune ale variantelor dispozitivului port-anod sunt tija din Al și tetrapedul din Oțel (figura 1.15).

Modul de asamblare a părților componente se prezintă în figura 1.16.

### 1.3.1. Stadiul actual de construcție al dispozitivului port-anod

Tija 1 din aliaj de Al este o parte componentă a dispozitivului port-anod D P A 1. Tija anodică se obține prin turnare, nu are ramificații iar secțiunea transversală este profilată (figura 1.17).

A doua parte componentă este tetrapedul 2, care se construiește din tablă și bare din oțel. Asamblarea tijei cu tetrapedul se face cu o placă Oțel-Al.

Astfel, la D P A 1 se găsesc următoarele tipuri de îmbinări (figura 1.18) :

- Al-Al sudată MIG, între tija anodică și placă bimetal;
- Oțel-Al sudată prin explozie, între componentele plăcii bimetal;
- Oțel-Oțel sudată electric, între placă bimetal și tetraped.

Blocul anodic se asamblează cu D P A 1 în voderea introducerii în cuva de electroliză, iar îmbinarea se realizează cu fontă topită (1 ... 5) (figura 1.16). D P A 1 are avantajele construcției lor monolit și asigură o bună conducere a curentului în băile de electroliză.

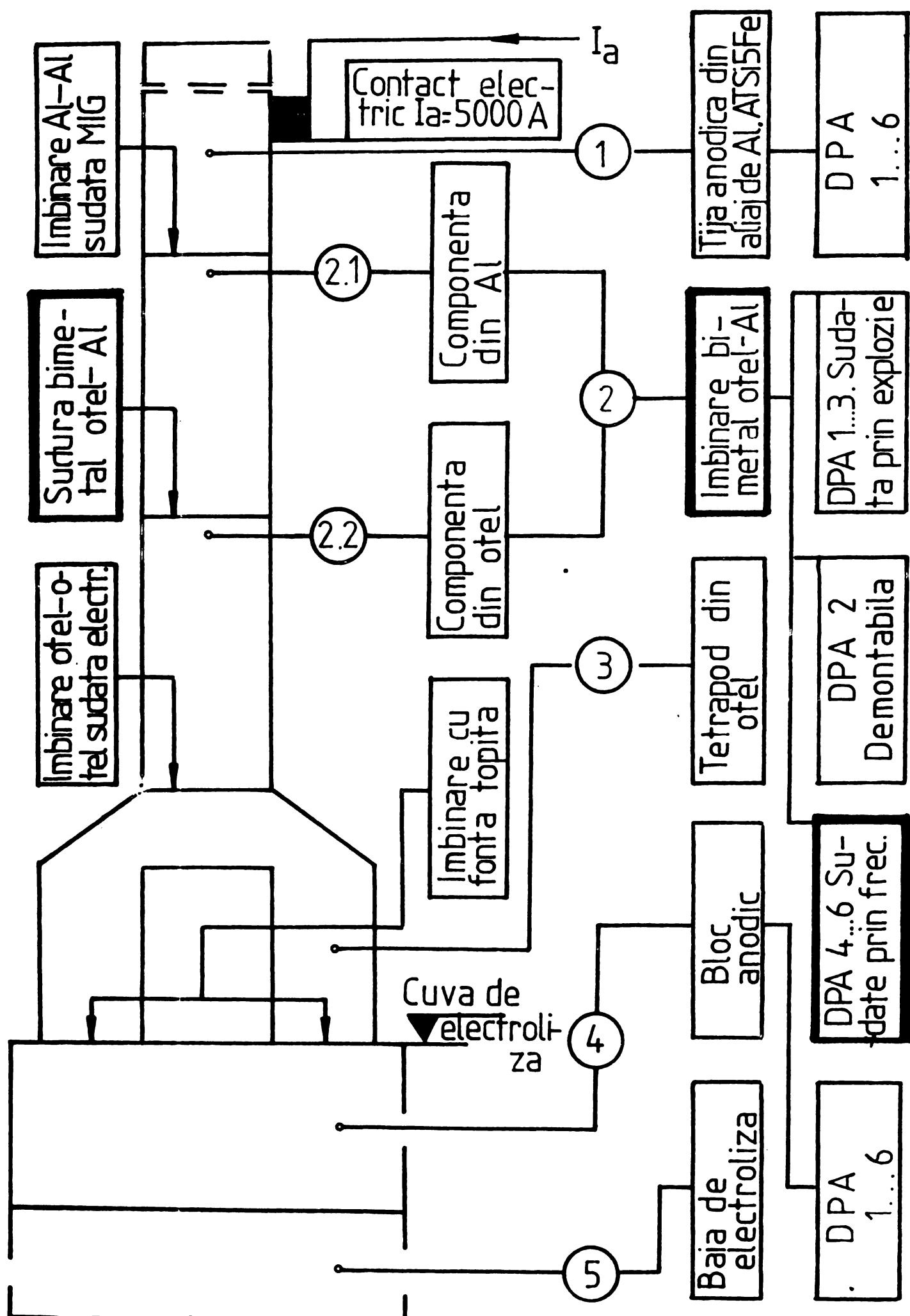


Fig.1.15.-Părțile componente ale variantelor dispozitivului part-anod executat în construcție sudată .

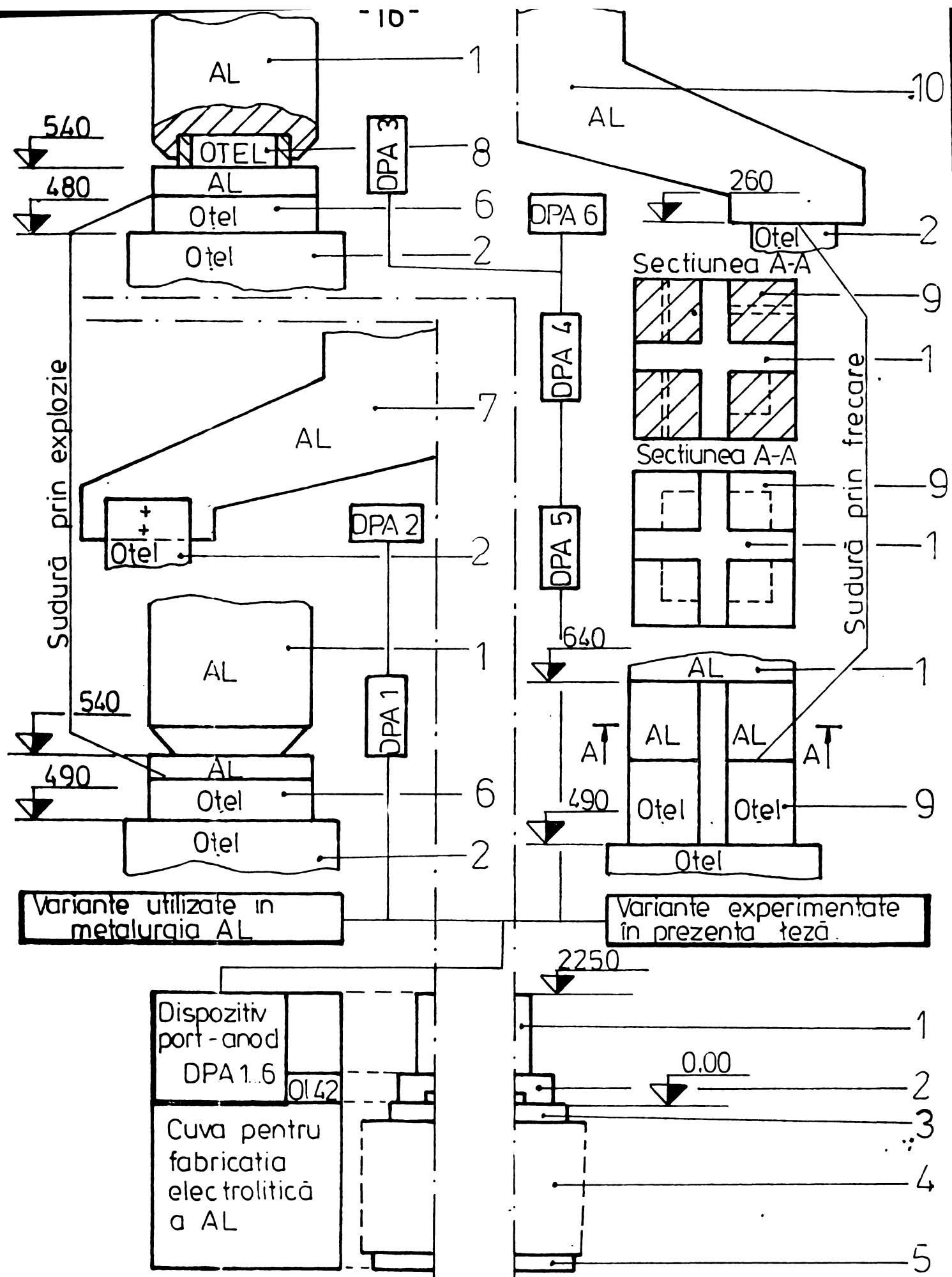


Fig.1.16. Asamblarea dispozitivului port-anod; 1-tijă anodică, 2-tetrapod; 3-bloc anodic; 4-fluid; 5-bloc catodic; 6-placă bimetal; 7-tijă anodică; 8-garnitură; 9-bimetal; 10-ramificări.

46117  
C

Dezavantajele DPAl se referă la raportul între secțiunile sudurilor țel-Al și Al-Al. Secțiunea sudată prin explozie este egală cu suprafața plăcii bimetal. Secțiunea sudurilor MIG corespunde celor patru cusături în muchie, care se execută pe laturile plăcii țel-Al. Rezultă că siguranța în exploatare a DPAl este impusă de îmbinările Al-Al. Astfel, caracteristicile mecanice și electrice superioare ale îmbinării bimetal sudată prin explozie nu se valorifică decât parțial. Aceasta din cauza alcăturirii constructive a DPAl, prin care nu se asigură o soluție corespunzătoare pentru realizarea îmbinării între placă țel-Al și tija anodică din aliaj de Al.

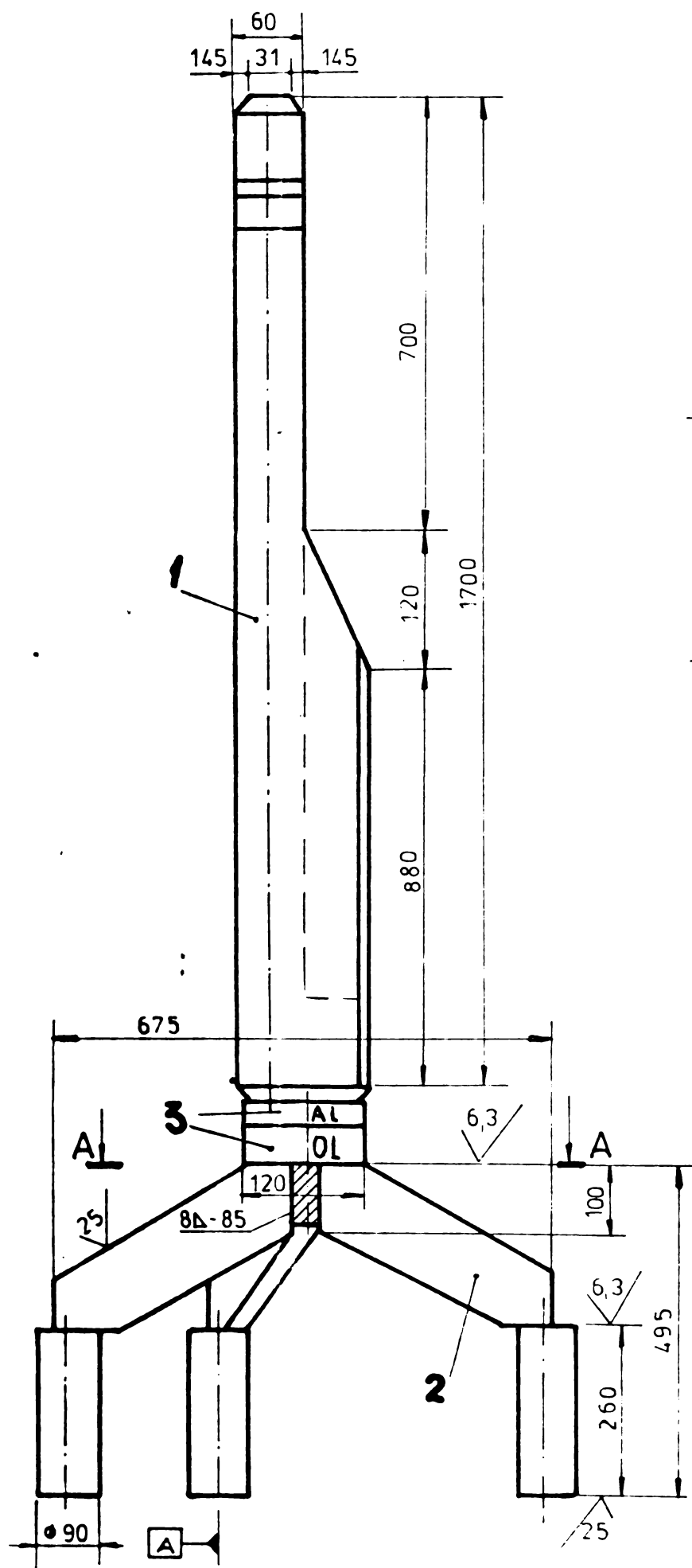
În prezent, în metalurgia Al se utilizează, de asemenea, o variantă constructivă DPA2 de dispozitiv port-anod care se execută în construcție demontabilă. Îmbinarea între tija anodică cu două ramificații (figura 1.21) și tetrapod se face prin strângere mecanică, cu șuruburi din oțel. Tija din aliaj de Al se obține prin turnare. Construcția DPA2 este robustă și corespunde condițiilor grele în care se exploatează la scoaterea din cuva de electroliză precum și la instalațiile de curățire a fontei, care se află pe linia de asamblare a DPA2 cu un nou bloc anodic. Astfel, siguranța în funcționare a DPA2 este superioară comparativ cu DPAl.

Să menționează că dezavantaje, următoarele:

- demontarea și reasamblarea DPA2 după fiecare ciclu de utilizare (26...28 zile); se necesită desprinderea tijei anodice de tetrapod pentru dezoxidarea pe cale mecanică a suprafețelor de contact;

- căderea de tensiune pe îmbinarea țel-Al (50...100 mV), care conduce la un consum sporit de energie electrică.

164, 508 / 341 C



Sectiunea A-A

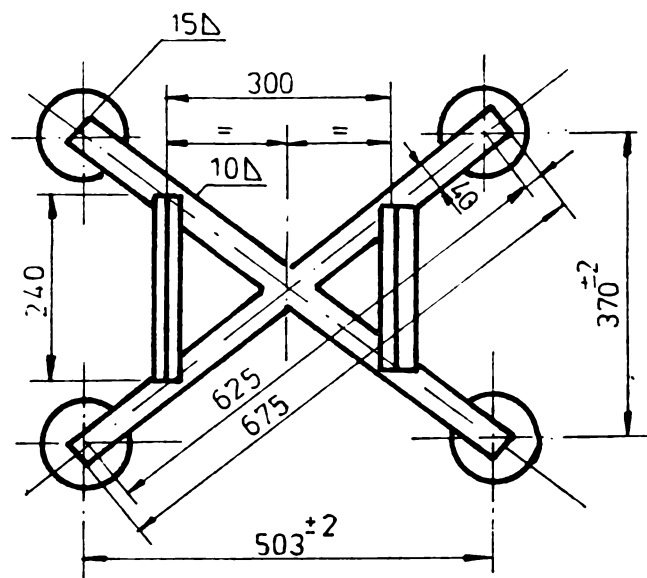
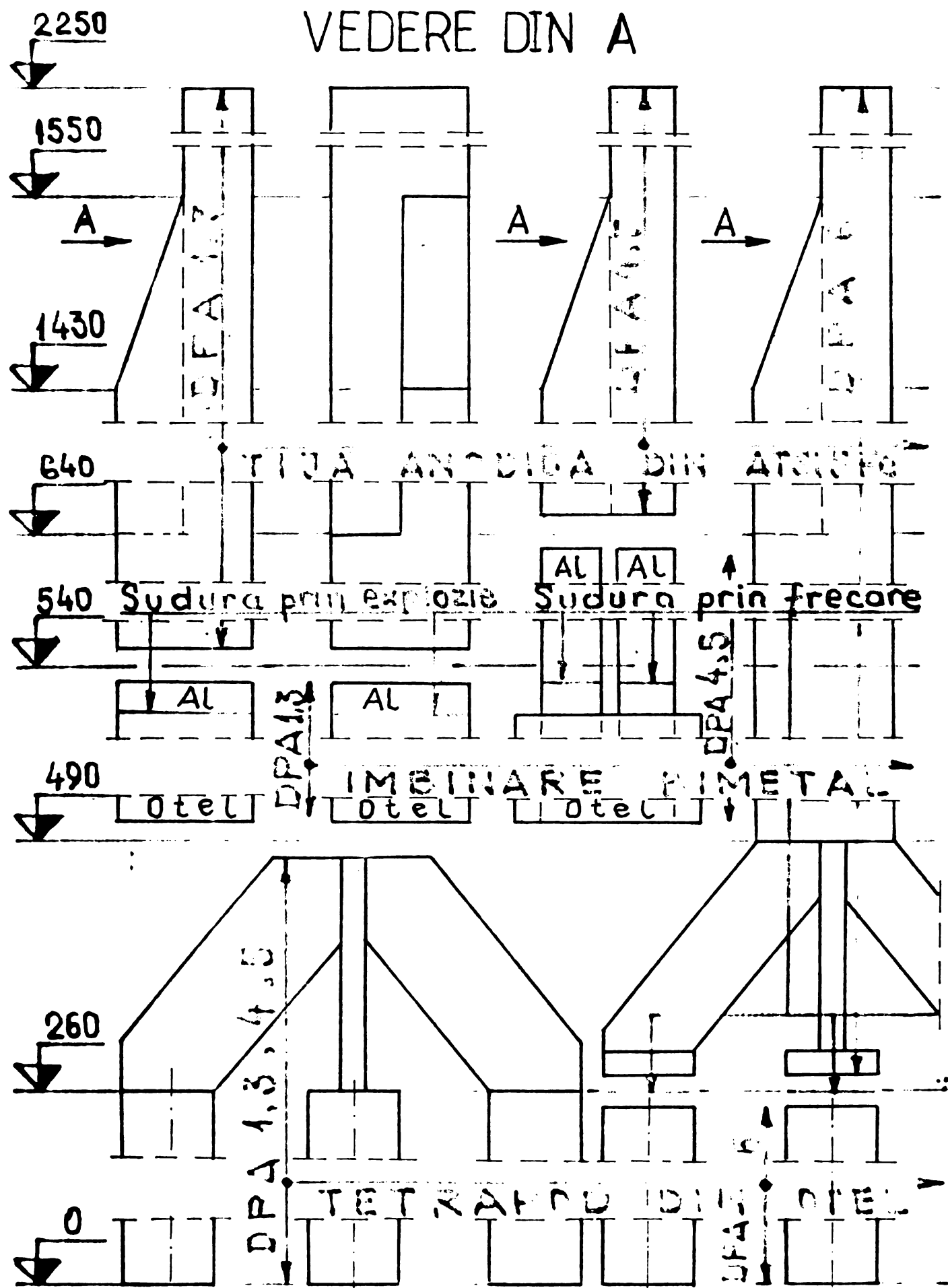


Fig.1.17.-Componentele  
DPA1: 1-tija din aliaj  
de Al, 2-tetrapod din  
oțel, 3-placă Oțel-Al  
sudată prin explozie  
[142]

# VEDERE DIN A



**Pig.1.18.-Componentele imbinărilor dispozitivului port-ane.**

1.3.2.-variante constructive de dispozitiv port-anod propuse în prezentă teză

In prezentă teză, pentru dispozitivul port-anod se propun variantele constructive DPA3...6. DPA3 se realizează cu placă bimetal sudată prin explozie și se deosebește de DPAl prin tehnologia de sudare MIG utilizată. DPA4...6 se prevăd cu îmbinări țel-Al sudate prin frecare. Se utilizează următoarele tipuri de tija din ATSi5Fe:

- fără ramificații, pentru DPA3, care se deosebește de DPAl (l, figura 1.17), prin reproiectarea îmbinării Al-Al, conform cercetării (l, DPA3, figura 1.16);
- fără ramificații, pentru DPA4,5 de aceeași formă cu tija care se utilizează la DPAl (l, figura 1.17);
- cu două ramificații, pentru DPA6, identică cu tija DPAl (figura 1.21);
- cu patru ramificații, pentru DPA6, proiectată și obținută prin turnare conform cercetării (figura 1.20).

La DPA4,5 placă țel-Al sudată prin explozie se înlocuiește cu patru îmbinări țel-Al sudate prin frecare (figura 1.19).

Astfel, la DPA4,5 se află următoarele îmbinări (figura 1.18):

- Al-Al sudată MIG, între tija anodică și patru componente din Al ale îmbinărilor bimetal;
- țel-Al sudată prin frecare, între componentele îmbinărilor bimetal;
- țel-țel sudată electric, între patru componente ale îmbinărilor țel-Al și tetrapod.

Prin secțiunea bazei tijei anodice se limitează valoarea secțiunii îmbinărilor bimetal, întrucât cele două suprafete se suprapun pentru realizarea rostului îmbinărilor Al-Al. Astfel, la DPA4,5

rezultă de 60 mm valoarea maximă a diametrului unei îmbinări țel-Al sudată prin frecare, în condițiile în care patru asemenea îmbinări se suprapun pe baza tijei din aliaj de Al.

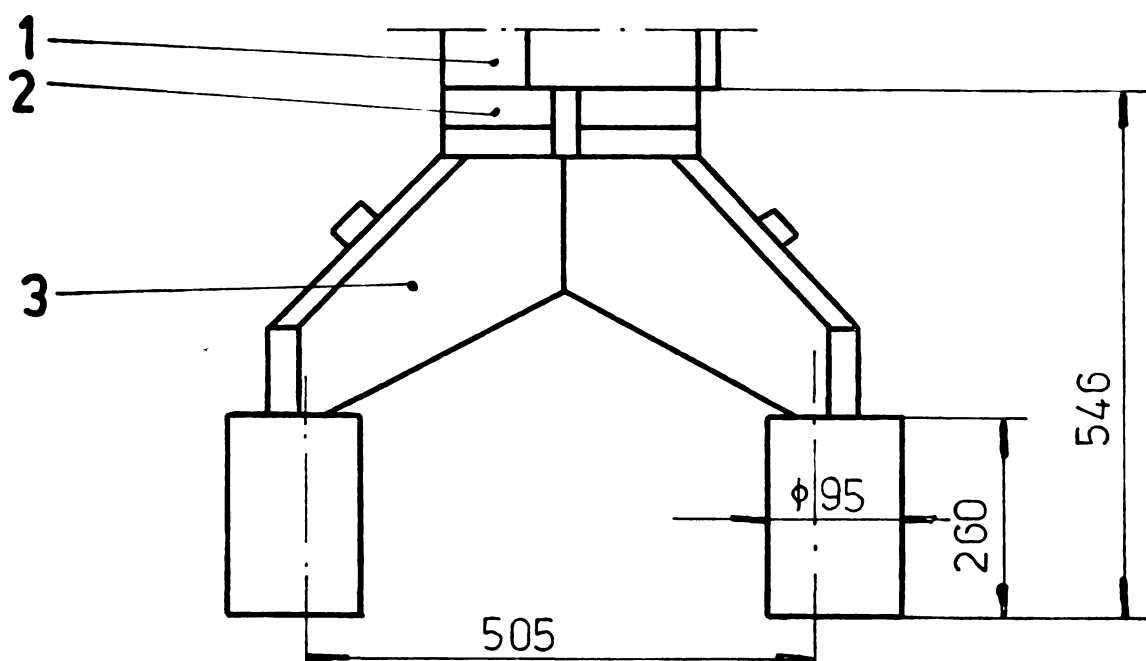


Fig.1.19.-Dispozitiv port-anod DPA4,5: 1-tija din aliaj de Al; 2-îmbinare țel-Al sudată prin frecare; 3-tetrapod din țel.

Tehnologiile de sudare prin frecare a îmbinărilor bimetal și de sudare electrică a îmbinărilor țel-țel sunt aceleași pentru DPA4 și DPA5. DPA4,5 se deosebesc numai prin tehnologiile diferite de sudare MIG după care se execută îmbinările Al-Al. Comparativ cu DPA1 care se utilizează în prezent, în variantele propuse DPA4,5 se elimină placa bimetal din import. De asemenea, se asigură o soluție corespunzătoare pentru execuția îmbinărilor Al-Al și astfel siguranța în funcționare a DPA4,5 nu mai este influențată de compoziția și exploatarea acestor îmbinări.

Examinându-se critic variantele constructive DPA1,3, se constată că deficiență comună numărul mare al tipurilor de îmbinări sudate (Al-Al, țel-Al, țel-țel). De asemenea, execuția îmbinărilor Al-Al este legată de principalele dificultăți care apar la sudarea prin topire a aliajelor de Al cum ar fi:

- formarea rapidă a oxidului de Al cu temperatura de topire 2373K;
- proprietatea de a absorbi mari cantități de hidrogen în stare topită;
- conductibilitatea termică ridicată ( $0,35 \text{ cal/cm.s.K}$ );
- coeficientul de dilatare de cca două ori mai mare decât în cazul oțelului;

Căldura care se produce în material la sudarea electrică a îmbinărilor oțel-oțel se disipează prin îmbinările oțel-Al. Astfel, se mărește temperatura componentelor, crește gradul de solicitare termică a sudurii bimetal, iar timpul de sudare se mărește, pentru păstrarea temperaturii într-un interval de valori admisibil.

Pentru înlăturarea tuturor neajunsurilor arătate, în prezența teză s-au efectuat cercetări privind realizarea dispozitivului port-anod DPA6 fără îmbinări de tip Al-Al și oțel-oțel. Astfel, s-a reproiectat dispozitivul port-anod, modificându-se forma tijei din aliaj de Al (figura 1.20). Coloana tijei anodică a DPAl se prelungeste la bază după geometria tetrapodului din oțel, obținându-se o tijă din aliaj de Al cu patru ramificații. În acest caz, construcția DPA6 se realizează folosindu-se un singur tip de îmbinări sudate (oțel-Al). Tija anodică s-a executat prin turcare, iar DPA6 s-a rezultat după sudarea prin frecare a tetrapodului din oțel, direct pe ramificațiile tijei din aliaj de Al. Prin reducerea de secțiune de la coloana tijei (DPAl) la o singură terminație a ramificației (DPA6) se îmbunătățesc condițiile de execuție a îmbinărilor oțel-Al și se poate înlocui sudarea prin explozie cu sudarea prin frecare a acestor îmbinări. În varianta constructivă, DPA6 cu două ramificații, tija anodică se preia fără modificări din fluxul de fabricație al DPA2. La bază tijei se observă patru găuri (figura 1.21), în care se introduc suruburile de strângere a îmbinării.

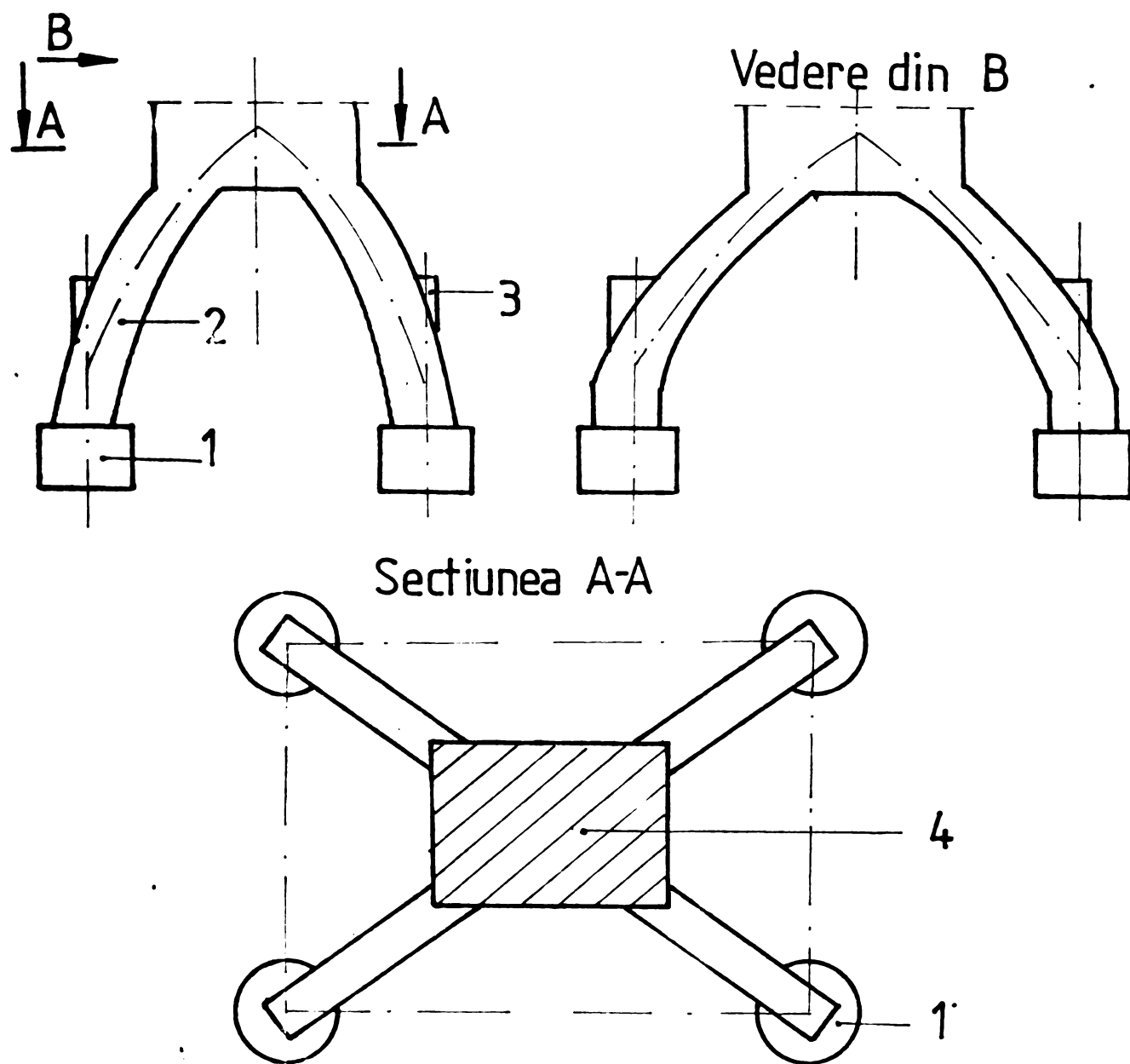


Fig.1.20.-Tijă din aliaj de Al cu patru ramificații pentru DPA6 sudat prin frecare: 1-terminații cilindrice; 2- ramificații; 3-proeminențe; 4-coloana tijei .

nărilor Oțel-Al ale DPA2. DPA6 se obține după sudarea prin frecare a două componente din oțel pe fiecare ramificație a tijei din aliaj de Al.

programul de cercetări pentru optimizarea construcției dispozitivului port-anod, care se utilizează în prezent în metalurgie Al, se indică în tabela 1.1. La baza acestui program experimental și condițiilor se află cercetarea funcțiilor de exploatare ale dispozitivului port-anod.



**Fig.1.21.-Dispozitiv port-anod DPA6 cu două ramificații sudet prin frecare**

**1.4.-Funcțiile și condițiile de exploatare ale dispozitivului port-anod**

Dispozitivul port-anod se montează la cuvă pe un suport orizontal, care la rîndul său se sprijină pe două coloane metalice de-a lungul cărora glisează în plan vertical, potrivit cu consumul blocului anodic în baie de electroliză. La partea superioară a tijei se află o suprafață de contact cu care aderă prin strîngere la o placă situată în circuitul electric al cuvelor. Al se obține în cuve cu anodi precopți montate în hale de electroliză, fiecare hală constituind o serie electrică de 63 kA sau 80...85 kA. În literatură de specialitate se prezintă parametrii regimului de fabricație electrolitică a Al (tabelă 1.2). Rezultă că funcțiile și condițiile specifice de exploatare ale DPAl...6 sunt următoarele:

## PROGRAM EXPERIMENTAL

- I. Pregătirea fimbriilor Otel-Aluminiu.
  - II. Investigări experimentale.
  - III. Prelucrarea rezultatelor.

TABLA 1.1.

## Incercați me- canice și ter- mine

卷之三

卷之三

**PROGRAM EXPERIMENTAL**

I. Pregătirea fimbriilor Otel-Aluminiu.  
 II. Investigatii experimentale.  
 III. Prelucrarea rezultatelor.

DPA 3 ... 6 realizarea dispozitivelor port-anod în teză.

DPA 5 : Efectuarea tehnologia de succesiune D.P.A 1.

DPA 4 : cu trame condensare D.P.A 1 și succesiv D.P.A 2, 3, 4, ... 6.

DPA 5 : cele două fimbrii Otel-Aluminiu sunt formate din 1 și 2 fimbrii de o lungime de 5 mm.

DPA 6 : realizat din fiecare suport fimbrii AL-AL și Otel-Otel.

Colectarea rezultatelor și prezentarea lor.

Simularea în laborator a soluțiilor:  
 - termice  
 - mecanice

**Simularea  
in labora-  
tor a soli-  
citarii:**

- termice
- mecanice
- electri-  
ce

—	—	—	—	—
C	C	C	C	C
G	G	G	G	G
A	A	A	A	A
T	T	T	T	T

卷之三

T A B E L A 1.2

Date privind regimul de fabricație [131]  
a Al

Parametri	KA - Cuvă	
	63	83
-Curentul de lucru, kA	62...66	80...85
-Tensiunea de reglaj pe cuvă, V	3,9	3,85 ± 0,05
-Temperatura medie de lucru, K	1233 - 10	1233 ± 10
-Frecvența extracției de metal, 48 ore	1	1
-Timpul de lucru al unui anod, zile	26...28	26...28

- conducerea curentului electric în cuvele de electroliză;
- susținerea blocului anodic;
- încălzirea prin efect Joule-Lenz (current cca 5000 A în coloana tigei anodice) și cu căldura provenită prin conductie de la blocul anodic;
- durata mare a unui ciclu de exploatare (26...28 zile).

In cadrul cercetărilor efectuate s-au executat măsurători pe 1652 bucăți DPAl montate în cuvele de electroliză și s-a constatat

TABELA 1.3 temperatură în regim de lucru

Temperatura de exploatare a îmbinării bimetal otel-Al a DPAl

Nr.	Intervalul de ort. temperatură, K	Nr. DPAl cu temperatură înădrătată în interval
1	sub 373	344
2	374 - 398	854
3	399 - 423	306
4	424 - 448	114
5	449 - 473	17
6	474 - 498	2
7	499 - 523	8
8	524 - 548	4
9	549 - 573	2
10	574 - 598	1

a îmbinărilor bimetal Otel-Al (tabel 1.3).

Impărțind intervalul în care se plasează cele 1652 măsurători în porțiuni egale, se determină porțiunea în care se plasează cele mai multe determinări. Conținutul aferent acestui interval este valoarea cea mai frecventă  $K_f = 398$  K. Se calculează temperatura medie  $X$  și abaterea s:

$$X = \frac{1}{n} \sum_{i=1}^n x_i , \quad (1.1)$$

$$S = \sqrt{\frac{(X - x_i)^2}{n-1}} , \quad (1.2)$$

rezultând  $\bar{X} = 402,8$  K și  $S = 8,41$ . Cu cît media  $\bar{X}$  este mai apropiată de valoarea cea mai frecventă  $X_f$  cu atât stabilitatea temperaturii este mai bună. Înseamnă deci că raportul:

$$a_p = \frac{\bar{X} - X_f}{X_f} \quad (1.3)$$

este un estimator al stabilității temperaturii, stabilitatea fiind cu atât mai bună cu cît  $a_p$  este mai apropiată de zero.

Cu ajutorul lui  $\bar{X}$  și  $S$  se pot calcula limitele între care se situează determinările de temperatură, dacă s-ar face oricăr de multe măsurări. Aceste limite se calculează cu relația:

$$\left. \begin{array}{l} LL \\ UL \end{array} \right\} = \bar{X} \pm K \cdot S, \quad (1.4)$$

în care  $K$  este dat în tabele [96] în funcție de  $n$  și de totalul determinărilor  $P$  situate între limita inferioară  $LL$  și limita superioară  $UL$ . Calculurile mărimilor statistice dă următoarele rezultate:

$$- a_p = 0,0384 ;$$

$$: - K = 2,1 ;$$

$$- LL = 385 ;$$

$$- UI = 420 .$$

În concluzie, la îmbinarea bimetal  $\Theta\text{tel-Al}$  a DPAI temperatura medie este de  $402,8$  K, temperatură cea mai frecventă este de  $398$  K și, la diferite îmbinări bimetal ale DPAI, temperaturile sunt cuprinse între  $385$  K și  $420$  K. Numai  $5\%$  din aceste îmbinări ar putea avea temperatură de lucru în afara acestor limite. Se apreciază că stabilitatea temperaturii îmbinărilor  $\Theta\text{tel-Al}$  ale DPAI este foarte bună, fiindcă  $a_p$  este apropiat de zero.

2.-STUDII SI CERCETARI CU PRIVIRE LA SUDAREA

PRIN FRECARE A IMPINARILOR OTEL-AL

Cercetările sistematice privind sudarea prin frecare sunt întreprinse în U.R.S.S. din anul 1957 [57, 113], iar în Anglia din anul 1960 [108]. Adaptarea mașinilor de prelucrat prin aschiere [45, 46, 59, 97] s-a dovedit în prima etapă ca o măsură rațională, economică și rapidă pentru aplicarea procedeului de sudare prin frecare. În prezent, numărul de tipo-dimensiuni de mașini de sudat prin frecare este de ordinul sutelor și procedeul are opt variante de aplicare, în funcție de modul cum este dezvoltată energia cinetică de frecare [22, 25, 116]. Cu schemele de comandă și aparatura utilizată se regleză automat parametri ciclului de sudare și se execută cu un grad mai mic sau mai mare de automatizare operațiile auxiliare de deservire [41, 85, 98]. Soluția globală de asigurare a unei calități constante a sudurilor constă în aplicarea unui sistem de control prin calculator electronic pentru procesul de sudare [34, 133]. Concomitent cu problemele utilajului de sudare s-au cercetat fenomenele care au loc în timpul sudării, mecanismul formării sudurilor prin frecare [1, 35, 37, 43], parametri regimului de sudare [58, 114, 140].

Sudarea prin frecare se aplică în prezent în diferite domenii ca: industria sculelor, pentru îmbinarea oțelurilor rapide cu oțeluri carbon [26], - industria mecanică, pentru arbori, piese compuse, etc, - construcții montaj, pentru sudarea țevilor [32], a flanșelor pe țevi, ramificațiilor, etc [42], -industria automobilelor [20, 134], -industria atomică [132], -industria maselor plastice [97]. Gama perechilor de materiale care se sudează prin frecare este foarte largă: metale și nemetale, metale feroase și neferoase, compozitii metal-oxid sinterizate [106], metale cu puncte de fuziune foarte diferite (tantal - 3273K cu oțel 1773K), metale care dă compuși fragili la sudarea prin topire (oțeluri cu aliaje din Al), materiale sensibile la acțiunile atmosferei (oțel aliat, metale neferoase), etc.

Imbinările sudate prin frecare pentru DPA4,5,6 sunt imbinări O137-ATSi5Fe. În literatura tehnică de specialitate [22, 44, 75] se prezintă materialele și combinațiile de materiale ce au fost sudate prin frecare pînă în prezent. Se obțin rezultate bune la sudarea Al cu oțel carbon și inexidabil, însă sudarea prin frecare a acestor oțeluri în combinație cu aliajele din Al este o problemă care necesită cercetări de la caz la caz. Din punct de vedere dimensional, realizarea imbinărilor bimetal pentru dispozitivele port-anod necesită sudarea prin frecare a unor secțiuni mari, de  $2800 \text{ mm}^2$  (DPA4,5) și  $5000 \text{ mm}^2$  (DPA6), corespunzătoare unui diametru al componentelor de 60 mm, respectiv 80 mm.

#### 2.1.-Materiale folosite la experimentări pentru dispozitivele port-anod DPA4,5,6

Toate imbinările Oțel-Al sudate prin frecare pentru DPA4,5,6, au fost executate cu o componentă din ATSi5Fe (tabela 2.1). Diagrama de echilibru Al-Fe este de tip eutectic, Cele două faze ale eutecticului sunt Al și compusul intermetallic  $\text{FeAl}_3$ . La temperatura eutectică de 928K eutecticul conține 1,8% Fe. Solubilitatea maximă a Fe în Al este de 0,052%, ea scade rapid la 0,025% pentru temperatura de 873K și la 0,006% pentru 773K. După conținutul de Si, ATSi5Fe face parte din grupa aliajelor ușoare de turnătorie. Diagrama de echilibru are un eutectic la 850K cu 11,7% Si. Solubilitatea Si în Al variază cu temperatură în modul următor:[11]

- (K)	...	850	823	723	623	523
- Si%	...	1,65	1,30	0,48	0,17	0,008

Să îmbunătățește proprietățile de turnare ale aliajului și nu formează compuși cu Al. În afară de fazele Al, Si și  $\text{FeAl}_3$ , să apară compușii intermetalici ternari:  $\text{Al}_{12}\text{Fe}_3\text{Si}$  și  $\text{Al}_9\text{Fe}_2\text{Si}_2$  [11]. Mn înrăutățește proprietățile de turnare și mai ales fluiditatea, dar mărește rezistența la coroziune a aliajului și atenuază influența dăunătoare a Fe.

Avind caracteristici mecanice corespunzătoare (tabela 2.2), aliajul ATSi5Fe este folosit în prezent pentru construcția tijelor anodice ale DPAl,2, utilizate în metalurgia Al. Din

această cauză, aliajul ATSi5Fe a fost însușit ca MB în toate îmbinările Oțel-Al sudate prin frecare pentru DPA4,5,6.

Rezistența îmbinărilor bimetal ale DPA4,5,6 este influențată de capacitatea de sudare prin frecare a componentei din oțel cu componentă din ATSi5Fe. Astfel, s-au cercetat șapte perechi materiale Oțel-ATSi5Fe pentru alegerea combinației de metale cu o bună comportare la sudare și cu însușiri corespunzătoare condițiilor de exploatare ale DPA4,5,6. Mărcile de oțel experimentate (tabelă 2.1, 2.2) fac parte din următoarele grupe:

- oțeluri de construcție nealiaste ... OL37, OL42;
- oțeluri de construcție slab aliaste ... OL52;
- oțeluri de cementare nealiaste ... OLC15;
- oțeluri aliaste ... 25MoCr11, 33MoCr11, 30MoCrNi20.

Indicativul îmbinărilor Oțel-Al utilizate în cadrul cercetării este format din numărul care simbolizează marca componentei din oțel urmat de numărul curent al îmbinărilor realizate cu aceeași combinație de metale sudate prin frecare (tabelă 2.4). S-au efectuat prin sondaj analize chimice și măsurări de durată pe un lot de materiale utilizate în construcția DPA5 (tabelă 2.3), iar rezultatele obținute s-au comparat cu valorile respective prevăzute în standarde sau normative tehnice (tabelă 2.1). Analiza chimică a pus în evidență un conținut de Si (2,18%) inferior față de cel considerat în compozitia aliajului ATSi5Fe (min.4,13%Si), iar măsurările de durată au arătat că valorile determinate sunt cuprinse între 111 și 211 HB pentru OL37 respectiv între 46,1 și 48 HB pentru ATSi5Fe.

## 2.2.-Pregătirea componentelor îmbinării Oțel-Al

Componenta din ATSi5Fe a îmbinărilor bimetal sudate prin frecare pentru DPA4,5 s-a debitat din tija anodică cu ferestrău mecanic (figura 2.1, a) după care s-a obținut secțiunea transversală patrată prin frezarea laturilor. Capătul care urma să fie sudat prin frecare s-a strunsit la  $\phi$ 60, iar capătul opus s-a prelucrat prin frezare la forma rostului pentru sudarea ulterioră a îmbinării bimetal cu tija anodică (figura 2.2,a,b). La DPA4, trei componente s-au prelucrat pe două lături opuse (figura 2.2,a) și una pe două lături alăturate (figura 2.2,b), iar la DPA5 toate componentele s-au pregătit conform figurii 2.2,b.

T A B E L A 2.1

Compoziția chimică a componentelor sudate prin frecare

Nr. crt.	Caliitate	Al	Mn	Si	Ti	Zn	Fe	C	Compoziția chimică, %						
									S	P	Pb	Sn	Mg	Ni	Cr
1. ATSi5Fe	rest	max 4,13	max 0,62	-	-	-	-	-	-	-	-	-	-	-	-
	0,50	4,88	0,20	0,10	0,70	0,25	0,65	0,065	0,19	0,045	0,045	0,20	0,10	max 0,10	-
2. OL37 STAS	-	0,85	-	-	-	-	-	-	0,25	0,045	0,050	0,10	0,10	max 0,10	-
	500/2-80								0,31	0,065	0,065	0,20	0,10	max 0,10	-
3. OL42 STAS	-	0,85	-	-	-	-	-	-	0,20	0,045	0,045	0,10	0,10	max 0,10	-
	500/2-80								0,22	0,055	0,055	0,18	0,10	max 0,10	-
4. OL52 STAS	-	1,65	-	-	-	-	-	-	0,12	0,020	0,035	0,10	0,10	max 0,10	-
	500/2-80								0,18	0,045	0,040	0,10	0,10	max 0,10	-
5. OLC15 STAS	-	0,35	-	-	-	-	-	-	0,19	-	-	-	-	-	-
	880-80								0,25						
6. 25 MoCr11	-	0,40	0,17	-	-	-	-	-	0,22	0,020	0,025	-	-	-	-
	STAS	0,80	0,37						0,29	0,035	0,035				
	791-80														
7. 33MoCr11	-	0,40	0,17	-	-	-	-	-	0,30	0,020	0,025	-	-	-	-
	STAS	0,80	0,37						0,37	0,040	0,035				
	791-80														
8. 30MoCrNi20	-	0,30	0,17	-	-	-	-	-	0,26	0,020	0,025	-	-	-	-
	STAS	0,60	0,37						0,34	0,040	0,035				
	791-80														

- 30 -

T A B E L A 2.2.

Caracteristicile mecanice ale componentelor sudate prin frecare

Nr.	Calita- crt.tea	Limita de curgere $R_p$ 0,2	Rezisten- ta la ru- cure la tractiune	Alungi- rea la rupere	Rezili- enta KCU	Energia de ru- pere kV	Duritate Brinell în stare recoaptă
1	2	3	daN/mm <sup>2</sup>	%	daN.m cm <sup>2</sup>	daN.m	HB max
1	ATS15Fe	-	8,9-10,8	1,6-2,4	0,2	-	-
2	OL37	21-24	37-45	25-26	6-7	2,8	-
3	OL42	23-26	42-50	22-23	6-7	2,8	-
4	OL52	34-36	52-64	21-22	6	2,8	-
5	OLC15	36-45	60-90	12-14	-	-	146
6	25MoCr11	68-80	90-120	11-16	7-8	-	217
7	33MoCr11	68-80	90-120	11-16	7-8	-	217
8	36MoCrNi26	90-105	125-145	19-12	6-8	-	248

T A B E L A 2.3

Rezultatele controlului prin sondaj al unui lot de materiale pentru DPA5 [129]

Mate- rial	Analiza chimică								Duritatea HB
	C	Mn	Si	P	S	Al	Fe	Mg	
OL37	0,17	0,73	0,22	0,029	0,029				5/750/5
ATSi5Fe	-	0,024	2,18	-	-	rest	0,69	0,0035	0,081 10/500/5

Duritatea

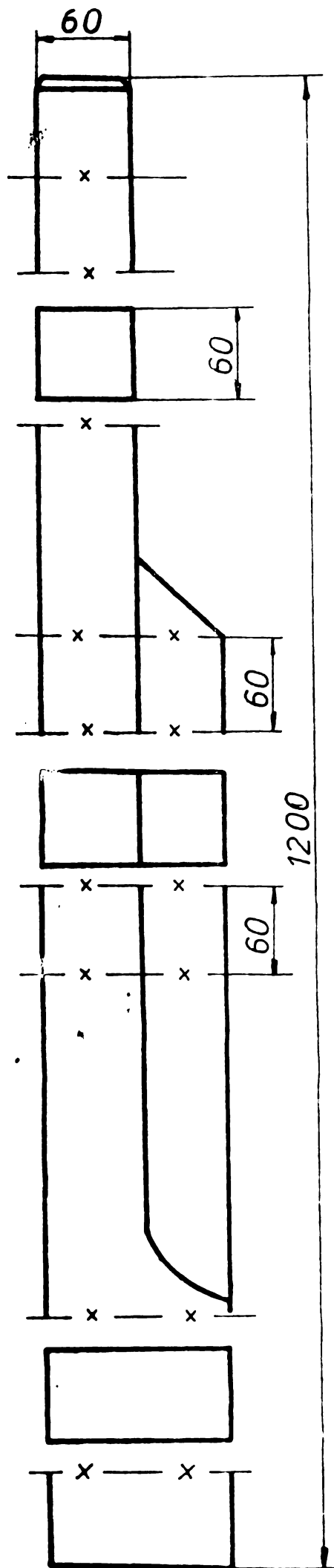
	HB <sub>1</sub>	HB <sub>2</sub>	HB <sub>3</sub>	HB <sub>med</sub>
OL37	118	111	117	
	152	152	153	156
	211	202	189	
ATSi5Fe	46,1	46,7		
	45,9	46,9		
	48	46,1		

Bр.	Marea crt. compenen- ntei din oțel	Indica- tivul îmbină- rii bi- metal
1	2	3
1		6.4
2		6.5
3		6.6
4		6.7
5		6.8
6		6.13
7		6.14
8		6.15
9		6.16
10		6.17
11	OL 37	6.20
12		6.23
13		6.24
14		6.26
15		6.28
16		6.30
17		6.31
18		6.32
19		6.33
20		6.37
21		2.2
22		2.4
23		2.16
24		2.25
25	OL 42	2.29
26		2.31
27		2.32
28		2.34
29		5.1
30	OL 52	5.2
31		5.3
32		5.4

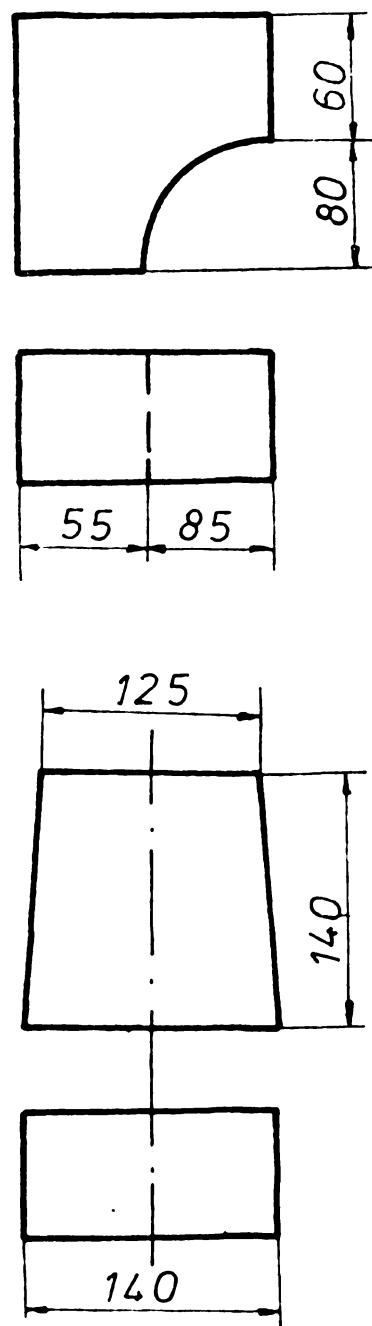
Tabela 2.4. Indicativul spruyetelor utilizate pentru controlul calității îmbinărilor Oțel-Al sudate prin frecare.

1	2	3
33		5.5
34		5.10
35		5.14
36		1.15
37		5.17
38		5.20
39	OL 52	5.21
40		5.22
41		5.24
42		5.25
43		5.33
44		5.34
45		1.1
46		1.2
47		1.3
48		1.4
49		1.5
50		1.6
51		1.7
53		1.9
54	OLC15	1.20
55		1.21
56		1.24
57		1.26
58		1.34
59		1.35
60		7.1
61		7.2
62		7.3
63		7.5
64		7.6

1	2	3
65		7.7
66		7.8
67		7.9
68		7.10
69		7.11
70		7.12
71	25 Mo Cr 11	7.15
72		3.2
73		3.3
74		3.4
75		3.6
76		3.8
77		3.9
78		3.12
79		3.13
80		3.14
81		3.15
82		3.16
83		4.1
84		4.9
85		4.10
86		4.18
87		4.19
88		4.20
89		4.13
90		4.21
91		4.23
92		4.29
93		4.31
94		4.32
95		4.34
96	30 Mo Cr 11	4.38



a.



b.

Fig.2.1.-Debitarea MB pentru DPA4,5:  
a)debitarea componentelor din tija anodică de ATS15Fe;  
b)debitarea componentei din OL37

La DPA6, pregătirea pentru sudarea prin frecare a rezultat din forma obținută prin turnarea tijei de Al. Componenta din oțel a DPA4,5,6, s-a debitat cu ferestrăul mecanic (figura 2.1,b), apoi prin strunjire s-a realizat conicitatea suprafeței frontale a unui capăt și adaosul tehnologic, cu  $\phi 30$  la al doilea capăt (figura 2.2,c). Acest adaos se introduce în mandrina mașinii de sudat prin frecare și se îndepărtează după sudare, prin tăiere cu oxigen. Prelucrarea capetelor MB s-a făcut astfel ca unghiul de inclinare a suprafețelor frontale ale conului să nu fie mai mare de  $5\ldots 7^\circ$  față de planul normal la axa componentelor

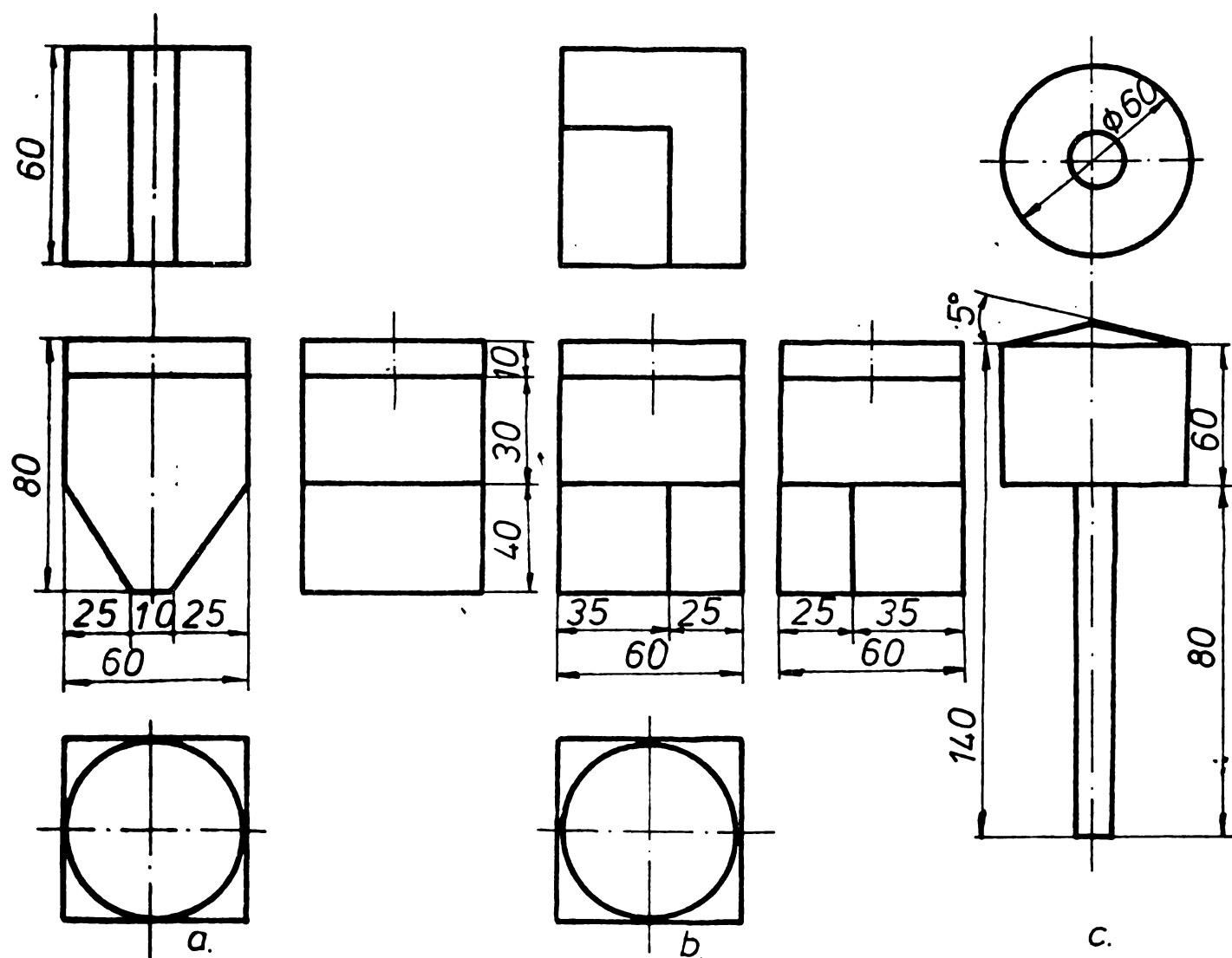


Fig.2.2.-Fregătirea componentelor pentru sudarea prin frecare:  
a)componentă din Al pentru DPA4, b)componentă din Al pentru  
DPA4,5, c)componentă din oțel pentru DPA4,5,6

**Modul de curățire a aliajului ATSi5Fe înainte de sudarea prin frecare a cuprins următoarele operațiuni [55, 67]:**

-umectarea suprafeței cu o soluție de NaOH în concentrație de 10...20% la temperatura de 323...353K;

-spălarea cu apă rece abundență;

-neutralizare cu o soluție de HNO<sub>3</sub> în concentrație de 15...20% la temperatură normală prin scufundare de pînă la 30s;

-spălare cu apă rece și spoi cu apă fierbinte.

Curățirea componentei din oțel s-a efectuat prin polizare la luciu metalic.

### **2.3.-Utilejul folosit la sudare**

La sudarea DPA4,5,6, s-au folosit mașinile de sudat prin frecare tip ZT<sub>a</sub>-lo și MSF-40 (figura 2.3). În urma comparației performanțelor celor două mașini de sudat utilizate, s-a constatat că MSF-40 prezintă caracteristici tehnice superioare față de ZT<sub>a</sub>-le (tabela 2.5). Procesul de sudare prin frecare a DPA4,5,6 cuprinde următoarele etape și operații:

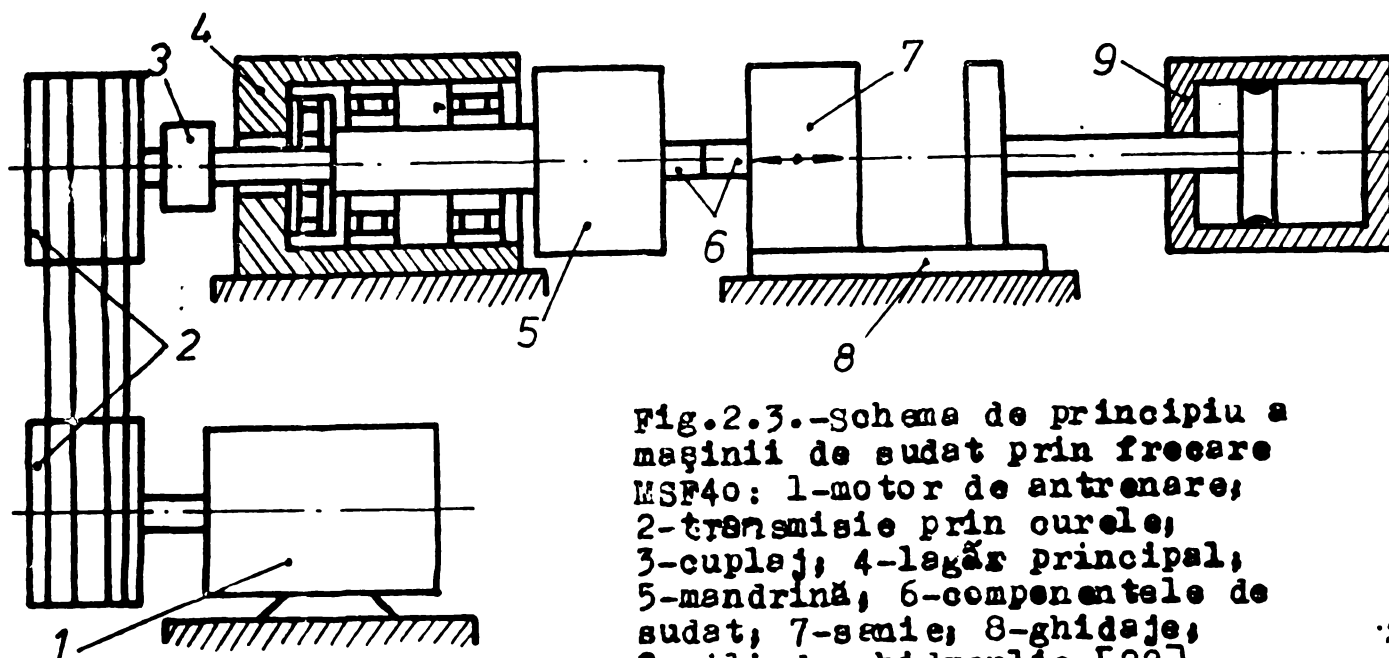


Fig.2.3.-Schema de principiu a mașinii de sudat prin frecare MSF40: 1-motor de antrenare; 2-transmisie prin curele; 3-cupaj; 4-lagăr principal; 5-mandrină; 6-componente de sudat; 7-sanie; 8-ghidaje; 9-cilindru hidraulic [22]

- prinderea componentei din Al în bocurile de pe sanie și a celei din oțel în mandrină;
- avansul saniei pînă la contactul celor două componente din metale diferite;
- etapa de frânare;
- etapa de refuzare;
- retragerea saniei cu piesa sudată și deschiderea bacurilor.

Cu excepția prinderii componente din Al în bacuri și desfacerea acestor bacuri, celelalte operații se realizează automat. Se regleză parametri:

- forța de strîngere a componentelor;
- forța de frecare;
- forța de refulare;
- timpul de menținere a forței de frecare;
- timpul de întîrziere a frânării arborelui principal;
- timpul de menținere a forței de refulare.

#### 2.4. Parametri tehnologici și regimul de sudare

Parametrii regimului de sudare prin frecare sunt: viteza de mișcare relativă a componentelor de sudat, presiunea de refulare, timpul de frecare, timpul de refulare și scurarea axială.

T A B E L A 2.5

Mașini de sudat prin frecare cu turația de cca 1450 rot/min utilizate la sudarea DPA4,5,6

Nr. crt.	Caracteristici tehnice	ZTa-lo	MSF-40
1	Puterea motorului electric de antrenare KW	13	45
2	Turația motorului electric și a piesei de sudat, rot/min	1450	1450
3	Secțiunea maximă a pieselor de sudat(bare și țevi), otel nealiat, mm <sup>2</sup>	700	3000
4	Lungimea maximă a pieselor de sudat, mm	în mandrină 200 în menghină 200	350 1500
5	Forța de frecare maximă, daN	4500	28000
6	Forța de refulare maximă, daN	10000	40000
7	Timpul de frecare, s	2...20	1,6...41
8	Timpul de refulare, s	0,5...0,6	0,08...1,0,2

Pozitia componentelor în timpul sudării este orizontală. Valorile parametrilor de sudare (tabela 2.6) s-au stabilit luîndu-se în considerare:

- secțiunea componentelor de sudat,
- calitatea materialelor;
- performanțele mașinii de sudat prin frecare.

Rezultatele obținute la sudarea îmbinărilor Oțel-Al s-au comparat cu unele valori recomandate la sudarea prin frecare a îmbinărilor având componente realizate din același metal (tabela 2.7). Pe baza a cca 500 probe s-au cercetat influențele reciproce între parametri tehnologici precum și asupra calității îmbinărilor bimetal și s-au comparat cu unele valori recomandate la sudarea unor îmbinări omogene, întrucât în literatura tehnică de specialitate nu se găsesc date similare pentru sudarea prin frecare a unor îmbinări de secțiuni mari ( $2826 \text{ mm}^2$ ), realizate între componente din oțel și aliaje Al-Si.

T A B E L A 2.6

Regimul de sudare prin frecare al îmbinărilor Oțel-Al

Diametru îmbinării sudate bimetalic	Tipul frecare	Presiunea de frecare	Temperatură de refacere	Timpul de frecare	de frâncare	de refacere	Scurtarea axială	Viteză relativă
15		1,2	1,6	5,26	0,175	1,32	15...17	1,30
18		1,4	1,8	5,26	0,175	1,32	14...16	1,36
20	ZT <sub>10</sub>	1,5	1,8	6,00	0,175	1,32	11...14	1,51
60		3,0	3,5	16,37	0,220	2,11	6...10	4,55
88		4,5	4,8	20,00	0,380	2,325	5...8	6,68
60	MSF40	30	60	20,48	0,80	1,020	23...26,7	4,55

Examinind aceste probe s-au constatat următoarele:

- viteză relativă Vr influențează durata operației de sudare;
- prin creșterea Vr durata ciclului de sudare se reduce din cauza stabilizării mai de vreme a momentului de frecare, ceea ce influențează presiunea necesară încălzirii și scăderea cantității de metal consumat în bavură;
- prin scăderea Vr încălzirea scade, în special în vecinătatea axei, astfel putind rezulta o repartizare neuniformă a căldurii în planul de frecare.

La sudarea prin frecare a DPA5, Vr depășește cu 50% limita superioară a intervalului recomandat pentru oțeluri, iar după parametrul n.d.<sub>n</sub> sudarea îmbinărilor Oțel-Al are loc în condiții

T A B E L A 2.7.

Relații și valori recomandate la sudarea prin frecare a componentelor din același material [5, 18, 22, 129] comparativ cu rezultatele sudării îmbinărilor Otel-Al ale DPA5

Nr. crt.	Valoarea parametrului sau relația recoman- dată	Semnifica- ția termen- nilor	Uni- tatea de de trans- măsu formare ră	Relații	Valori echiva- lente la im- binări bime- tal sudate cu mașinile: ZTa-lo MSF-40	
1	2	3	4	5	6	7
1	Otel-Otel $V_r = 0,6 \dots 3$	Vr:viteza relativă	m/s	-	4,55	4,55
2	$n \cdot d_n =$ $Otel + Otel = 3 \cdot 10^4$ $Ou + Cu = (4 \dots 4,5) \cdot 10^4$ $Ti + Ti = (8 \dots 10) \cdot 10^4$	$n$ :turația $d_n$ :diame- trul nomi- nal	mm/min	-	$8,70 \cdot 10^4$	$8,76 \cdot 10$
3	Otel nealiat $p_f = 300 \dots 600$ Al 99,5 $p_f = 150$	$p_f$ :pre- siunea de fre- care	bar	-	3	30
4	$\frac{p_r}{p_f} = 1,5 \dots 3$	$p_r$ :pre- siunea de re- fulare			1,17	2
5	$p_r > (0,20 \dots 0,14) R_m$	$R_m$ :rezis- tența la rupere la trac- tiune a MB	bar	ATSi5Fe $R_m = 890 \dots 1040$ $p_r = 0,14 \cdot 890$ $p_r = 125$	3,5	60
6	$\Delta l_a = (0,5 \dots 0,75)d$	$\Delta l_a$ - scurta- rea axială	mm	$d = 60$ $\Delta l_a = 0,5 \cdot 60$ $\Delta l_a = 30$	$6 \dots 10$ $23 \dots 26,7$	

similară cu sudarea Ti (tabelă 2.7). Reducerea Vr este posibilă prin folosirea unor mașini de sudat prin frecare cu turatăia sub 800 rot/min (tabelă 2.8).

Compresiunea specifică influențează rezistența sudurii prin deformațiile plastice cît și prin configurația cîmpului termic pe care le determină.

T A B E L A 2.8

Mașini de sudat prin frecare cu turatăia sub 800 rpm 22

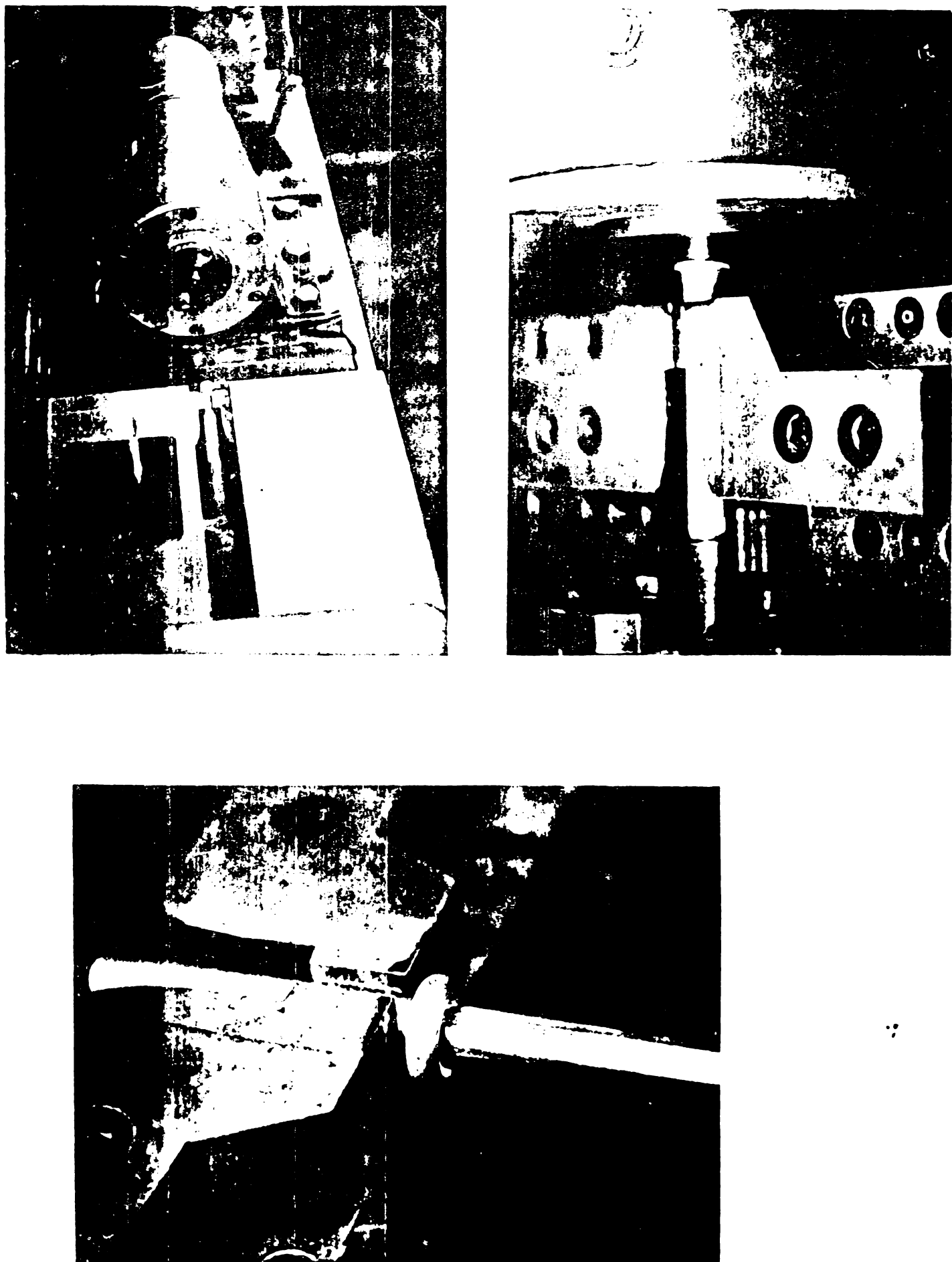
Tip mașină	Pute-rea kw	Turatăia rot/min	Forța de refu- lare kN	Diametrul îmbinării mm
ZT3-22 R.P.P.	22	800	200	45
MST-2001	40	750	200	16...50
ZT-40 R.P.P.	40	700	400	16...70
ZT-100 R.P.P.	100	700	740	32...70
RSM-50 R.D.G.	30	500...1500	200	30...60
MST-6001 U.R.S.S.	75	500	600	32...70
SR-100 R.D.G.	100	400	1000	35...100

Presiunea de frecare,  $p_f$ , determină valoarea momentului de frecare, respectiv cantitatea de căldură generată, determinând prin aceasta temperatura maximă în zona de sudare.

Presiunea de frecare este în strînsă corelație cu timpul de frecare  $t_f$ , la o anumită viteză relativă. Cu cît crește  $p_f$  cu atât scade  $t_f$  necesar pentru a asigura o anumită deformație plastică. Valoarea presiunii de refulare  $p_r$  influențează rezistența sudurii, datorită acțiunii sale asupra granuleșiei materialului. La o refulare excesivă, materialul încălzit este împins în bavură și zonele calde vor veni în contact cu zone de metal mai reci, rezultând îmbinări cu caracteristici mecanice slabe. Creșterea  $p_f$  la valoarea  $p_r$  se face după oprirea componentei în rotație, deoarece la cîteva fracțiuni de secundă după oprire, metalul din îmbinare nu se răcește și efectul refulării nu se schimbă. Dacă crește presiunea în timpul rotirii, se produce un surplus de creștere a căldurii și crește consumul de metal. Presiunile de frecare

și refuzare utilizate la sudarea DPA5, sunt mai mici decit valourile parametrilor  $p_x$  și  $p_y$  recomandate pentru imbinări omogene (tabela 2.7), însă cu mașina de sudat MSP-40 s-au obținut presiuni, în cele două faze ale procesului de sudare, de 10 ori, respectiv de 17 ori mai mari decit cele produse cu mașina de sudat prin frecare ZTA-10. La sudarea Al 39,5,  $p_x$  este superioară celei utilizate în cazul imbinărilor bimetal, întrucit pierderile de căldură în MB la sudarea a două componente din Al sunt mai mari decit într-o imbinare Otel-Al. Cu MSP-40 s-au realizat imbinări la care raportul  $p_x/p_y = 2$ , se încadrează în intervalul 1,5...3 recomandat, dar la mașina ZTA-10 valoarea acestui raport este numai 1,17 (tabela 2.7).

Timpul de frecare  $t_p$  s-a ales astfel încit să asigure o distribuție uniformă a temperaturii pe suprafețele frontale ale componentelor de sudat și o expulzare a impurităților prezente inițial și respectivele suprafețe. Corespondator  $p_x$  utilizate, există un domeniu limitat al  $t_p$  pentru producerea unei suduri satisfăcătoare. La tempi scurți, sudurile s-au rupt în imbinare datorită neconsolidării ei. În cazul folosirii unor tempi mai lungi de frecare, rezistența s-a micșorat datorită formării unor structuri grosolane și formării unor creșături la baza bururii. La sudarea prin frecare a două materiale diferite,  $t_p$  necesar obținerii unei suduri corespunzătoare, variază în limite strinse și stabilirea lui este mai dificilă. La sudarea imbinărilor Otel-Al și de DPA4,5,6, cu mașina ZTA-10  $t_p$  (tabela 2.6) reprezintă 91...100% din timpul maxim realizabil cu această mașină. La sudarea imbinărilor bimetal cu Ø88 pentru DPA6 pe mașina ZTA-10 s-a folosit același  $t_p$  cu care s-au sudat imbinările Otel-Al de Ø60 pentru DPA5 pe mașina MSP-40, ceea ce arată că mașina de sudat prin frecare ZTA-10 nu este corespunzătoare pentru sudarea DPA4,5,6. Timpul de refuzare  $t_r$ , comparativ cu cel de frecare, nu s-a ales la valori prea mari, deoarece la oprirea mișcării relative, sudura se răcește cu viteză mare. Scurtarea axială, care rezultă în urma acțiunii forței axiale, are și rolul de a îndepărta oxizii și impuritățile din planul de imbinare, ceea ce este cu etit mai dificil cu cît diametrul pieselor de sudat și este mai mare. Din acest motiv  $\Delta f$  se stabilește în funcție de



**Fig.2.4.-Sudarea prin frecare a înălțimilor Otel-Al:**  
**a) pregătirea pentru sudare; b) în timpul procesului de sudare;**  
**c) după sudare**

diametru și există valori recomandate la sudarea metalelor de același fel (tabelă 2.7). Alegă, realizată cu mașina MSF-40 la sudarea îmbinărilor Oțel-Al ale DPA5, este apropiată de valoarea recomandată pentru îmbinări omogene (26,7 mm față de 30 mm). Alegă obținută cu mașina ZTA-lo a fost de 3...5 ori mai mică, ceea ce a cauzat dislocația într-o măsură mai mică a oxizilor în bavură. Din cercetările efectuate, îmbinările bimetal pentru DPA5 executate cu mașina ZTA-lo au prezentat caracteristici mecanice inferioare.

### 2.5.-Procesul de sudare

#### 2.5.1.-Sudarea dispozitivelor port-anod DPA4,5

In vederea sudării, componenta din ATSi5Fe se prinde în bacuri, iar cea din oțel se fixează în mandrina mașinii de sudat prin frecare (figura 2.4).

Figura 2.5 ilustrează o îmbinare Oțel-Al care s-a executat cu mașina de sudat prin frecare MSF-40, folosind regulul de sudare indicat în tabelă 2.6. După sudare, îmbinarea



Fig.2.5.-Îmbinare Oțel-Al cu o60, debavurată și prelucrată

bimetal este supusă la următoarele operații de prelucrare mecanică:  
-tăierea la ferestrău a adosului tehnologic ( $\phi 30$ , figura 2.2,c), care a fost necesar pentru prinderea componentei din oțel

în mandrină mașinii de sudat prin frecare;  
-frezarea pe două laturi a componentei din aliaj de Al pentru îndepărterea bavurii rezultate după sudare.

Bavura, care este păstrată pe două laturi ale îmbinării bimetal, funcționează ca un radiator de căldură în timpul exploatării dispozitivului port-anod.

Pentru construcția DPA4 se utilizează îmbinări Oțel-Al aflate în acest stadiu de prelucrare mecanică (figura 2.6,a).

La DPA5 lucrările de pregătire continuă prin asamblarea și sudarea tetrapiedului bimetal. Tetrapiedul Oțel-Al este construcție nouă sudată prin frecare, propusă pentru înlocuirea plăcuței bimetal sudată prin explozie, care se utilizează în prezent în metallurgie Al. Acest tetrapied se obține

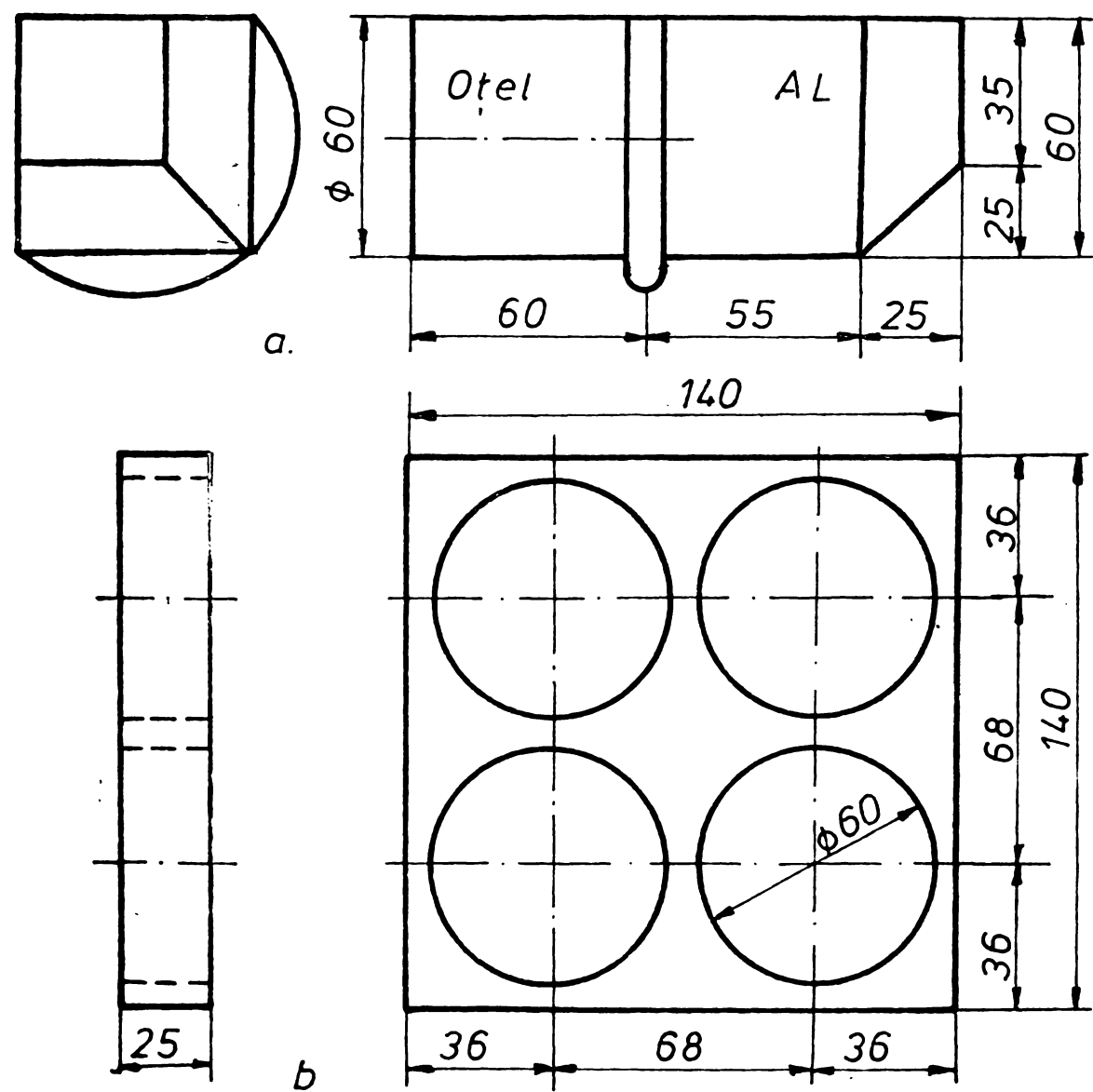


Fig. 8.6.-Tetrapied Otel-Al pentru DPA5: a) imbinare bimetala sudată prin frezare; b) placă din oțel; c) vedere de ansamblu

din patru șimbări Oțel-Al sudate prin frecare și o placă din oțel OL37 prevăzută cu patru găuri (figura 2,6.b). Componentele din oțel ale tetrapiedului se asamblează și se șimbă prin sudură electrică manuală. La șamblarea DPA5, partea din Al a bimetalului astfel format se șimbă cu tija din aliaj de Al prin procedeul MIG, iar subansamblul tijă anodică - tetrapied bimetal se aşează cu placă din OL37 pe tetrapodul din oțel al dispozitivului port-anod, de căre se sudează manual cu electrod învelit. Tetrapiedul Oțel-Al pentru DPA5, gata sudat, se prezintă în figura 2,5,c.

#### 2.5.2.-Sudarea dispozitivului port-anod DPA6

DPA6 este realizat cu o tijă din aliaj ATSi5Fe. obținută prin tumare, prevăzută cu patru ramificații, de căre se sudează prin frecare cele patru componente din oțel ale dispozitivului port-anod. Intrucit modificarea constructivă adoptată permite sudarea directă de tijă și părții din oțel, la DPA6 sunt eliminate șimbările de tip Al-Al sudate prin procedeul MIG, șimbări care există la dispozitivele port-anod DPAl, 3,4,5 [10]. În vederea sudării tija anodică se montează pe mașina de sudat prin frecare 1 (figura 2.7). În acest scop coloana tijei 2 se introduce în dispozitivul 3, putind efectua o deplasare în lungul batifului mașinii și o mișcare de rotație în jurul axei longitudinale. Dispozitivul este rezemat pe fundație, astfel încit greutatea proprie și greutatea tijei din aliaj de Al nu încarcă construcția mașinii de sudat prin frecare. Ramificația 4 a coloanei se prinde în bacurile 5, iar componenta din oțel 6, se fixează în mandrină, asigurându-se linieritatea axei sale cu axa terminației cilindrice 7 a componentei din Al. Presiunile de frecare și de refuzare se produc prin acționarea pistonului de forță al mașinii de sudat asupra proeminenței 8, care imprimă tijei anodică o mișcare longitudinală. După refuzare sania revine în poziția inițială, bacurile se deschid, cu dispozitivul 3 se rotește coloana tijei din Al și se restabilesc condițiile pentru sudarea ramificației următoare. Procesul de sudare prin frecare al DPA6 se încheie, astfel, după patru cicluri de sudare a componentelor din oțel cu tija din Al. Parametrii regimului de sudare se aleg corespunzător diametrului componentelor de 88mm (tabela 2.6).

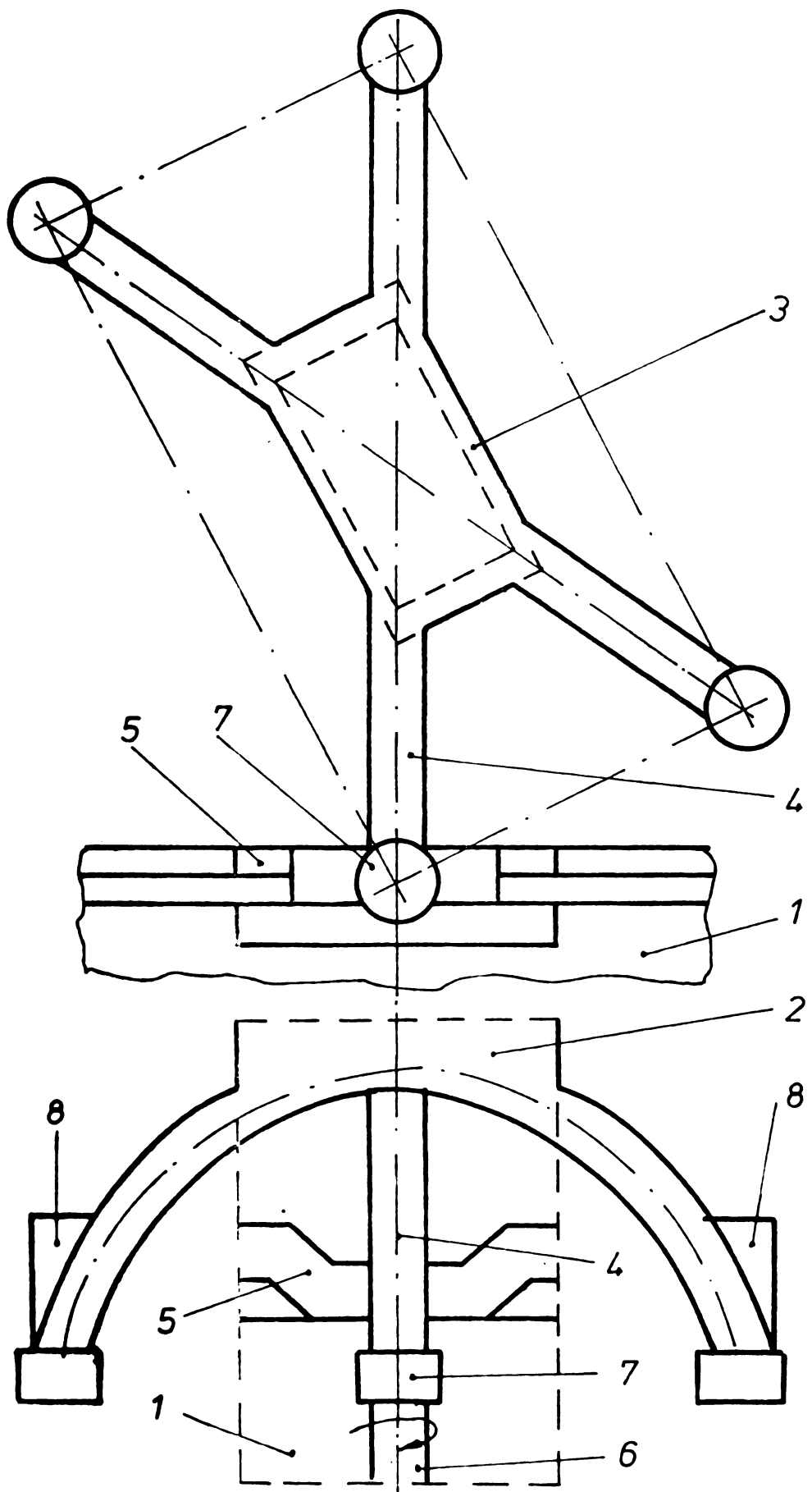


Fig.-2.7.-Sudarea prin frecare a DPA6 cu patru ramificații: 1-batiul masinii de sudat; 2-colemanita tijei snedice; 3-dispozitiv de pozitionare a tijei; 4-ramificațiiile coloanei tijei; 5-becuri; 6-componenta din oțel; 7-terminala cilindrică a ramificațiilor; 8-prominente.

In cadrul cercetărilor experimentale pentru realizarea dispozitivului port-anod DPA6 sudat prin frecare, au fost rezolvate următoarele probleme:

- proiectarea DPA6 în condiții de similitudine geometrică și funcțională cu DPAl;
- executarea unei machete din lemn a DPA6, la scara 1:1;
- verificarea DPA6 pe linie de asamblare a anozilor și efectuarea corecturilor de formă și dimensionale impuse de trecerea DPA6 la toate instalațiile aflate pe această linie de asamblare;
- stabilirea tehnologiei de turnare, realizarea modelului de tumare și turnarea din aliaj ATSi5Fe a tijei DPA6, prevăzută cu patru ramificații;
- sudarea prin frecare a DPA6.

Datorită volumului mare al lucrărilor de pregătire, experimentările privind sudarea DPA6 cu patru ramificații, au avut o durată mai lungă de realizare. Reducerea acestei durate s-a obținut prin folosirea tijei anodice a DPAl, utilizată în prezent în metalurgie Al, în urma sudării prin frecare cu componentele din eșel, rezultând DPA6 cu două ramificații. În timpul procesului de sudare tija din Al a fost așezată pe două piese de susținere și ghidare, montate pe un suport metalic. Sistemul de

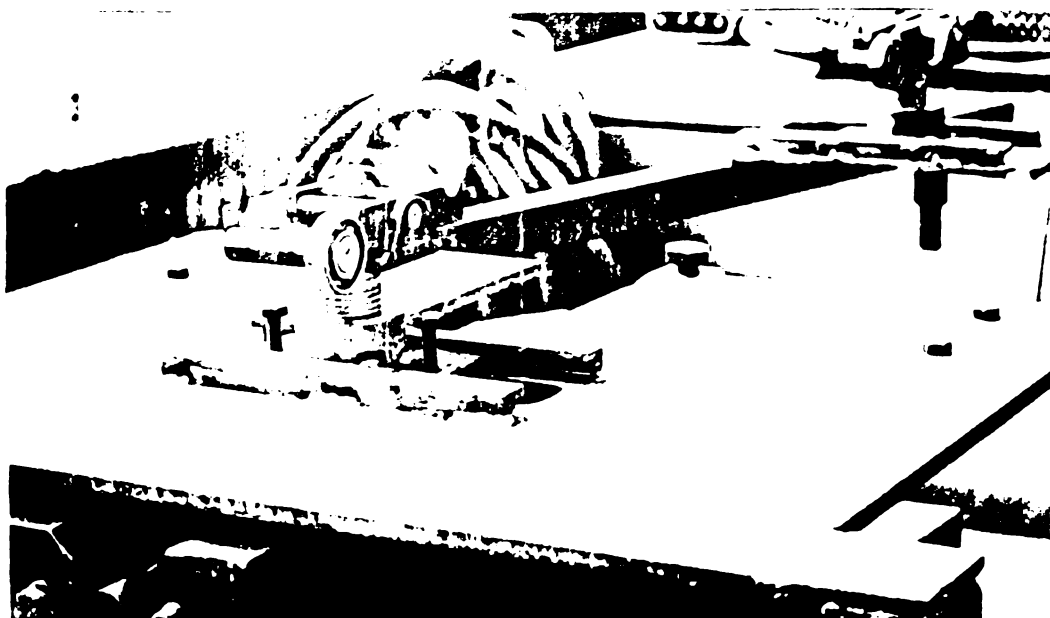


Fig.2.8.-Dispozitiv de poziționare a DPA6 cu două ramificații rulare a fost alcătuit din patru rulmenți, reglarea pe verticală s-a făcut prin intermediul unei țimbări surub-piuliță cu filet patrat și un sistem de ghidare a permis deplasarea tijei transversal pe mașina de sudat (figura 2.8).

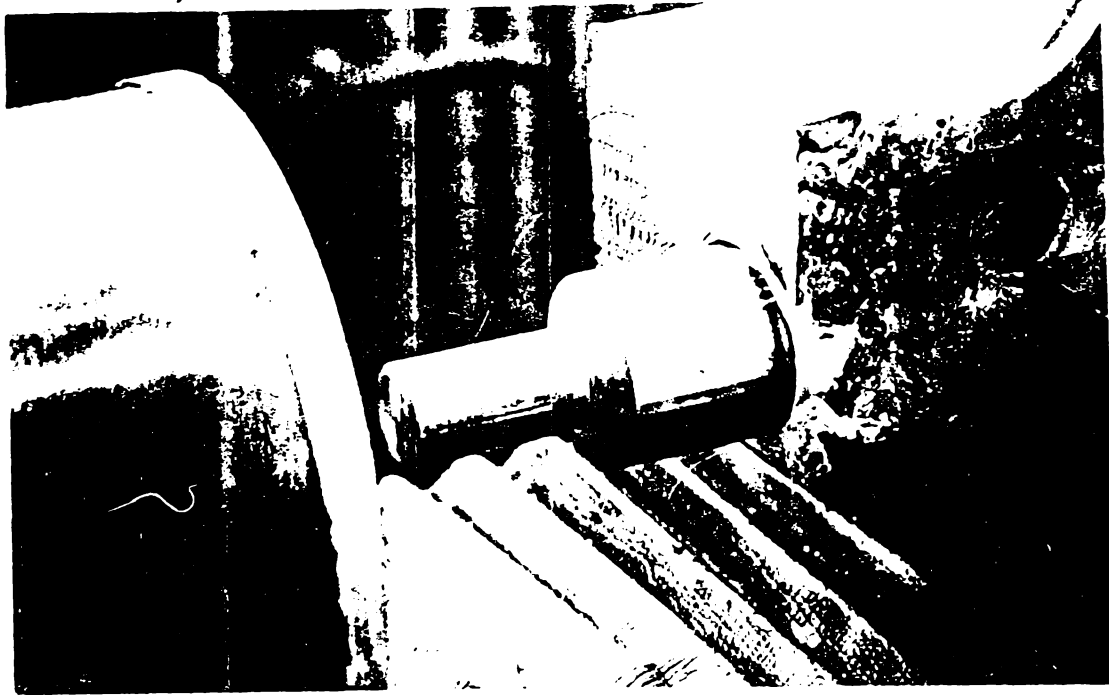
După prinderea în băcuri, cele două ramificații s-au aflat într-un plan vertical (figura 2.9). Întrucât suprafața frontală a componentelor din Al, datorită geometriei tijei, s-a aflat ~~prea sus~~ față de suprafața frontală a componentei din oțel prin să în mandrina mașinii de sudat prin frecare, a rezultat un contact parțial între suprafețele căre urmău să fie îmbinate. Acest neajuns s-a înălțurat prin frezarea la exterior a ramificațiilor, deplasarea suprafeței de rezemare spre axa componentei din Al determinând coborîrea corespunzătoare a terminației tijei din Al. Pe ramificația inferioară s-au sudat succesiv două componente din oțel (figura 2.10,a,b), apoi s-a adus și două ramificație în poziția de sudare și s-au sudat următoarele două componente din oțel (figura 2.10,c,d). Astfel, tija din aliaj de Al, în vederea sudării, a efectuat următoarele mișcări:



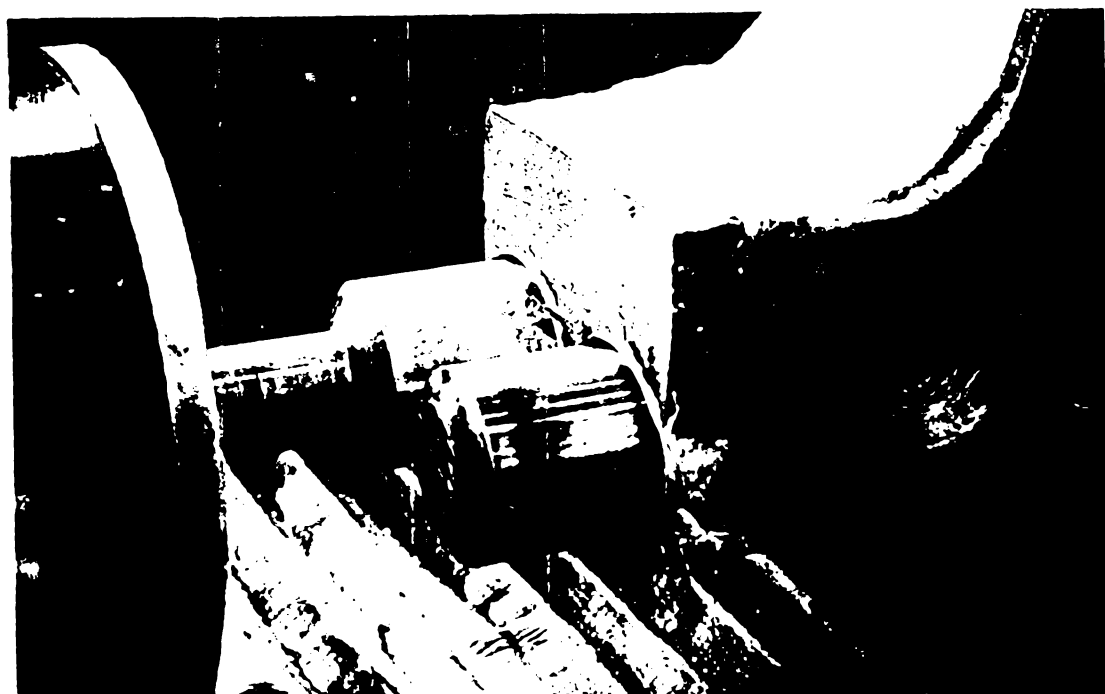
Fig.2.9.-Vedere de ansamblu la sudarea prin frecare a DPA6 cu două ramificații

- longitudinală, pentru realizarea prestațiilor de frecare și refuzare;
- transversală, pentru poziționare în raport cu axa componentei din oțel căre este fixată în mandrina mașinii de sudat prin frecare;
- de rotație în jurul axei, pentru schimbarea poziției ramificațiilor.

La fiecare rămificăție, după sudarea primei componente din oțel se îndepărtează porțiunea cu care s-a fost fixată în mandrină, pentru a permite curse de apropiere a tijei la sudarea imbinării bimetal următoare. Parametrii regimului de sudare sunt ales corespunzător diametrului componentelor din oțel de 60 mm (tabela 2.6).

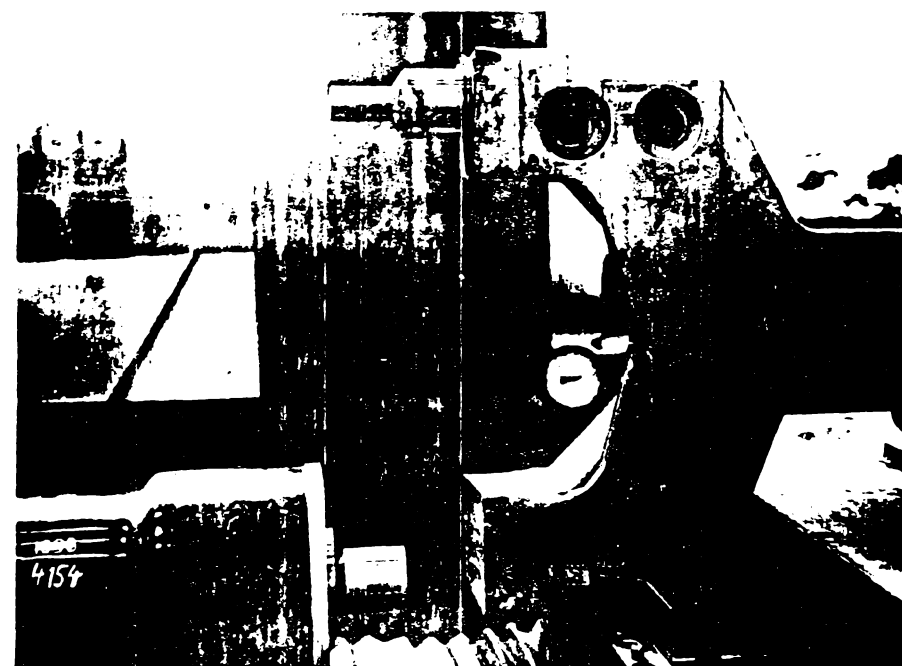


a)

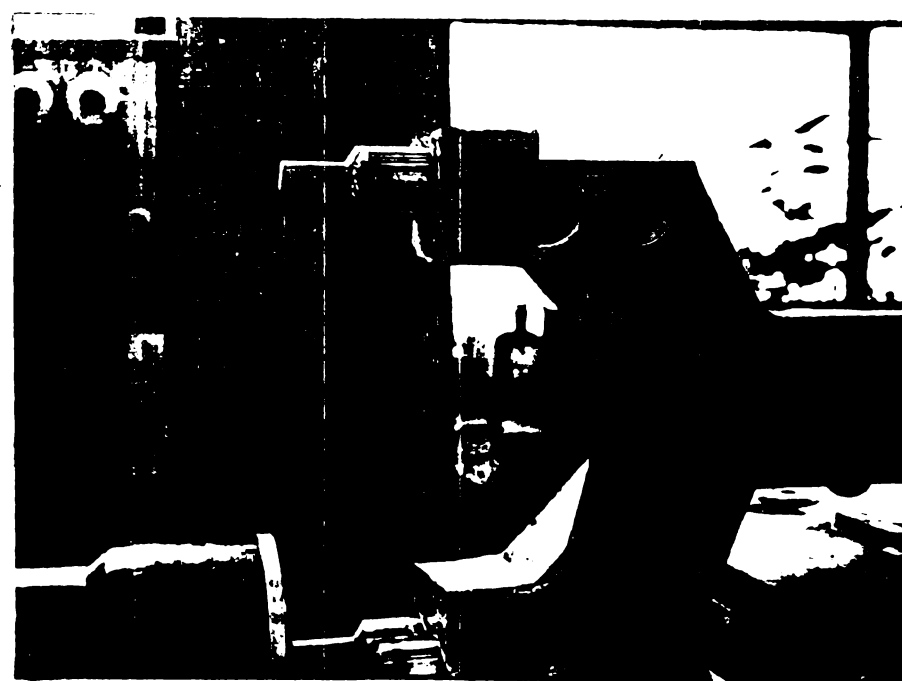


b)

Fig.2.10.-Ordinea de sudare prin frecare a fimbinarilor Oțel-Al ale DPA6 cu două rămificății: a)sudarea componentei 1 din oțel; b)sudarea componentei 2 din oțel.



c)

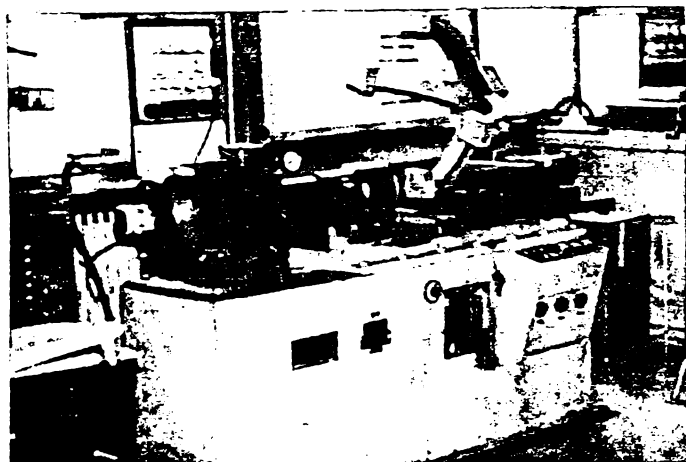


d)

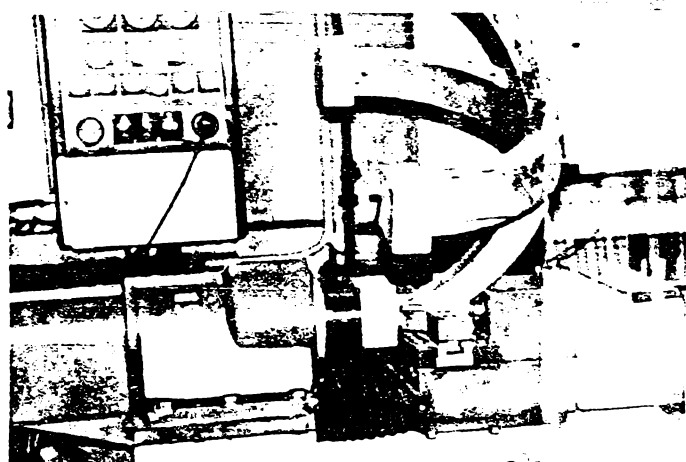
**Fig.2.10.** c) sudarea componentei 3 din ogl ,  
d) sudarea componentei 4 din ogl ;

După ouzine rea prin turnare a tijei anodice realizată conform cercetării, s-a procedat la sudarea prin frecare a dispozitivului port-anod cu patru ramificații (fig.2.11.)

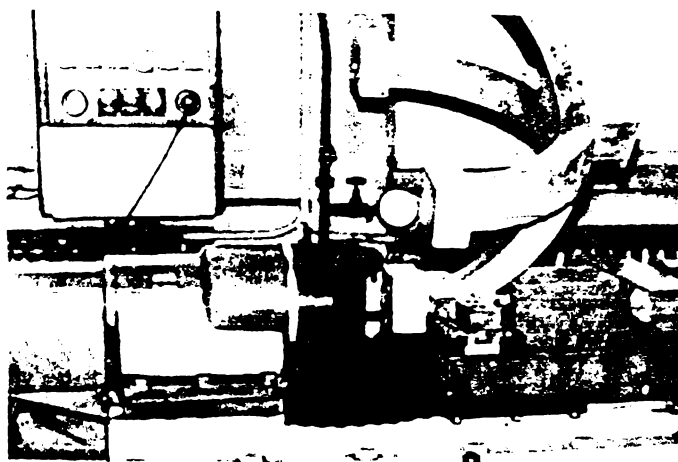
Pentru aceasta ramificațiile se fixează succesiv în băcurile mașinii și se sudă ea prin frecare cu căte o componentă din ogl.



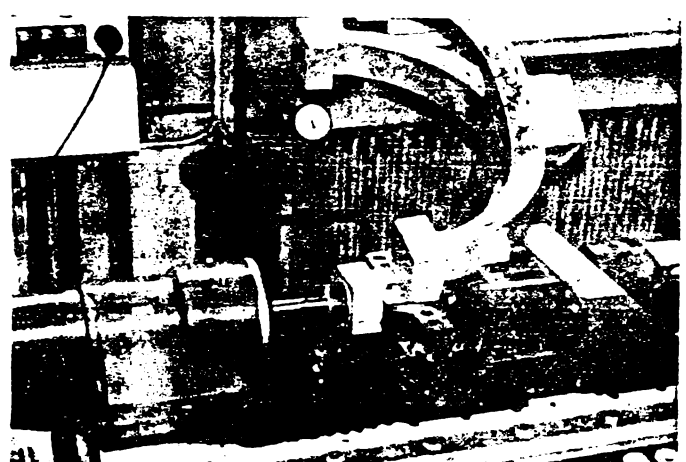
a



c

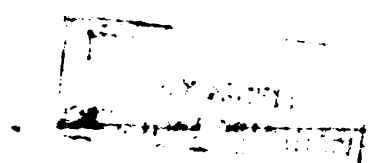


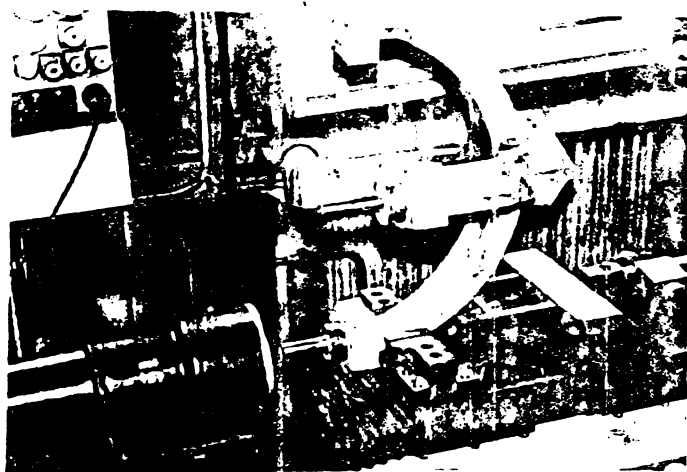
b



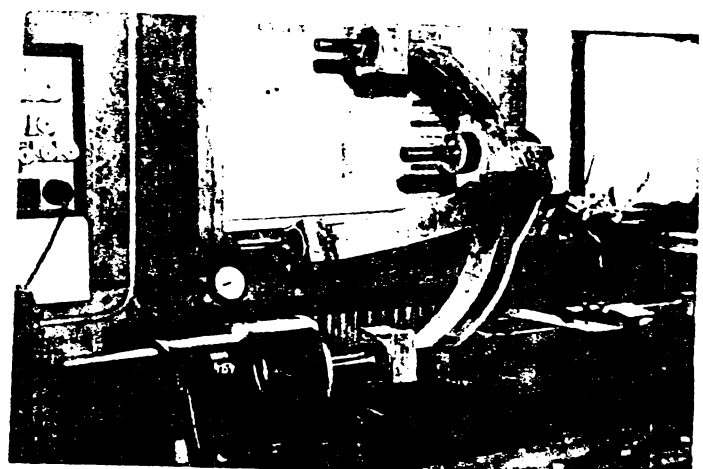
d

Fig.2.11.-Ordinea de sudare prin frecare a îmbinărilor oțel-Al ale DPA6 cu patru rămificații: a) prinderea tijei din aliaj de Al în băcuri; b) prinderea componentei din oțel în mandrină; c) sudarea componentei 1 din oțel; d) sudarea rămificației 1

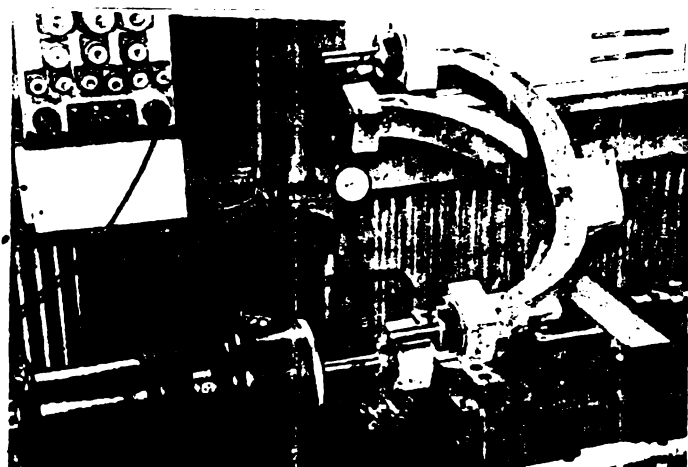




e



f



g

Fig.2.11 e) sudarea ramificației 2; f) sudarea ramificației 3;  
g) sudarea ramificației 4

### 3.-EXPERIMENTARI PRIVIND SUDAREA MIG A IMBINARILOR

#### BIMETAL CU TIJA ANODICA DIN ALIAJ DE ALUMINIU

In procesul de fabricatie al dispozitivului port-anod procedeul MIG se utilizeaza la sudarea imbinarilor Al-Al. Astfel, la DPAl,3, se imbină prin acest procedeu tija din aliaj de Al cu o placă bimetal sudată prin explozie, iar la DPA4,5, tija anodică cu patru imbinări Oțel-Al sudate prin frecare. Stadiul actual de dezvoltare și aplicare a sudării MIG la constructii tehnologice pentru fabricarea electro-litică a Al a fost determinat de perfecționările ce s-au adus surselor de sudare în mediu de gaze protectoare, gazelor de protectie și sîrmelor-electrod [24, 29, 77, 79, 80, 86, 93, 94, 100]. Imbinările de tip Al-Al ale DPAl,3,4,5, s-au obținut folosind procedeul de sudare MIG cu arc pulsatoriu [33, 36, 39, 40, 54, 66, 120]. Necesitatea cercetării aspectelor tehnologice ale executiei prin sudare MIG a constructiilor din materiale de Al, s-a impus datorită dezvoltării în special a industriei chimice, petroliere și alimentare [31, 69, 73, 74, 91, 95, 99, 104, 109, 151]. In cadrul prezentei cercetări s-au optimizat constructiv tehnologic DPAl,2 utilizate în metallurgia Al. Intrucît producția de dispozitive port-anod este de 12.000 buc./an este necesar să se asigure un grad ridicat de mecanizare a lucrărilor de asamblare și sudare a DPAl,3,4,5, [83, 87, 88, 119, 141]. La sudarea prin topire a aliajelor ATSi5Fe, o importanță deosebită are alegerea metalului de adăos pentru prevenirea formării compusului ternar AlSiFe, care fragilizează imbinarea sudată [48, 50, 60, 61, 68, 103, 105, 112, 117].

##### 3.1.-Materiale utilizate

Una din cele două componente ale imbinarilor Al-Al sudate prin procedeul MIG este o tijă anodică din aliaj ATSi5Fe. În varianta actuală DPAl și în varianta propusă DPA3, a două componentă este din Al 99,5 are grosime 12,7 mm și aparține unei plăci bimetal sudată prin explozie (tabelă 3.1). În variantele propuse DPA4,5, a două componentă este din ATSi5Fe, are grosimea de 80 mm și formează o imbinare bimetal sudată prin

Caracteristici ale unor materiale utilizate la sudarea MIG.

TABELA 3.1

Nr. art rea	Denumirea - Calitatea	Compoziția chimică %								Dimensiuni geometrice și toleranțe			
		Al	Cu	Na	Si	Ti	Zn	Fe	C	S	P	Mg	Alte noști Gresii - Sectiunea a + b Tip I Tip II
1.	Sirnaș Al 99,5 T min elec- trod	99,5	•,5	max	max	-	max	•,1	max	max	-	-	-
								•,12	•,2	•,•5	•,2•		
2.	Placă bimetal A 5	99,5	•,•2	-	•,•3•	•,•3	•,•7	•,4•	-	-	•,•3	•,•3	12,7 ± 1,5
	Al valent	99,5	•,•2	-	•,•3•	•,•3	•,•7	•,4•	-	-	•,•3	•,•3	12,7 ± 1,5
	STAS 76•7-72												
3.	Otel SAE 1008	-	-	•,25	max	-	-	max	max	max	-	-	38,3 ± 1,6
	Franta echivalezent	-	-	•,5•	•,25	-	-	•,1•	•,•5	•,•5	•,•4		
	OL 42 STAS 500-80												

frecare (tabela 2.1, 2.2, 2.3). Rezultă că prin procedeul MIG, la DPA1,3 se sudorează materialele având compozиtiile chimice și caracteristici mecanice diferite (Al 99,5 ATSi5Fe), iar la DPA4,5 se îmbină două componente din acelaș material (ATSi5Fe). Comportarea la sudare a aliajelor din Al poate fi apreciată după conținutul în elemente de aliere care determină gradul de fisurabilitate al aliajului (tabela 3.2). Întrucătă conținutul minim în Si al aliajului ATSi5Fe este 2,18% (tabela 2.3), iar sensibilitatea la fisurare este maximă pentru 0,75% Si (tabela 3.2), rezultă că acest aliaj are o comportare bună la sudare.

T A B E L A 3.2

Concentrații care determină un grad maxim de fisurabilitate  
[loz]

Aliajul	Sensibilitatea maximă la fisurare (%)	Conținutul minim în elementul respectiv (%)
Al Cu	3 Cu	5 Cu
Al Mg	1,3 Mg	3,5 Mg
AlSiMg	0,5...0,8 Si	2 Si
Al Si	0,2...1,2 Mg 0,75 Si	3,5 Mg 2 Si

Sîrmele pentru sudarea aliajelor de Al se aleg conform următoarelor criterii [96]:

-Sîrma după topire și amestecarea cu metalul de bază să nu conțină în exces produși ce scad plasticitatea și rezistența la oboseală. Asemenea produși frágilizanți sunt: MgSi, CuAl<sub>2</sub>, MnAl<sub>6</sub>, AlFeSi.

-Sîrme de sudură trebuie să aibă o rezistență mecanică mai mare decît cea a MB în stare recoaptă.

-La aliajele de Al călibile se alege o sîrmă de sudare de acelaș tip dacă structura sudată se tratează termic după sudare. În cazul în care nu se face nici un fel de tratament termic după sudare, se alege o sîrmă netratabilă termic cu rezistență mecanică ridicată. În concordanță cu aceste criterii, la sudarea MIG a îmbinărilor Al-Al s-a utilizat ca metal de ados sîrmă din Al 99,5 modificată cu titan (tabela 3.1),

având diametrul de 2,4 mm și rezistență de rupere la tracțiune de minim  $15...17 \text{ daN/mm}^2$ .

### 3.2.-Pregătirea pentru sudare

Pregătirea suprafețelor în vederea sudării MIG s-a desfășurat în următoarele operațiuni:

- îndepărțarea particulelor de ulei;
- decapare cu  $\text{NaOH}$  (10...20%) la  $353\text{K}$  timp de 1...2 min;
- spălare cu apă rece;
- neutralizare cu  $\text{HNO}_3$  (15...20%) la  $293\text{K}$ ;
- spălare succesivă cu apă rece și fierbinte.

In condițiile fabricației de serie a DPAl, componenta din Al 99,5 se degreseză cu acetona. În DPA3, aceeași componentă s-a deținut cu o soluție formată din patru părți  $\text{HNO}_3$  (54%) și o parte HF (70%), la  $293\text{K}$  timp de un minut. A urmat spălarea succesivă cu apă rece și fierbinte.

Pregătirea îmbinărilor Al-Al ale dispozitivului port-anod în vederea sudării MIG s-a făcut în mod diferit, în funcție de variantele constructive DPAl, 3, 4, 5. Astfel, la DPAl placa bimetal sudată prin explozie se asamblează cu baza tijei din aliaj de Al (figura 3.1). În procesul tehnologic actual de sudare în varianta DPAl se menționează următoarele dezavantaje:

- montarea componentelor se face fără dispozitiv și fără sabloane de control;
- operatiunea de montaj necesită doi sudori;
- nu se folosesc garnituri de sprijin a rădăcinii.

DPA3 reprezintă varianța nouă a DPAl care s-a realizat, conform cercetării [15], cu scopul de a optimiza tehnologia de sudare prin procedeul WIG a îmbinării dintre placa bimetal sudată prin explozie și tija anodică (figura 3.2). Deosebirea între DPA3 și DPAl constă în forma diferită a rostului îmbinărilor Al-Al. La DPA3 această formă s-a realizat prin prelucrări mecanice, care s-au efectuat la baza tijelor din Al ale DPAl. În condițiile aplicării în producție a rezultatelor cercetării, operațiile suplimentare vor fi însă eliminate, întrucât forma rostului se va obține direct prin turnarea tijei ca în prezent la LPAl. Tehnologia de sudare a îmbinărilor Al-Al ale DPA3 s-a optimizat, comparativ cu DPAl, prin mărirea deschiderii rostului (4 mm) și a lățimii acestuia (25mm),

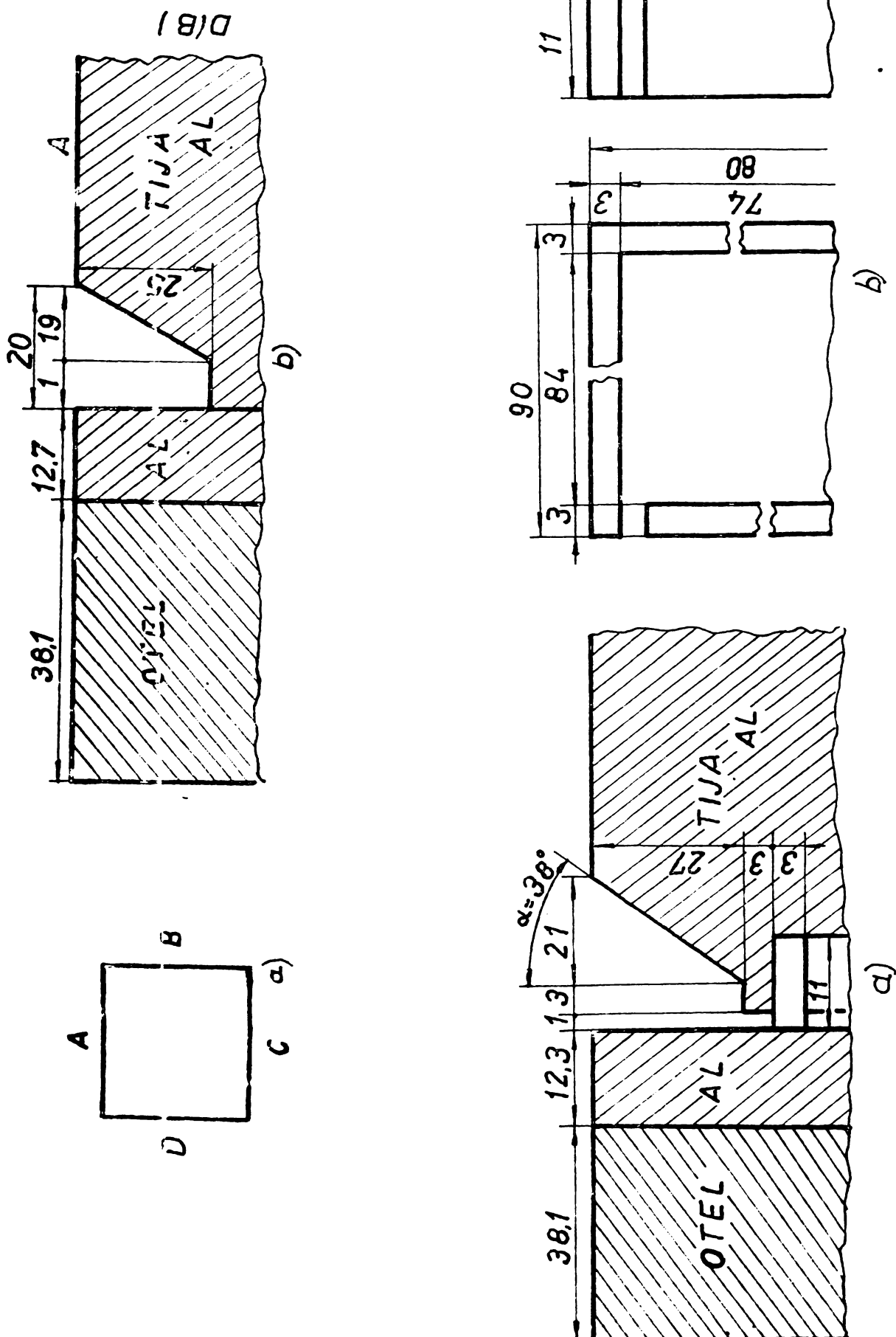


Fig.3.1.-Pregătirea pentru sudarea MIG și DPA3:  
a) simbolul laturilor trăiei anodice,  
b) forma rostului de sudare  
[142]

Fig.3.2.-Pregătirea pentru sudarea MIG și DPA3: a) forma rostului de sudare; b) garnitură din oțel

precum și prin introducerea unei garnituri din oțel la baza tijei, sub rădăcina rostului îmbinării (figura 3.2). Ca urmare, a crescut secțiunea rostului și prin aceasta va crește capacitatea portantă a cusăturii, capul de sudare va avea acces neîmpiedecat pe toată grosimea de îmbinare și astfel se poate executa corect stratul de rădăcină, iar garnitura din oțel nu va permite modificarea formei cusăturii prin scurgeri de metal topit în interstițiul dintre componente.

Față de DPA3, care s-a propus ca o variantă de optimizare a tehnologiei de sudare a DPAl, dispozitivele port-anod DPA4,5, sunt variante constructive sudate prin frecare propuse pentru înlocuirea DPAl, utilizat în prezent în metalurgia Al. DPA4 este prevăzut cu patru îmbinări Oțel-Al sudate prin frecare, care se sudează succesiv cu tija din aliaj de Al. Intrucît secțiunea totală a celor patru componente din Al ale îmbinărilor bimetal ( $13.400 \text{ mm}^2$ ) reprezintă 64% din secțiunea maximă a bazei tijei din aliaj de Al cu care se sudează (tip I,  $21.000 \text{ mm}^2$  tabelă 3.1), este foarte importantă atât forma rostului cât și ordinea de sudare a componentelor, pentru ca suprafața totală a sudurilor MIG, în condițiile date, să fie maximă. Din această

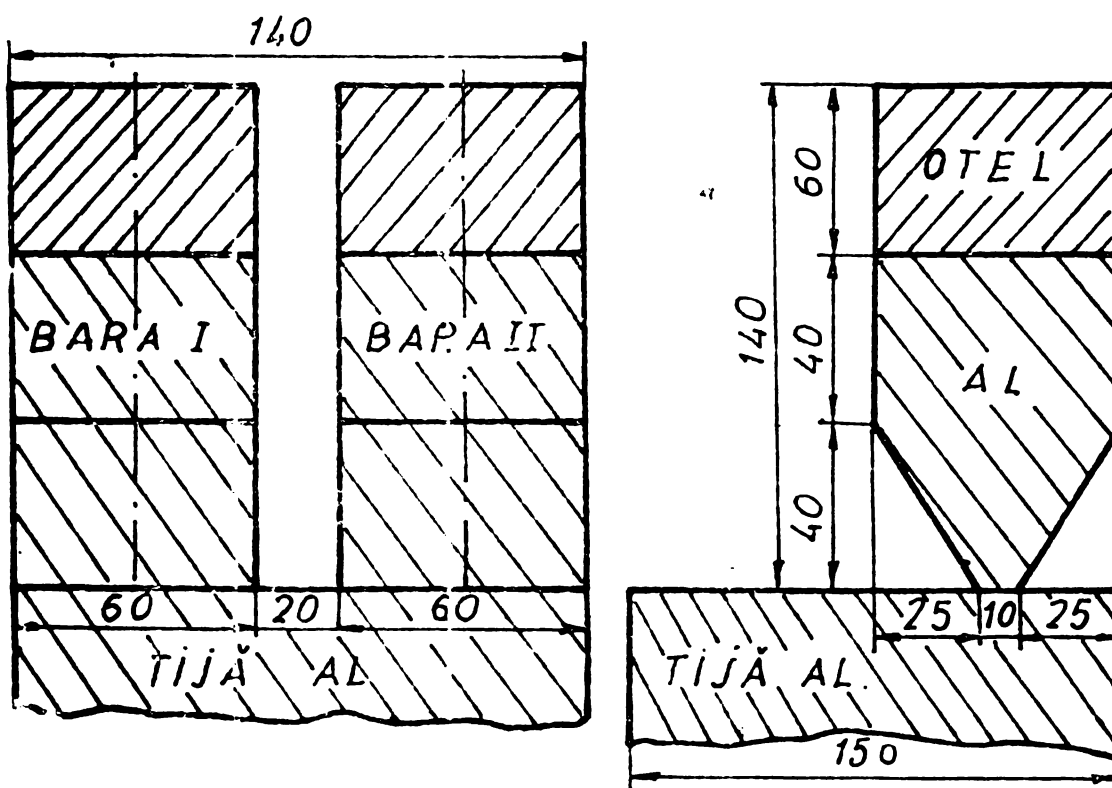


Fig.3.3.-Pregătirea pentru sudarea MIG a DPA4

cauza pregătirea pentru sudare a DPA4 este constituită în asamblarea a două componente cu tije anodice (figura 3.3), celelalte două îmbinări

Oțel-Al sudate prin frecare urmând să fie împilate în fază procesului de sudare a DPA4. Poziționarea îmbinărilor bimetal pe tija anodică se face cu un dispozitiv de asamblare-sudare, care a asigurat geometria rostului și fixarea rigidă a componentelor. Spre deosebire de DPA4, cele patru îmbinări Oțel-Al sudate prin frecare ale DPA5 se sudorează concomitent cu tija din aliaj de Al. Pregătirea pentru sudare a îmbinărilor Al-Al pentru DPA5 constă din asamblarea tetrapiedului bimetal cu tija anodică și prinderea cu puncte de sudură a acestor îmbinări (figura 3.4).

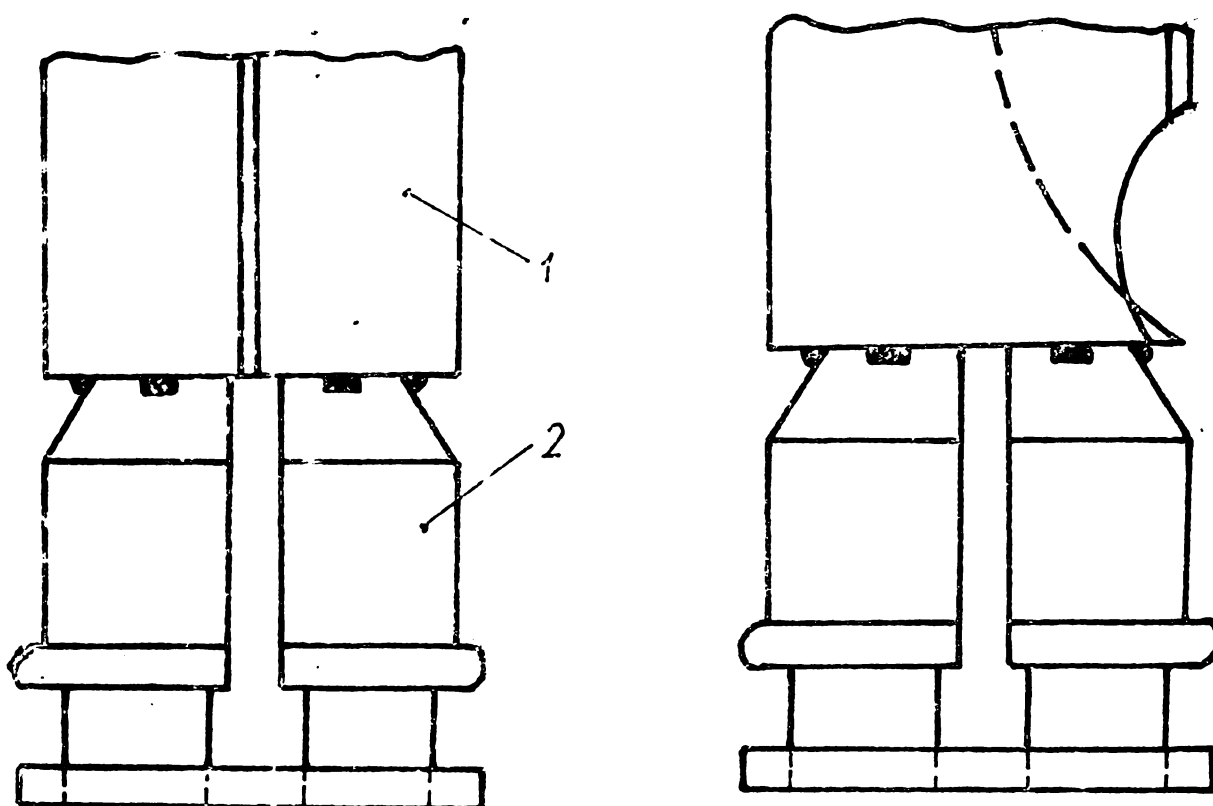


Fig.3.4.-Pregătirea pentru sudarea MIG a DPA5: 1-tijă din aliaj de Al; 2-tetrapied cu patru îmbinări Oțel-Al sudate prin frecare

### 3.3.-Procesul de sudare

#### 3.3.1.-Sudarea MIG a dispozitivului port-anod DPA1

In varianta actuală DPA1, sudarea MIG a îmbinării tijei anodice cu placă de Oțel-Al sudată prin explozie, comportă executarea a patru cusături în muchie, pe lăturile căre delimită suprafata de contact între componente din Al.

Piecare cusătură se sujează în poziție orizontală și se obține din patru treceri (figura 3.5). Succesiunea operațiilor

de sudare este următoarea:

-se realizează rândurile 1, 2 și 3 întâi pe latura A (figura 3.1), apoi succesiv pe laturile B, C și D;

-se efectuează stratul de scoperire pe toate laturile, capul de sudare fiind condus cu devieri transversale maxime (20 mm) pentru a rezulta o îmbinare fără creștături. Curentul de sudare este 300 A, iar tensiunea arcului 27...28 V.

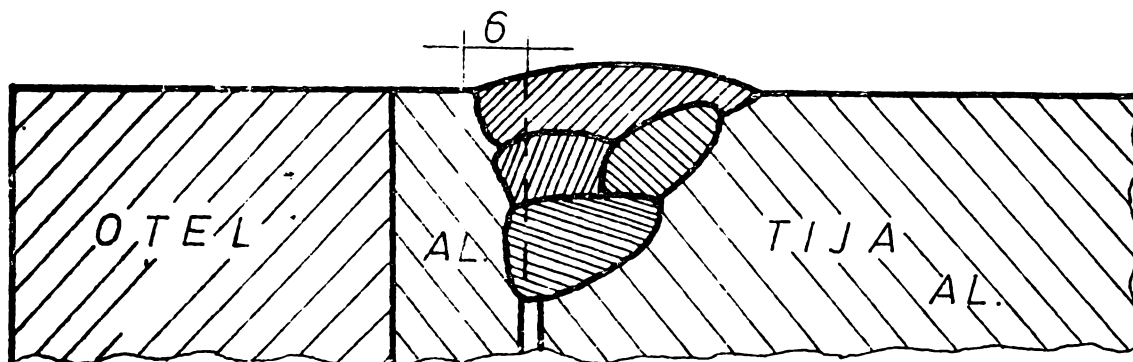


Fig.3.5.-Sudarea MIG a DPAl [142]

In tehnologia actuală de sudare a DPAl se evidențiază următoarele neajunsuri:

-practic s-au constatat străpungeri în stratul de Al placat prin explozie pe oțel;

-se concentrează o mare cantitate de căldură într-un spațiu restrins, ceea ce deterioră ză îmbinarea sudată prin explozie. Experiența a demonstrat că este necesară o limitare a temperaturii la 588K în timpul procesului de sudare, ceea ce este foarte dificil de realizat. Se menționează că la funcționarea în cuvele pentru fabricația electroliitică a Al nu depășește 533K [142],

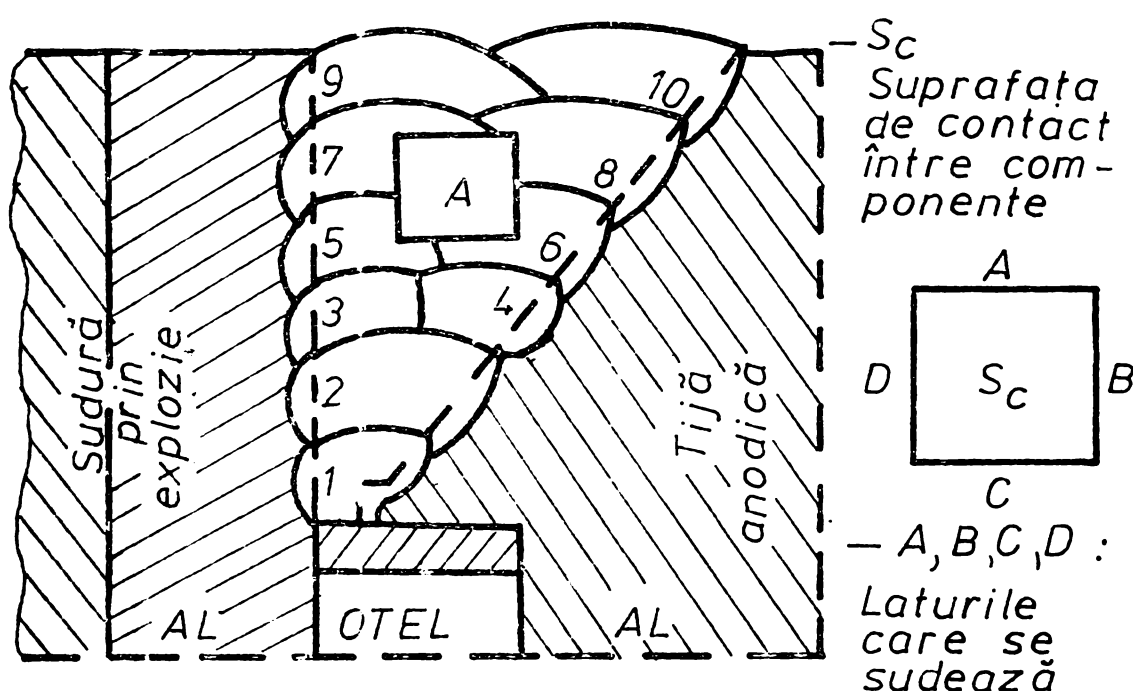
-sudarea fără susținerea rădăcinii pe garnituri prevedea scurgerea băii, respectiv defecte de rădăcină.

### 3.3.2.-sudarea MIG a dispozitivului port-anod DPA3

Îmbinările Al-Al sunt modificate constructiv la DPA3 față de DPAl, astfel încât este posibilă schimbarea tehnologiei de sudare. Conform prezentei cercetări, sudarea MIG între plăci Oțel-Al sudată prin explozie și tija anodică s-a făcut pe garnituri din oțel, care au susținut rădăcina cusăturilor efectuate pe laturile suprafetei de contact între componente

nr. crt. Date tehnologice privind sudarea imbinărilor Al-Al

1 Forme imbinării sulate



2 Regimul de sudare

Curentul de sudare A	Tensiunea arcului V	Viteza de sudare m/min	Debitul de argon, m³/h
275...300	28	6	1,42

3 Ordinea de sudare

Pașale pro- cesului de sudare	Numărul ope- rației	Latura care se sudează	Rândurile care se execută	Sensul de sudare
I	1	A	1...4	D-B
	2	C		B-D
	3	B		A-C
	4	D		C-A
II	1	A	5...8	B-D
	2	C		D-B
	3	B		C-A
	4	D		A-C
III	1	A	9...10	D-B
	2	C		B-D
	3	B		A-C
	4	D		C-A

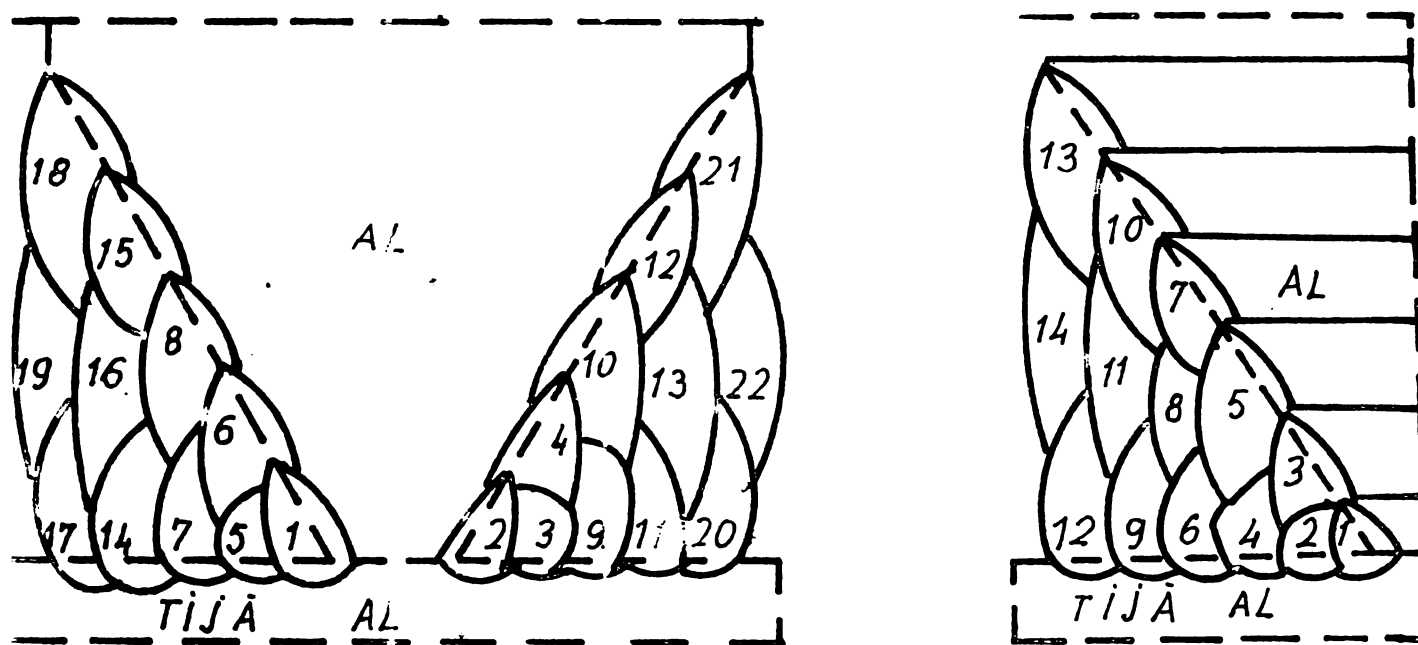
[126]. Pentru micșorarea efectului termic al arcului electric asupra ițtinării sușării, s-a aplicat stratificarea la sudarea MIG și s-a urmărit repartizarea uniformă a căldurii în îmbinare, prin stabilitatea corespunzătoare a ordinei de sudare (tabelă 3.3). Astfel, în DPA3 o cusătură a rezultat din depunerile a zece rînduri cu conducere liniară a capului de sudare, față de patru rînduri efectuate cu devieri transversale ale arcului electric, la sudarea MIG a DPAl. Pentru fiecare cusătură, cele șase straturi s-au executat în trei faze diferite ale procesului de sudare, iar în cadrul fiecărei faze rîndurile s-au depus succesiv pe cîte două lături paralele ale suprafeței de contact între placă Oțel-Al și tija din aliaj de Al. Ordinea de sudare a DPA3, comparativ cu DPAl, a făcut necesară mărirea numărului de rotații a tijei anodice în jurul axei longitudinale, pentru stabilirea poziției de sudare a unui număr mai mare de straturi. Acest fapt nu a mărit însă durata procesului de sudare, care în cazul îmbinărilor Al-Al ale DPAl, este un proces discontinuu, intreruperile fiind necesare pentru limitarea temperaturii în îmbinarea Oțel-Al sudată prin explozie la valori sub 588K.

Rezultatele sudării DPA3 sunt superioare celor obținute la sudarea DPAl, cusăturile rezultând fără defecte la rădăcină și corespunzător formate pe toată grosimea de îmbinare.

### 3.3.3.-Sudarea MIG a dispozitivului port-anod DPA4

La sudarea MIG a tijei din aliaj de Al cu îmbinările Oțel-Al sudate prin frecare se execută șase cusături în K și o cusătură în colț exterior [16]. Primele patru cusături se sudează pe componente bimetal căre au fost asemblate cu tija, în fază de pregătire pentru sudare (figura 3.3). Acest mod de pregătire a permis accesul nestinjorit al capului de sudare pe ambele părți ale îmbinărilor Oțel-Al sudate prin frecare, rezultând cîte două cusături din cinci straturi fiecare (figura 3.6.a). Din același motiv, a treia îmbinare Oțel-Al sudată prin frecare s-a așezat pe baza tijei anodice cu rostul orientat perpendicular față de îmbinările bimetal I și II (figura 3.7.a), după care s-a sudat definitiv (figura 3.6.b).

A urmat montarea pe tija din aliaj de Al a șimbării bimetal IV (figura 3.7,b) și procesul de sudare Al DPA4 prin procesul MIG s-a încheiat cu realizarea cusăturii de colț exterioare între componente din Al (figura 3.6,b).



**Fig.3.6.-Ordinea depunerii rîndurilor la sudarea MIG a DPA4:** a) pentru componente bimetal I, II, III;  
b) pentru componente bimetal IV

Intrucit lucrările de asamblare și sudare MIG s-au efectuat cu un dispozitiv care a asigurat fixarea rigidă a șimbărilor Oțel-Al sudate prin frecare, nu a fost necesară prinderea cu puncte de sudură provizorii a componentelor din Al.

#### T A B E L A 3.4

**Parametri tehnologici la sudarea șimbărilor Al-Al ale DPA4**

Metal de bază	Sârmă de sudură	Parametri de sudare				
		Cârlig-tate	Dia-me-trul trub	Curent de sudare A	Tensiunea arcului V	Viteză de sudare m/min
ATS15Fe	Al99,5T	2,4	mm	300...350	30	6
						1,42

In timpul sudării s-a asigurat respectarea parametrilor regimului de sudare (tabel 3.4) și s-a controlat temperatura între straturi, care s-a limitat la valoarea maximă de 473K lucruind continuu cu răcire artificială.

Sudarea MIG a DPA4, comparativ cu DPAl, prezintă următoarele avantaje:

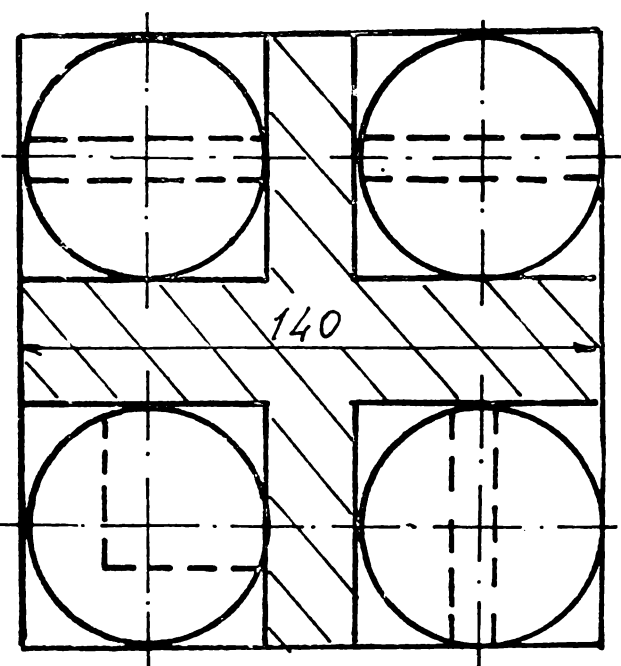
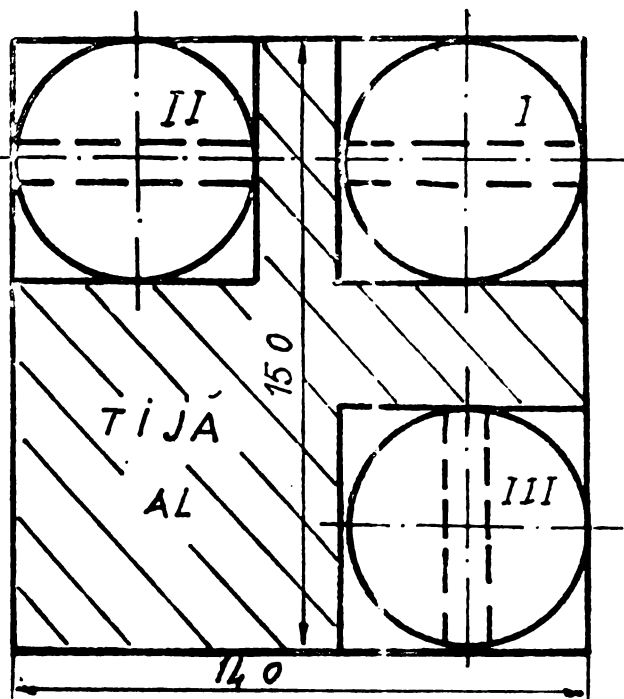
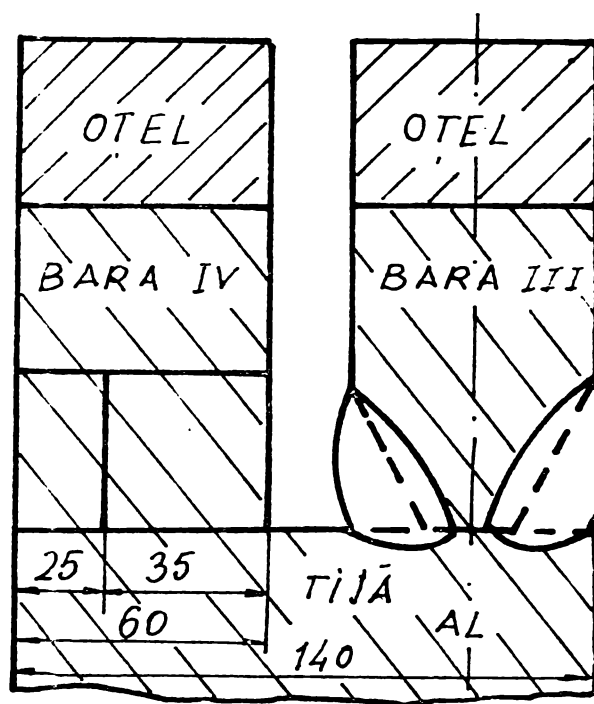
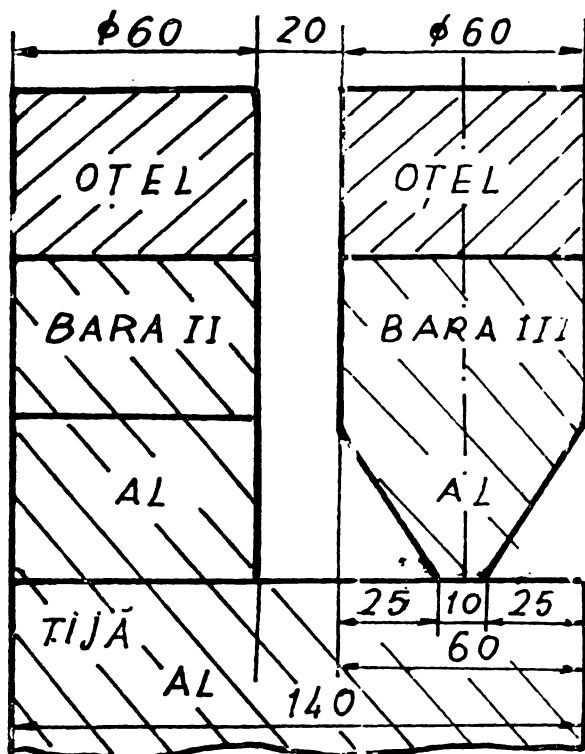


Fig.3.7.-Sudarea MIG și DPA4: a) imbinarea componentelor bimetal III; b) imbinarea componentelor bimetal IV

Sudarea MIG a DPA5

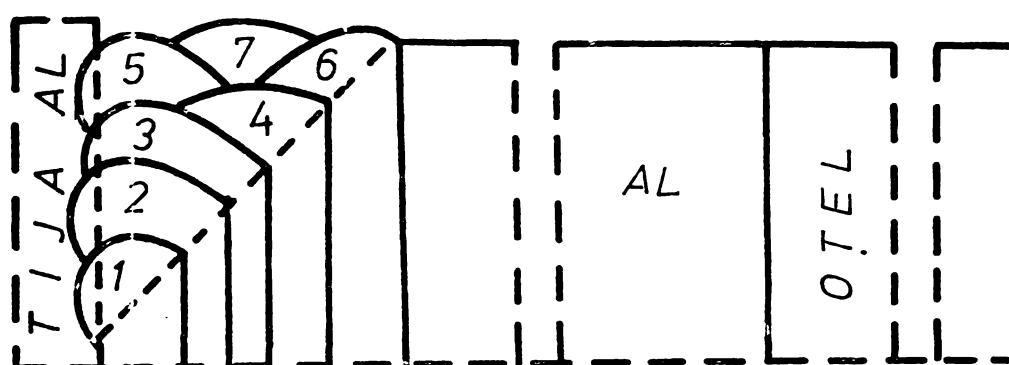
Nr. ext. Date tehnologice privind sudarea imbinărilor Al-Al

1

2

1

Forms imbinării

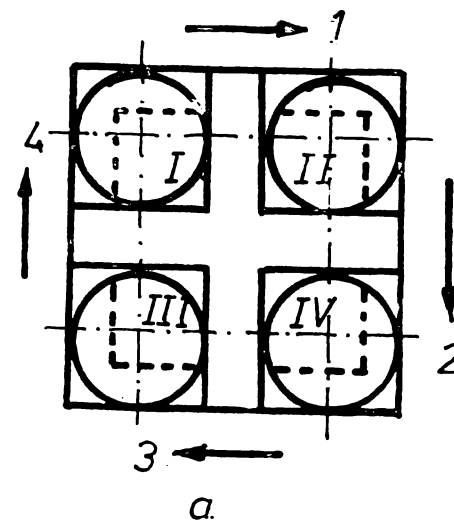


Ordinea de sudare

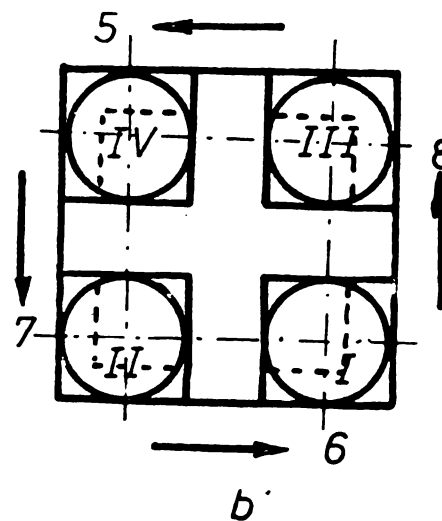
2 Piese Nr.ope- Rinduri-  
procesu- ratieci le care  
lui de se ex-  
sudare cută

Pozitia tijei anodice si  
sensul de sudare

2.1	2.2.	2.3	2.4
1	1	1	
2	2	2	
3	3	3	
4	4	4	



2	1	5
2	6	
3	7	
4	8	



T A B E L A 3.5 (continuare)

1

2

2.4.

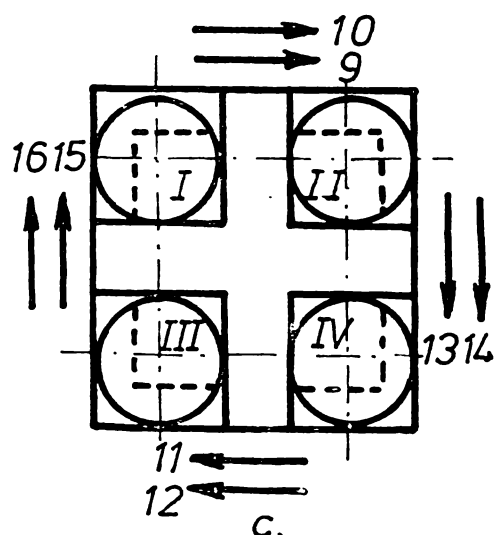
2.1 2.2 2.3

3 1 9  
10

2 11 12

3 13 14

4 15 16

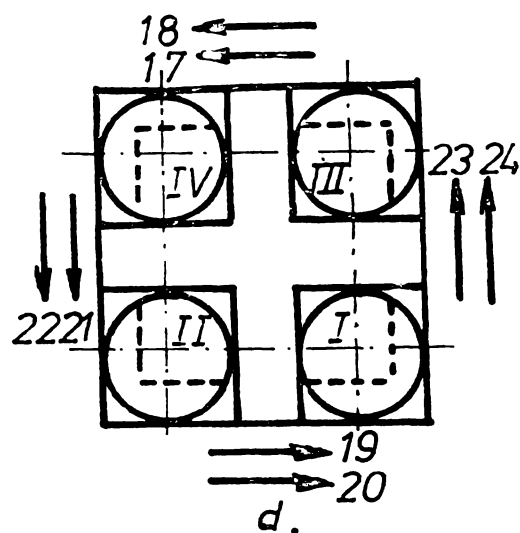


5 17 18

6 19 20

7 21 22

8 23 24



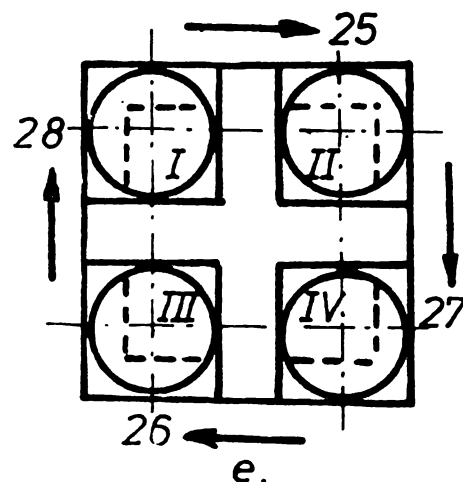
4

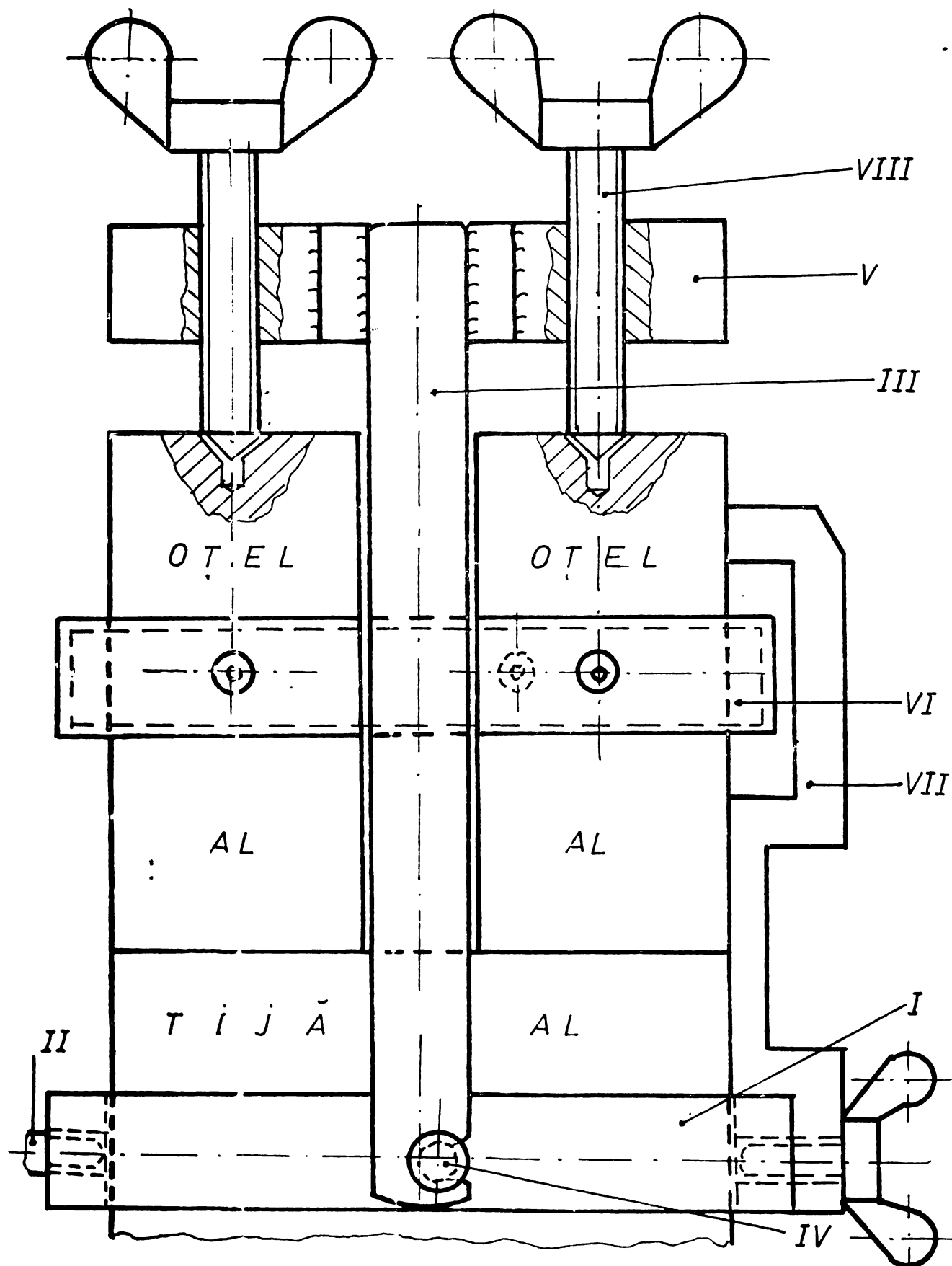
1 25

2 26

3 27

4 28





**Fig.3.8.** Dispozitiv de răcire a imbinărilor bimetale la sudarea MIG a DPA4: I-colier; II-șurub de fixare; III-beră de fixare; IV-stift de ghidare; V-plecă de centrare; VI-piesă de răcire; VII-reazem; VIII-șuruburi de centrare

-față de arcul electric MIG, sudura prin frecare Oțel-Al se află la o distanță de trei ori mai mare decât sudura prin explozie și placii bimetal;

-cusătura este compactă și are rădăcina corect formată, formă rostului înlesnind accesul capului de sudare pe grosimea cusăturii;

-rezistența mecanică a îmbinărilor Al-Al este superioară atât pentru că secțiunea cusăturilor este mai mare, cât și pentru faptul că 37% din aceste suduri sunt repartizate în zona centrală a bazei tijei anodice, în timp ce la DPA1 toate cusăturile sunt exterioare, pe muchiile suprafetei de contact cu placa bimetal sudată prin explozie;

-secțiunea sudurii MIG fiind mai mare, densitatea de curent prin îmbinare este redusă, iar încălzirea prin efect Joule-Lenz se micșorează.

#### 3.3.4.-Sudarea MIG a dispozitivului port-anod DPA5

Sudarea MIG a tijei din aliaj de Al cu îmbinările Oțel-Al sudate prin frecare se efectuează pe laturile exterioare, în raport cu baza tijei anodice, a componentelor din Al ale tetrapiedului bimetal (figura 3.4). Operațiile de pregătire și sudare a acestor componente sunt, respectiv, asemănătoare cu cele îmbinării bimetal IV a DPA4 (figura 3.6,b, 3.7,b). Astfel regimul de sudare este identic în cele două cazuri (tabela 3.4), diferența constând în faptul că o componentă a DPA5 este sudată pe două laturi și laturile față de două laturi paralele la DPA4, ceea ce crează sensuri defavorabile de acțiune a forțelor în timpul exploatării DPA5. Tetrapiedul bimetal și tija anodică sunt îmbinat cu opt cusături în colț exterioare, realizate din patru straturi fiecare, iar succesiunea execuției rîndurilor și sensul lor de sudare să fie astfel că să rezulte o încălzire uniformă a MB în timpul sudării (tabela 3.5) [17].

Fazele procesului de sudare corespund cu numărul straturilor, iar operațiile indică numărul pozițiilor diferite ale tijei anodice pentru care toate rîndurile de sudură ale îmbinării Al-Al se execută în poziție orizontală. Din tabela 3.5 rezultă că sunt necesare 20 de mișcări ale tijei din aliaj de Al în

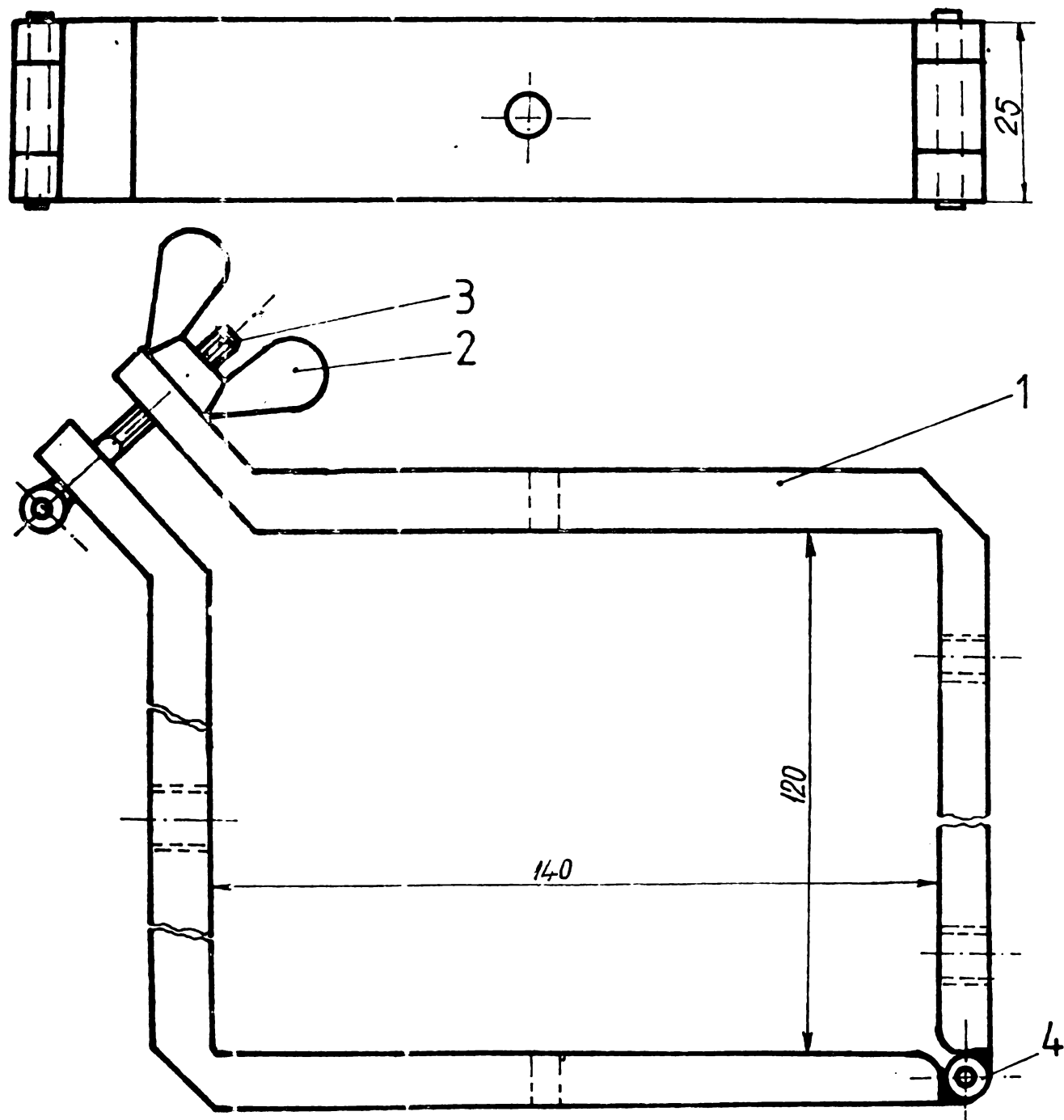


Fig.3.9.-Collier I: 1-ramă; 2-piuliță fluture; 3-surub pliant; 4-belamă

jurul axei longitudinale pentru sudarea completă a DPA5 prin procedeul MIG. Timpul necesar pentru efectuarea acestor mișcări poate fi redus prin mecanizarea lucrărilor de sudare. În condițiile prezentei cercetări s-au luate în considerare următoarele posibilități:

-sudarea în poziție orizontală a cusăturilor Al-Al de către un sudor cu calificare medie efectuând un număr mare de rotiri ale tijei anodice;

-sudarea în cornișă a acestor îmbinări de un sudor cu calificare superioară fără rotirea tijei din aliaj de Al. Timpul efectiv de execuție al DPA4,5, nu se mărește din cauza operației auxiliare de mișcare a tijei anodice, întrucât procesul de sudare MIG se aplică concomitent la mai multe dispozitive port-anod. Rîndurile de sudură corespunzătoare fazelor de lucru s-au executat pe cîte zece bucăți DPA4,5, astfel încît rotirea fiecărei tije să efectuat în cadrul timpului total de sudare MIG și răcirea îmbinărilor lotului de dispozitive port-anod. În ceea ce privește sudarea în cornișă a îmbinărilor Al-Al, aceasta este influențată de alcătuirea constructivă a dispozitiyului port-anod, la DPA5 putînd fi aplicată, în timp ce tehnologia de sudare utilizată în prezent în metalurgia Al pentru execuție DPA1, interzice efectuarea sudării MIG în această poziție [142].

### 3.3.5.- Răcirea artificială a îmbinărilor bimetal

#### la sudarea MIG a DPA4,5

Încălzirile repetitive ale îmbinărilor Otel-Al nu trebuie să depășescă 673K în cazul combinațiilor cu oțeluri obișnuite și 823...873K în cazul perechilor de materiale Al-Otel inoxidabil [38, 114, 129]. Asemenea valori ale temperaturii îmbinărilor bimetal nu sunt în timpul exploatarii dispozitivului port-nod. Totuși, reducerea căldurii de transfer constituie o rezervă importantă de micșorare a tensiunilor în imbinarea Otel-Al. În acest sens, s-a considerat răcirea artificială ca o soluție pentru menținerea limitei maxime a temperaturii îmbinărilor sudate prin fricare, pe toată durata sudării MIG a îmbinărilor Al-Al, sub o valoare acceptată ca

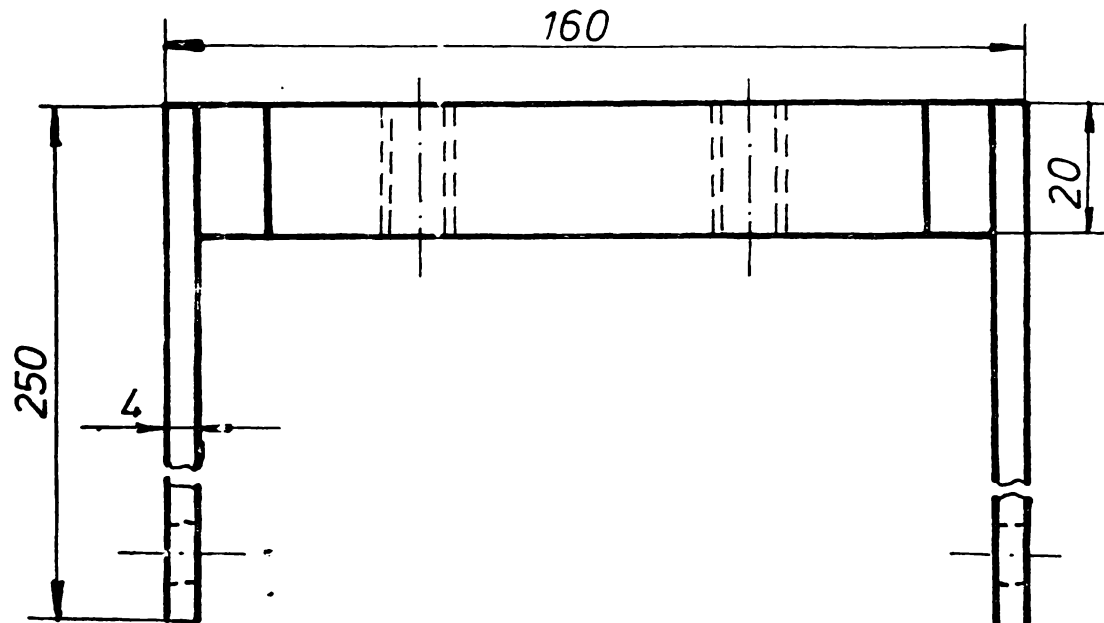


Fig.3.10.-Bară de fixare III

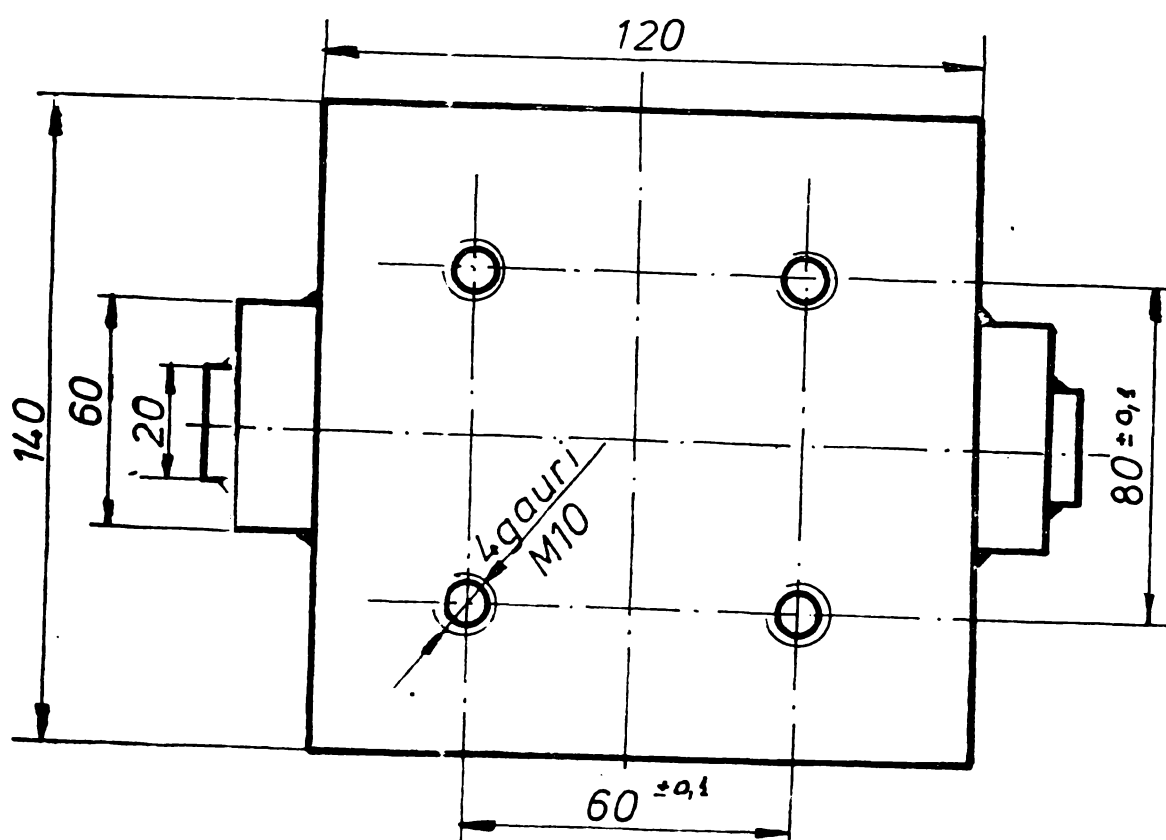


Fig.3.11.-Placă de centrare V

admisibilă. Procesul de sudare MIG a fost discontinuu și unic cînd răcirea îmbinărilor bimetal s-a produs în aer liber, pentru ca temperatură lor să nu depășească 473K.

La sudarea în poziție orizontală a îmbinărilor Al-Al ale DPA4 s-a utilizat aer comprimat ca mediu de răcire. Apă nu s-a folosit în acest scop, din cauze dificultății de etanșare a circuitului de răcire în zonele celor patru suduri Oțel-Al. În vedere de ansamblu a dispozitivului de răcire se prezintă în figura 3.8. S-au prevăzut piese de fixare pe tija din aliaj de Al de centrare a îmbinărilor bimetal sudate prin frecare, de distribuție a aerului comprimat în planul sudurilor Oțel-Al (figura 3.9, 3.10, 3.11, 3.12).

La sudarea în cornișă a îmbinărilor Al-Al ale DPA5, s-a utilizat apă ca mediu de răcire. Pentru aceasta te trapiedul sudat prin frecare s-a introdus într-un recipient (figura 3.13), unde nivelul apei a acoperit sudurile bimetal dar s-a aflat sub forma prelucrată a rostului componentelor din Al. Pentru evitarea încălzirii apei în timpul sudării mediul de răcire s-a înlocuit continuu, apă intrînd la bază recipientului și ieșind la partea superioară a acestuia. Sistemul de răcire a putut fi utilizat la DPA5, întrucât lungimea unei componente din Al (80 mm) este suficientă pentru a permite acoperirea completă cu apă a sudurilor Oțel-Al și, în același timp, desfășurarea normală a procesului de sudare MIG cu tija anodică. Comparativ la DPA1,3, răcirea cu aer sau cu apă a îmbinării bimetal nu este posibilă, din cauza grosimii reduse a stratului de Al placat prin explozie (12,8 mm). După introducerea tetrapiedului bimetal în recipientul cu apă de răcire, tija din aliaj de Al s-a așezat în poziție verticală cu baza coloanei pe suprafața frontală a îmbinărilor sudate prin frecare, formîndu-se rostul îmbinărilor Al-Al ale DPA5. În vedere a poziționării tijelor anodice s-a realizat un dispozitiv pentru mai multe piese port-anod (figura 3.14). Tijele anodice 1, s-au introdus între distanțierele 2, apoi s-au fixat de bara 3, prin șuruburile 4 și briile 5. Stabilitatea spațială a sistemului s-a obținut cu cările transversale 6 și berele de rigidizare 7,8. Procesul de sudare s-a desfășurat continuu, în condițiile date neinfluen-

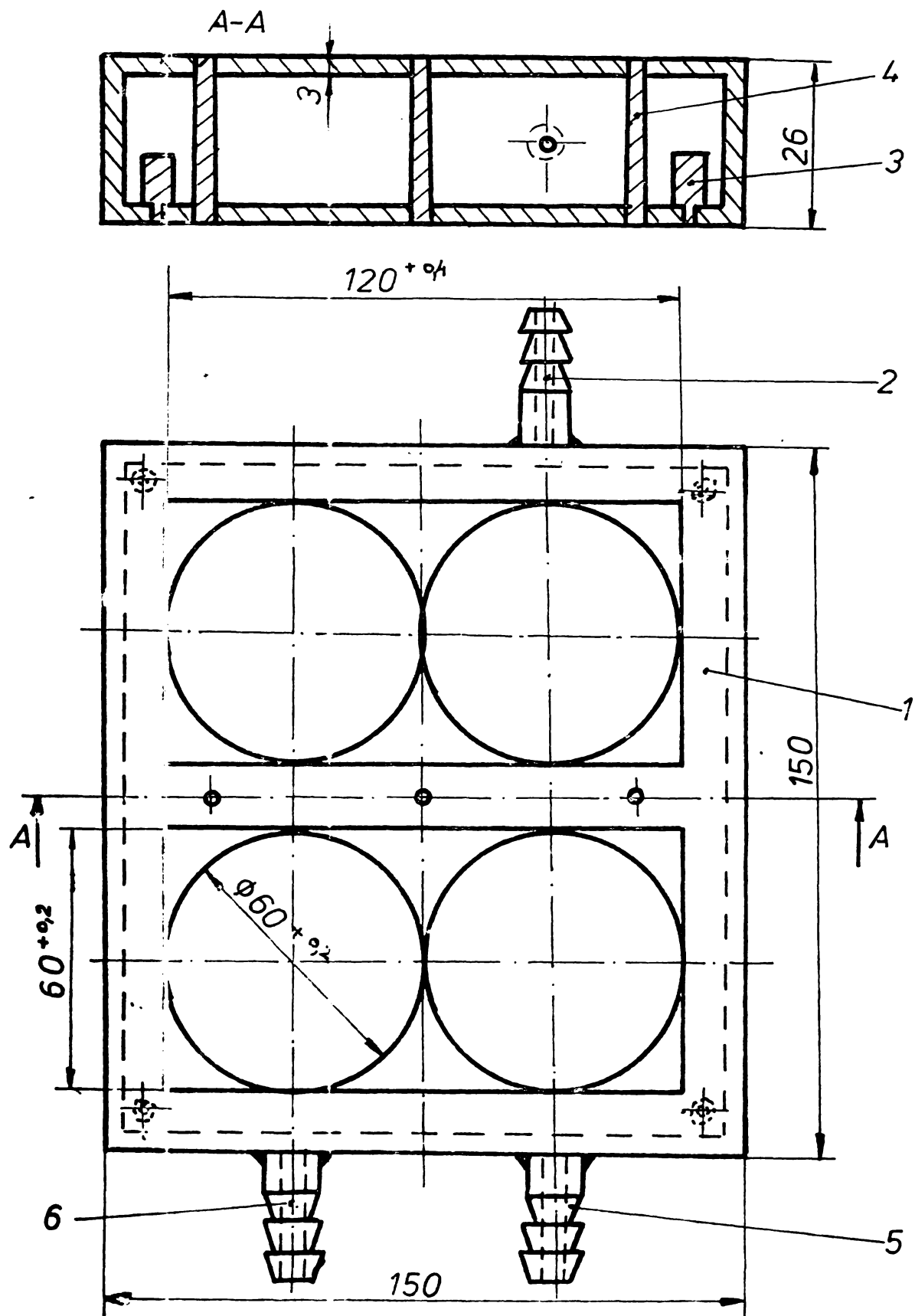


Fig.3.12.-Piesă de răcire VI: 1-cutie metalică, 2-record furtun, 3-opritor, 4-distanțier, 5-record furtun, 6-record furtun

țind starea termică a îmbinărilor Otel-Al sudate prin frecare.

În concluzie, la asamblările în construcții sudate, temperatură îmbinărilor bimetal trebuie menținută sub 673K în cazul combinațiilor între Al și otelul obișnuit.

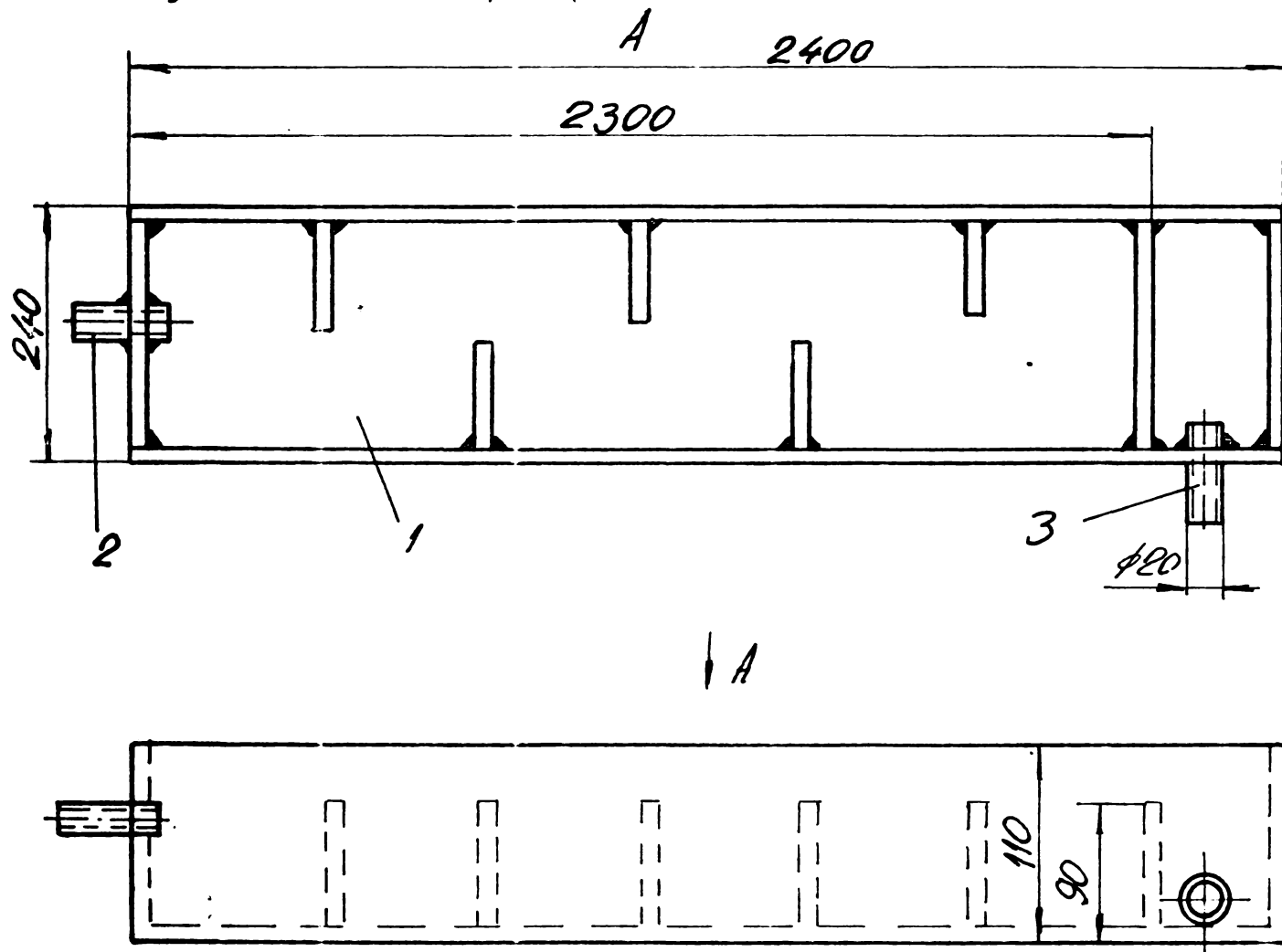
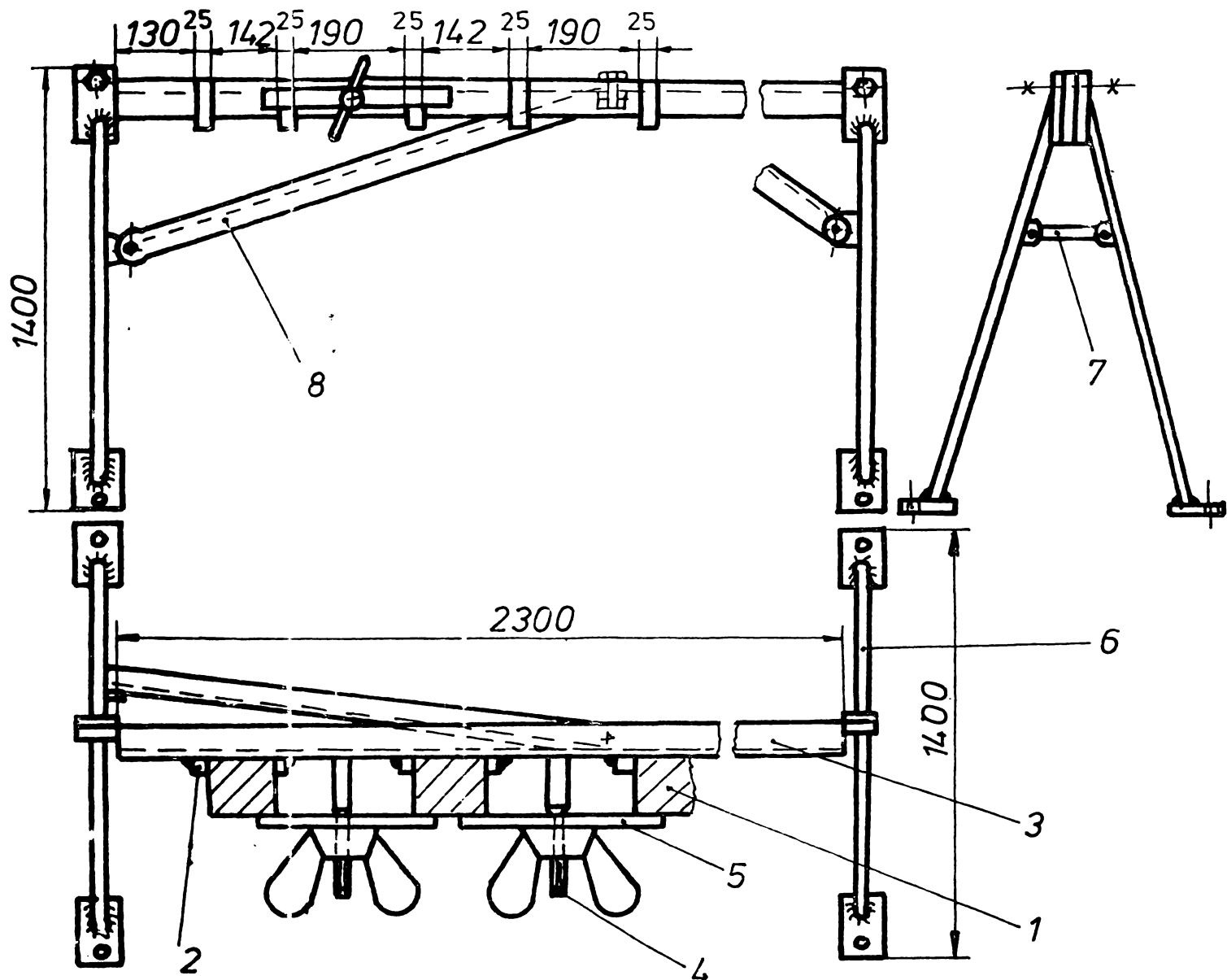


Fig.3.13.-Recipient pentru răcirea îmbinărilor bimetal la sudarea MIG a DPA5: 1-corpul recipientului, 2-record pentru intrarea apel, 3-record pentru ieșirea apel din recipient

La DPA1,3 s-a prălungit durată de execuție astfel încât, în fiecare moment al procesului de sudare temperatură să fie menținută, prin răcire naturală, sub valoarea de 588K. La sudarea MIG a dispozitivelor port-snod prevăzute cu îmbinări Otel-Al sudate prin frecare, incălzirea sudurilor bimetal a fost eliminată complet prin folosirea unui dispozitiv de răcire cu aer: 1& DPA4, respectiv de răcire cu apă în cazul DPA5. Utilizarea acestor dispozitive a făcut posibilă desfășurarea continuă a lucrărilor de sudare la DPA4,5 în condiții

de productivitate similară cu cele existente la sudarea unor construcții realizate din materiale omogene.



**Fig.3.14.-Dispozitiv de poziționare utilizat la sudarea MIG a DPA5: 1-tija anodică; 2-distanțier; 3-bară de fixare din profil cornier; 4-șurub cu piuliță fluture; 5-bridă; 6-cadru din țeavă; 7-bără de rigidizare I; 8-bără de rigidizare II**

Din cauzele grosimii reduse (12,8 mm) a stratului de Al placat prin explozie, la sudarea MIG a îmbinărilor Al-Al ale DPA1,3 nu poate fi aplicată răcirea forțată cu aer comprimat sau cu apă a îmbinării Oțel-Al. De asemenea spre deosebire de DPA4,5 răcirea artificială a sujirii prin explozie nu poate fi realizată nici în timpul sudării ulterioare a îmbinărilor Oțel-Oțel ale DPA1,3, din cauzele lipsei de acces la ambele suprafete ale placii bimetal după sudarea MIG a îmbinărilor Al-Al.

#### 4.-SUDAREA ELECTRICA A COMPONENTELOR DE OTEL DE LA

##### IMBINARILE BIMETAL CU TETRAPODUL DIN OTEL

La DPA1...5 tija din aliaj de Al și tetrapodul din oțel se asamblează cu îmbinări Oțel-Oțel sudate electric, prin intermediul unor componente bimetal sudate prin explozie sau prin frecare.

Îmbinările Oțel-Oțel asigură o legătură fără joc între anod și tijă. Aceste îmbinări sunt slab solicitate static, greutatea unui anod precopt pulverizat fiind de 2630 N. Particularitățile cusăturilor Oțel-Oțel sunt următoarele,

-lungimea este foarte mică, fiind limitată de dimensiunile componentei din oțel a îmbinărilor bimetal;

-secțiunea lor trebuie să fie cât mai mare pentru ca densitatea de curent să fie scăzută;

-prin sudurile Oțel-Oțel se încastră la al doilea capăt îmbinările bimetal și se introduc tensiuni în sudurile Oțel-Al ale DPA5.

##### 4.1. Procesul de sudare

Tija din aliaj de Al, după sudarea prin procedeul MIG cu componentă din Al a îmbinărilor bimetal ale DPA1,3,4,5, se aşează în poziție verticală pe tetrapodul din oțel, de care se fixează prin patru suduri de prindere provizorie decalate între ele cu  $90^{\circ}$ . Poziția de sudare a îmbinărilor Oțel-Oțel este orizontală (figura 4.1). Se utilizează electrozi superbaz E51.5 B.llo.2.0.H. La DPA1,3, sudarea se face discontinuu, cu pauze de răcire între straturi pentru menținerea îmbinării bimetal sudată prin explozie sub temperatură de 588K. La DPA4,5, se folosește un dispozitiv de răcire cu șer comprimat (figura 4.2), pentru menținerea temperaturii îmbinărilor Oțel-Al sudate prin frecare sub 473K și reducerea timpului de sudare a îmbinărilor Oțel-Oțel.

Dispozitivul este alcătuit din semicutiile 1,2 care se asamblează cu plăcile 3,4,5 și se fixează pe îmbinările bimetal cu suruburile rabatabile 8,9. S-a experimentat, de asemenea,

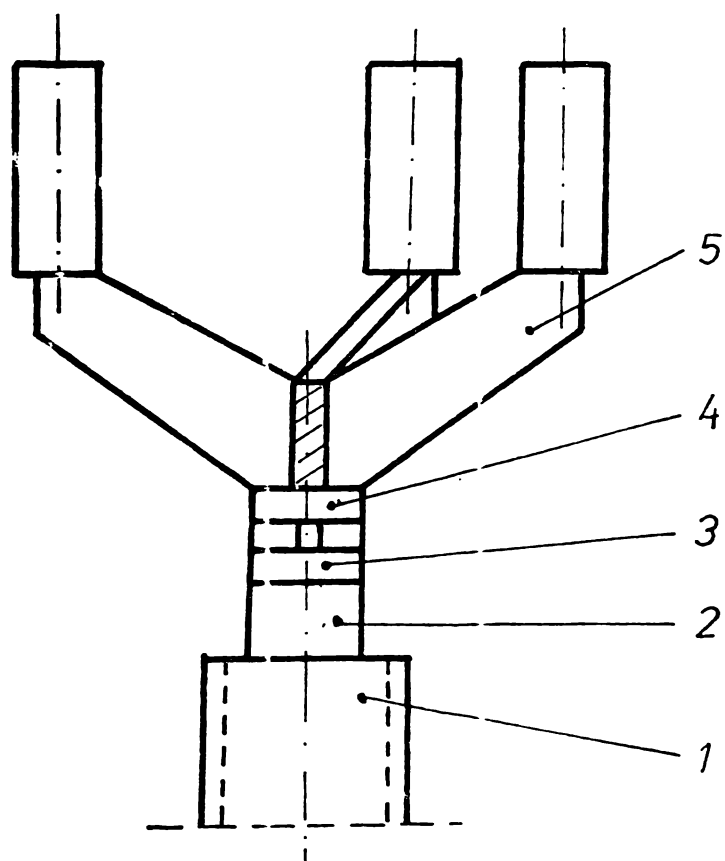


Fig.4.1.-Sudarea îmbinărilor Oțel-Oțel ale DPAl, 3, 4, 5:  
1-teava; 2-tija anodică; 3-sudură MIG; 4-îmbinare bimetal; 5-tetrapod din oțel

**propagare a fluxului termic, căldura disipându-se în tetrapodul din oțel.**

La sudarea îmbinărilor Oțel-Oțel ale DPAl, 3, 4, 5, în poziție orizontală (figura 4.1), greutatea tetrapodului se distribuie uniform pe suprafața îmbinării Oțel-Al și se orientează în sensul producerii contractiilor la răcirea materialului. Astfel, această solicitare nu generează tensiuni în sudurile bimetal. Productivitatea este influențată de numărul dispozitivelor port-anod căre se sudează concomitent. În poziția de sudare orizontală productivitatea este scăzută, datorită numărului limitat al dispozitivelor de poziționare utilizate în procesul de sudare a DPAl, 3, 4, 5. Sudarea îmbinărilor Oțel-Oțel fără dispozitiv de poziționare s-a realizat în plan inclinat, prin rotirea dispozitivului port-anod cu  $90^{\circ}$  față de poziția initială de asamblare. În acest caz, DPAl, 3, 4, 5

in  
răcirea directă a îmbină-  
rilor bimetal prin oriен-  
tarea jetului de aer com-  
primat asupra plăcii din  
oțel de căre se sudează  
tetrapodul. În timpul  
procesului de sudare, căl-  
dura care se dezvoltă în  
această placă se transmite  
prin sudurile bimetal la  
tija anodică datorită  
conductibilității termice  
ridicate a Al. Prin folo-  
sirea unui dispozitiv cu  
aer comprimat care să  
provoace răcirea plăcii  
de oțel din partea spre  
îmbinăriile Oțel-Al  
(figura 4.3), se obține  
schimbarea sensului de

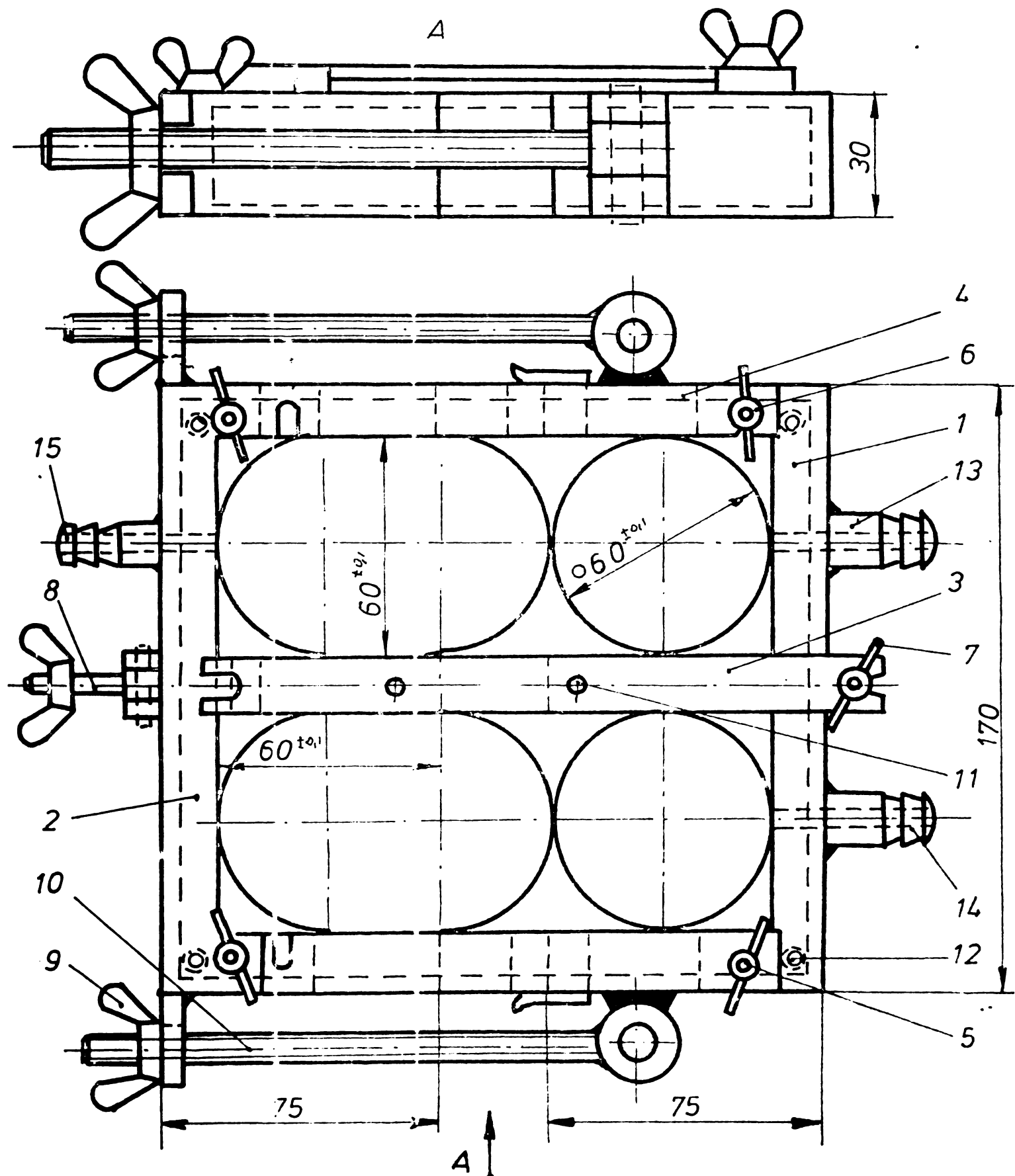
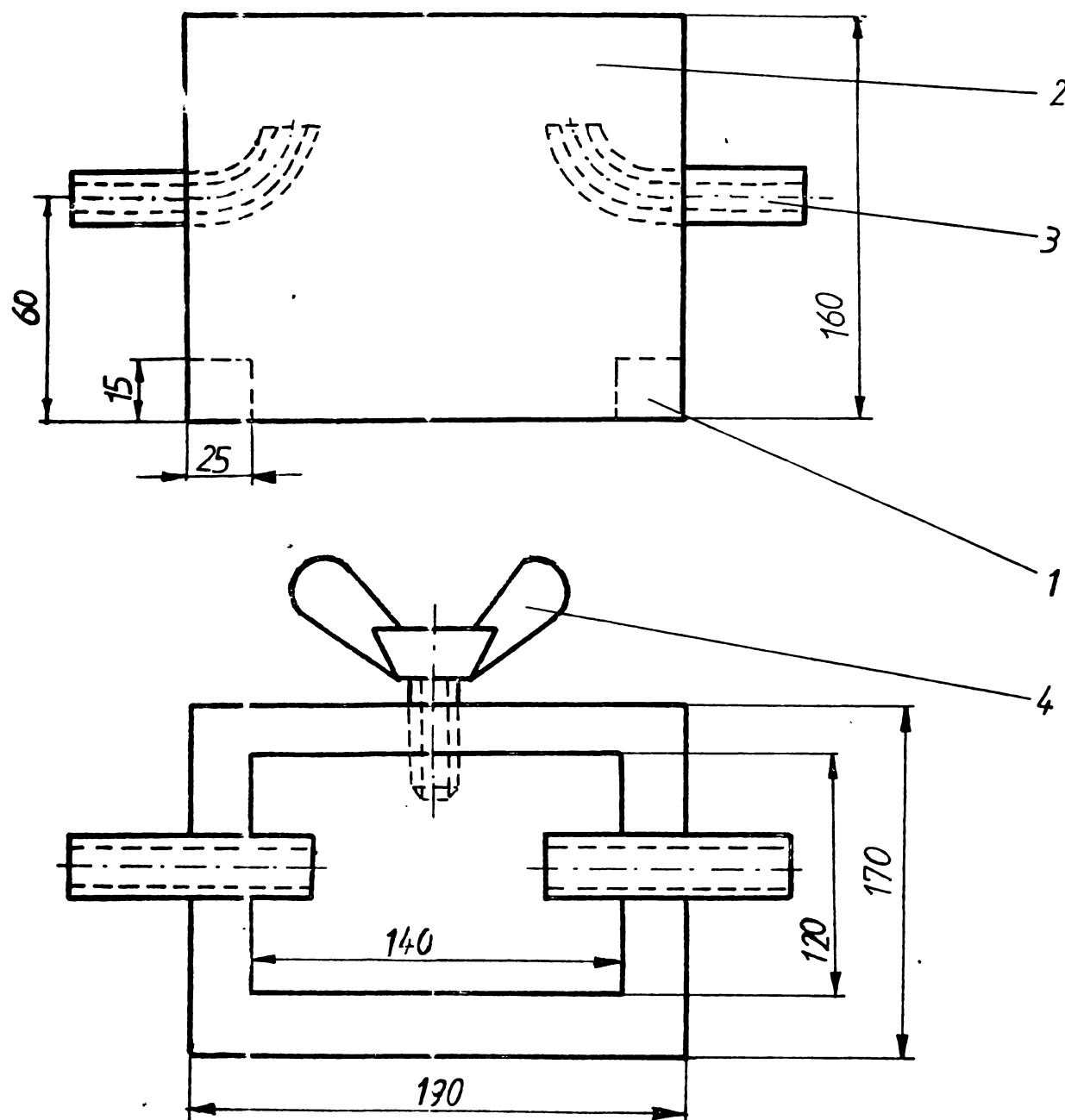


Fig.4.2.-Dispozitiv de răcire directă cu aer comprimat a imbinărilor bimetale: 1,2-semicoutii; 3,4,5-plăcuțe; 6,7--suruburi cu piuliță fluture; 8,9-suruburi rabatabile; 10-distanțier, 11-ortor, 12,13,14-reorduri aer comprimat



**Fig.4.3.-Dispozitiv de răcire indirectă cu aer comprimat și îmbinărilor bimetal: 1-ramă; 2-cutie de tablă; 3-racord de aer comprimat; 4-șurub cu piuliță fluture**

s-a sprijinit pe sol în trei puncte, respectiv pe vîrful tijei anodice și două ramificații ale tetrapodului din oțel. Încercările experimentale au arătat că deplasările microvolumelor de material, provocate de dilatăriile și contracțiile ce apar la sudarea în plan înclinat, sunt impiedicate de forțele de frecare din reazeme. Ca urmare, în îmbinările Oțel-Al s-au produs tensiuni importante, care au provocaț desprinderea îmbinărilor bimetal.

Aceste constatări au confirmat oportunitatea sudării în poziție orizontală a cusăturilor Oțel-Oțel (figura 4.1).

Un rol deosebit de important în procesul de răcire îl are coloana tijei anodice, care funcționează ca un radiator termic. Transferul de căldură între cusăturile Oțel-Oțel și tija din aliaj de Al se face însă integral prin intermediul îmbinărilor Oțel-Al, din care cauză temperatura îmbinărilor bimetal este constant ridicată în timpul sudării. Ordinea de sudare a DPAl, 3, 4, 5, care începe cu îmbinările Al-Al și se încheie cu îmbinările Oțel-Oțel, a fost aleasă tocmai din considerentul de a folosi tija anodică și semenea unui radiator termic. Prin inversarea ordinei de sudare se efectuează următoarele operații:

- sudarea îmbinărilor Oțel-Oțel;
- asamblarea sub-ensemblei tetrapod-îmbinări bimetal cu tija din aliaj de Al;
- sudarea îmbinărilor Al-Al prin procedeul MIG.

Cu această ordine de sudare nu s-au obținut rezultate corespunzătoare, întrucât căldura degajată la sudarea componentelor din oțel s-a acumulat integral în îmbinarea Oțel-Al și a provocat desprinderea acestei îmbinări.

#### 4.2.-Efectul sudurilor din oțel asupra rezistenței îmbinărilor bimetal

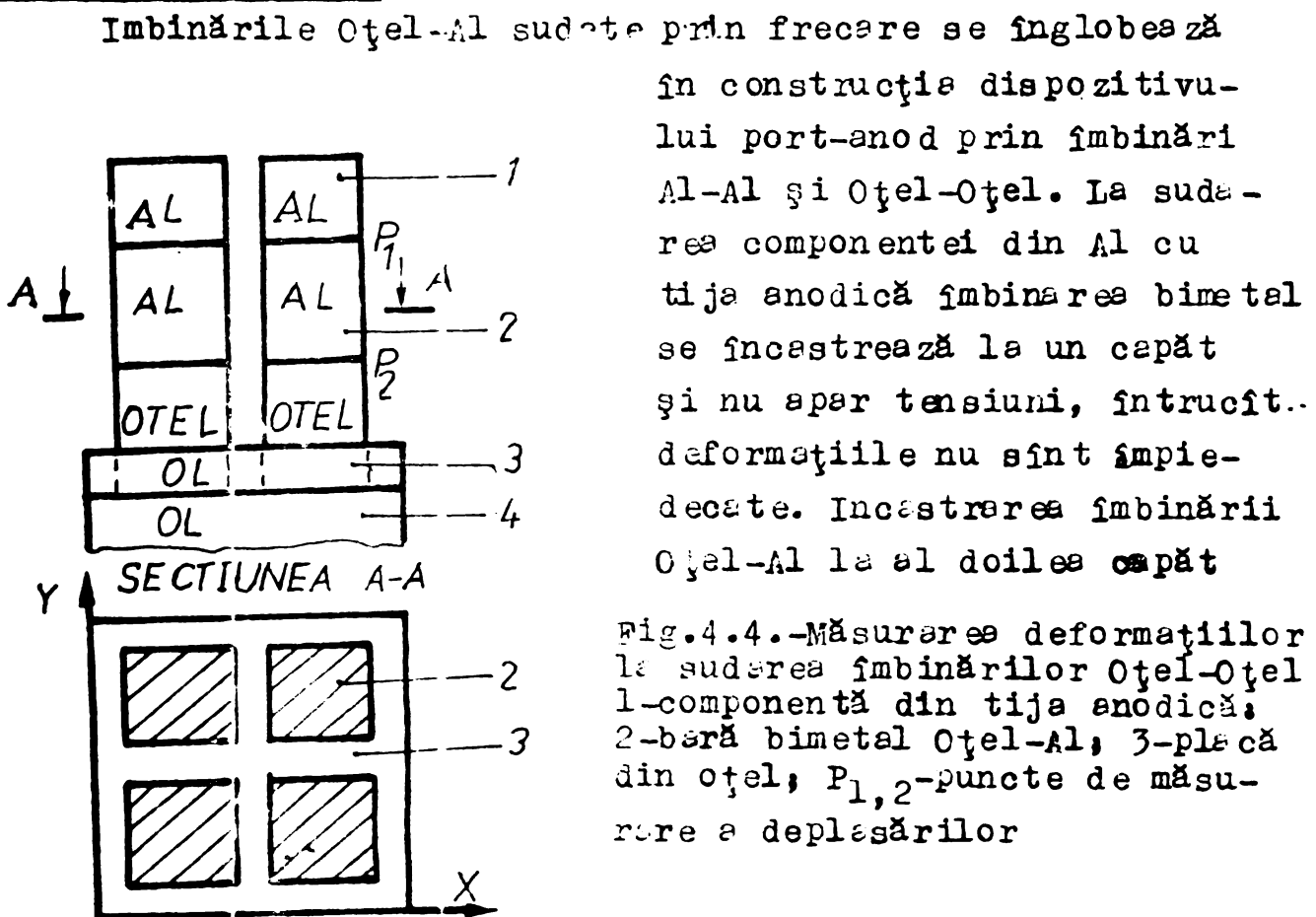


Fig. 4.4.4.-Măsurarea deformațiilor la sudarea îmbinărilor Oțel-Oțel  
1-componență din tija anodică;  
2-bără bimetal Oțel-Al; 3-placă din oțel; P<sub>1,2</sub>-puncte de măsurare a deplasărilor

prin sudare cu tetrapedul din oțel introduce tensiuni de înceovieră, rigiditatea dispozitivului port-anod complet asamblat (DPA4,5) opunându-se producerii deformațiilor. Prin desfacerea primei încastrări (figura 4.4) s-au cercetat deplasările imbinărilor Al-Al în cazul cind deformarea ar fi neîmpiedecată la sudarea imbinărilor Oțel-Oțel. În acest scop s-au efectuat 576 măsurători (tabelă 4.1) pe opt imbinări bimetal, înregistrându-se deplasări în timp ale punctelor de măsurare aflate pe sudura MIG ( $P_1$ ) și sudura prin fricare ( $P_2$ ).

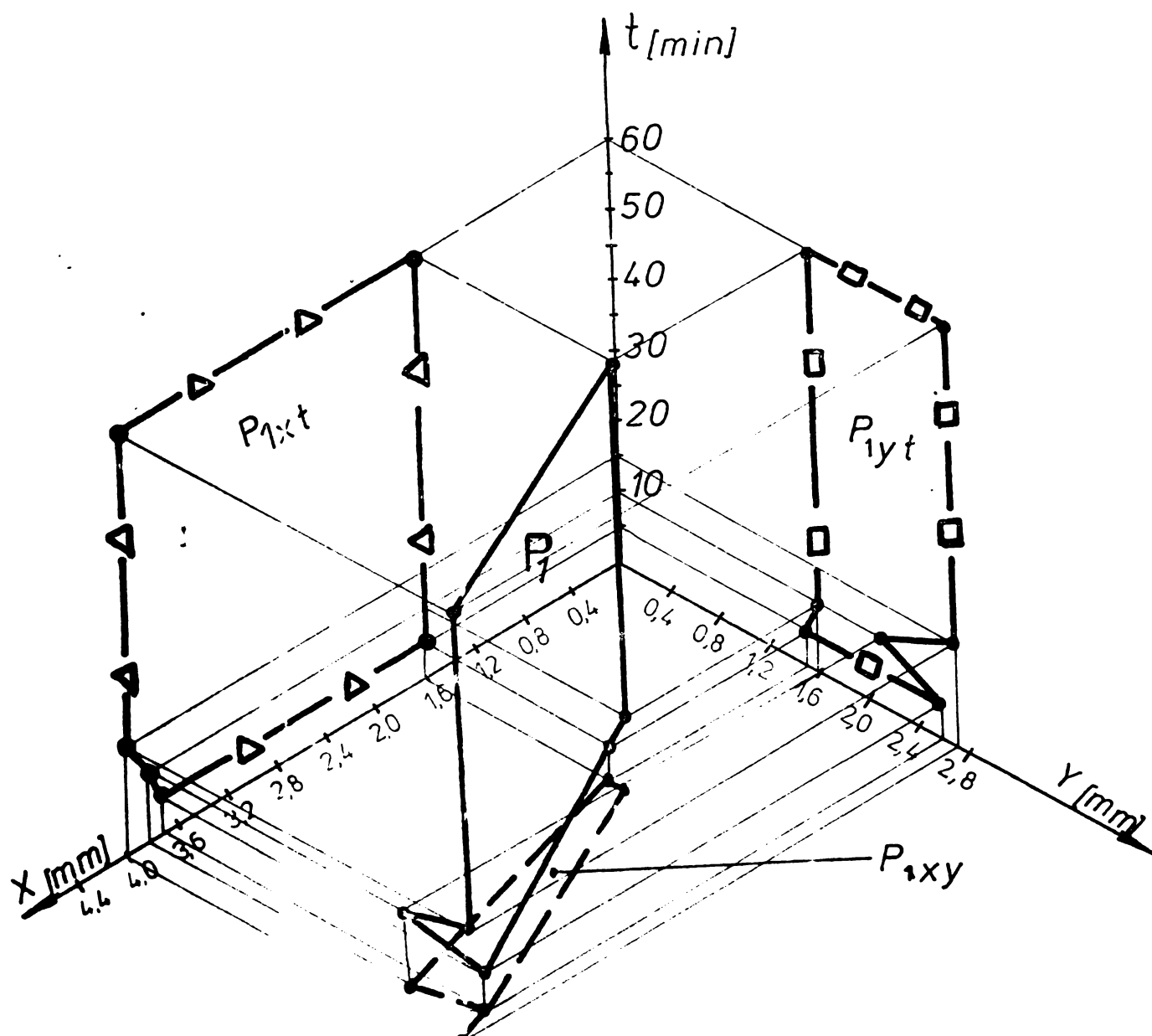


Fig.4.5.-Deplasările capătului liber al imbinărilor bimetal ( $P_1$ ) la sudarea imbinărilor Oțel-Oțel după desfacerea încastrării în tijs anodică

S-au constatat (figura 4.5) modificări importante de poziție a capătului îmbinării Oțel-Al ( $P_1$ ), începutul procesului de stabilizare după 15 minute de la sudarea îmbinării Oțel-Oțel și încadrarea finală a deformărilor într-un interval relativ larg de valori (1,6...4,0 mm) [8].

S-au efectuat măsurători tensometrice, pentru determinarea tensiunilor introduse în îmbinările bimetal prin împiedecarea acestor deformării de încastrarea cele două capete a îmbinării bimetal. Suprafețele pe care urmau să fie aplicate trăductoarei s-au curățit până la luciu metalic cu ajutorul unei benzi abrazive. Cei doi trăductoare s-au montat pe îmbinarea bimetal cu un unghi între ei de  $180^\circ$  (figura 4.6). Întrucît

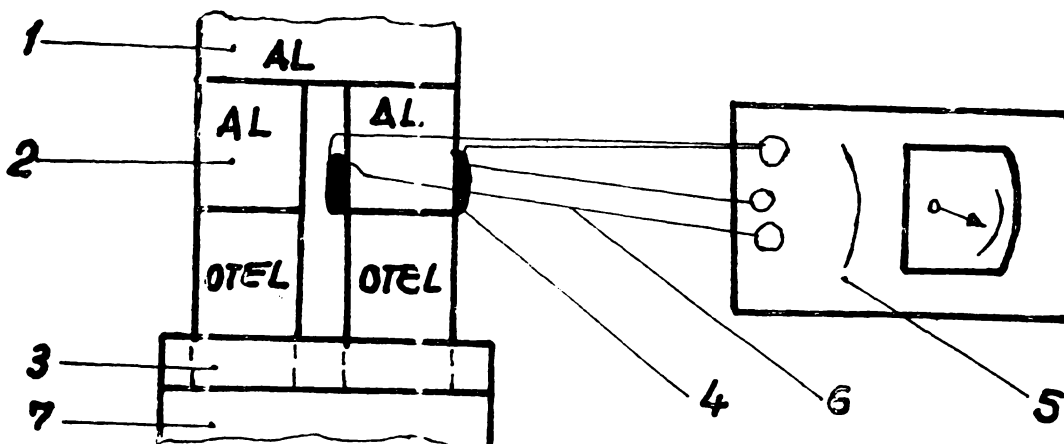


Fig.4.6.-Schema de legături a trăuctorilor tensometriți:  
1-tijă anodică; 2-îmbinare bimetal; 3-placă din oțel;  
4-trăductoare tensometriți RFT tip WG 12/025 de 5x5 mm;  
5-tensometru UMK lo, fabricație Höttinger; 6-conductoare  
de legătură; 7-tetrapod din oțel

limita de funcționare a trăuctorilor tensometriți este 343 K și iar temperatura în timpul sudării depășește această valoare, s-a asigurat răcirea în apă concomitent cu răcirea sudurii bimetal Oțel-Al. Pentru protecția trăuctorilor tensometriți contra umedelii, s-a folosit o răsină epoxidică tip NV.9535, diluată cu o soluție tip AY.103, în proporție de 1/1. Operația de sudare a îmbinărilor Oțel-Oțel s-a efectuat cu electrozi Superba z, ⌀ 3,25 mm. Cele patru componente din oțel ale îmbinărilor bimetal, au fost introduse în placă de oțel 1, de căre s-au îmbinat prin sudură în gaură (figura 4.7), ordinea de sudare fiind

T A B E L A 4.1

Intervalul deplasărilor măsurate pe sudurile MIG ( $P_1$ ) și sudurile prin freccre ( $P_2$ ) la sudarea a opt imbinări

Tim-pul după su-dare min	P U N C T E D E M A S U R A R E			
	$P_1$		$P_2$	
	Coordonatele deplasării - mm			
	X-X	Y-Y	X-X	Y-Y
5	1,6...3,7	1,5...2,6	1,4...2,6	1,1...2,4
10	1,6...3,8	1,6...2,1	1,7...2,2	1,0...2,2
15	1,6...4,0	1,6...2,7	1,6...3,7	1,2...2,4
20	1,6...4,0	1,6...2,7	1,5...3,0	1,2...2,4
25	1,6...4,0	1,6...2,7	1,5...2,7	1,1...2,4
30	1,6...4,0	1,6...2,7	1,5...2,4	1,1...2,4
35	1,6...4,0	1,6...2,7	1,5...2,4	1,1...2,4
40	1,6...4,0	1,6...2,7	1,5...2,4	1,1...2,4
45	1,6...4,0	1,6...2,7	1,5...3,0	1,1...2,4
50	1,6...4,0	1,6...2,7	1,5...3,2	1,1...2,4
55	1,6...4,0	1,6...2,7	1,5...3,2	1,1...2,4
60	1,6...4,0	1,6...2,7	1,5...3,2	1,1...2,4

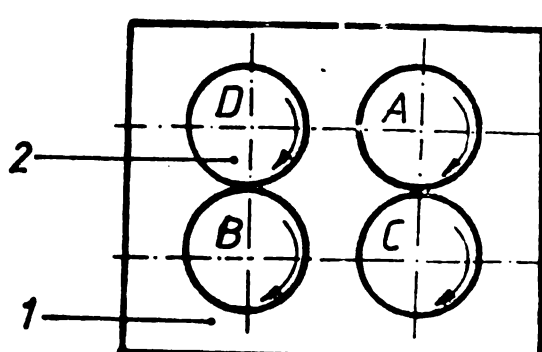


Fig.4.7.-Ordinea de sudare a imbinărilor Otel-Otel:  
1-placă din oțel; 2-imbinare  
Otel-Al

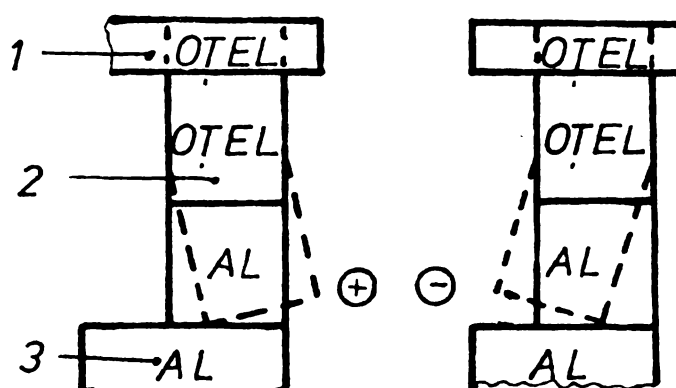
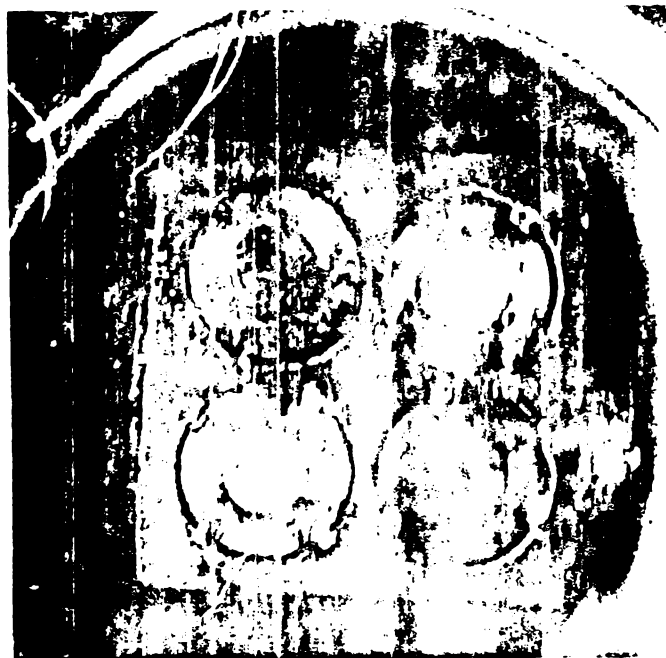


Fig.4.8.-Imbinări bimetal după sudarea imbinărilor Otel-Otel: a) imbinări Otel-Al,  
A,B,D; b) imbinări bimetal C  
1-placă din oțel; 2-imbinari  
bimetal; 3-componentă tija Al

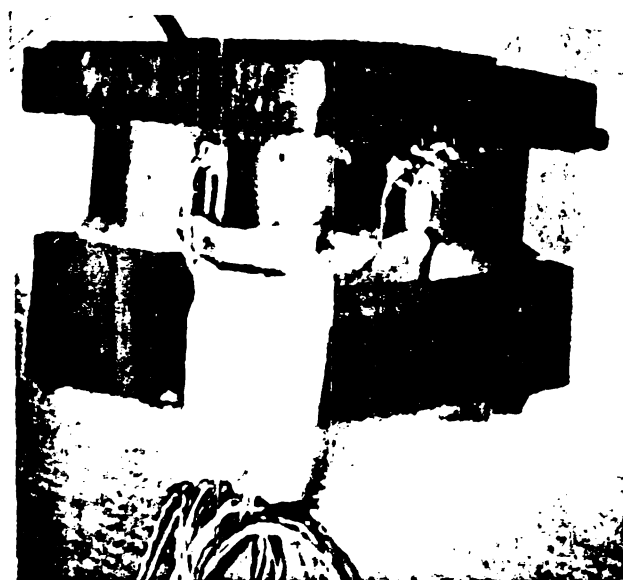


a)



Fig. 4.8. A

- a) forme costulor de suare ;
- b) suarea electrică a fimoziarilor C<sub>gel</sub>-C<sub>gel</sub> .



c)



d)

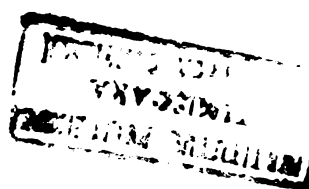


Fig. 4.6- 1.

- .. c) Poziția ca traductorilor tensometriici ;
- d) Vedere de ansamblu .

A, B, C, D. La efectuarea măsurătorilor nu s-a folosit un traductor de compensație special, această funcție fiind îndeplinită de unul din cei doi trăductori utilizati. Valoarea măsurată corespunde variației relative a rezistenței și este proporțională cu deformarea specifică. Tensiunea de încovoiere, care este produsă datorită deformărilor în piese sudate, se calculează cu relația:

$$\tilde{\sigma} = \frac{\tilde{\epsilon}'}{2} \quad (4.1)$$

$$\tilde{\epsilon}' = E \cdot \epsilon \quad (4.2)$$

unde:

$\epsilon$  - deformarea specifică;

$E$  - modulul de elasticitate longitudinală;

$\tilde{\epsilon}'$  - tensiunea de încovoiere dată de cei doi trăductori tensometrici;

$\tilde{\sigma}$  - tensiunea de încovoiere efectivă.

Dată încastrarea imbinărilor bimetal în place din oțel se procedă la asamblarea generală a DPA4 prin montarea subansamblului tijă anodică 1, imbinări bimetal 2, placă 3 pe tetrapodul 4 (figura 4.4) și sudarea prin cusături de colț. Cu datele efective ale măsurătorilor se rezultă valorile de tensiuni introduse în sudurile execute prin frecare, urmările a înglobărilii cycl-al în construcția DPA4 (tabel 4.2).

T A B E L A 4.2

Tensiunea de încovoiere efectivă a imbinărilor Oțel-Al sudate prin frecare la asamblarea generală a DPA4

Opera- ție de asamblare	Elementele de asamblare	Compo- nente de sudare se su- deză	Proce- dure de sudare	Mărimi de calcul $\epsilon \times 10^{-6}$	Tensiuni de încovoiere $\tilde{\epsilon}' \cdot E$	Tensiuni de încovoiere $\tilde{\sigma} = \frac{\tilde{\epsilon}'}{2}$ daN/cm <sup>2</sup>
1	Tijă anodică și patru im- binări bime- tal A,B,C,D Fig.4.7	A B C D	MIG			
2	Subansamblul 1 și placă din oțel Fig.4.8	A B C D	Sudare electri- că	300 20 -20 100	2,1 42 -42 210	620 42 -42 210 310 21 -21 105
3	DPA4 Fig.4.4	Tetra- pod din oțel	"	40	2,1 84	42

Valoarea totală a tensiunilor efective de încovoiere prevenite din încastrearea imbinărilor bimetal cu sudurile din oțel este  $415 \text{ daN/cm}^2$ .



Fig.4.9.-Probă pentru încercarea de rupere la tracțiune a DPA4

Determinările tensometrice au fost completate cu încercări de rupere la tracțiune a DPA4 după sudarea imbinărilor Oțel-Oțel. Astfel, pentru probă de rupere s-a reținut baza tijei din aliaj de Al, imbinările bimetal sudate cu aceasta prin procedeul MIG și placă din oțel, care încastrează cele patru componente la al doilea capăt (figura 4.9). S-a realizat un dispozitiv cu boltă pentru prinderea probei în băsurile mașinii de încercat la tracțiune (figura 4.10).



Fig.4.10.-Dispozitiv de prindere în mașină de încercat la tracțiune

porțele la care s-a fost solicitată imbinarea au ajuns la valori atât de mari încât au provocat deformarea bolțului din oțel (figura 4.11).



Fig.4.11.-Forma bolțului din oțel după ruperere imbinării  
Ruperere s-a amorsat în zone găurii din tije anodice, apoi  
s-a dezvoltat în MB și sudura Al-Al (figura 4.12).



Fig.4.12.-Aspectul ruperii DPA4 după încercarea la tracțiune

In toate cazurile cercetate (tabela 4.3) nu s-a constatat desprinderea imbinărilor Oțel-Al sudate prin frecare. In valori medii, forța maximă la rupere la temperatura normală a DPA4 este 29.000 daN. Întrucât varianta propusă DPA4 este executată din patru imbinări bimetal sudate prin frecare, rezultă că fiecare imbinări Oțel-Al i-a revenit o forță la rupere de 7250 daN.

T A B E L A 4.3

Rezultatele încercării de rupere la tracțiune a DPA4 .

Nr. crt.	Temperatura de încercare K	Forța de rupere la tracțiune daN
1	293	33000
2	293	25000
3	293	30000
4	393	28000
5	623	11000

Se compară această valoare cu 13600 daN, care este media valorilor forței de rupere la tracțiune obținută după sudarea prin frecare a zece imbinări Oțel-Al (tabelă 5.5). Diferența între cele două valori este 6390 daN. Rezultă că încastrarea imbinărilor bimetal prin sudurile Oțel-Oțel are ca efect reducerea cu 45% a rezistenței la rupere a acestor imbinări bimetal.

## 5.-STUDII SI CERCETARI CU PRIVIRE LA CONTROLUL CALITATII IMBINARIILOR SUDATE

Dispozitivele port-anod DPA3,4,5,6 se montează în cuve, susțin blocurile cuanozi precopți și preiau, prin conduction și radiație, o parte din căldura ce se degajă în procesul de fabricație electrolitică a aluminiului.

Astfel, la un dispozitiv port-anod îmbinările de tip Oțel-Al și Al-Al sunt solicitate static la întindere și ambele tipuri de îmbinări la temperaturi medii de 403 K. În aceste condiții se necesită încercarea mecanică a îmbinărilor sudate pentru DPA3,4,5,6 la temperatură normală și încălzire de lungă durată, controlul nedistructiv și structural al acestor îmbinări.

### 5.1.-Controlul calității îmbinărilor Oțel-Al

În cadrul prezentei cercetări s-au efectuat încercări de rupere la tracțiune la rece și la încălzire de scurtă durată; încercarea la fluaj a îmbinărilor bimetal, măsurarea duratăjii și analiza metalografică a îmbinărilor sudate.

#### 5.1.1.-Încercări la rupere la tracțiune pentru alegerea componentei din oțel a îmbinărilor bimetal

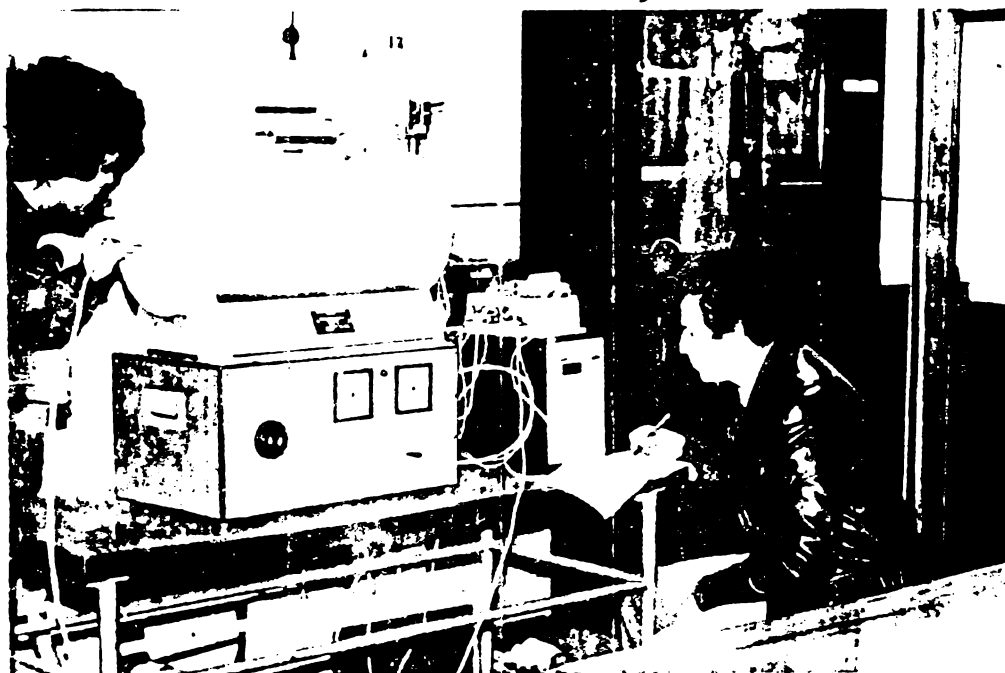
Încercările mecanice pentru verificarea calității îmbinărilor Oțel-Al sudate prin frecare ale DPA4,5,6 sunt încercări de rupere la tracțiune la temperatură normală și în regim termic de scurtă durată, la temperatura de 473K și 633K.

##### 5.1.1.1.-Efectuarea încercărilor

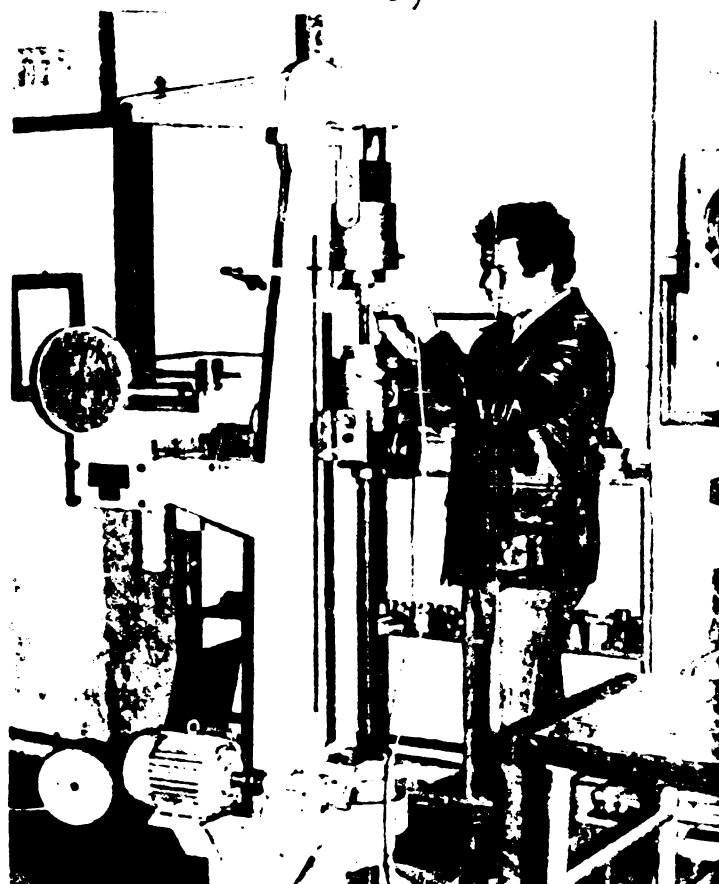
Temperatura de 473K să fie să pentru încercări este mai mare cu 70 K decât temperatura medie de exploatare a îmbinărilor bimetal, iar aceea de 633K depășește cu 35K temperatura cea mai ridicată care s-a constatat pe îmbinările Oțel-Al ale dispozitivului port-anod montat în cuve de electroliză [131].

Scopul acestor încercări este de a stabili marca oțelului care, după acest criteriu, are o bună capacitate de sudare prin frecare cu aliajul ATSi5Fe și de a cerceta influența încălzirii asupra rezistenței la rupere la tracțiune a acestor îmbinări.

Încălzirea s-a făcut într-un cuptor tubular tip I.N.M. (figura 5.1,a), care este utilizat pentru verificarea termocuplelor și are avantajul unei încălziri uniforme de-a lungul probei. Elementele de încălzire sunt bare de silită. Temperatura de încălzire se reglează continuu, iar valoarea maximă este 1373K. Trădicatorul de temperatură folosit este un termocuplu Cr-Al, cu o bună linieritate și sensibilitate pentru temperaturile de 473K și 633K.



a)



b)

Fig.5.1.-Incercarea de rupere la tractiune la încălzire de scurtă durată a îmbinărilor Otel-Al sudate prin frecare:

- a) cuptor tubular tip I.N.M. cu termocuplu Cr-Al
- b) controlul temperaturii unei îmbinări bimetal prinse în bacurile mașinii R.M-1•4 (R.P.U.)

Capătul "rece" al termocuplului s-a termoștata la temperatură de  $323 \pm 0,02$ K, iar sudura "caldă" s-a aflat în contact intim cu sudura realizată prin frecare. Pentru indicarea temperaturii de încălzire s-a utilizat un compensator tip Hartmann-Braun, efectuindu-se și verificări periodice ale indicației cu un compensator manual tip Q.T.K.(R.S.C.). Luând în considerare erorile mijloacelor de măsurare a termocuplului (selecționat), din analiza valorilor rezultă că determinările s-au făcut cu eroare de  $\pm 2$ K, timpul de răspuns al sistemului de măsurare fiind corespunzător față de inertie termică a masei încălzite.

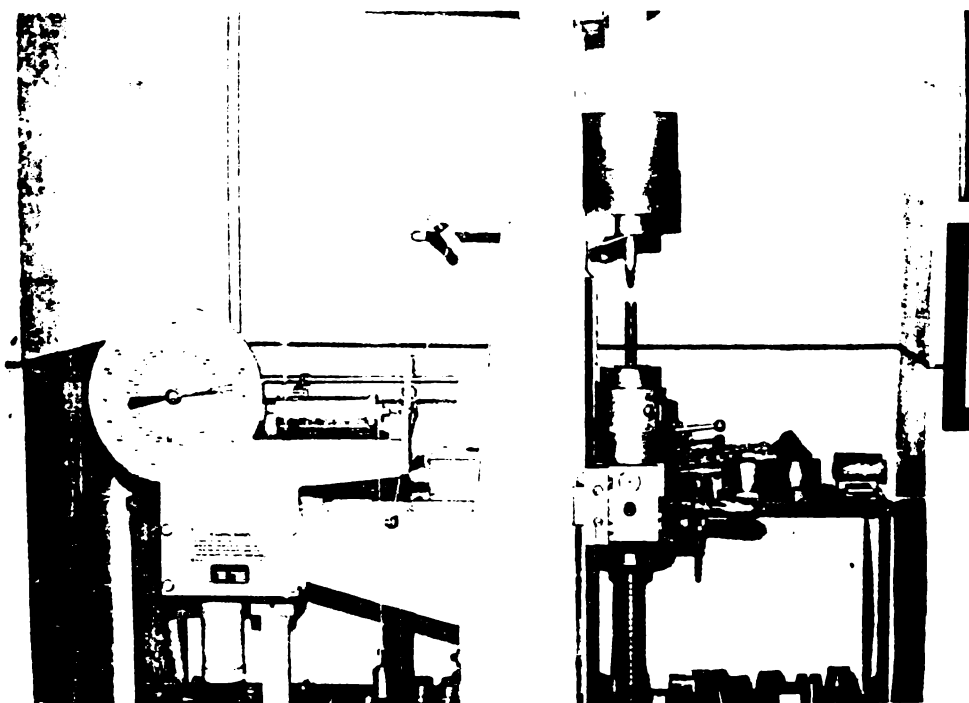


Fig.5.1.c) Aspectul îmbinării după încercarea de rupere la tracțiune statică

Încercarea de rupere la tracțiune s-a efectuat cu o mașină tip RM-1•4 (R.P.U.), având capacitatea maximă de încărcare de 0,1MN. Datorită pierderilor de căldură ce apar după scoaterea din cuper, s-a verificat concordanța între temperatura îmbinării Oțel-Al introdusă în bacurile mașinii de încercat la tracțiune și temperatura stabilită pentru încercări (figura 5.1,b), după care s-a produs ruperea îmbinării sudate (figura 5.1,c). S-a calculat rezistența la tracțiune și s-a examinat modul de rupere al îmbinărilor. Rezultatele obținute s-au diferențiat după marca compoziției din oțel și după temperatură la încercarea de tracțiune a îmbinărilor Oțel-Al sudate prin frecare (tabela 5.1). Se constată valori apropiate ale rezistenței de rupere la temperatură normală pentru toate îmbinările bimetal cercetate.

Odată cu creșterea temperaturii rezistența de rupere se micșorează, iar la 633K aliajul ATSi5Fe, după sudarea prin frecare cu componente din oțel 33MoCr11, 30MoCrNi20, formează perechi de materiale cu proprietăți necorespunzătoare în raport cu condițiile de explatare ale dispozitivului portabil. 72% din îmbinările Oțel-Al cercetate s-au rupt sub sarcină în sudură, iar 17% în Al (tabela 5.2.). Cele mai multe cazuri de rupere în aluminiu s-au constatat la îmbinările bimetal cu componentă de oțel din OLCl5, atât la temperatura normală cât și la 473K. Din cauzele procesului de fragilizare foarte intens, îmbinările Oțel-Al care au o componentă din 33MoCr11 sau 30MoCrNi20 se rup la 633K, în timpul scăderii din cupor, sau la prinderea în bacurile mașinii de incercat la tracțiune.

#### 5.1.1.2.-Prelucrarea datelor experimentale

##### A) Stabilirea valorilor testului Student

Pentru prelucrarea datelor provenite din încercarea la rupere la tracțiune se utilizează testul Student de aprecierea estimărilor pe bază de eșantioane mici ( $n < 30$ ). Se calculează indicatorii de sondaj:

$$\bar{X} = \frac{1}{n} \sum X_i \quad (5.1.)$$

$$\tilde{s}^2 = \frac{1}{n-1} \left[ \sum X_i^2 - \frac{1}{n} \left( \sum X_i \right)^2 \right] \quad (5.2.)$$

$$t_c = \frac{\bar{X} - m}{\tilde{s} / \sqrt{n}} \quad (5.3.)$$

în care:  $\bar{X}$  - este media de sondaj;  $S$  - abaterea medie patratice a datelor de sondaj;  $t_c$  - valoarea de sondaj a testului Student.

Se consideră rezultatele încercării la tracțiune la temperatură de încercare de 473K, obținute la ruperea îmbinărilor bimetal cu componentă de oțel din OL37 și OL52 (tabela 5.1.), se calculează valoarea intermedieră  $X_i$  și rezultă  $X_i^2$  (tabela 5.3.).

**Rezultatele încercării la rupere la tracțiune a imbinărilor Otel-Al sudate prin frecare**

Nr. crt.	Componenta din otel a imbinărilor bimetal	Diametru imbinărilor	Otel-Al	Temperatura de încercare K											
				1	2	3	4	5	6	7	8	9	10	11	12
1. 0L37 STAS 500/2-80	6,4 6,6 6,7	1660 2180 2300	6,52 8,57 9,04	6,24 6,32 6,33	750 800 820	2,94 3,14 3,22	6,26 6,28 6,30	400 340 450	1,57 1,33 1,76						
2. 0152 STAS 500/2-80	6,8 5,2 5,14 5,30 5,33	2620 2340 2300 2340 2520	10,3 9,20 9,04 9,20 9,90	6,37 5,1 5,1 5,4 5,5	850 560 860 750 1080	3,34 2,20 3,38 2,94 4,24	6,31 5,15 5,17 5,21 5,22	600 550 520 650 580	2,35 2,16 2,04 2,55 2,28						

TABLA 5.1 (continuare)

	2	3	4	5	6	7	8	9	10	11	12
3. OIC15 STAS 880-80	1,1	2220	8,72	1,9	1300	5,11	1,11	160	0,62		
	1,2	2820	11,08	1,10	2300	9,04	1,5	100	0,39		
18	1,4	2310	9,08	1,3	2065	8,11	1,12	-	-		
	1,7	2630	10,34	1,6	400	1,57	1,8	70	0,27		
4. 25MoCr 11 STAS 791-80	7,2	1600	6,29	7,6	630	2,47	7,1	240	0,94		
	7,9	2960	11,63	7,7	500	1,96	7,3	220	0,86		
18	7,10	2780	10,93	7,8	910	7,60	7,5	200	0,78		
	7,11	2680	10,53	7,15	920	5,61	7,12	-	-		
5. 35MoCr 11 STAS 791-80	3,2	2100	11,88	3,6	840	4,75	3,4	110	-		
	3,3	2180	12,34	3,8	880	4,93	3,9	110	0,036		
20	3,4	1950	11,04	3,13	750	4,41	3,1	-	-		
	3,1	2080	11,77	3,14	860	4,86	3,15	-	-		
6. 30MoCrNi20 STAS 791-80	4,1	2110	7,90	4,10	-	-	4,13	-	-		
	4,9	2320	9,12	4,18	-	-	4,13	-	-		
20	4,19	2410	9,47	4,20	920	5,61	4,32	120	0,47		
	4,23	2050	4,12	4,21	900	2,53	4,34	-	-		

T A B E L A 5.2

Date privind runerea îmbinărilor bimetal Otel-Al la încercarea de tracțiune

Nr. crt.	Componenta din otel a îm- binărilor bimetal	Temperatura de încercare K						
		Normală		La încălzire în regim termic de scurtă durată				
		293	473	633				
		Runere în Al	Runere în su- dură	Runere în Al	Runere în su- dură	Runere în Al	Runere în su- dură	
		in	in	in	su- ră	in	su- ră	
		Al	su- dură	Al	ră	Al	sub	
					la		dură	
					sub		su-	
					în-		dură	
					sar-		la	
					călzi-		fixa-	
					cină		re	
					re	în	ba-	
					în		curi	
		<u>Indicativul îmbinărilor Otel-Al sudate prin frecare</u>						
		1	2	3	4	5	6	
1	OL 37		6.4			6.24		6.26
	STAS							
	500/2/80		6.8			6.32		6.28
						6.5		6.30
						6.7		6.31
2	OL 52			5.2	5.4	5.1		5.17
	STAS							5.15
	500/2/80			5.14		5.3		5.22
				5.30		5.5		5.21
						5.33		
3	OLC 15		1.2	1.1	1.9			1.11
	STAS				1.10			1.5
	880/80			1.4				
				1.7		1.3		1.12
						1.6		1.8
4	25MoCr11			7.2		7.6		7.1
	STAS					7.7		7.3
	791/80			7.9				
				7.10		7.8		7.5
						7.11		7.12
5	33MoCr11		3.1	3.2	3.14	3.6		3.4
	STAS					3.8		3.9
	791/80			3.3				
				3.4		3.13		3.12
								3.15
6	30MoCrNi20			4.1		4.20		4.13
	STAS					4.21		4.31
	791/80			4.9				
				4.19		4.10		4.32
						4.23		4.34
						4.18		

T A B E L A 5.3

Calculul parametrului  $X_i^2$

Nr. crt.	$R_m$		$R_m_2 - R_m_1$	$X_i$	$X_i^2$
	$R_m_1$ daN/mm <sup>2</sup>	$R_m_2$			
	ATSi5Fe OL37	ATSi5Fe OL52			
1	2,94	2,20	-0,74	0,54	
2	3,14	2,94	-0,20	0,04	
3	3,22	3,38	0,16	0,02	
4	3,34	4,24	0,90	0,81	
		Total	0,12	1,41	

Folosind relațiile (5.1.), (5.2.), (5.3.), valoările indicatorilor de sondaj se obțin astfel:

$$\bar{X} = \frac{0,12}{4} = 0,03 \quad \tilde{s}^2 = \frac{1}{3} (1,41 - 0,03) = 0,49$$

$$t_c = \frac{0,03}{0,7\sqrt{4}} = 0,01$$

Păstrând ca bază de comparație rezultatele încercării de rupere la tracțiune a îmbinărilor OL37-ATSi5Fe sudate prin frecare, se calculează în mod analog valoarea de sondaj  $t_c$  a testului Student pentru îmbinări bimetal realizate din ATSi5Fe în combinație cu mărcile de șel OLC15, 25MoCr11, 33MoCr11 și 30MoCrNi20 (tabela 5.4.) și se reprezintă grafic (figura 5.2.). Din tabelele privind repartitia lui Student [28, 63] se constată că pentru a obține o diferență semnificativă în cazul unui nivel de semnificație de 1% și unui număr de 3 grade de libertate ( $n - 1$ ), variabila  $t_t$  trebuie să fie egală sau mai mare decât 5,841.

T A B E L A 5.4.

valoările testului Student pentru perechile de materiale.  
Otel-Al sudate prin frecare, încercate la rupere la tracțiune

Componenta din otel și imbină- rii bimetal	valoarea de sondaj $t_c$			valoarea teoretică $t_t$
	Temperatură de încercare K	293	473	
OL52	0,90	0,04	-0,03	
OLC15	3,90	0,58	-1,69	
25MoCr11	2,18	-1,00	-18,33	±5,841
33MoCr11	5,90	316	-155	
30MoCrNi20	-2,18	-0,77	-139	

B) Estimarea valoarii medii a rezistenței imbinărilor OL37 - ATSi5Fe sudate prin frecare

Datele inițiale de calcul sunt valoările obținute la încercarea de rupere la tracțiune la temperatură normală a imbinărilor OL37-ATSi5Fe sudate prin frecare (tabel 5.1.):

$X_1 = 6,52 \quad 8,57 \quad 9,04 \quad 10,3$

se calculează indicatorii de sondaj:

$$\bar{X} = \frac{1}{n} \sum_{i=1}^n X_i = 9,04$$

$$\hat{s}^2 = \frac{1}{n-1} \sum_{i=1}^n (X_i - \bar{X})^2 = 1,8526$$

$$D(\bar{X}) = \sqrt{\frac{\hat{s}^2}{n-1}} = 0,7858$$

în care  $D(\bar{X})$  este dispersia mediei de sondaj. Se verifică dacă datele inițiale corespund unei repartiții normale având media populației originare  $m=9,0$ . Cu o probabilitate egală cu 0,99, corespunzătoare la  $n - 1 = 3$  grade de libertate, avem:

$$|\bar{X} - 9,0| < 4,541 \cdot 0,7858 = 3,7$$

de unde:

$$5,3 < \bar{X} < 12,7$$

(5.4.)

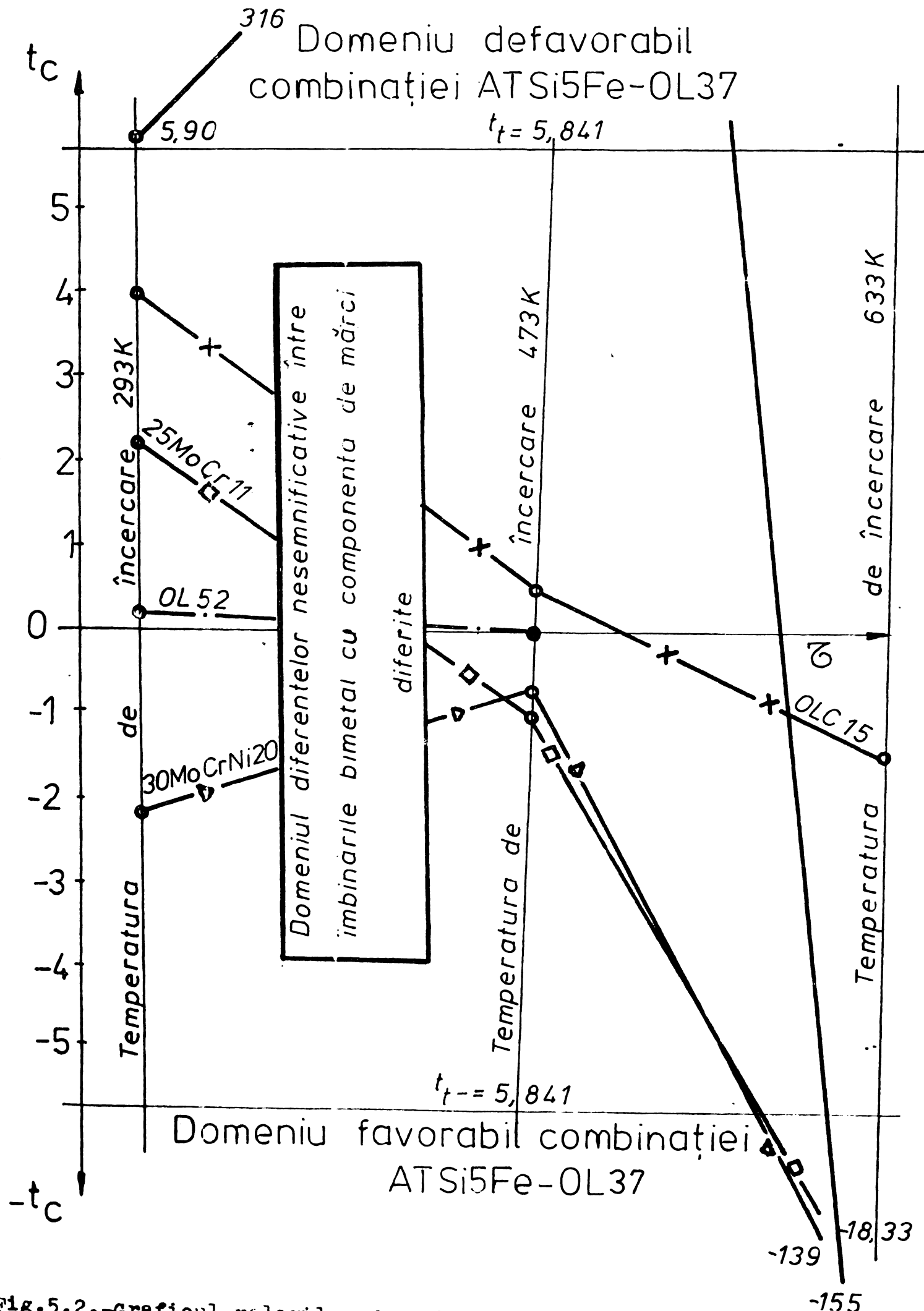


Fig.5.2.-Graficul valorilor de calcul ale funcției Student

Atât media de sondaj  $X$  cît și cele patru valori initiale  $X_i$  sunt cuprinse între aceste limite, astfel încât se poate admite ipoteza că frecvențele aparțin unei repartiții normale. Se poate admite deci, în baza criteriului Student, cu o probabilitate egală cu 0,99 că media valorilor din esantioanele extrase este egală cu  $9 \text{ daN/mm}^2$ .

#### 5.1.1.3.-Interpretarea rezultatelor

Conform testului Student, pentru îmbinările bimetal sudate prin frecare având compoziția de oțel din OL52, OLCl5, 30MoCrNi20 sau 25MoCr11, valorile de calcul  $t_c$  sunt inferioare valoșii teoreticei  $t_t = 5,841$  (tabela 5.4). Rezultă că folosirea îmbinărilor din ATSi5Fe sudate prin frecare cu aceste oțeli nu prezintă avantaje semnificative sub aspectul rezistenței mecanice, în condițiile de exploatare ale DPA4,5,6, comparativ cu îmbinările OL37-ATSi5Fe sudate prin frecare.

Dintre îmbinările cercetate, avantaje semnificative, inclusiv față de combinația de materiale OL37-ATSi5Fe sudate prin frecare, se obțin la utilizarea în exploatare, pînă la temperaturi de cca 473K, a oțelului 33MoCr11 sudat prin frecare cu aliajul ATSi5Fe, întrucît  $t_c > t_t$  (figura 5.2). Utilizarea acestui oțel în construcția dispozitivului port-anod are însă următoarele dezavantaje:

- oțelul 33MoCr11 este mai scump decît oțelul OL37, fiind un oțel aliat;
- după asamblarea dispozitivului port-anod, la sudarea oțelului 33MoCr11 cu tetrapodul din oțel OL42 sunt necesare măsuri tehnologice speciale;
- creșterea temperaturii de exploatare pînă la 633K determină scăderea rapidă a insușirilor de rezistență ale îmbinării bimetal în comparație cu îmbinarea OL37-ATSi5Fe sudată prin frecare, indicată testului Student fiind în acest caz  $t_c = -155 \ll t_t = -5,841$ .

In concluzie, pe baza încercărilor de rupere la tracțiune la rece și la încălzire de scurtă durată, se alege combinația de materiale OL37-ATSi5Fe pentru realizarea îmbinărilor bimetal sudate prin frecare, utilizate în construcția DPA4,5,6. Astfel, conform relației (5.4.), se obțin îmbinări Oțel-Al cu rezistență

minimă de rupere la tracțiune de  $5,3 \text{ daN/mm}^2$  și maximă de  $12,7 \text{ daN/mm}^2$  care reprezintă 60-117% din rezistență la rupere la tracțiune a aliajului AT315Fo.

### 5.1.2. Încercări mecanice pentru verificarea regimului de sudare prin frecare a DPA4,5,6

Experimentările de sudare a imbinărilor Otel-Al pentru DPA4,5,6, s-au efectuat pe o mașină de sudat prin frecare NSF-40 și au condus la stabilirea valorii parametrilor de sudare. Cu regimul de lucru utilizat la experimentări s-au sudat zece imbinări bimetal care au fost apoi pregătite în vederea încercării la tracțiune (figura 5.3.) Rezistență la rupere a calor

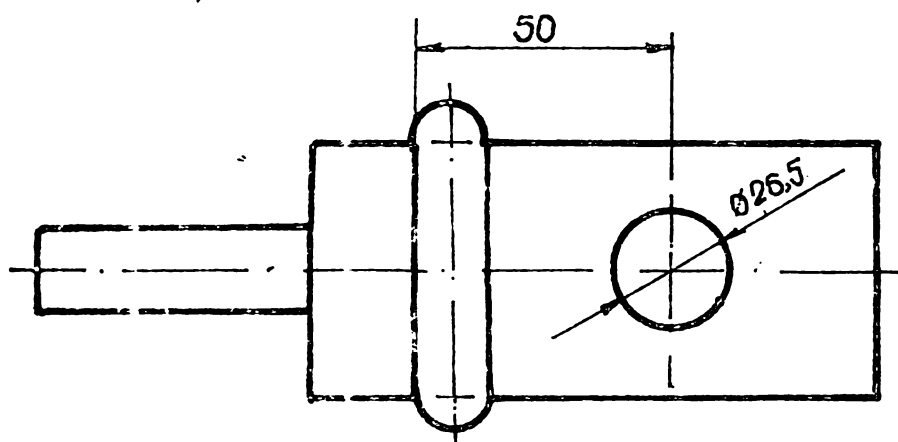


Fig.5.3.-Forma imbinărilor Otel-Al pentru încercarea la tracțiune

zece imbinări s-au cuprinsă între  $2,62$  și  $6,25 \text{ daN/mm}^2$  (tabelă 5.5.), iar opt imbinări bimetal s-au rupt în MB (figura 5.4.). Astfel, regimul de sudat a fost considerat corespunzător

pentru execuția DPA4,5,6, întrucât forță minimă înregistrată la ruperea unei imbinări Otel-Al a fost de  $7400 \text{ daN}$ , fără de legea da că este greutatea blocului anodic și a trapezului din otel care solicită patru suduri bimetal în exploatarea dispozitivului port-anod.

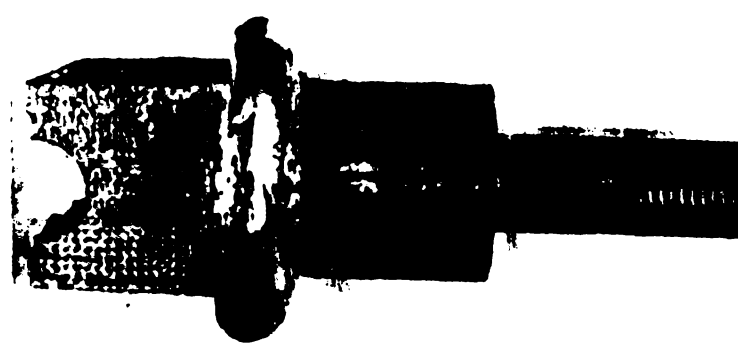


Fig.5.4.-Aspectul unei imbinări Otel-Al sudată prin frecare, după încercarea la tracțiune statică

T A B E L A 5.5.

Rezultatele încercării la treciune pentru verificarea regimului de sudare prin frecare a DPA4,5,6 [129]

Indicativul îmbinării Otel-Al	Secțiunea îmbinării mm <sup>2</sup>	F <sub>r</sub> <sub>max</sub> daN	R <sub>m</sub> daN/mm <sup>2</sup>	Locul ruperii
T 11		17700	6,25	sudură
T 12		15400	5,45	MB
T 13		13900	4,95	MB
T 14		15100	5,35	MB
T 15	2820	7400	2,62	sudură
T 16		13100	4,65	MB
T 17		12500	4,45	MB
T 18		13700	4,85	MB
T 19		15400	5,45	MB
T 20		12300	4,35	MB

5.1.3... Încercarea la fluaj a îmbinărilor Otel-Al

5.1.3.1.- Efectuarea încercărilor

Încercarea la fluaj este necesară pentru aprecierea comportării îmbinărilor Otel-Al sudate prin frecare ale DPA4,5,6, la încălzire de lungă durată. Epruvetele au fost prelucrate la diametrul portiunii calibrate de 16 mm, cu capete de prindere filetate la M16 (figura 5.5.). Încercarea la

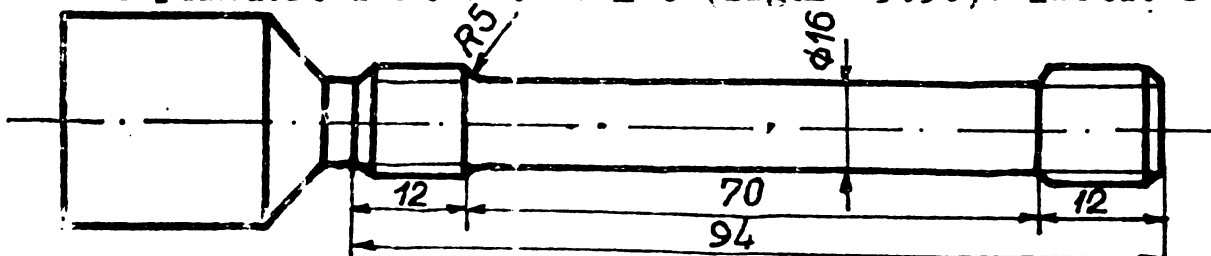


Fig. 5.5. Imbinări Otel-Al sudate prin frecare, utilizate pentru încercări de rupere la fluaj

fluaj s-a efectuat în condițiile prevăzute de STAS 8894-71. Epruvetele s-au încălzit la temperaturi cuprinse între 393...473K și corelate cu cele din exploatare ale DPA 1,3,4,5,6. Pe baza rezultatelor obținute (tabela 5.6) s-a stabilit rezistența tehnică de durată (tabela 5.7) și s-a reprezentat grafic tensiunea în funcție de parametrul Larson-Miller (figura 5.6.).

Pentru calcularea rezistenței tehnice de durată se utilizează un program pentru prelucrarea pe calculatorul electronic FELIX C256. Acest program cuprinde cinci metode de prelucrare, dintre care calculatorul a selectat cele care se pretează la materialele investigate, ținând cont de îndeplinirea condițiilor de dispersie și extrapolare.

### 5.1.3.2.-Prelucrarea datelor experimentale

Prelucrarea dateier din tabela 5.6. se face prin estimarea coeficientului corelației simple de sondaj. Acest coeficient indică intensitatea interdependenței dintre variabilele aleatorii normale  $x$  (temperatura) și  $y$  (rezistență tehnică de durată) și este definit prin relația [148]:

$$R_{x,y} = \frac{A}{\sqrt{B \cdot C}} \quad (5.5.)$$

în care:

$$A = n \sum_{i=1}^n x_i y_i - \left( \sum_{i=1}^n x_i \right) \left( \sum_{i=1}^n y_i \right) \quad (5.6.)$$

$$B = n \sum_{i=1}^n x_i^2 - \left( \sum_{i=1}^n x_i \right)^2 \quad (5.7.)$$

$$C = n \sum_{i=1}^n y_i^2 - \left( \sum_{i=1}^n y_i \right)^2 \quad (5.8.)$$

iar  $x_i$ ,  $y_i$  sunt perechile de valori determinate experimental și  $n$ , numărul acestor perechi. Coeficientul  $R_{x,y}$  s-a calculat atât pentru estimăriile simple LM, LMC, MS, SD, cât și pentru estimarea globală G, cu toate datele  $x_i$ ,  $y_i$  obținute după încercarea la fluaj (tabela 5.7.). Verificarea semnificației valorii obținute pentru  $R_{x,y}$  se face calculând expresia [52, 107]:

$$R_{xy_{min}} = -\frac{1}{6} (\sqrt{n+36} - \sqrt{n}) \quad (5.9)$$

în care  $n$  este numărul perechilor de valori determinate experimental (tabela 5.7.). Estimarea valorii coeficientului de corelație  $R_{x,y}$  în populație originară [27, 65, 92] se face cu ajutorul următorului interval de încredere, garantat

cu o probabilitate de peste 0,89 (inegalitatea lui Cebîșev):

$$R_{xy} - 3 \frac{1-R_{xy}}{\sqrt{n}} < r_{xy} < R_{xy} + 3 \frac{1-R_{xy}}{\sqrt{n}} \quad (5.19.)$$

în care  $R_{xy}$  este coeficientul corelației simple de sondaj și  $n$ , numărul perechilor de valori (tabela 5.7.).

### 5.1.3.3.-Interpretarea rezultatelor

Valeurile limită ale lui  $R_{xy}$  sunt 0 și ±1. Cu cît valoarea acestui coefficient este mai apropiată de 1, cu atât legătura dintre cele două variabile x și y este mai puternică.

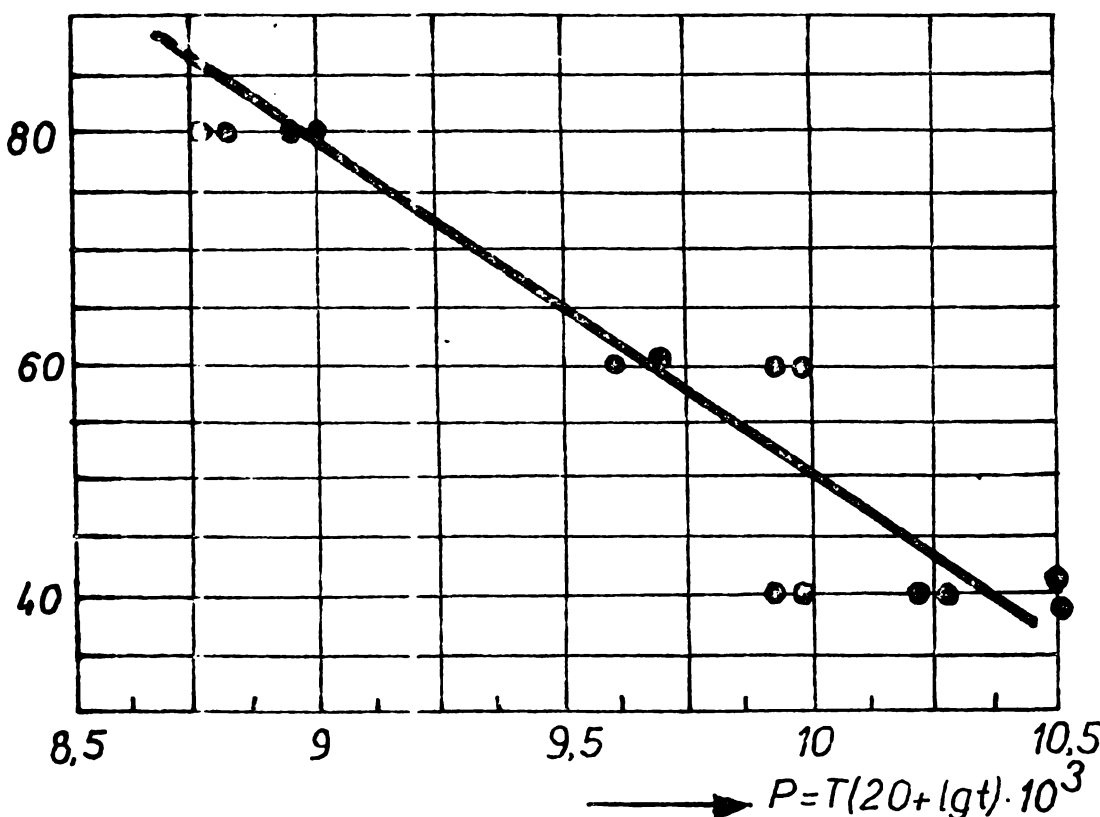


Fig.5.6.-Dependența tensiunii de parametrul de extrapolare Larsen-Miller [130]

Din analiza rezultatelor obținute (tabela 5.9.), se constată că influența temperaturii asupra rezistenței la rupere a îmbinărilor Otel-Al sudate prin frecare este diferită, în funcție de durată de exploatare a DPA4,5,6. Astfel, cea mai intensă interdependență se constată pînă la 1000 ore de funcționare, interval în care coeficientul corelației simple de sondaj, definit prin relația (5.5.), are valoarea limită +1 pentru estimările LMC, MS, SD și foarte apropiată de unitate (- 0,913) pentru G. Semnul minus rezultat din

T A B E L A 5.6

Rezultatele încercării la fluaj a îmbinărilor Otel-Al sudate prin frecare [130]

Nr. crt.	Indi- cativ ambi- nare bime- tal	Ter- su- ne daN mm	Tempe- ratu- ra K	Durata pînă la rupere h		1	2	3	4	5		1	2	3	4	5
1	2	3	4	5		1	2	3	4	5		1	2	3	4	5
1	6.57	4	433	959,5		27	6.66	6	453	78,0						
2	6.41	4	433	805,4		28	6.67	6	433	180,0						
3	6.42	4	433	695,3		29	6.68	6	433	240,0						
4	6.43	4	453	409,0		30	6.88	6	473	17,0						
5	6.44	4	453	471,0		31	6,89	6	473	4,0						
6	6.45	4	473	205,0		32	6,90	6	453	95,3						
7	6.46	4	473	192,0		33	6,91	6	453	78,0						
8	6.69	4	473	205,5		34	6,92	6	433	180,2						
9	6,70	4	473	129,0		35	6,93	6	433	240,2						
10	6.71	4	453	471,0		36	6,52	8	393	205,0						
11	6.72	4	453	409,0		37	6,54	8	393	231,5						
12	6.73	4	433	1405,0		38	6.55	8	413	46,0						
13	6.74	4	433	1745,0		39	6.56	8	413	68,0						
14	6.80	4	473	205,5		40	6.57	8	433	18,0						
15	6.81	4	473	129,0		41	6.58	8	433	8,0						
16	6.82	4	453	271,0		42	6.59	8	413	68,0						
17	6.85	4	453	409,0		43	6.60	8	413	46,0						
18	6.86	4	433	1405,0		44	6.61	8	393	251,5						
19	6.87	4	433	1745,0		45	6.62	8	393	205,0						
20	6.45	6	433	180,2		46	6.94	8	433	18,0						
21	6.49	6	433	160,2		47	6.95	8	433	8,0						
22	6.50	6	453	78,0		48	6.96	8	413	68,0						
23	6.51	6	453	95,3		49	6.97	8	413	46,0						
24	6.63	6	473	17,0		50	6.97	8	393	251,5						
25	6.64	6	473	4,0		51	6.99	8	393	205,0						
26	6.65	6	453	95,3												

T A B E L A 5.7

Rezistență tehnică de durată a îmbinărilor Otel-Al  
sudate prin frecare [130]

Nr. crt.	Tempe- ratu- ra	Metodă de extra- polare	$\frac{R_r}{1000}$	$\frac{R_r}{5000}$	$\frac{R_r}{8000}$	$\frac{R_r}{10000}$
			K	$d = N/mm^2$		
1	403	LMC	4,741	4,422	4,333	
2	403	SD	4,680	4,544	4,505	
3	403	MS	4,786	4,518	4,443	
4	403	LM		6,215		5,886
5	403	LMC		5,155		4,753
6	403	SD		5,058		4,636
7	403	MS		4,902		4,539
8	413	LMC	4,652	4,332	4,243	
9	413	SD	4,654	4,518	4,479	
10	413	MS	4,707	4,444	4,379	
11	413	LM		5,589		5,286
12	413	LMC		4,959		4,287
13	413	SD		4,563		4,183
14	413	MS		4,531		4,145
15	423	LMC	4,565	4,243	4,154	
16	423	SD	4,528	4,493	4,454	
17	423	MS	4,629	4,370	4,297	
18	423	LM		5,026		4,747
19	423	LMC		4,210		3,866
20	423	SD		4,137		3,792
21	423	MS		4,137		3,785
22	433	LMC	4,479	4,113	4,092	
23	433	SD	4,604	4,403	4,396	
24	433	MS	4,552	4,315	4,198	
25	403	LM		6,2		5,0
26	403	LMC		5,1		4,7
27	403	SD		5,0		4,6
28	403	MS		4,9		4,5
29	413	LM		5,6		5,3
30	413	LMC		4,9		4,3
31	413	SD		4,6		4,2
32	413	MS		4,5		4,1
33	423	LM		5,0		4,7
34	423	LMC		4,2		3,9
35	423	SD		4,1		3,8
36	423	MS		4,1		3,8

T A B E L A 5.8

Parametri statistici ai încercării la fluaj a îmbinărilor  
Otel-Al sudate prin frecare

Rezis- tentă tehnică de du- rată	Sim- bol	ESTIMATIA				
		LM	LMC	SD	MS	G
Valorile parametrilor statistici						
1	2	3	4	5	6	7
$R_T/1000$	A		17,46	5,08	15,60	114,42
	B		2000	2000	2000	18000
	C		0,15	0,012	0,11	0,872
	$R_{xy}$		1,0	1,0	1,0	0,913
	n		4	4	4	12
	$R_{xymin}$		0,720	0,720	0,720	0,577
	$\beta_{xymax}$					0,988
	$\beta_{xymin}$					0,838
	A	35,67	132,31	1599,5	84,15	1520,4
	B	600	5200	2041600	5200	58800
$R_T/5000$	C	2,11	6,80	3,14	2,36	137,95
	$R_{xy}$	1,0	0,703	0,631	0,759	0,533
	n	6	10	10	10	36
	$R_{xymin}$	0,752	0,651	0,651	0,651	0,474
	$\beta_{xymax}$					0,818
	$\beta_{xymin}$					0,248
	A	7043,77	16,34	16,34	118,86	
	B	1259864	2000	2000	18000	
	C	70,65	0,13	0,13	2,3	
	$R_{xy}$	0,746	1,0	1,0	0,584	
$R_T/8000$	n	4	4	4	12	
	$R_{xymin}$	0,720	0,720	0,720	0,720	0,577
	$\beta_{xymax}$					0,944
	$\beta_{xymin}$					0,224
	A	34,17	26,61	25,32	22,62	434,88
	B	600	600	600	600	9600
	C	10,94	1,17	4,10	0,85	52371
	$R_{xy}$	0,42	1,0	0,51	1,0	61613
	n	6	6	6	6	24
	$R_{xymin}$	0,752	0,752	0,752	0,752	0,577
$R_T/10000$	$\beta_{xymax}$					0,948
	$\beta_{xymin}$					0,278

calcule pentru  $R_{xy}$  semnifică raportul de proporționalitate inversă între temperatura de lucru  $x$  și rezistența tehnică de durată  $y$  a îmbinărilor Oțel-Al sudate prin frecare. Deoarece datele experimentale au o împriștiere aleatorie, este posibil ca valoarea coeficientului  $R_{xy}$  să fie diferită de zero chiar pentru două variabile independente. Confirmarea proprietății lui  $R_{xy}$  de a reprezenta mărimi corelate se obține dacă

$$|R_{xy}| > R_{xy\min} \quad (5.11)$$

In cazul încercării la fluaj a îmbinărilor Oțel-Al se constată că această inegalitate este verificată pentru  $R_r/1000$  cu datele fiecărei estimări. Intensitatea legăturii dintre temperatura de lucru și rezistența îmbinării bimetal este confirmată și de coeficientul de corelație  $\rho_{xy}$  al mulțimii dispozitivelor port-anod montate în cuvele de electroliză, care are valoarea minimă, garantată cu o probabilitate de peste 0,89, apropiată de unitate (0,838). Rezultă că îmbinările Oțel-Al sudate prin frecare ale DPA4,5,6 au durată critică de funcționare de 1000 de ore, ceea ce corespunde cu 1,488 cicluri de utilizare în cuvele pentru fabricația electrolitică a Al.

Intervalul care urmează după durata critică de funcționare este caracterizat de o influență redusă a temperaturii asupra rezistenței tehnice de durată a îmbinărilor bimetal.

Aprecierea se face cu estimarea globală  $G$  care, utilizând numărul cel mai mare de valori experimentale ( $n=12\ldots36$ ), are o putere de semnificație superioară față de fiecare în parte din estimările simple ( $n=4\ldots10$ ) și verifică în toate cazurile condiția (5.11.). Din tabela 5.9 rezultă că pentru  $G$  și  $R_r/5000$  variabilele  $x$  și  $y$  rămân corelate:

$|R_{xy}| > R_{xy\min}$  însă intensitatea legăturii între temperatura de explatare și rezistența tehnică de durată a îmbinărilor Oțel-Al reprezintă doar 58% din ceea existentă la  $R_r/1000$ , valoarea coeficientului corelației simple de sondaj fiind  $R_{xy}=0,533$ . Reducerea legăturii între cele două variabile se constată și cu coeficientul de corelație  $\rho_{xy}$  al mulțimii dispozitivelor port-anod montate în cuvele de electroliză. Astfel, limita inferioară

a intervalului de încredere al lui  $\rho_{xy}$  garantată cu o probabilitate mai mare de 0,86 confirmă estimarea G și reprezintă pentru  $R_x/5000$  numai 29% din valoarea limitei echivalente pentru  $R_x/1000$ . De asemenea, întrucât  $\rho_{xymin} = 0,248$ , are o valoare apropiată de zero, pentru o parte din DPA4,5,6, care se montează în cuve și depășesc intervalul critic de funcționare, variabilele temperatură-rezistență tehnică de durată vor deveni practic independente.

#### 5.1.4.-Distribuția defectelor în sudurile Oțel-Al realizate prin frecare

Examinarea distribuției defectelor în planul sudurii Oțel-Al s-a efectuat utilizând metoda colorării, concomitent cu distrugerea progresivă a îmbinării sudate. Față de aplicațiile cunoscute din literatura de specialitate [3, 12, 13, 14], tehnica de examinare cu lichide penetrante, în condițiile cercetării, prezintă următoarele particularități:[6, 128] :

- îmbinarea bimetal Oțel-Al sudată prin frecare se fixează pe strung, suprafață fiind curățită de grăsimi, uleiuri, oxizi, stropi de metal;
- se depune pe sudură în 3...4 treceri un strat de lichid colo-rat tip PENETRANT Spray defectoscop P8V2, timpul de uscare maxim fiind  $t=13$  min, la temperatura optimă de pulverizare  $T=298 - 301K$ ;
- suprafață se spală cu un jet de apă, se șterge și se usucă;
- se pulverizează pe sudură soluția DEVELOPANT Spray defectoscop D6.50 și după  $t=5...15$  min defectele de suprafață apar sub formă de puncte sau linii colorate în roșu;
- îmbinarea sudată se rotește și se măsoară, față de baza zero, unghiiile  $\alpha_i$ ,  $\alpha_{i+1}$  ale extremităților defectelor existente în stratul superficial.

Se procedează analog pe zece straturi provenite din strungi-re succesivă a sudurii bimetal la diametrele reduse în trepte de cîte 5 mm, rezultînd mărimea defectelor și distribuția lor pe secțiunea sudurii Oțel-Al realizata prin frecare.

S-au examinat cu această tehnică patru îmbinări bimetal sudate prin frecare (tabelă 5.9) și s-au reprezentat diagramele de distribuție a defectelor (figura 5.7). Cele mai puține

Distribuția defectelor în sudura Otel-Al e imbinării bimetal MC<sub>1</sub>, MC<sub>2</sub>, MC<sub>3</sub>, MC<sub>4</sub>. TABE LA 5.9

Imbinare bimetal Numărul stratului controlat	Măsură arcului de cerc al defectului, în grade													
	AB		CD		EF		GH		IJ					
	α <sub>1</sub>	α <sub>2</sub>	α <sub>1+2</sub>	α <sub>3</sub>	α <sub>4</sub>	α <sub>3+4</sub>	α <sub>5</sub>	α <sub>6</sub>	α <sub>7</sub>	α <sub>8</sub>	α <sub>7+8</sub>	α <sub>9</sub>	α <sub>10</sub>	α <sub>9+10</sub>
M C <sub>1</sub>	255	6	261	347	4	351								
2	342	13	355	287	9	296	306	10	316	10	337			
3	33	8	41	103	7	110	181	10	191	9	299			
4	68	8	76	103	15	118	299	38	337					
5	54	17	71	103										
M C <sub>2</sub>	101	5	106	119	5	124	128	8	136					
2	104	12	116	112	305	310								
3	2	8	5	7										
5	229	29	249	277	16	293	297	6	303	310	18			
6	42	9	51	211	14	2255	273	17	290					
7	30	10	76	109	48	157	138	28	216	230	26			
8	46	26	124	157	41	198	249	21	270	290	26			
9	98	20	166	268	21	289								
10	146													
M C <sub>3</sub>	78	10	88											
4	90	12	102											
5	48	9	57											
6	35	13	43											
7	270	10	280											
8	184	63	247											
9	300	23	323											
10														
M C <sub>4</sub>	79	11	90											
2	65	9	74											
5	37	6	43											

defecte s-au constatat la îmbinarea Oțel-Al NC<sub>4</sub> (figura 5.7,d). Încălzirea neuniformă a materialului din cauza grosimii mari a componentelor, face să apară în zona centrală a îmbinării un număr mai mare de defecte decât în zona exterioară (figura 5.7, b,c). Pe măsura creșterii rezei îmbinării bimetal crește viteza relativă la sudare, temperatură realizată prin frecare este mai ridicată iar procesul de evacuare a oxizilor în bavură este intens, astfel încât stratul superficial rezultă fără defecte sau are un număr redus de impurități (figura 5.7, a). Cumul total defectelor din cele patru îmbinări Oțel-Al examineate prin metoda colorării, se observă în straturile 1...4. 14 defecte pe față de 39 în straturile 7...10, crescând concomitent și măsura arcului de cerc circumscris de defect în valori medii, de 1s 28° la respectiv 197° (tabelă 5.10).

#### 5.1.5.-Controlul cu rădiatii al îmbinărilor Oțel-Al sudate prin frecare

Controlul cu rădiatii va fi aplicat pentru examinarea calității componente din ATSi5Fe înaintea sudării prin frecare cu componentă din OL37. Tijele modice pentru DPAl...6 se obțin prin tumere, trebuie să îndeplinească condițiile de calitate prevăzute în standarde [144, 145, 147] și să conțină defecte admisibile. Defectele de turnare se clasifică în șapte grupe, iar în cadrul acestora pe categorii [145]. După o altă clasificare [123] sunt stabilite șapte categorii de bază, iar identificarea se face prin litere de la A pînă la G, astfel:

A - excrecențe metalice;

B - goluri (cavitații);

C - discontinuități;

D - defecte de suprafață;

E - piese turnate incomplet;

F - dimensiuni și configurație necorespunzătoare;

G - incluziuni și defecte de structură.

Problema defectelor de turnare este cu atît mai importantă la îmbinările Oțel-Al, unde prezența acestor defecte în componentă din Al modifică rezistența și comportarea în exploatare a sudurii bimetal realizată prin frecare.

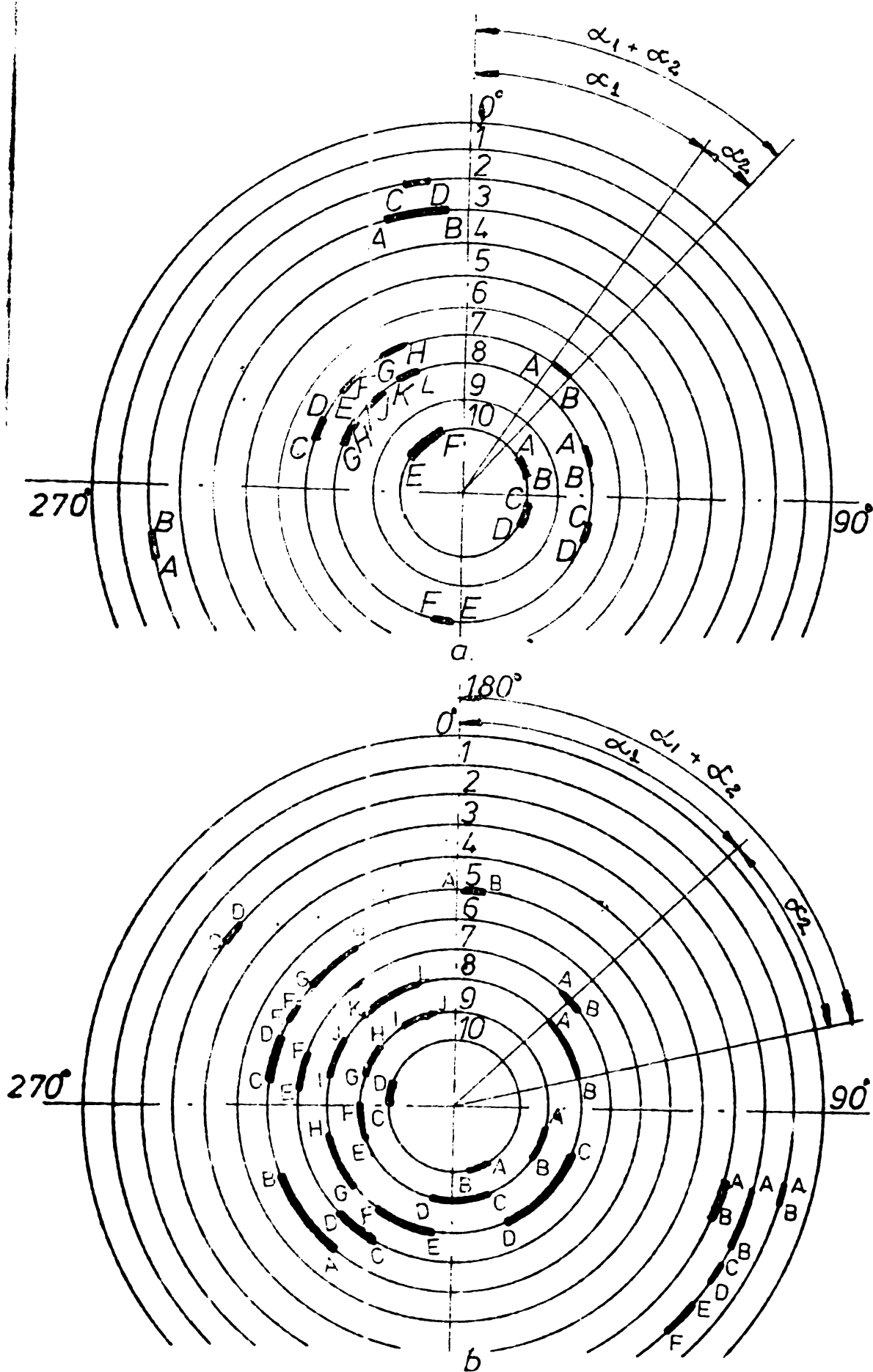


Fig.5.7.-Diagrama de distribuție a defectelor în suduri Otel-Al realizate prin freare: a) imbinarea bimetal  $MC_1$ , b) imbinarea bimetal  $MC_2$ .

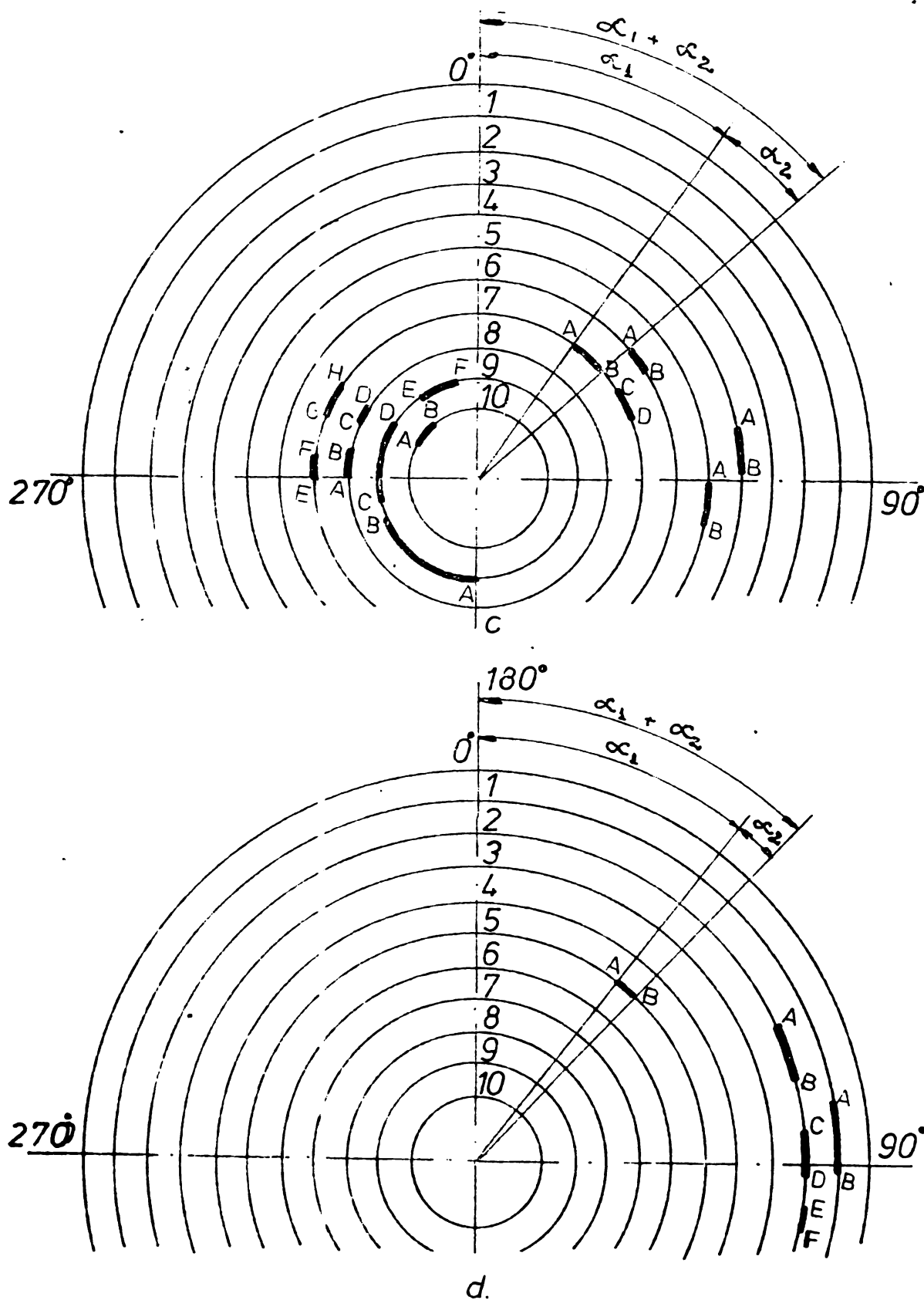


Fig.5.7.: c) imbinare bimetal MC<sub>3</sub>, d) imbinare bimetal MC<sub>4</sub>

T A B E L A 5.10

Numărul (a) și unghiul cumulat (b) al defectelor din sudurile Oțel-Al examineate prin metoda colorării

Nr. stră-tului	Indicativul îmbinărilor bimetal								Total	
	MC <sub>1</sub>		MC <sub>2</sub>		MC <sub>3</sub>		MC <sub>4</sub>			
	a	b	a	b	a	b	a	b	a	b
1	-	-	1	5	-	-	1	11	2	16
2	2	10	3	25	-	-	3	23	8	58
3	1	13	2	9	-	-	-	-	3	22
4	-	-	-	-	1	10	-	-	1	10
5	-	-	1	5	1	12	1	6	3	23
6	-	-	4	69	1	9	-	-	5	78
7	4	37	3	40	4	47	-	-	11	124
8	6	54	6	185	2	22	-	-	14	261
9	-	-	5	132	5	134	-	-	8	266
10	3	70	2	41	1	23	-	-	6	136

S-au confectionat indicatoare de calitate a imaginii radiografice din sîrme de Al (figura 5.8). În acest scop s-au



Fig.5.8.-Indicator de calitate a imaginii cu sîrme din Al

folosit 19 sîrme din Al cu diametre diferite dinно,1 în 0,1 mm, de 1±0,2 pînă la 2,0 mm [7]. În urma controlului efectuat și a interpretării unui număr de 450 radiografii, a rezultat că defectele frecvent întîlnite sunt din categoriile B și G. A fost necesară stabilirea unor criterii pentru aprecierea calității componente din ATSi5Fe în funcție de natura și mărimea defectelor, întrucît sunt cunoscute din literatura de specialitate normative tehnice pentru admisarea sau respingerea aliajelor turnate din Al, de la lucrări de sudare, în baza controlului radiografic. S-au considerat cinci cifre de gravitate după natură și trei cifre, după mărimea defectului (tabela 5.11) [9, 127].

Componentele fără defecte (figura 5.9, 5.23) și cu pori izolați (figura 5.7, 5.17) au reprezentat 15% din totalul expunerilor. Defectele cu ponderea cea mai mare (45%) sunt porii uniform distribuiți, situați din grupale G31

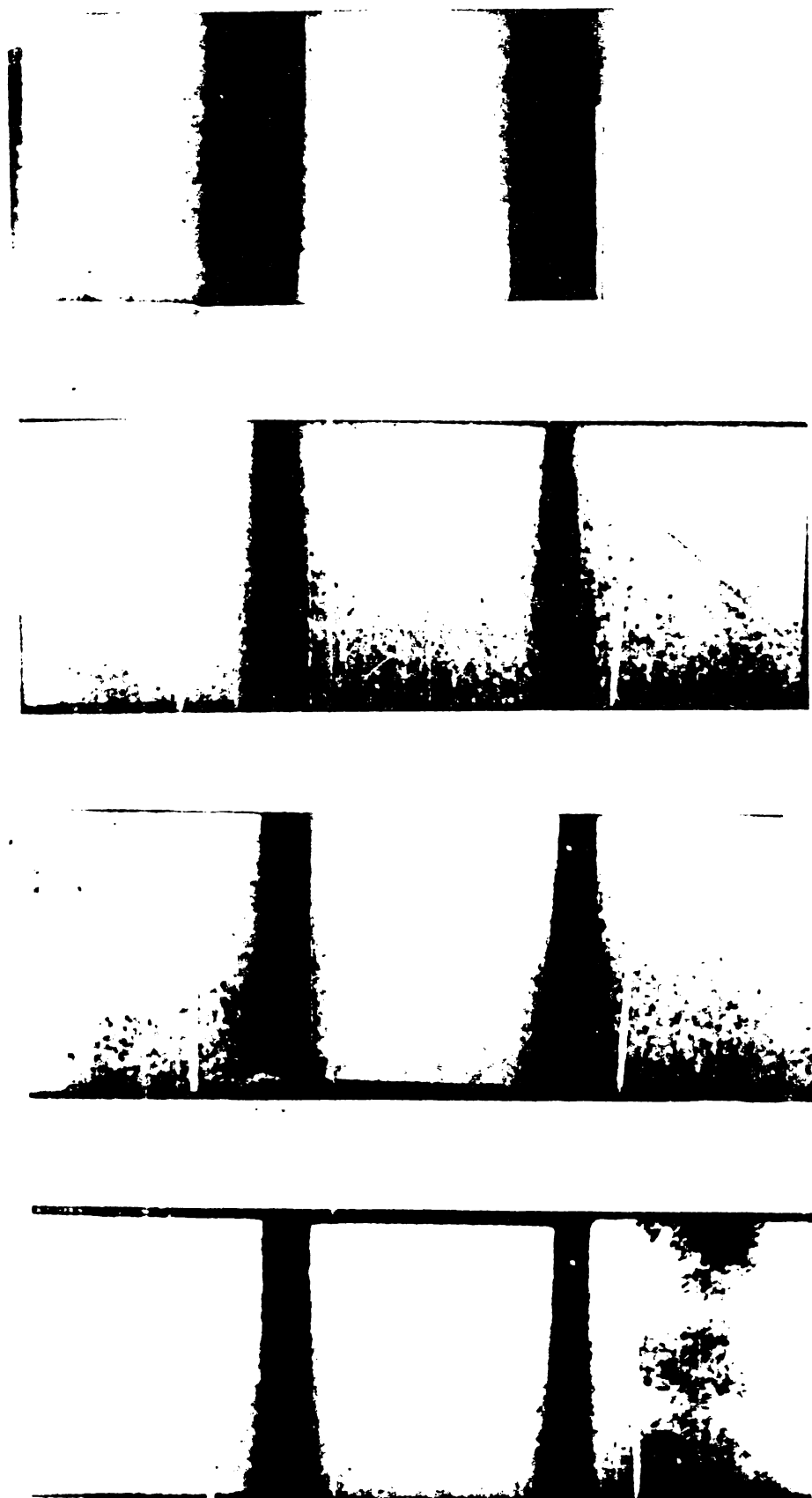


Fig. 5.9.- Radiografie unei componente din ATSi5Fe,  $\delta = 60$  mm.

(figura 5.9, 32, 38) și G32 (figura 5.9, 8, 29) admise pentru sudare cît și din grupa G33 (figura 5.9, 26, 27).

T A B E L A 5.11

Criterii de admitere la sudarea prin frecare a elajului ATSi5Fe în baza rezultatelor controlului radiografic

Natura defectului	Simbol după tumare	Cifra vitezei de gătire	Cifra vitezei de probuzire	Simbol funzime	Admise pentru sudare	Respingere de la sudare
Fără defecte	-	1	-	1	1	-
Pori izolați	B	2	1 2 3	G 21 G 22 G 23	G 21 G 22 G 23	- - -
Pori uniform dis tribuți	B	3	1 2 3	G 31 G 32 G 33	G 31 G 32	- -
Incluziuni de zgură	G	4	1 2 3	G 41 G 42 G 43	G 41	- G 42 G 43
Alte defecte	AC	5	-	AC 5	-	AC 5

Prin grupele G42 (figura 5.9, 39) și G43 (figura 5.9, 24), incluziunile de zgură constituie cauza principală a respingerii componentelor din ATSi5Fe de la sudarea prin frecare și reprezintă cca 30% din totalul defectelor de turnare constatăte.

Defectele de suprafață (D), piese turnate incomplet (E), dimensiuni și configurație necorespunzătoare (F) nu apar în aceste criterii (tabelă 5.11), ele fiind depistate prin controlul vizual efectuat înaintea examinării nedistructive cu radiații a componentelor din ATSi5Fe [2,4].

Controlul final cu radiații X s-a aplicat pe sudure bimetal după realizarea prin frecare a îmbinărilor Oțel-Al. La o expunere s-au controlat trei îmbinări bimetal, astfel, călătrei imagini care apar pe materialul fotosensibil le corespunde un singur indicator de calitate a imaginii radiografice (figura 5.10). Controlul nedistructiv final prezintă următoarele particularități:



Fig.5.10.-Radiografii de unor șimbinări Oțel-Al sudate prin  
frecare: a) Radiografia imbinărilor din metal 1, 2, 3, 4, 5, 6  
d= 60 mm.

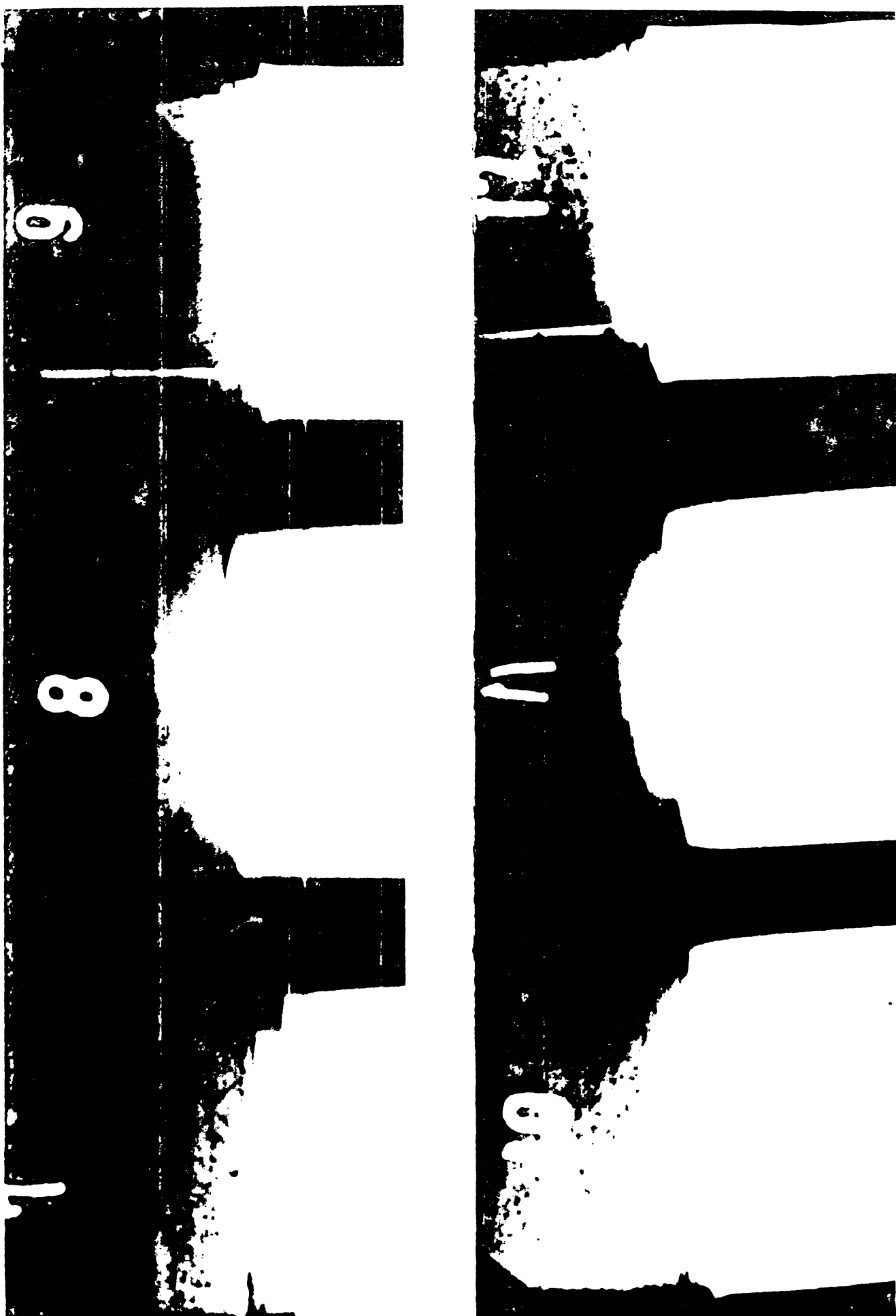


Fig.5.1e..- b) radiografii dezinărilor bimetal 7, 8, 9  
10, 11, 12  $\sigma = 60 \text{ mm}$ .



Fig. 5.10,c) Radiografiile șambinărilor bimetal 13, 14, 15,  $\delta = 60$  mm.

- cercetarea calității unor șambinări sudate de tip bimetal;
- expunerea la rădiștii a unor metale cu grosimi mari (60 mm);
- executarea controlului pe șambinări sudate având componente de secțiuni diferite: pătrată (Al), respectiv rotundă (Oțel).

Radiografia 8 (figura 5.10) prezintă parte de Al fără defecte, iar șambinările 2, 3, 6, 10, 12 (figura 5.10) arată situație frecvent întâlnită, cu pori mărunci uniform distribuiți în tota masa Al. Radiografiile 1, 4, 5, 7 (figura 5.10) pun în evidență pori mari și incluziuni de zgură, iar 9, 13, 14, 15 (figura 5.10) prezintă ca defecte de turcare goluri și incluziuni nemetlice grosolane. Sudura bimetal Oțel-Al rezultă fără defecte datorită procesului de sudare (figura 5.10, 2, 4, 5), cu discontinuități locale între componente (figura 5.8, 8) sau orestături sub bavură, (figura 5.10, 7, 15, 14).

În concluzie, problemele deosebite care au fost abordate în cadrul cercetării, privind controlul cu rădiștii al șambinărilor bimetal sudate prin freacă, sunt următoarele:

- confectionarea din sîrmă de Al a unor indicatoare de calitate a imaginii radiografice;
- aplicarea controlului nedistructiv în fază de debitare a componentei din Al pentru depistarea defectelor de turcare;

- stabilirea unor criterii de admitere a aliajului ATS<sub>5</sub>Fe pentru sudarea prin frecare, în baza interpretării imaginii radiografice;
- efectuarea controlului nedistructiv al imbinărilor Oțel-Al sudate prin frecare.

Aliajul ATS<sub>5</sub>Fe s-a folosit la lucrări de sudare prin frecare în funcție de rezultatele controlului radiografic, în timp ce admiterea sau respingerea imbinărilor Oțel-Al s-a făcut în baza controlului cu raze X combinat cu alte metode de control.

#### 5.1.6.-Cercetarea metalografică a imbinărilor Oțel-Al sudate prin frecare

In prezent, se consideră că cercetarea metalografică a imbinării este suficientă pentru aprecierea calității unui șelet de piese sudate prin frecare [19, 22]. La acest procedeu de sudare, datorită deformățiilor plastice uniforme, structura imbinării este superioară ca omogenitate imbinărilor realizate prin procedee electrice sau cu fascicul de electroni. În urma realizării sudurilor prin frecare, Al nu ajunge pînă la punctul de fuziune și procesele de difuzie, din acest motiv, nu sunt activizate. Metalul se încalzește în volume



Fig.5.11. Macrostructure imbinării bimetal "M" realizată prin frecare cu mașina de sudat MSF-40 [129]

mici și se răcește repede, ceea ce întrerupe procesul de difuzie și apele prin refugare, în urma deformăției plastice a metalului, elementale intermetalice formate se îndepărtează în bavură, analiza metalografică fiind un criteriu valabil pentru aprecierea calității imbinării.

Cu mașina de sudat prin frecare MSF-40 s-a realizat

- imbinare Oțel-Al, din care s-a prelevat epruveta M<sub>1</sub> pentru analiză metalografică. Pregătirea epruvei și atacul chimic corespunzător s-au executat conform STAS 4203-80, iar analiza metalografică în concordanță cu STAS 10952,2-78. Nu s-au constatat defecte în imbinarea bimetal examinată macroscopic,

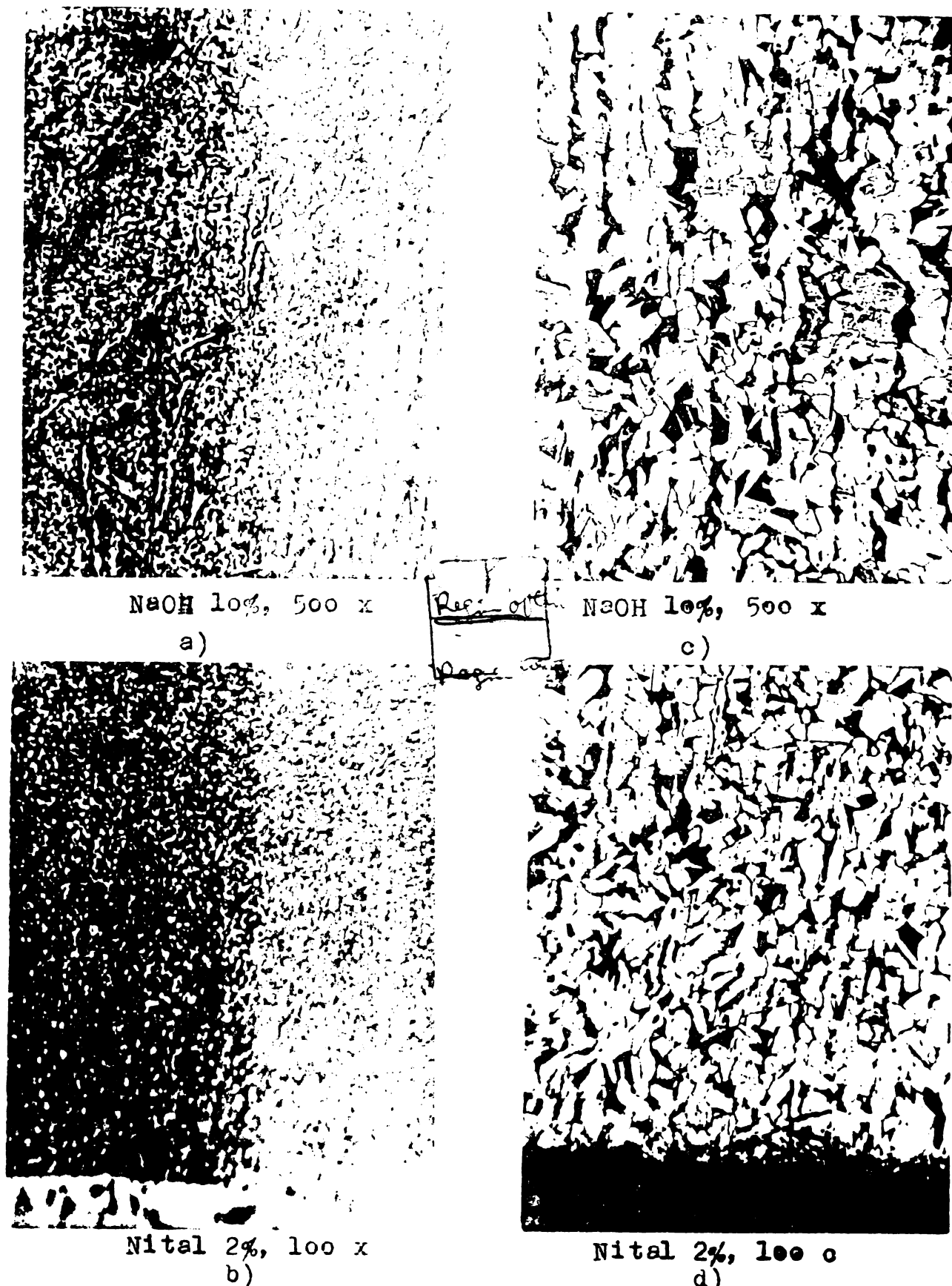


Fig.5.12.-Microstructura ambinării bimetal M<sub>1</sub> realizată prin freare cu mașina de sudet MSF40: a) MB, Al; b) ZIT, Al, c) MB, Oțel; d) ZIT, Cjel [429].

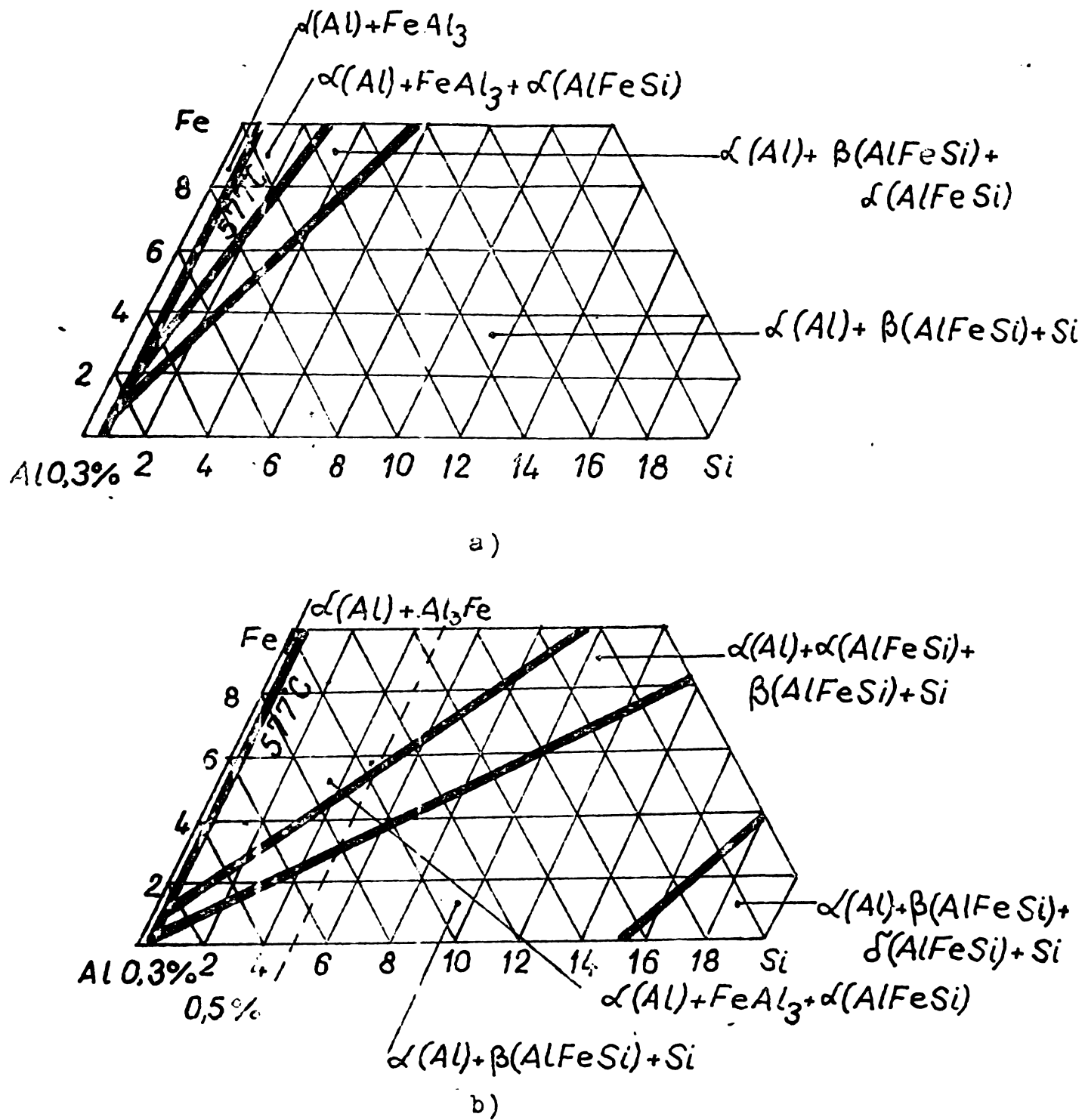


Fig.5.13.-Diagramele temare Al Si Fe: a) repartitia fazelor solide in starea de echilibru a aliajelor din Al; b) repartitia fazelor solide la aliajele din Al in afara de echilibru [121].

(figura 5.11) după atac chimic ( $\text{NaOH}$  10%). Cercetarea microscopică a componentei din  $\text{ATSi5Fe}$  în zone nesfectate de procesul de sudare prin frecare pune în evidență o soluție solidă bogată în  $\text{Al}$ , cu cristale poliedrice grobe de  $\text{Si}$  și formații aciculare (figura 5.12,a). ZIT are o soluție solidă bogată în  $\text{Al}$ , cu cristale poliedrice de  $\text{Si}$  finisate (figura 5.12,b). În aliajele de  $\text{Al}$  cu  $\text{Si}$  prezența  $\text{Fe}$  este favorabilă producerii compusului ternar  $\text{Al Si Fe}$  (figura 5.13). După conținutul de  $\text{Si}$  și  $\text{Fe}$  pot apărea fazele solide  $(\text{Al Si Fe})$ ,  $(\text{Al Si Fe})$  sau  $(\text{Al Si Fe})$ , care sunt dure și fragile.

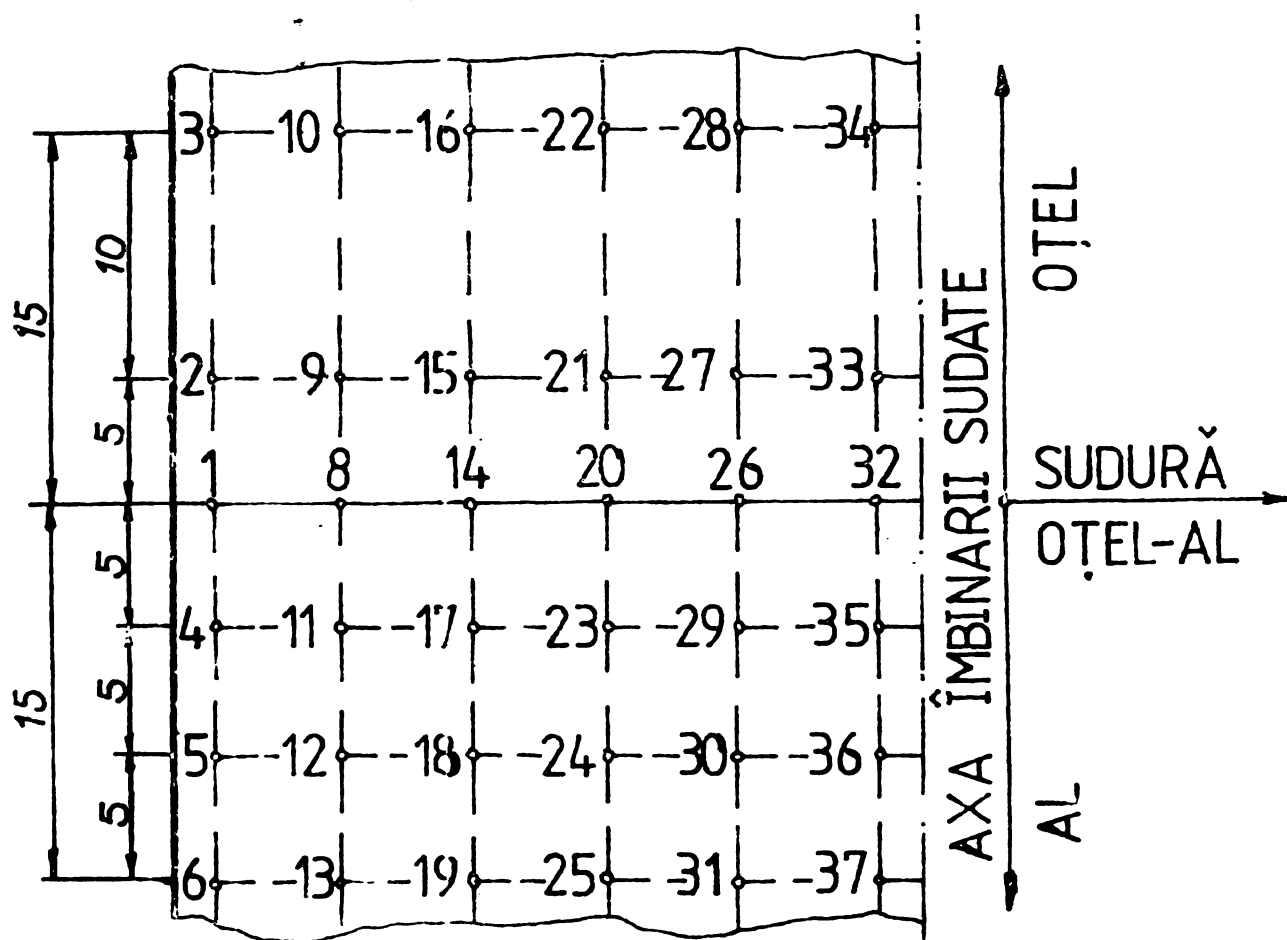


Fig.5.14.-Locul de efectuare și marcarea microstructurilor la imbinarea bimetal "N<sub>2</sub>" realizată prin frecare cu mașina de sudat ZTe-lo

La examinarea microscopică a componentei din aliaj  $\text{ATSi5Fe}$  nu s-a constatat în structură prezența compusului ternar  $\text{AlSiFe}$ , deci imbinarea Otel-Al sudată prin frecare pentru DPA, 5,6 nu este fragilizată. Examinările microscopice pe  $\text{Al}$  au fost făcute cu reactivi ( $\text{NaOH}$  10%, 50ex). Cercetarea microstructurală pe componenta din oțel a imbinării bimetal erată o strucțură normală ferito-perlitică atât pentru MB



HF, Nital 2%, 100 x  
a)



HF, Nital 2%, 100 x  
b)



HF, Nital 2%, 100 x  
c)



HF, Nital 2%, 100 x  
d)

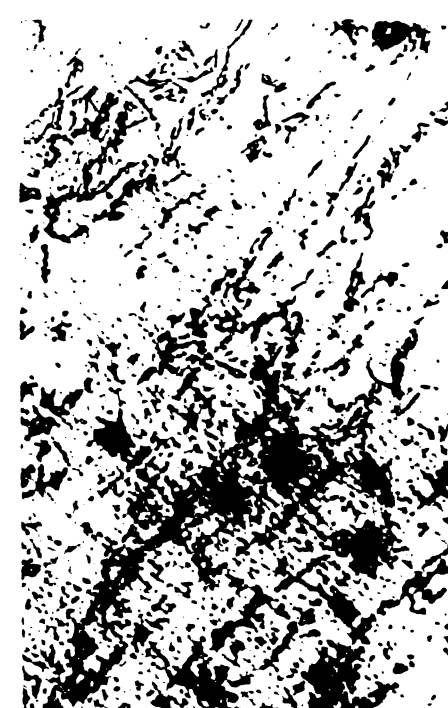
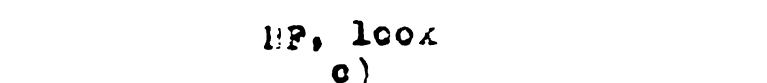
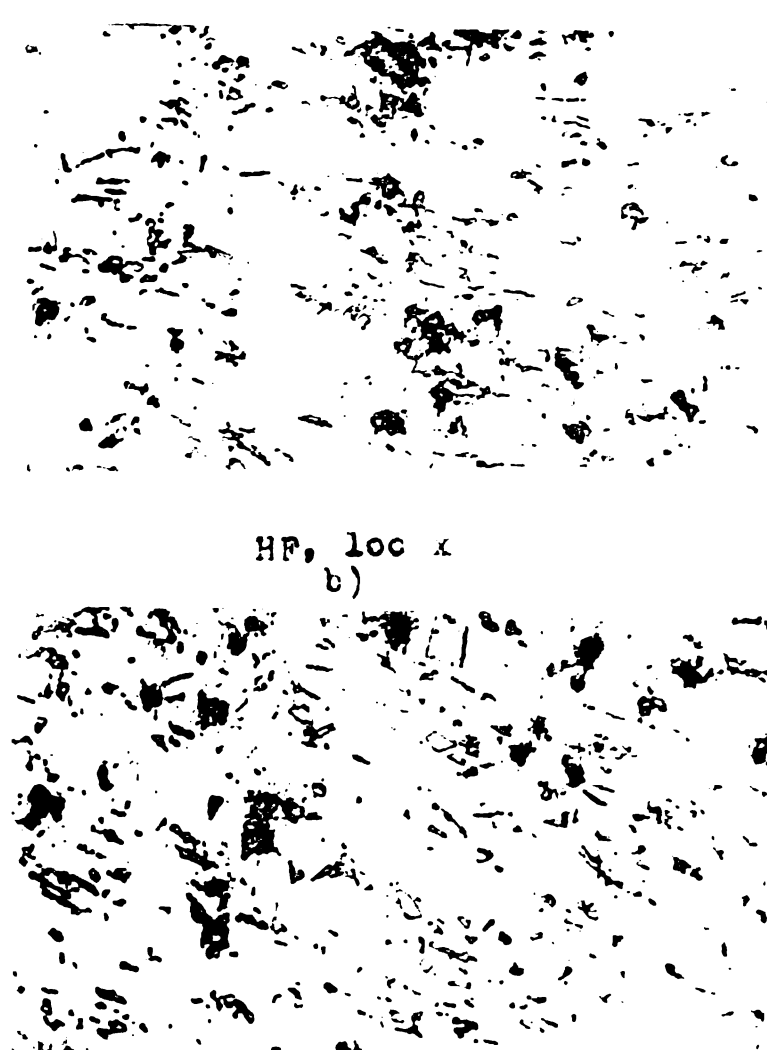
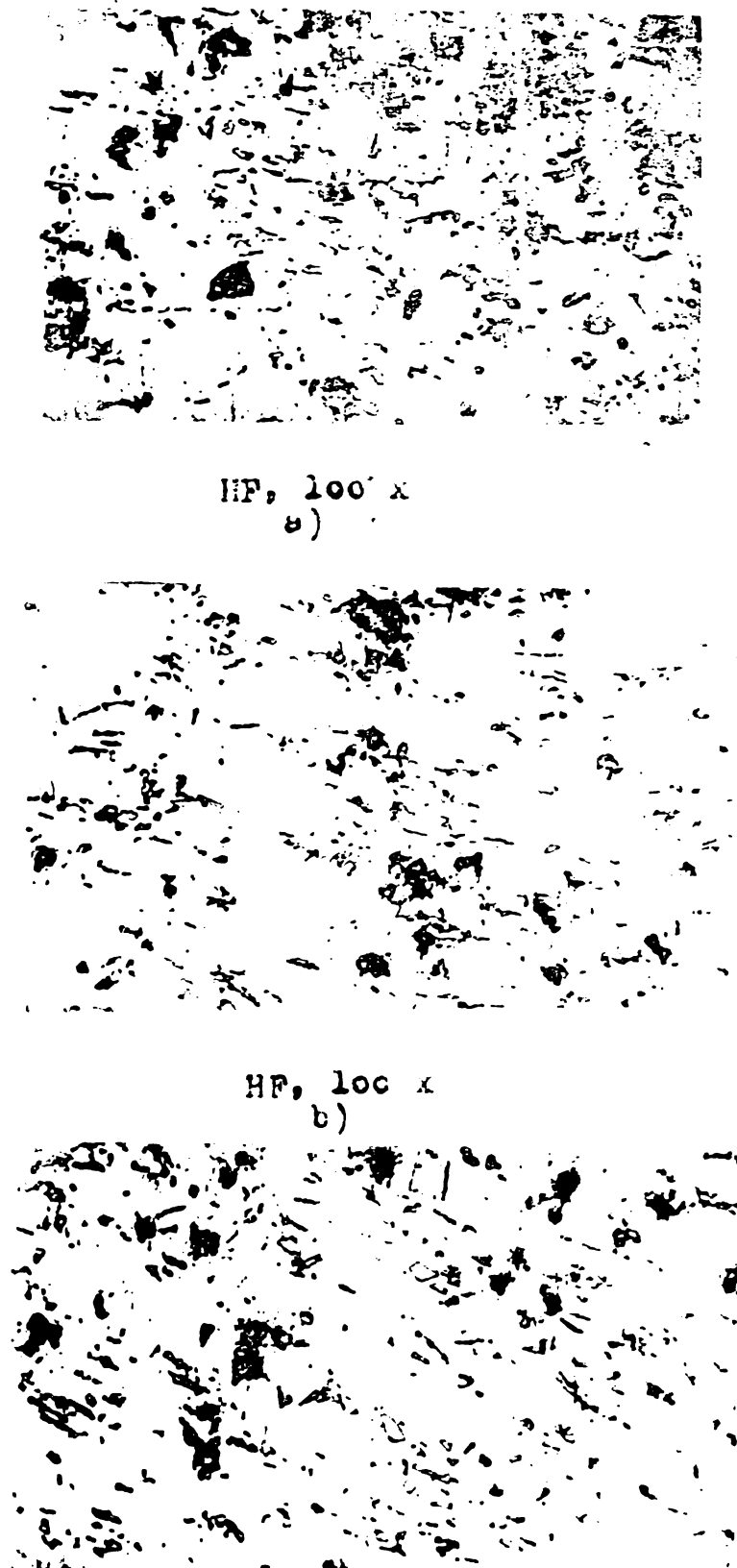


HF, Nital 2%, 100 x  
e)

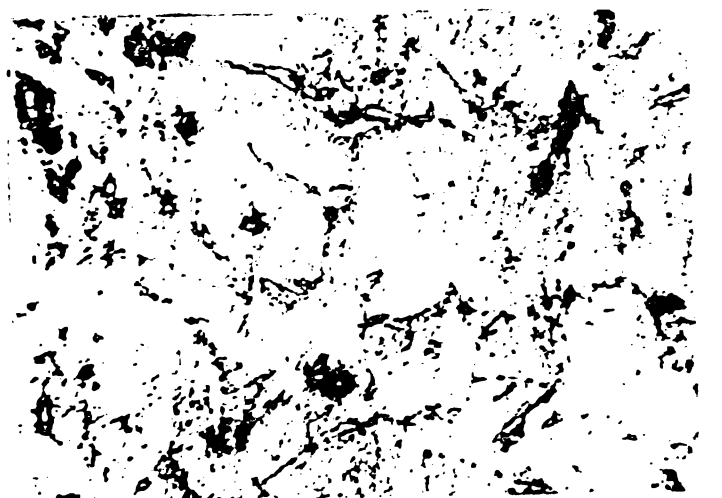
Fig.5.15.-Microstructura sudurii Otel-Al  $M_2$  realizată prin freare cu mașina de sudat ZTA-10: a) micră 1, b) micră 8, c) micră 14, d) micră 20, e) micră 26

(figura 5.12,c) cît și pentru ZIT (figura 5.12,d). Proportia constituenților este 25/27 (STAS 7626-79) iar mărimea grăunțului real 7 (STAS 5490-71). Examinarea nu a pus în evidență structura Widmannstätten (STAS 7626-79) sau defecte (STAS 7084/la-80). Reactiv utilizat (Nital 2%, loex).

Epruveta M<sub>2</sub> a fost obținută dintr-o îmbinare Oțel-Al sudată prin frecare cu mașina Zta-lo. Examinarea microstructurală s-a făcut pe linii de control paralele cu planul de îmbinare (figura 5.14) [1]. Din microstructura sudurii Oțel-Al (figura 5.15) se observă repartiția uniformă a Si în masa de bază sub formă globulară foarte fină sau ușor alungită, cu orientare după circumferința mișcării de rotație a componentei din oțel la sudarea prin frecare. Se constată deformări puternice ale grăunților de ferită (figura 5.15,8), modificarea formei perlitei (figura 5.15,14) ajungind la ruptere sub efectul procesului de sudare (figura 5.15,20), sau pătrunderea perlitei, în unele cazuri sub formă de așchii, în masa de bază de Al (figura 5.15,1). La 5 mm de sudura Oțel-Al cresc dimensiunile formațiilor de Si din componenta de ATSi5Fe, predomină forma alungită față de cea globulară și se accentuează orientarea în jururi a Si, după mișcarea de rotație la sudare (figura 5.15). Creșterea temperaturii în timpul procesului de sudare acionează ca un factor favorabil pentru activizarea reacțiilor de producere a fazelor Fe<sub>3</sub> și Fe<sub>3</sub>Al<sub>3</sub> și se manifestă în cantități cu mult mai mari, atât la 5 mm (figura 5.16) cît și la 10 mm (figura 5.17) de sudura Oțel-Al, decât în MB neafectat termic de procesul de sudare (figura 5.18). Faza Fe<sub>3</sub>Al<sub>3</sub> se prezintă sub formă de poliedre mari, izolate, delimitate de colțuri rotunjite sau ascuțite precum și sub formă de globule fine. Vîrfurile ascuțite constituie amorse de fisuri. La 10 mm distanță de sudura Oțel-Al (figura 5.17) se mai observă că Si trece de la forma globulară sau alungită la cea aciculară, în pachete, apropiindu-se de forma și repartizarea caracteristică în MB neinfluențat termic. La aliajul ATSi5Fe se constată forma aciculară a Si (figura 5.18) și dispunerea sa preferențială la marginea grăunților. Repartizarea Si este uniformă.



**Fig.5.16.-Microstructura componentei V<sub>2</sub> din al 1e 5 mm de sudure prin fricare Otel-Al: a) micro 4; b) micro 11; c) micro 17; d) micro 23; e) micro 29.**



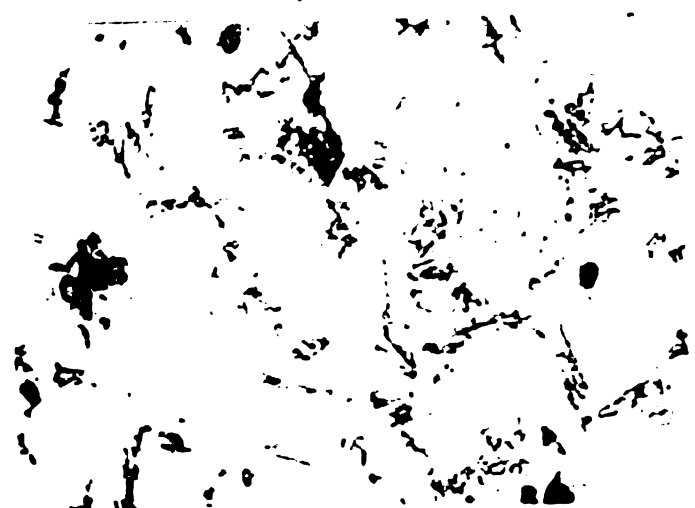
HF, 100 x

a)



HF, 100 x

b)



HF, 100 x

c)



HF, 100 x

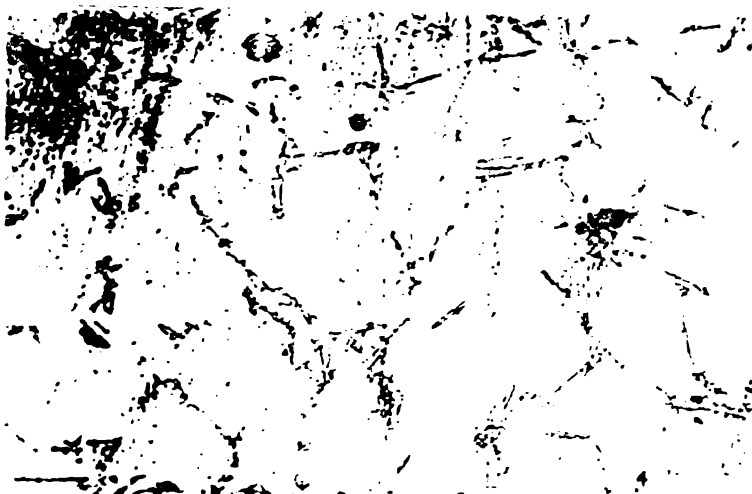
d)



HF, 100 x

e)

Fig. 5.17.-Microstructura componentei  $M_2$  din Al la 10 mm de sudura prin frecare Otel-Al: a) micro 5; b) micro 12; c) micro 18; d) micro 24; e) micro 30.



HF, 100 x  
a)



HF, 100 x  
c)



HF, 100 x  
b)



HF, 100 x  
d)



HF, 100 x  
e)

Fig.5.18.-Microstructura componentei  $X_2$  din Al la 15 mm de sudura prin freare Cu-Al: a) micro 6; b) micro 13; c) micro 19; d) micro 25; e) micro 31 .

în masa de bază, cu unele tendințe de aglomerare în plăci. Compusul FeAl<sub>3</sub> este dispus izolat, are mărimi reduse și o formă celulară iar distribuția sa este neuniformă. Examinările microscopice de Al au fost făcute pe epruvete M<sub>2</sub> cu reactivi (HF loox). Pe componenta din oțel a îmbinării bimetal M<sub>2</sub> sudată prin frecare s-a efectuat 12 microstructuri (figura 5.14), care confirmă constatărilor desprinse din analizele microscopice a componentei din oțel a îmbinării bimetal M<sub>1</sub>.

In concluzie, s-au cercetat metalografic îmbinări Oțel-Al realizate cu mașini de sudat prin frecare tip MSF-40 și ZTe-lo. Nu s-a constatat în structură compusul termar AlSiFe, astfel încit îmbinările bimetal pentru DPA 4,5,6, nu sunt fragilizate în urma procesului de sudare prin frecare. Efectele termice și mecanice determină la sudare modificări în structură, care se observă în componenta din Al a îmbinării pînă la 1e...12 mm de sudură Oțel-Al. Forma sciculară este specifică pentru și considerat în MB dar se modifică la o formă globulară, gradul de fărînitare fiind maxim în planul de îmbinare unde forțele de frecare sunt cele mai mari. Sub acțiunea acestor forțe se deformează grăunții de ferită și oțelului, de asemenea, perlita aflată în stare plastică se deformează, în unele cazuri pînă la stadiul de rupere. Cercetările metalografice efectuate pe îmbinarea bimetal M<sub>2</sub> au pus în evidență numeroase defecte, ca geluri și incluziuni produse din cauza limitei de putere a instalației, care nu permite realizarea compactității îmbinării și intensificarea procesului de trecere în bavură a impuriităților. Rezultă că mașina de sudat ZTe-lo nu corespunde pentru sudarea prin frecare a îmbinărilor Oțel-Al de grosimi mari (60 mm). Analiza metalografică a îmbinării bimetal M<sub>1</sub> nu a pus în evidență defecte, mașina de sudat prin frecare MSF-40 asigurînd condițiile de calitate pentru execuția îmbinărilor Oțel-Al de grosimi mari (60...88 mm) ale DPA 4,5,6.

### 5.2.-Controlul calității îmbinărilor Al-Al

#### 5.2.1- Controlul calității îmbinărilor Al-Al ale dispozitivului port-anod DPA 3

După realizarea a două dispozitive port-anod DPA 3, s-au debitat probele pentru controlul calității îmbinărilor Al-Al sudate prin procedeul MIG (figura 5.19,d). În urma

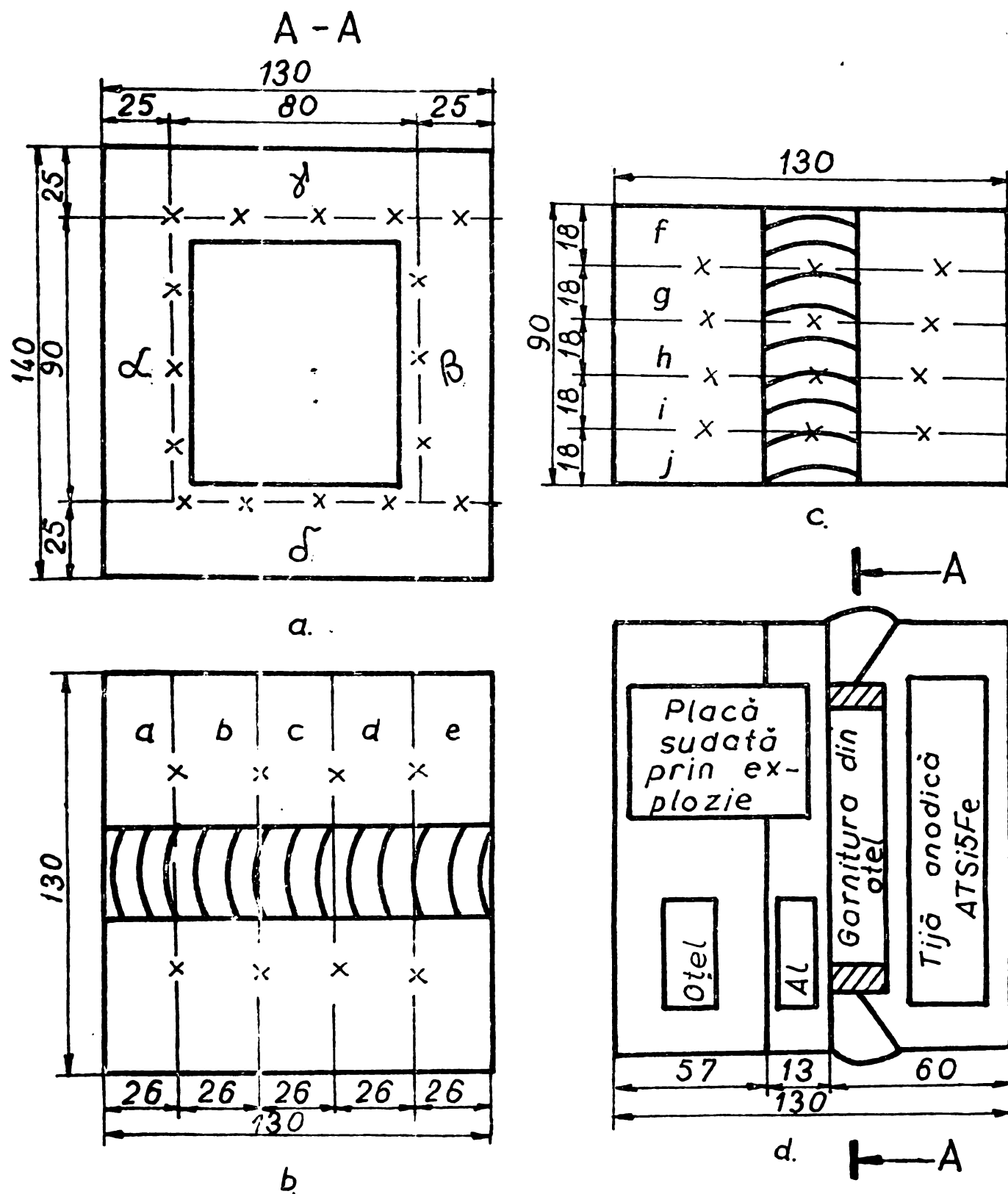


Fig.5.19.-Pregătirea controlului calității îmbinărilor Al-Al pentru DPA3: a) debitarea eșantioanelor; b) debitarea epruvetelor din eșantioanele  $\gamma$  și  $\beta$ ; c) debitarea epruvetelor din eșantioanele  $\alpha$  și  $\beta$ ; d) probă obținută după sudare MIG

țăieturii celor două probe cu ferestrăul mecanic s-au obținut eșantioanele  $\alpha_1$ ,  $\alpha_2$ ,  $\beta_1$ ,  $\beta_2$  și  $\delta_1$ ,  $\delta_2$  (figura 5.19,a). Din  $\alpha_1$  și  $\beta_1$  s-au debitat îmbinările f, g, h, i, j (figura 5.19,c) iar din  $\alpha_2$  și  $\beta_2$ , k, l, m, n, o, respectiv p, r, s, t, u. Epruvetele pentru încercarea la tracțiune (figura 5.20,a) s-au prelevat dinspre suprafața cusăturii îmbinărilor f...e, în cazul eșantioanelor  $\alpha_1$ ,  $\alpha_2$  (figura 5.21,a) și dinspre rădăcina îmbinărilor care provin din  $\beta_1$ ,  $\beta_2$  (figura 5.21,b).

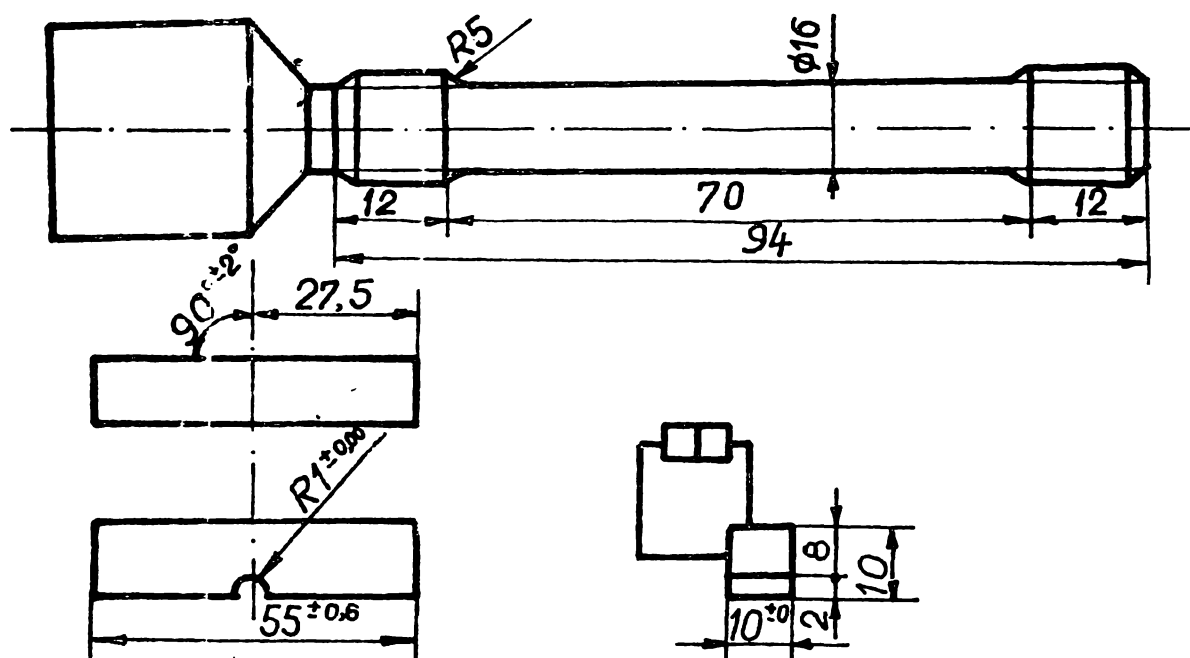
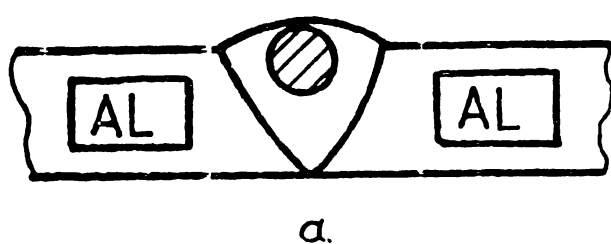
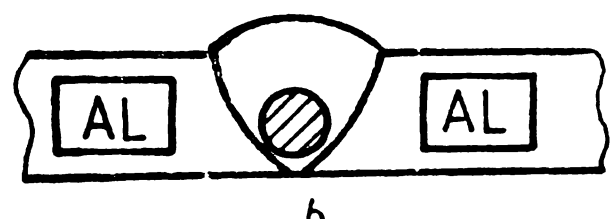


Fig.5.20.--Epruvete pentru încercări mecanice: a) încercarea la rupere la tracțiune; b) încercarea la încovoiere prin șoo (reziliență)



Încercările îmbinărilor Al-Al ale DPA 3, sudate prin procedeul MIG (tabelă 5.12), sint următoarele:



-încercarea la rupere la tracțiune efectuată la temperatură normală și după încălzire în regim termic de scurtă durată,  
-reziliență în metalul depus,  
-măsurarea duratăii HB/5,62,5 a îmbinării sudate.

Fig.5.21.-Prelevarea epruvetelor din eșantioanele  $\alpha$  și  $\beta$ : a) prelevarea la suprafața cusăturii ( $\alpha$ ) b) prelevare la rădăcina cusăturii ( $\beta$ )

T A B E L A - 5.12

Incercări mecanice ale îmbinărilor Al-Al pentru DPA3

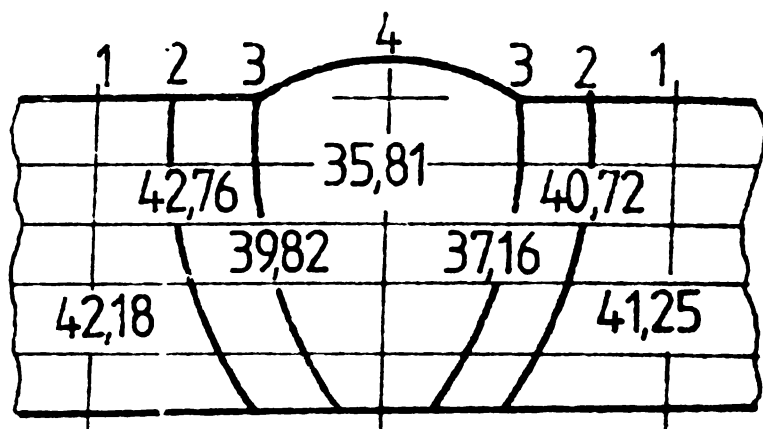
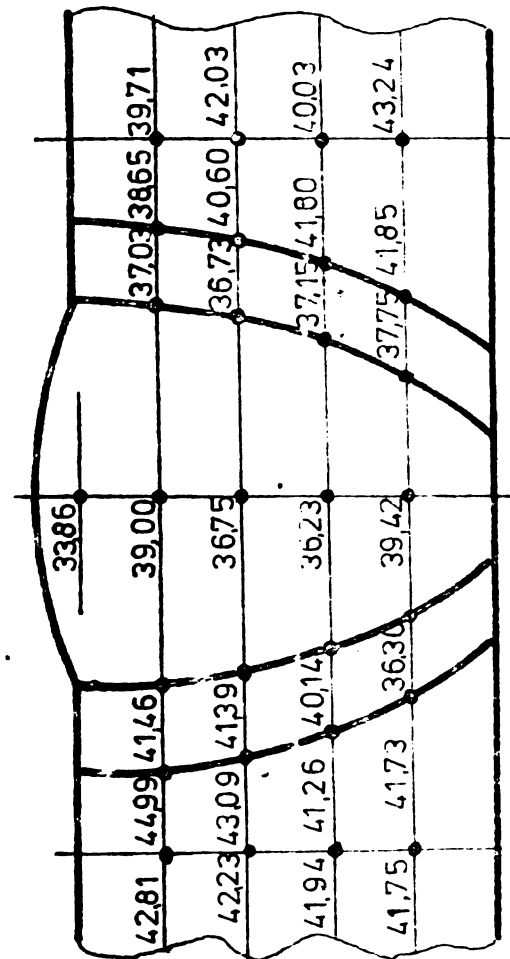
Nr. Incerca-  
crt.rea e-  
fectu-  
ată

Epruvete utilizate și rezultatele obținute

o	1	2	
1.-Incer- carea la ru- pere la trac- tiune a îm- bină- rilor Al-Al	Indicati- vul epru- vei la Tensiunea de rupere la $\sigma = 293K$ daN/mm <sup>2</sup>	Forma epruvetei: figura 5.20,a I: f g h i j f h i i $R_m: 5,0 \ 5,1 \ 6,1 \ 3,9 \ 3,3 \ 6,1 \ 7,6 \ 5,5 \ 5,5$ I: f g h i j f g h i j $R_m: 6,2 \ 8,1 \ 3,1 \ 7,3 \ 6,8 \ 5,8 \ 6,6 \ 7,1 \ 6,4$	
	Tensiunea de rupere la încălzi- rea în regim de scurtă durată, daN/mm <sup>2</sup>	$\sigma = 473K$ I: k l m n $R_m: 2,6 \ 4,7 \ 3,4 \ 5,5$	
		$\sigma = 635K$ I: j t u $R_m: 1,8 \ 1,6 \ 1,8$	
2.-Incer- carea de re- zili- ență a metal depus	Indicativ epruvetă Energia de rupere	Forma epruvetei: figura 5.20,b I: KCU: I: KCU:	
		o d r a b c 1,3 0,8 0,5 1,0 0,6 0,8 d o a 0,8 0,7 0,6	
3.-Măsu- rarea duri- tății în îm- bină- rea suda- tă	Nr. im- pre- siu- nii	Indicativul epruvetelor	
		a b c d d e a e	
		1 37,6 44,8 43,5 36,5 39,7 38,6 43,5 58,3 2 43,5 38,6 44,2 31,7 52,7 42,2 46,3 38,6 3 41,0 46,3 44,2 34,6 44,8 39,7 46,3 38,6 4 44,8 45,5 42,2 37,7 44,8 44,8 37,6 38,6 5 39,7 53,7 39,7 39,7 42,2 43,5 39,7 62,7 6 37,6 54,4 37,6 41,0 44,8 43,5 41,0 44,8 7 39,7 52,7 37,6 39,6 44,8 33,7 41,0 41,0 8 44,8 47,8 54,6 41,0 43,5 37,6 43,5 41,0 9 49,3 54,4 36,2 34,6 38,6 44,8 42,2 37,6 10 39,7 58,5 31,1 37,6 49,3 41,0 38,6 35,5 11 39,7 41,0 46,3 38,6 49,3 39,7 31,9 34,6 12 39,7 33,7 30,2 38,6 49,3 39,7 39,7 35,5 13 46,3 50,9 37,6 35,5 32,8 34,6 34,6 38,6 14 46,3 49,3 28,6 35,5 35,5 35,5 36,5 44,8 15 42,2 46,3 37,6 28,1 28,1 36,5 39,7 35,5 16 42,2 42,2 29,5 31,9 38,6 30,2 39,7 35,5 17 37,6 41,0 30,2 34,8 47,8 37,6 50,9 35,5	
		Schemă de imprezisuni	

T A B E L A 3.12  
(continuare)

○	1	2
3386		
42,81	44,99 41,46	44,2 34,6 41,0 31,1 35,5 34,0 35,5 39,
42,23	43,09 41,39	19 43,5 39,7 34,6 33,7 35,5 37,6 34,6 34,
41,94	41,26 40,14	20 37,6 42,5 34,6 36,5 34,5 42,2 33,7 35,
41,75	41,73 36,30	21 33,7 44,8 26,1 31,1 42,2 23,6 58,3 42
	39,42	22 36,5 43,7 43,5 35,5 30,2 41,0 41,0 47
		23 34,6 47,8 35,5 36,5 42,2 39,7 46,3 42
		24 46,3 50,9 35,5 37,6 34,6 39,7 46,3 43
		25 44,8 47,8 36,5 37,6 41,0 38,6 46,3 42
		26 31,9 43,5 36,5 36,5 41,0 41,0 46,3 41
		27 44,8 33,7 44,8 38,6 44,8 41,0 42,2 46
		28 41,0 47,8 35,5 34,6 34,6 42,2 41,0 43
		29 46,3 43,5 42,2 32,8 49,3 44,8 44,8 42





a )



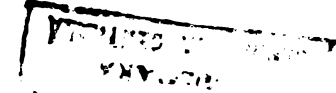
c)



b)

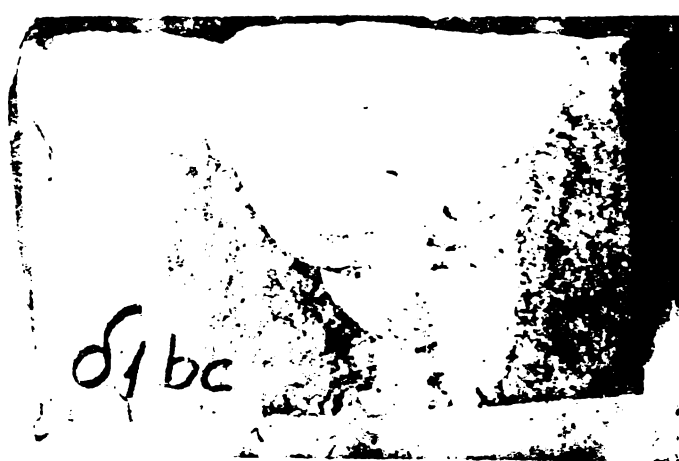
**Fig. 522. Esantioane utilizate la cercetarea  
îmbinărilor Al - Al ale D P A 3 :**

- a) esantioane  $\gamma_b$ ;
- b) esantioane  $\gamma_c$ ;
- c) esantioane  $\gamma_d$ :





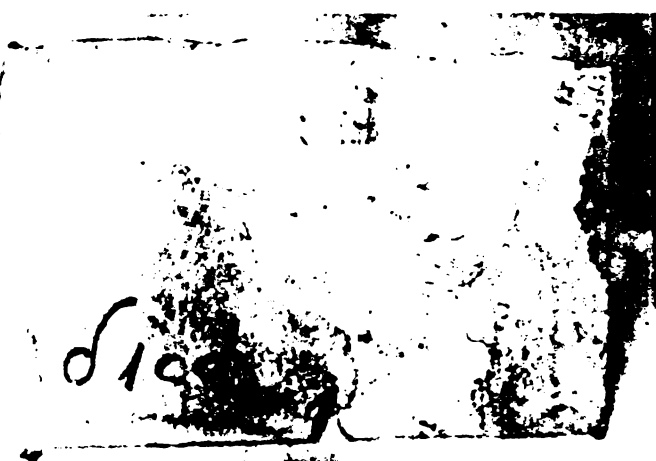
a)



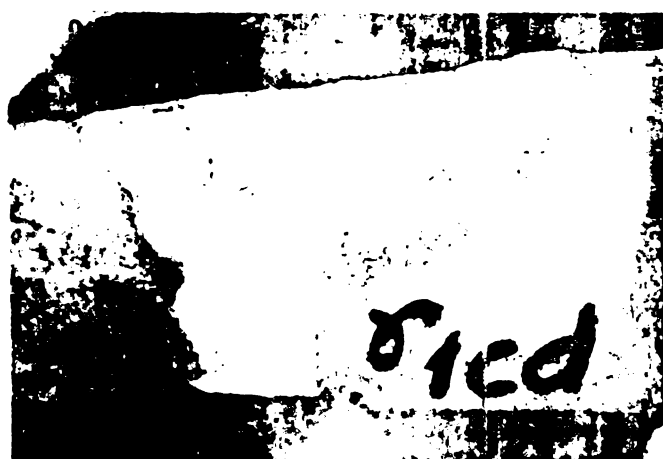
d)



b)



e)



c)



f)

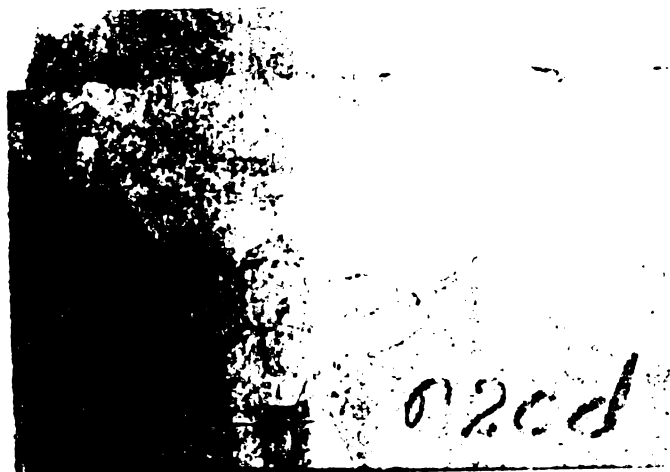
**Fig. 5.23. Macrostructurile unor imbinari Al-Al ale DPA 3 sudate prin procedeul MIG. Indicativul epruvete lor a)  $\delta_2de$ ; b)  $\gamma_2bc$ ; c)  $\delta_1cd$ ; d)  $\delta_1bc$ ; e)  $\delta_1cd$ ; f)  $\gamma_2ab$ .**



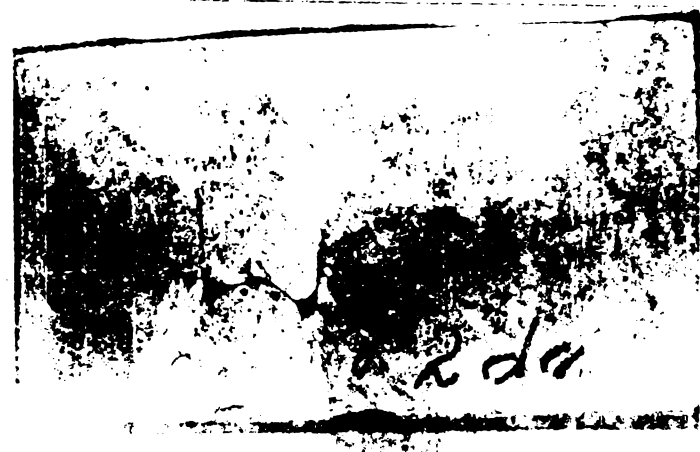
g)



i)



h)



j)

Fig.5.23- g) S<sub>2</sub> ab , h) S<sub>2</sub> cd ,  
i) S<sub>2</sub> de , j) S<sub>2</sub> de ..

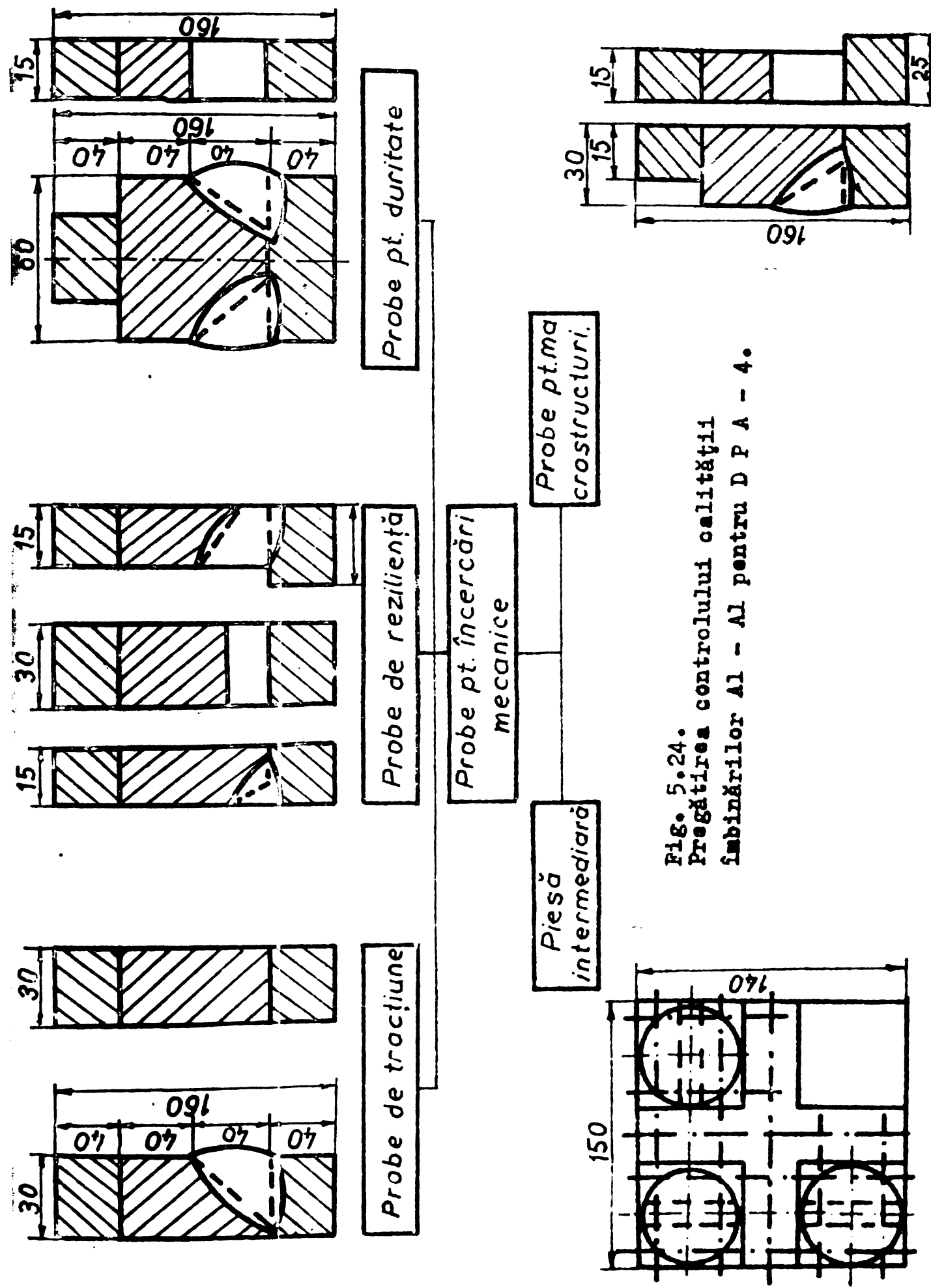


Fig. 5.24.  
Pregătirea controlului calității  
îmbinărilor Al - Al pentru DPA - 4.

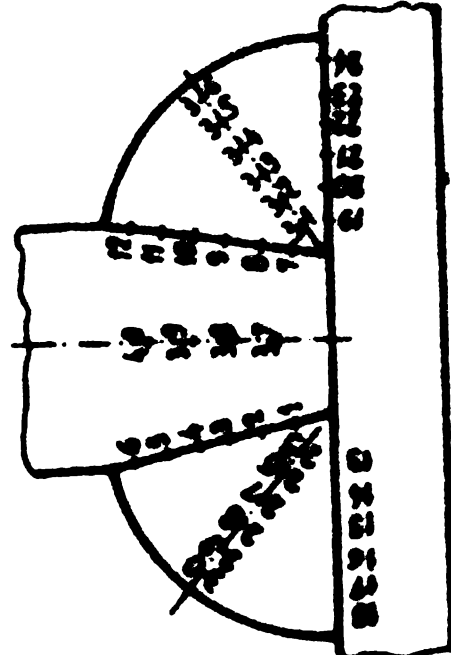
**Tabelă 5.13. Încercări mecanice ale îmbinărilor Al-Al pentru DFA 4**

Nr. Încercare crt efectuată	Formă	Epruvete utilizate	Rezultate obținute	Data de comparatie
1 la rupere -	Formă.	Indicativ	Rm-daN/mm <sup>2</sup> în îmbinarea Al-Al	Rm-daN/mm <sup>2</sup> în MB
1 la tractiune	T1 T2 T3 T4		3,8 3,4 3,2 3,8	8,9...10,8

Fig.5.20, a

Încercare	Formă	Indioativ	KCU-dəJ/cm <sup>2</sup> în îmbinarea Al-Al	KCU-dəJ/cm <sup>2</sup> în MB
2 la încovoiere prin soc	Fig.5.20, 2	R1 R2 R3	1,35 0,8 0,5	0,2

Cercetare durată	Schema de impresiuni	Locul	Duratarea HB 2,5/31,25			
		impre- siunii	D1	D2	D3	HB med.
a	b	c	d	e		
1	46,3	43,5	43,5	43,5	44,43	
2	38,6	54,5	42,2	42,2	45,07	
3	39,7	41,0	42,2	42,2	40,97	
4	41,0	35,5	42,0	42,0	42,23	
5	41,0	43,5	37,6	37,6	40,70	
6	41,0	44,8	42,2	42,2	42,67	
7	46,3	62,7	42,2	42,2	50,49	
8	42,2	43,5	43,5	43,5	43,07	
9	33,7	47,8	32,8	32,8	38,10	
10	42,2	46,3	41,0	41,0	43,17	
11	43,5	44,8	41,0	41,0	43,10	
12	43,5	49,3	51,0	51,0	47,93	
13	42,5	52,7	41,0	41,0	45,73	
14	42,2	47,8	41,0	41,0	43,67	



## CONTINUARE

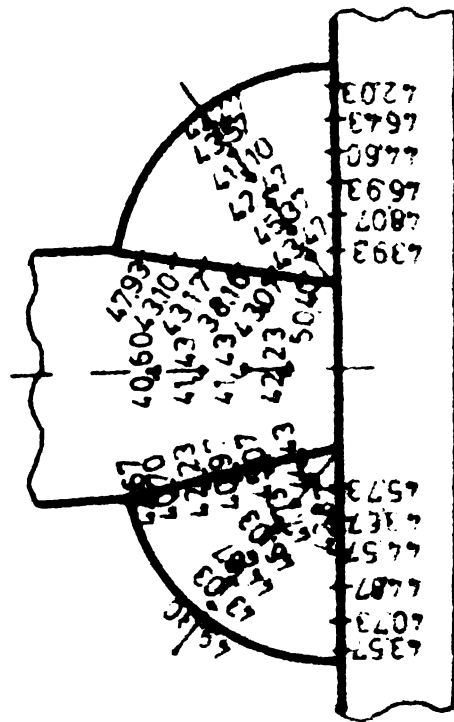
TABEĽA 5.43

1 2

3

Valoarea medie a duratăii  
în punctele de impresiune

	a	b	c	d	e
15	42,2	46,3	44,8	44,56	
16	43,5	46,3	44,8	44,87	
17	33,7	49,3	42,2	40,73	
18	42,2	46,3	42,2	43,56	
19	42,2	44,8	44,8	43,93	
20	52,7	49,3	42,2	48,07	
21	41,0	56,3	43,5	46,93	
22	43,5	49,3	41,0	44,60	
23	47,8	49,3	42,2	46,43	
24	37,6	46,3	42,2	42,03	
25	42,2	47,8	38,6	42,87	
26	54,4	47,8	51,0	47,73	
27	41,0	47,8	49,3	46,03	
28	43,5	46,3	44,8	44,87	
29	46,3	46,3	36,5	43,03	
30	49,3	49,3	49,3	49,30	
31	37,6	49,3	43,5	43,47	
32	46,3	46,3	43,5	45,37	
33	37,6	46,3	43,5	42,47	
34	43,5	36,3	43,5	41,10	
35	42,2	46,3	42,2	43,57	



CONTINUARE

TABELA 5.13.

	a	b	c	d	e	f
36	41,0	41,0	41,0	42,0	44,0	42,27
37	43,5	43,5	42,2	41,0	41,0	42,23
38	43,5	42,2	42,2	38,6	38,6	41,43
39	43,5	42,2	38,6	38,6	41,43	41,43
40	41,0	42,2	38,6	38,6	40,60	40,60

- 133 - B.

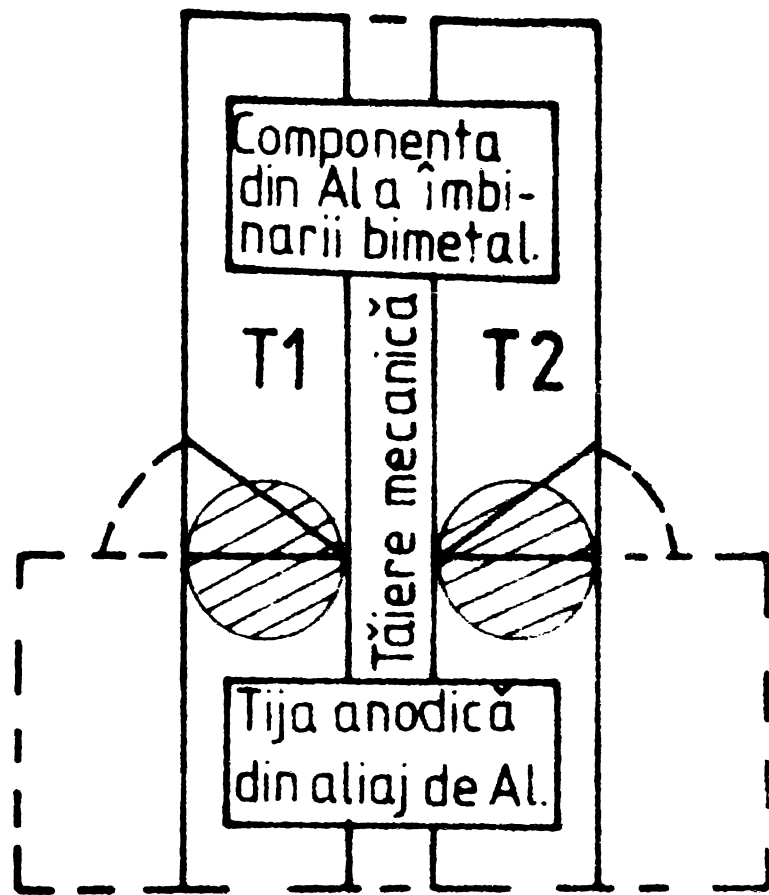
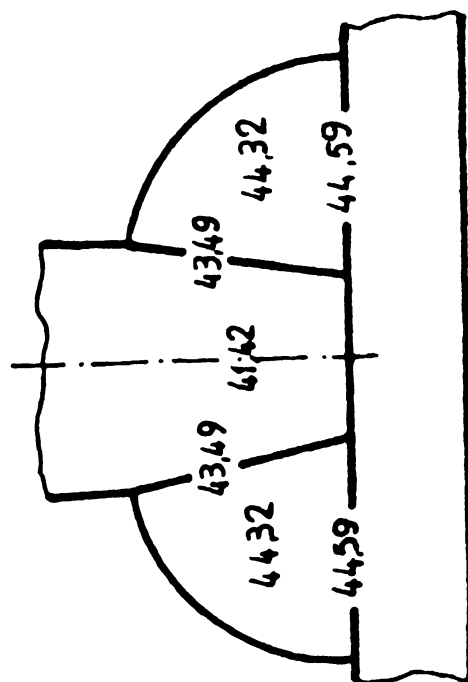


Figura 5.25. Poziția epruvelelor pentru încercare la tracțiune în îmbinarea Al-Al



Convenție de măsurare a dimensiunilor  
în figura 5.25 și 5.26

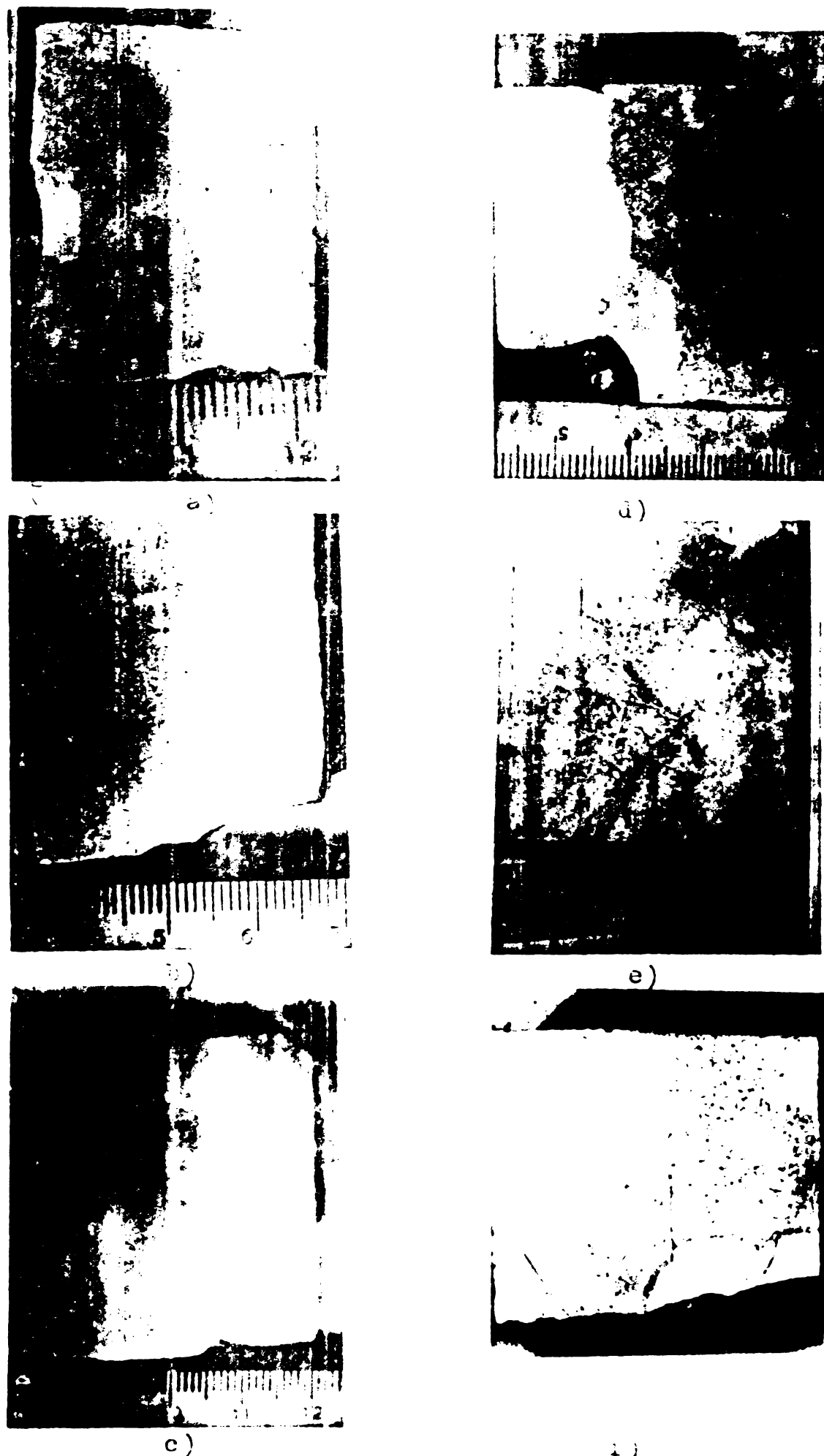


Fig. 5.26. - Macrostructurile unor lăzinări Al-Al ale DPA4  
sudate prin procedeul MIG. Indicativul epruve telor:  
a)  $\delta_1$ ; b)  $\delta_2$ ; c)  $\delta_3$ ; d)  $\delta_4$ ; e)  $\delta_5$ ; f)  $\delta_6$

Având în vedere că valoarea medie obținută la încercarea de rupere la tracțiune la temperatură normală, este  $5,77 \text{ daN/mm}^2$  pentru îmbinarea sudată și  $8,9 \text{ daN/mm}^2$  pentru MB, rezultă că rezistența îmbinării Al-Al reprezintă 64,8% din rezistența aliajului ATSi5Fe, prelevarea epruvetei fiind făcută la rădăcina cusăturii.  $R_m = 5,77 \text{ daN/mm}^2$  reprezentă de asemenea, 67% din valoarea similară a îmbinării OL 37 - ATSi5Fe sudată prin frecoare ( $R_m = 8,6 \text{ daN/mm}^2$ , tabela 5.13). În schimb rezistența la rupere la tracțiune a îmbinării bimetal este 78% din cea a îmbinării Al-Al la 473 K, după incalzirea în regim de scurtă durată (OL37-ATSi5Fe:  $R_m = 3,16 \text{ daN/mm}^2$ , tabela 5.1 și Al-Al  $R_m = 4,07 \text{ daN/mm}^2$ , tabela 5.12). O dată cu creșterea temperaturii, rezistența la rupere a celor două tipuri de îmbinări se apropiie ca valoare, diferența constatată la 633 K fiind nesemnificativă (OL37-ATSi5Fe:  $R_m = 1,75 \text{ daN/mm}^2$ , Al-Al:  $R_m = 1,76 \text{ daN/mm}^2$ ). Reziliența metalului depus este de patru ori mai mare decât a tijei din aliaj ATSi5Fe, îmbinarea sudată de tip Al-Al a DPA 3 având o plasticitate superioară. Pe baza încercărilor de duritate, s-au confirmat valori ale duratății sensibili egale în cusătură și MB la sudarea prin procedeul MIG și îmbinărilor Al-Al și de DPA 3,

Studiul macrostructural s-a efectuat pentru constatarea modului de formare a cusăturii pe grosimea de îmbinare a componentelor din Al și de DPA 3. Astfel, s-a constatat că în toate cazurile cercetate garnitura din otel a contribuit la formarea corectă a rădăcinii, îmbinările Al-Al rezultând compacte și fără defecte specifice sudurilor care nu au rădăcina susținută pe garnitură (figura 5.22). Se observă decuparea din tija anodică în care s-a introdus garnitura de otel, se constată suduri fără defecte sau cu defecte izolate precum și, în unele cazuri (figura 5.22,c), defecte mari de turnare în MB. Indicativul epruvetei pentru analiza macrostructurală este alcătuit din patru simboluri: indicativul eșantionului, numărul probei, litera îmbinării debitate din eșantion și simbolul suprafetei care se examinează macrostructural. Astfel, prin indicativul  $\Sigma_2$  de se consideră: eșantionul  $\Sigma$  (figura 5.19,a),

probă 2 (figura 5.19,d), îmbinarea d (figura 5.19,b), suprafața examinată fiind spre îmbinarea e. Porii fini grupați (figuri 5.23, a, b) și incluziunile nemetaleice izolate (figura 5.23,c) sunt defecte care apar frecvent în îmbinările Al-Al sudate prin procedeul MIG pentru DPA 3. Colțurile ascuțite ale incluziunilor reprezintă amorse din care se propagă fisuri (figura 5.23,d,e). Fisurile apar la rădăcina cusăturii unde MB este rece și cînd viteza de sudare este mare (figura 5.21,f,g), ele nu fiind constatate în straturile superioare preîncălzite de căldura introdusă în piesă la efectuarea straturilor precedente. Datorită grosimii mari a cusăturii și conducerii necorespunzătoare a arcului electric în timpul sudării, se constată în îmbinare defecte de nepatrundere (figura 5.23,h,i,j).

In concluzie, controlul calității îmbinărilor Al-Al ale DPA 3, s-a efectuat prin încercări mecanice și analiză macrostructurală. La temperatură normală, rezistența la rupere la tracțiune a îmbinării Al-Al reprezintă 67% din rezistența la rupere a îmbinării 0137-TSi5Fe sudată prin freacă și 64,8% din rezistența la rupere a aliajului ATSi5Fe. După încălzirea în regim de scurtă durată, la 413K, rezistența la rupere la tracțiune a îmbinării bimetal este 78% din cea a îmbinării Al-Al, însă cu creșterea temperaturii valorile se apropiu astfel încît la 633K diferența constată între rezistența la rupere a celor două tipuri de îmbinări este nesemnificativă ( $\sim 10\text{daN/mm}^2$ ). Încercarea de reziliență arată plasticitatea superioară a metalului depus față de MB, iar încercarea de duritate pune în evidență valori de duritate apropiate în îmbinarea sudată. Analiza macrostructurală arată că sudura este realizată pe toată grosimea componentelor iar rădăcina este corect formată în toate cazurile cercetate, ca urmare a susținerii ei cu gămitură din oțel. De asemenea, pe baza analizei macroscopice s-au constatat defectele tipice care apar în îmbinările Al-Al sudate prin procedeul MIG pentru DPA3.

#### 5.2.2.-Controlul calității îmbinărilor Al-Al ale dispozitivului port-anod DPA4

După realizarea unui dispozitiv port-anod DPA4, s-a debitat o probă pentru controlul calității îmbinărilor Al-Al sudate prin procedeul MIG (figura 5.24). În urma tăierii probei la

ferestrău s-au obținut eșantioanele „B, Y”, pentru încercări mecanice și și pentru cercetarea macrostructurală. Încercările efectuate pentru aprecierea calității imbinărilor sudate Al-Al ale DPA4 (tabel 5.13) au fost următoarele:

- încercarea la rupere la tracțiune a imbinării sudate;
- încercarea de reziliență a metalului depus;
- măsurări de duritate HB 2,5/31,25 pe imbinarea sudată.

Tinind cont de locul prelevării epruvetelor pentru încercarea la tracțiune (figura 5.25), rezistența la rupere a unei imbinări Al-Al  $R_{ml,2}$  rezultă prin sumarea valorilor  $R_{m1}$ ,  $R_{m1,2}$  obținute după ruperea la tracțiune a epruvetelor T1 și T2, care provin din aceasta înținere. Astfel:  $R_{ml,2} = R_{m1} + R_{m2}$  iar cu valorile obținute experimental (tabel 5.13), avem:

$$R_{ml,2} = 3,8 + 3,4 = 7,2 \text{ daN/mm}^2 \text{ și } R_{m3,4} = 3,8 + 3,2 = 7,0 \text{ daN/mm}^2, \text{ valoarea medie fiind } R_m \text{ med } 7,1 \text{ daN/mm}^2.$$

Rezultă că rezistența la rupere la tracțiune a imbinării Al-Al pentru DPA4 reprezintă 79,7% din rezistența la rupere a aliajului ATSi5Fe, față de 64,8% cît s-a constatat în cazul DPA3. Reziliența în metalul depus indică o plasticitate superioară față de cea a MB (tabel 5.13): de patru ori este la DPA4 oț și la DPA3. Măsurările de duritate arată valoarea cea mai ridicată în ZIT (50,40 HB). În comparație cu stratul de acoperire (49,30 HB) disponerea durităților este echilibrată, fără valori maxime și minime pronunțate (maxim 50,40 HB, minim 40,70 HB). Duritatea măsurată pe exa cusaturii (41,10...49,30 HB) și în MB (40,60...42,23 HB) prezintă valori apropiate (tabel 5.13). Analiza macrostructurală prezintă o trecere fără defecte de la cusătură la MB iar ZIT este restrinsă (figura 5.26). Se constată defecte izolate în componentele de sudat și un defect de curgere a metalului topit (figuri 5.21, b). Nu sunt lăse în evidență incluziuni de zgură și fisuri în cusătura sudată.

În concluzie, controlul calității imbinărilor Al-Al ale DPA4 s-a efectuat prin încercări statice la tracțiune, încercări de reziliență, măsurări de duritate și prin analiză macroscopică. Rezistența la rupere a imbinării Al-Al reprezintă 79,7% din rezistența la rupere a lui față de 64,8% cît s-a constatat în cazul DPA3, ceea ce reflectă condițiile tehnologice superioare existente la mecaniză imbinărilor Al-Al prin procedeul MIG a dispozitivelor portabile prevăzute cu imbinări

Oțel-Al sudăte prin frecare. Fieind utilizate materiale de adăes și MB similare, încercarea de reziliență a metalului depus dă același rezultat la sudarea MIG și DPA3 și DPA4, plasticitatea cusăturii fiind superioară față de cea a MB. Duritatea imbinării Al-Al nu este influențată de procesul de sudare, valorile obținute în MB, ZIT și cusătură fiind apropiate. Analiza macroscopică arată că imbinarea sudată Al-Al pentru DPA4 rezultă fără defecțiuni: fisuri, lipsă de pătrundere sau incluzioni de zgură, din cauza accesului ușor al capului de sudare la rădăcină, lungimii reduse a cusăturii și a numărului mic de straturi.

#### 5.2.3.-Controlul calității imbinărilor Al-Al ale dispozitivului port-anod DPA5

Imbinările de tip Al-Al pentru DPA5 se controlează la asamblarea tetrapiedului Oțel-Al cu tije din aliaj de Al, în timpul sudării și în final, ca dimensiuni și aspect exterior. În fază de asamblare s-au verificat elementele rostului și existența punctelor de prindere pe fiecare lungime de sudat. În timpul sudării s-a controlat respectarea parametrilor tehnologici și a ordinea de sudare, încălzirea componentelor în timpul sudării și limitarea temperaturii sudurilor Oțel-Al la cel mult 473K. Pentru măsurarea temperaturii s-a folosit o trusa Fabel Castell Thermochrom, cu posibilități de măsurare în intervalul 338 și 943K. Controlul final al imbinării sudate s-a făcut vizual și s-au admis suduri cu trecere lină spre MB, fără crestături, cu lățime uniformă pe toată lungimea. Nu s-au constatat fisuri, iar craterale nesudate și crestăturile s-au completat cu sudură [84].

## 6.-INCERCARILE ELECTRICE ALE IMBINARILOR

### OTEL-LUMINIU

In prezent, procedeul utilizat pentru obtinerea Al la scara industriala, este procedeul electrolitic. Electroliza aluminei are loc in cuve cu anodi precopiti, care sunt susținuti de dispozitive port-anod DPAl,2. parcuse de curentul anodic,  $I_{anod}^{cca. 5000 A}$ . Intensitatea de lucru pe cuva este 62-66 mA la tensiunea de reglaj de 3,9 V [131]. Pentru punerea in exploatare a unei cuve se aduce recipientul cu baie lichida linga cuva, in pozitia de basculare, dupa care cadrul anodic se ridică prin impulsuri scurte pînă cînd tensiunea ajunge la 4,5 V. Se basculeaza recipientul, iar după scoterirea cadrului cu electrolit se ridică din nou cadrul metalic pînă cînd tensiunea cuvei ajunge la 20 V. După 120 ore tensiunea scade la 3,9 V, care este tensiunea de lucru (figura 6.1).

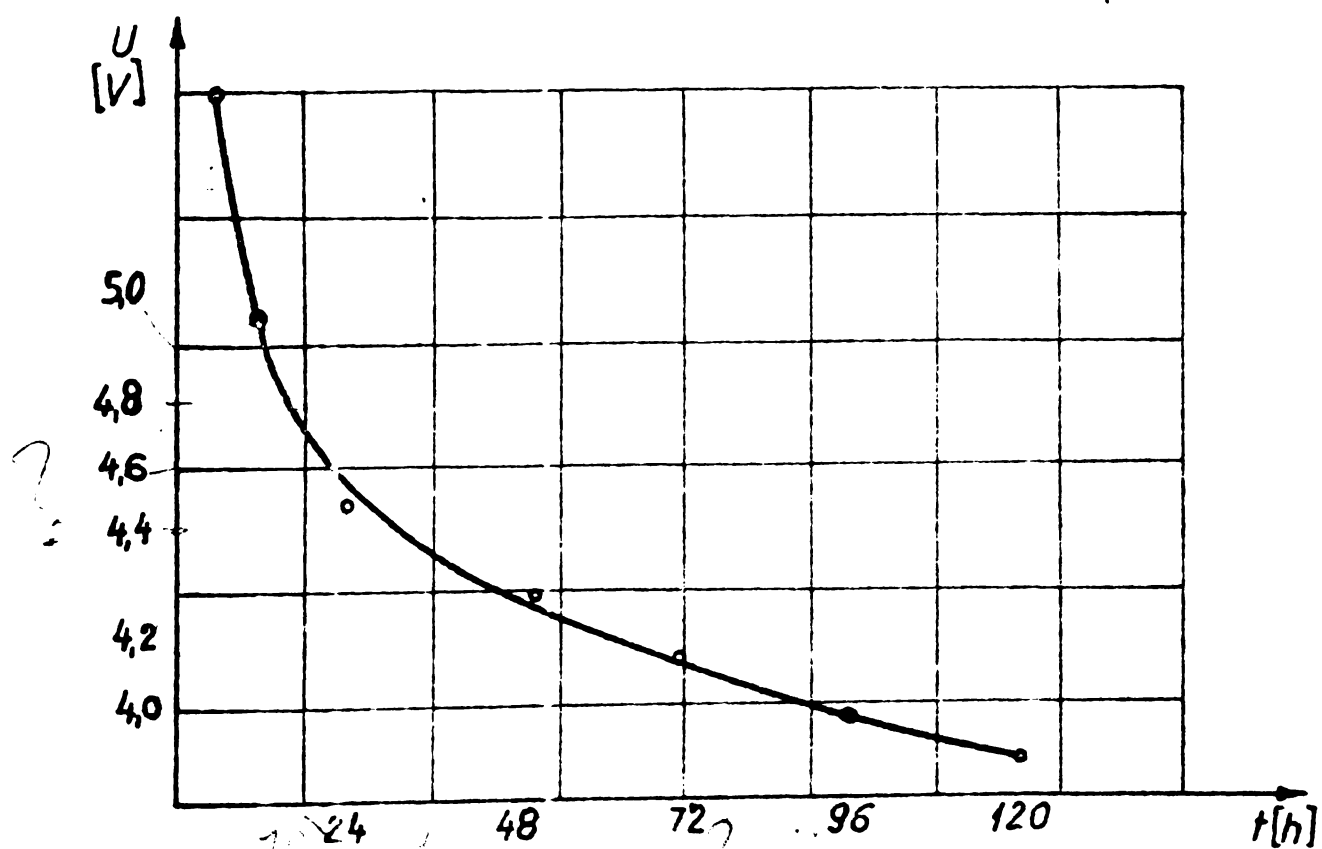


Fig.6.1.-variația tensiunii cuvei în primele cinci zile  
durata unui ciclu de utilizare (26...28 zile), curentul  
anodic și tensiunea de lucru definesc condițiile de exploatare  
ale DPAl...6. Curentul nominal produce prin efect Joule-Lenz

încălzirea îmbinărilor sudate, fiind necesară cercetarea la stabilitate termică a îmbinărilor Oțel-Al sudate prin frecare ale DPA4,5,6. Pentru cunoașterea particularităților procesului termic se necesită determinarea constantelor de timp ale încălzirii componentelor, stabilirea parametrilor de stare și cimpului termic, reprezentarea curbelor de încălzire ale MF și sudurilor Oțel-Al. În paralel cu realizarea DPA4,5,6, se impun comparații cu DPAl utilizate în metalurgia Al. În acest scop, după solicitarea în condiții echivalente a DPAl și DPA4,5,6, este necesară cercetarea comportării la curent a îmbinărilor Oțel-Al sudate prin frecare și a îmbinărilor cu placă bimetal sudată prin explozie, precum și măsurarea căderilor de tensiune între punctele caracteristice acestor îmbinări.

O solicitare electrică importantă a DPAl...6. este efectul anodic, care se produce atunci când concentrația în aluminiu din electrolit scade sub 1%. La producerea efectului anodic tensiunea cuvei crește de la 3,9 V la cca 30 V. În situația normală, cuve trebuie să aibă un efect anodic la fiecare 24 ore. La cuvele cu efecte anodice multiple, efectele anodice apar de cel puțin trei ori pe zi. Consecințele sunt următoarele:

- scăderea intensității curentului la toate cuvile, în timpul efectului anodic la une din cuve;
- consum suplimentar de anazi;
- consum suplimentar de energie electrică.

În condițiile producerii frecvente a efectului anodic, încercările electrice ale DPA4,5,6. trebuie să cuprindă și cercetarea dinamică la șocuri de curent a îmbinărilor Oțel-Al sudate prin frecare.

#### 6.1.-Încercări la stabilitatea termică

##### 6.1.1.-Efectuarea încercărilor

S-au încercat la stabilitate termică (figura 6.2), îmbinări Oțel-Al sudate prin frecare cu diametrul de 18 mm, componente de oțel fiind executată respectiv din OL37 și OLCI5. Valoarea curentului nominal a fost de 300 A, rezultând densitate de curent de  $1,18 \text{ A/mm}^2$  în îmbinările bimetal. La diferite intervale ale timpului de trecere a curentului, s-a înregistrat temperatura, concomitent în sujura Oțel-Al și în zonă de disperziune.

T A B E L A 6.1

Datele experimentale ale cercetării la stabilitate termică a îmbinărilor OL37 ATSi5 se sudate prin frecare,  $I_L=300 \text{ A}$ ,  $A_b=18 \text{ mm}^2$ ,  $j=1,18 \text{ A/mm}^2$

Nr. crt.	di- crt. ca- tiv	Tim- pul	T E M P E R A T U R A - K						
			îm- bi- nări bi- metal	Imbinare sudată			Bornele de alimentare		
				Al	Sudură	Otel	Al	Otel	
1	6.3	2	3	4	5	6	7	8	9
1	6.3	0	287	287	287	287	287	287	287
		35	333	340	371	328	366	287	287
		60	328	337	358	323	353	287	287
		90	323	332	353	321	352	287	287
		120	323	332	353	321	350	287	287
		150	323	332	352	321	348	287	287
2	6.5	0	290	290	290	290	290	290	290
		45	319	326	343	316	339	290	290
		75	329	335	353	323	352	290	290
		105	330	357	355	325	352	290	290
		135	335	338	357	326	353	290	290
		165	335	338	357	326	353	290	290
		195	335	358	357	326	353	290	290
3	6.13	0	287	287	287	287	287	287	287
		20	328	336	348	325	339	287	287
		50	323	330	340	316	335	287	287
		80	323	330	338	318	332	287	287
		110	323	330	338	318	331	287	287
4	6.14	0	286	286	286	286	286	286	286
		60	324	329	343	318	343	286	286
		120	328	337	353	323	348	286	286
		180	327	335	351	323	345	286	286
		240	327	335	351	323	344	286	286
5	6.17	0	291	291	291	291	291	291	291
		45	328	333	350	323	346	291	291
		105	329	334	350	323	347	291	291
6	6.19	0	290	290	290	290	290	290	290
		30	313	318	329	304	325	290	290
		60	315	327	342	313	338	290	290
		120	322	323	346	321	343	290,5	290,5
		150	325	334	350	324	347	290,5	290,5
		180	328	334	350	325	347	290,5	290,5
		210	328	334	350	325	347	290,5	290,5
		240	328	334	350	325	347	290,5	290,5

T A B E L A 6.1(continuare)

1	2	3	4	5	6	7	8	.9
6	6.19	180	328	334	350	325	347	290,5
		210	328	334	350	325	347	290,5
		240	328	334	350	325	347	290,5
7	6.23	0	287	287	287	287	287	287
		20	320	324	342	318	338	287
		50	323	328	341	317	337	287
		80	323	338	341	317	336	287
8	6.62	0	300	301	304	298	303	289
		75	320	321	333	298	303	290
		105	325	331	340	315	328	290
		135	327	331	348	335	319	291
		165	328	335	349	323	347	291
		195	329	335	350	325	347	291
		225	329	335	350	325	347	291

T A B E L A 6.2

Datele experimentale ale cercetării la stabilitate termică a îmbinărilor OIC 15-AT<sub>9</sub>i5Fe sudate prin frecare, I<sub>n</sub>=300 A,  
ρ<sub>b</sub>=18 mm, j=1,18 A/mm<sup>2</sup>

Nr.	Indiā crt. cativ	Timpul min	T E M P E R A T U R A					
			Imbinare sudat̄			Bornele de soli- mentare		Mediu ambiant
			Al	Sudura	Otel	Al	Otel	
1	1.3	0	284	284	284	284	284	284
		40	313	318	323	310	318	284,4
		70	315	322	325	312	321	284,4
		100	315	321	325	312	320	284,5
2	1.24	0	284	284	284	284	284	284
		30	313	317	320	309	318	284
		60	317	321	326	312	321	284,5
		90	317	322	327	314	324	284,5
		120	318	322	327	314,8	324	284,5
3	1.31	0	286	286	286	286	286	286
		30	318	322	328	314	323	286
		60	319	323	328	315	324	286
		90	319	323	328	315	324	286
4	1.35	0	284	284	284	284	284	284
		30	323	332	338	331	333	284
		60	320	329	334	317	329	284
		90	320	328	332	317	328	284
		120	319	327	331	316	327	285
		150	319	326	331	316	327	285,5
		180	319	326	331	316	327	285,5

cente ale componentelor îmbinării sudate (tabelă 6.1, 6.2).

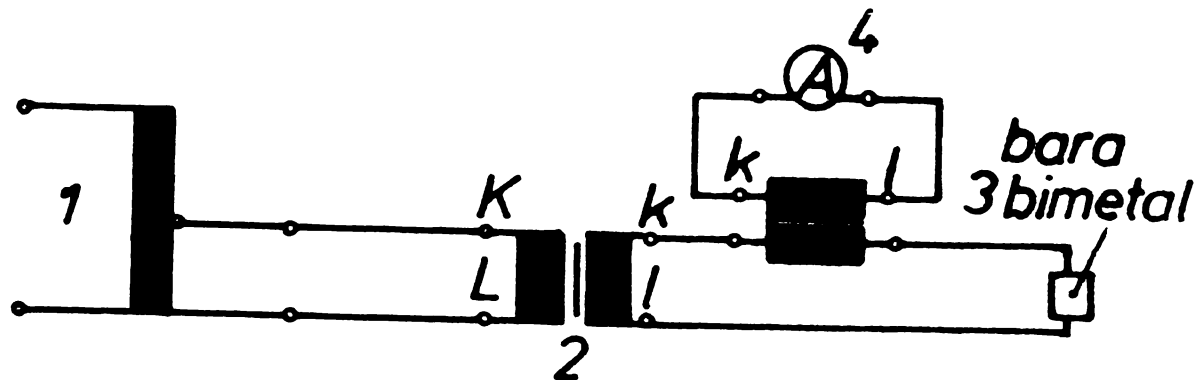


Fig.6.2.-Schema electrică pentru cercetarea la stabilitate termică a îmbinărilor Otel-Al sudate prin frecare: 1-autotransformator reglabil 380/0...380 V, 40 A; 2-transformator, 380 V, I (0...1500)A; 3-transformator de curent 1500/5, 4-empermetru [124]

De asemenea, se controlă temperatura mediului său ambient precum și a bornelor de alimentare, pentru măsurări fiind utilizat un termometru electronic tip Therm 2112. Încercarea la stabilitate termică s-a încheiat atunci cînd s-a constat că trecerea în continuare a curentului nu mai produce modificări semnificativă a stării termice din îmbinarea sudată.

#### 6.1.2.-Prelucrarea datelor experimentale

Normalitatea repartiției datelor experimentale se verifică cu testul S-W (Chapiro-wilk), elaborat pentru eșantionare de volum mic ( $3 \leq n \leq 50$ ) [28, 51]. Se notează valorile stabilității ale temperaturii componentei din Al a îmbinărilor bimetal (tabelă 6.1). Astfel, indicativul îmbinărilor, simbolul și valorile temperaturilor sunt următoarele:

$b_1$	$b_2$	$b_3$	$b_4$	$b_5$	$b_6$	$b_7$	$b_8$
323	323	323	327	328	323	329	335

Se calculează expresia:

$b = Q_8(b_8 - b_1) + Q_7(b_7 - b_2) + Q_6(b_6 - b_3) + Q_5(b_5 - b_4)$ ,  
a fiind coeficient care se extrage din tabele.

Valoarea testului este;

$$W = \frac{b^2}{\sum_{i=1}^n (b_i - b)^2}, \quad (6.1)$$

iar pentru exemplul considerat rezulta:  $W_{Al} = 1,994$ .

In mod similar se calculeaza valoarea testului S-W pentru sudura prin frecare si componenta din otel a imbinarilor bimetal, atat in combinatia de materiale OL37-ATSi5Fe cit si OLC15-ATSi5Fe (tabela 6.3). Intrucat valorile critice  $W_{n\alpha}$  ale testului sunt mai mici decat fiecare din valorile calculate  $W$ , se accepta ideea normalitatii datelor experimentale, nivelul de incredere fiind  $\alpha$  (tabela 6.3).

Imbinarile bimetal parcuse de curent se incalzesc datorita efectului Joule Lenz, incalzirea fiind differenta dintre temperatura conductorului si temperatura mediului ambiant.

$$\theta = \theta_0 - \theta_{med}. \quad (6.2)$$

O parte din caldura dezvoltata se inmagazineaza in masa conductorului si contribuie la cresterea temperaturii acestuia, iar o alta parte este degajata in mediul inconjurator. Rezultatul urmatoarea ecuatie a bilantului energiilor:

$$RI^2 dt = mc\theta + \alpha_r S_r \theta dt, \quad (6.3)$$

unde,  $m$ -este masa conductorului in kg;  $c$ -caldura specifica, in  $J/kgK$ ;  $S_r$ -suprafata de riscire, in  $m^2$ ;  $\alpha_r$ -coeficientul de transmisie a caldurii catre mediul exterior, in  $J/m^2.s$ .

T A B E L A 6.3

**Valorile testului S-W pentru verificarea normalitatii temperaturilor de stabilizare termica a imbinarilor Otel-Al**

Parametrul testului	OL37-ATSi5Fe			OLC15-ATSi5Fe		
	Otel	Sudura	Al	Otel	Sudura	Al
$W$	1,3678	1,772	1,994	1,244	1,226	1,110
<u>Nivelul de incredere <math>\alpha</math></u>						
$W_n$		0,90	0,95	0,98	0,99	..
	4	0,987	0,992	0,996	0,997	
	8	0,972	0,978	0,984	0,987	

Din relatia (6.3) se obtine urmatoarea ecuatie diferențială a incalzirii:

$$\frac{d\theta}{dt} + \frac{1}{T} = \frac{RI^2}{mc} \quad (6.4)$$

unde,

$$T = \frac{m.c}{\alpha_r \cdot S_r} \quad (6.5)$$

este constanta de tiință a încălzirii, măsurată în secunde. Încălzirea conductorului ajunge la valoarea maximă în momentul cînd întreaga energie calorifică dezvoltată se degajă în mediul exterior:

$$\theta_{\max} = \frac{RI^2}{\alpha_r \cdot S_r} \quad (6.6)$$

de unde se deduce:

$$\alpha_r = \frac{RI^2}{S_r(\delta_{\max} - \delta_0)} \quad (6.7)$$

Pe baza datelor de material ale îmbinărilor Otel-Al sudate prin frecare (tabelă 6.4) se stabilesc coeficienții de transmisie a căldurii către mediul exterior și se calculează, cu relația (6.5), constantele de tiință ale încălzirii componentelor îmbinărilor bimetal (tabelă 6.5).

T A B E L A 6.4.

Constante fizice de material și mărimi caracteristice ale îmbinărilor Otel-Al

Nr. crt	Mărimi de calcul	Componentele îmbinărilor bimetal	
		Al	Otel
1.	Lungimea L m	0,120	0,155
2.	Diametrul $\phi$ m	0,018	0,018
3.	Sectiunea S $m^2$	$0,254 \cdot 10^{-3}$	$0,254 \cdot 10^{-3}$
4.	Suprafața de răcire $S_r$ $m^2$	$6,782 \cdot 10^{-3}$	$8,760 \cdot 10^{-3}$
5.	Masa m kg	0,08	0,311
6.	Densitatea $\rho$ kg/m <sup>3</sup>	2600	7900
7.	Căldura specifică c J/kg grad K	796	460
8.	Rezistivitatea $\rho$ $\Omega \cdot m$	$28 \cdot 10^{-9}$	$98 \cdot 10^{-9}$
9.	Rezistența electrică R $\Omega$	$0,012 \cdot 10^{-3}$	$0,061 \cdot 10^{-3}$

Soluția ecuației diferențiale (6.4) devine [23]:

$$\theta = \theta_{\max} \left(1 - e^{-\frac{t}{T}}\right) + \theta_0 \cdot e^{-\frac{t}{T}} \quad (6.8)$$

Curbele de încălzire ale componentelor imbinărilor bimetal sudate prin frecare (figura 6.3, 6.4). se obțin prin reprezentarea variației în timp a încălzirii conductorului, conform funcției exponentiale (6.8). Relația (6.8) se scrie sub forma:

$$\theta = \theta_{\max} - \frac{\theta_{\max} - \theta_0}{e^{\frac{t}{T}}} \quad (6.9)$$

$\theta_{\max}$  și  $\theta_0$  rezultă din expresia (6.2) cu valorile  $\zeta$  din tabelele 6.1 și 6.2. Coordonatele punctelor pentru reprezentarea grafică a curbelor de încălzire se stabilesc din diferite valori variabilei  $t$  și calculind cu relația (6.9) ordonatele  $\theta$  corespunzătoare (tabela 6.6), constanta de timp a încălzirii  $T$  fiind cunoscută (tabela 6.5). În vederea simplificării calculelor,  $t$  s-a ales mult în plus de  $T$ . Forma curbelor de încălzire pentru sudură (figura 6.5) se obține prin reprezentarea funcției:

$$\theta_s = \frac{a}{\frac{t}{T} + b} \quad (6.10)$$

T A B E L A 6.5

Constantele de timp ale încălzirii componentelor Otel-Al

Nr. crt.	Indica-tivul imbină- rilor bimetal	Componentele imbinării bimetal Otel					
		Al	Otel	A1	Otel	A1	Otel
1.	2	3	4	5	6	7	8
1.	6.3	36	4,423	39,8	65	9,641	28,2
2.	6.5	44,5	3,578	49,2	66,5	9,424	28,8
3.	6.13	36	4,423	39,8	51	12,288	22,1
4.	6.14	41	3,884	45,3	56	9,641	28,2
5.	6.17	38	4,190	42,0	59	10,622	25,6
6.	6.19	37,5	4,246	41,4	59,5	10,532	25,8
7.	6.23	36	4,423	39,8	54	11,605	23,4
8.	6.62	27	5,897	29,8	44	14,243	19,1
9.	1.3	30,5	5,221	33,7	40,5	15,474	17,5
10.	1.24	33,5	4,753	37,0	42,5	14,746	18,4
11.	1.31	33	4,825	36,5	42	14,921	18,2
12.	1.35	33,2	4,996	36,7	45,2	13,365	19,6

T A B E L A 6.6

Perechile de valori  $\theta$ , t pentru reprezentarea grafică a curbelor de încălzire ale componentelor îmbinărilor Otel-Al sudeate prin frecare.

Indicație imbinării	Marimi de calcul						Marimiile variabile	Componentele imbinărilor bimetal		
	$\theta_0$		$\theta_{max}$		$\theta_{\bar{m}ax} \theta_0$			Al	Otel	
	Al	Otel	Al	Otel	Al	Otel				
1	2	3	4	5	6	7	8	9	10	
6.3	.	.	36	65	36	65	T	39,8	28,2	
							$\theta_1$	22,72	41,01	
							2T	79,6	56,4	
							$\theta_2$	31,1	56,14	
							3T	119,4	84,6	
							$\theta_3$	34,19	61,73	
							4T	159,2	112,8	
							$\theta_4$	35,33	63,79	
							5T	199	141	
							$\theta_5$	35,75	64,56	
							6T	238,8	169,2	
							$\theta_6$	35,91	64,84	
6.5	.	.	45	67	45	67	T	49,2	28,8	
							$\theta_1$	28,8	41,96	
							2T	98,4	57,6	
							$\theta_2$	38,44	57,44	
							3T	147,6	86,4	
							$\theta_3$	42,26	63,16	
							4T	190,8	115,2	
							$\theta_4$	43,67	65,27	
							5T	246,7	144	
							$\theta_5$	44,2	66,04	
							6T	295,2	172,8	
							$\theta_6$	44,39	66,33	
6.13	.	.	36	51	36	51	T	39,8	22,1	
							$\theta_1$	22,72	33,18	

- 148 -

(continuare) T A B E L A 6.6

1	2	3	4	5	6	7	8	9	10
							2T	79,6	44,2
							θ <sub>2</sub>	31,1	44,05
							3T	119,4	66,3
							θ <sub>3</sub>	34,19	48,44
							4T	159,2	88,4
							θ <sub>4</sub>	35,33	50,05
							5T	199	110,5
							θ <sub>5</sub>	35,75	50,65
							6T	238,8	132,6
							θ <sub>6</sub>	35,91	50,87
6.14	0	0	41	55	41	65	T	45,3	28,2
							θ <sub>1</sub>	25,87	48,01
							2T	90,6	56,4
							θ <sub>2</sub>	35,41	56,14
							3T	135	84,6
							θ <sub>3</sub>	38,84	61,73
							4T	181,2	112,8
							θ <sub>4</sub>	40,24	63,79
							5T	226,5	141
							θ <sub>5</sub>	40,86	64,78
							6T	271,8	169,2
							θ <sub>6</sub>	40,95	64,92
6.19	0	0	37,5	59,5	37,5	59,5	T	41,4	25,8
							θ <sub>1</sub>	23,66	37,54
							2T	82,8	51,6
							θ <sub>2</sub>	32,39	51,39
							3T	124,2	77,4
							θ <sub>3</sub>	35,61	56,51
							4T	165,6	103,2
							θ <sub>4</sub>	36,8	58,4
							5T	207	129
							θ <sub>5</sub>	37,24	59,02
							6T	248,04	154,8
							θ <sub>6</sub>	37,41	59,35
6.62	11	15	38	59	27	44	T	29,8	19,1
							θ <sub>1</sub>	28,03	42,76
							2T	59,6	28,2
							θ <sub>2</sub>	34,32	53
							3T	89,4	57,3
							θ <sub>3</sub>	36,64	56
							4T	119,2	76,4

- 149 -

(continuare) T A B E L A 6,6

1	2	3	4	5	6	7	8	9	10
							$\theta_4$	37,49	58,19
							5T	149	95,5
							$\theta_5$	37,81	58,69
							6T	178,8	114,6
							$\theta_6$	37,93	58,89
1.24	0	0	33,5	42,5	33,5	42,5	T	37	18,2
							$\theta_1$	22,4	26,3
							2T	74	36,4
							$\theta_2$	31,7	42
							3T	111	54,6
							$\theta_3$	32,5	57,3
							4T	148	72,8
							$\theta_4$	33	74
							5T	185	74,5
							$\theta_5$	34,2	74,5
1.35	0	0	33,5	45,5	33,5	45,5	T	37,5	19,2
							$\theta_1$	21,2	28,5
							2T	75	39,4
							$\theta_2$	28,3	39,4
							3T	112,5	57,6
							$\theta_3$	32,1	42,7
							4T	150	76,8
							$\theta_4$	32,5	44,1
							5T	187,5	96,0
							$\theta_5$	33	45

Sistemul ecuațiilor normale pentru determinarea parametrilor a și b [56] este următorul:

$$\sum \frac{1}{\theta_i} = \frac{1}{a} \sum \frac{1}{t_i} + n \cdot \frac{b}{a} \quad (6.11)$$

$$\sum \frac{1}{\theta_i t_i} = \frac{1}{a} \sum \frac{1}{t_i^2} + \frac{b}{a} \sum \frac{1}{t_i} \quad (6.12)$$

Prin rezolvarea acestui sistem, în care  $t_i$  este timpul între două măsurări consecutive a temperaturii la încercarea de stabilitate termică (tabela 6.1) și  $\theta_i$  încălzirea corespunzătoare a sudurii, stabilită cu relația (6.2), rezultă parametrii a și b ai funcției  $\theta(t)$  (tabela 6.7). Coordonatele punctelor pentru reprezentarea grafică a curbelor de încălzire ale sudurilor Otel-Al (figura 6.5), se stabilesc din dă diferite valori variabilei t și calculind încălzirea  $\theta$  cu expresia (6.10), (tabela 6.8). Derivata ecuației exponențiale (6.8) este:

$$\theta' = \frac{d\theta}{dt} = \frac{\theta_{\max} - \theta_0}{T} \cdot e^{-\frac{t}{T}} \quad (6.13)$$

și derivata ecuației (6.10):

$$\theta'_s = \frac{d\theta_s}{dt} = \frac{a}{(1+bt)^2}, \quad (6.14)$$

$\theta'$  și  $\theta'_s$  fiind viteza de încălzire a componentelor, respectiv, a sudurii Otel-Al (tabela 6.9) la încercarea la stabilitate termică a imbinărilor bimetal.

### 6.1.3.-Interpretarea rezultatelor

Normalitatea rezultatelor experimentale la încercarea de stabilitate termică a imbinărilor Otel-Al s-a verificat cu testul S-W. Pe baza rezultatelor obținute (tabela 6.3) se accentă ideea normalității, nivelul de încredere al concluziei fiind  $\alpha = 0,99$ .

S-au stabilit constantele de timp  $T_1$  și  $T_2$  ale încălzirii componentelor din Otel-Al sudate prin frecare (tabela 6.5) și s-a reprezentat grafic ecuația exponențială (6.8), obținându-se curbele de încălzire ale metalului de bază (figura 6.3, 6.4). Graficul curbelor de încălzire ale sudurilor Otel-Al s-a obținut din reprezentarea funcției  $\theta'_s = \theta_s(t)$  de formă cunoscută (figura 6.5). În acest scop, s-au calculat parametrii ecuației corespunzătoare acestei funcții (6.11 și 6.12), pe baza datelor obținute experimental (tabela 6.1, 6.2).

T A B L A 6.7

Parametrii funcției care incalzire a sudurilor Otel-Al la încercarea de stabilitate termică

Nr. indice- crt. tivul suduri- lor	t <sub>1</sub>	θ <sub>1</sub>	Valorile θ <sub>1</sub> , t <sub>1</sub> stabilite experimental							Valorile parametrilor						
			t <sub>2</sub>	θ <sub>2</sub>	t <sub>3</sub>	θ <sub>3</sub>	t <sub>4</sub>	θ <sub>4</sub>	t <sub>5</sub>	θ <sub>5</sub>	t <sub>6</sub>	θ <sub>6</sub>	t <sub>7</sub>	θ <sub>7</sub>	a	b
1	2	3	4	5	6	7	8	9	10	11	12	13	14	15	16	17
1	6,3	35	53	60	50	90	45	120	45	150	45	-5,721745	-0,135036			
2	6,5	45	36	75	45	105	47	135	48	165	48	2,559836	0,046610			
3	6,13	20	49	50	43	80	43	110	43			-13,252680	-0,321656			
4	6,14	60	43	120	51	180	49	240	49			4,261048	0,080459			
5	6,19	30	28	60	37	90	39	120	42,5	150	43,5	180	43,5	240	43,5	2,881116
6	6,62	75	35	105	41	135	41	165	44	195	44	225	44			0,068095
7	1,3	40	33,6	70	37,6	100	36,5									1,654610
8	1,24	30	23	60	36,5	90	37,5	120	37,5							0,032540
9	1,31	30	36	60	37	90	37									1,206605
10	1,35	30	43	60	45	90	44	120	42	150	40,5	180	40,5			0,026205
																2,243574
																0,047005
																1,0035725
																0,044031
																1,5E77412
																0,067039

T A B E L A 6.8

Perechile de valori  $\Theta_i$ ,  $t_i$  pentru reprezentarea grafică a curbelor de încălzire ale sudurilor  
Cțel-Al

Nr.	Indica- civul sudurii	$\frac{a}{D}$	$\Theta_{\max}$	$t_1$	$\Theta_{s1}$	$t_2$	$\Theta_{s2}$	$t_3$	$\Theta_{s3}$	$t_4$	$\Theta_{s4}$	$t_5$	$\Theta_{s5}$	$t_6$	$\Theta_{s6}$	$t_7$	$\Theta_{s7}$	$t_8$	$\Theta_{s8}$
1.-	2	3	4	5	6	7	8	9	10	11	12	13	14	15	16	17	18	19	20
1.-	6.3	42,37	45	10	16,33	25	60,2	30	56,2	50	43,7	75	47	100	45,7	125	45,2		
2.-	6.5	54,92	48	10	17,4	25	29,5	50	38,4	75	43,7	100	45,2	101	45,3	125	46,6		
3.-	6.1;	41,2	43	10	59,8	25	47	30	46	50	43,5	75	42,9	100	42,5	125	42,1		
4.-	6.14	52,95	49	10	23,6	25	30,3	30	35,3	50	42,4	75	45,4	100	47,1	125	48,1		
5.-	6.19	46,39	43,5	10	17,3	25	27,5	30	29,4	75	37,2	76	37,3	100	38,9	101	39		
6.-	6.62	50,84	44	10	19,9	20	24,8	30	28	50	32,1	75	35,1	100	36,8	125	38,1		
7.-	1.3	46,04	36,5	25	18,2	50	26,1	75	30,5	100	33,3	125	35,2	500	42,7	5000	45,7	10000	45,8
8.-	1.24	47,73	37,5	25	25,8	50	33,4	75	37,1	100	39,3	125	40,7	500	45,7	5000	47,5	10000	47,6
9.-	1.31	22,79	37	25	11,9	50	15,6	75	17,4	100	18,5	125	19,2	500	21,8	5000	22,6	10000	22,7
10.-	1.35	23,47	40,5	25	14,7	50	18,1	75	19,6	100	20,4	125	20,9	500	22,8	5000	23,4	10000	23,4

-150-B.

..

T A B E L A 6.9

Viteza de încălzire a unor îmbinări Otel-Al la încercarea la stabilitate termică

Nr. Indica- crt.ativ	T <sub>1</sub> min	T <sub>2</sub> min	Viteza de încălzire Θ' la timp t k/min							
			$t = T_1$		$t = T_2$		$t = \frac{1}{4} T_1$		$t = \frac{1}{4} T_2$	
			Al	sudură Otel	Al	sudură Otel	Al	sudură Otel	Al	sudură Otel
1	2	3	4	5	6	7	8	9	10	
1.	6.5	49,2	28,8	0,337	0,236	0,858	1,171	2,028	2,980	
2.	6.14	45,3	28,2	0,333	0,197	0,850	1,160	2,916	2,955	
3.	6.19	41,4	25,8	0,333	0,225	0,850	1,160	2,150	2,957	
4.	6.62	29,8	19,1	0,334	0,426	0,833	1,161	1,429	2,948	
5.	6.3	33,7	17,5	0,333	0,340	0,646	1,160	1,667	2,234	
6.	1.24	37,0	18,4	0,234	0,299	0,852	1,113	1,801	2,960	
7.	1.31	36,5	18,2	0,333	0,147	0,851	1,158	0,817	2,959	
8.	1.35	36,7	19,6	0,236	0,130	0,850	0,820	1,166	2,956	
9.	6.17	42,0	25,6	0,332	-	0,850	1,158	-	2,902	
10.	6.23	39,8	23,4	0,333	-	0,851	1,158	-	2,955	

Constanta de timp  $T_3$  a încălzirii sudurilor executate prin frecare s-a determinat pe cale grafică (figura 6.6). Componenta din oțel a îmbinărilor bimetal se încălzește cel mai mult sub efectul termic al curentului electric ( $\Theta_e = 67K$ , figura 6.3, c, 6.4,b).

Încălzirile  $\Theta_1$  a componentei din Al și  $\Theta_s$  a sudurii, au valori apropiate atât la limita superioară ( $\Theta_1 = 45K$ , figura 6.3,c și 6.4,a - și  $\Theta_s = 49 K$ , figura 6.3,d și 6.6), cît și la limita inferioară a intervalului datelor experimentale ( $\Theta_1 = 33,2K$ , figura 6.3,f; 6.4,a - și  $\Theta_s = 37,5 K$ , figura 6.3,e, 6.6). Nivelul cel mai redus al încălzirii se constată la îmbinările bimetal cu componenta din OLO15, în acest caz  $\Theta_{max} = 45,5K$  (tabela 6.6) fiind cu 22,5K mai mic decât  $\Theta_{max} = 67K$  la îmbinările AL37-ATB15Fe. Coeficientul unghiular al curbelor de încălzire are valorile maxime pentru oțel ( $\alpha_2 = 66^{\circ}40'$ , figura 6.3,c), minime pentru Al ( $\alpha_1 = 42^{\circ}50'$ , figura 6.3,a) și intermediare pentru sudură ( $\alpha_3 = 56^{\circ}$ , figura 6.3,d). Valoarea coeficientului unghiular se modifică însă foarte puțin pentru același material, diferența între  $\alpha_{max}$  și  $\alpha_{min}$  fiind de  $1^{\circ}$  la curbele de încălzire ale Al, de  $2^{\circ}30'$  la oțel (figura 6.4) și respectiv  $6^{\circ}10'$  la sudura bimetal (figura 6.6).

Vitezele de încălzire  $\Theta$  ale îmbinărilor Otel-Al sudate prin frecare (tabela 6.9) s-au obținut prin derivarea ecuației exponențiale a încălzirii (6.8) și a funcției (6.10). În prima

T A B E L A 6.10

Datele experimentale ale încercării dinamice la şocuri de current a îmbinărilor bimetal Otel-al sudate prin frecare  
 $I_n=1000$  A;  $\delta=18$  mm;  $j=3,93$  A/mm.

Nr.	Indica- crt. tivul	Tim- bul	T E M P E R A T U R A - K						
			îmbi- nărilor bimetal	Imbinare sudată			Borne alimentare		Media ambiant $\bar{\gamma}_{med}$
				Al	Sudură	Otel	Al	Otel	
1	6.20	0	395	440	553	370	485	284,8	
		10	439	488	648	415	568	284,8	
		15	473	528	703	448	623	284,8	
		30	518	573	773	483	673	284,8	
2	6.16	0	372	403	473	357	473	284,8	
		6	428	449	577	403	588	284,8	
		16	515	549	573	478	701	284,8	
		20	531	563	753	495	733	284,8	
		24	553	593	773	523	738	284,8	
3	6.12	0	466	498	611	423	521	284,8	
		7	515	573	683	483	590	285	
		13	561	593	743	523	533	285	
		19	575	614	773	542	670	285	
4	6.15	0	435	478	593	411	523	285	
		5	483	548	713	453	650	285	
		9	503	573	773	473	693	285	
5	1.36	0	325	353	383	311	337	284,2	
		5	382	343	471	371	401	284,2	
		10	418	477	503	400	438	284,2	
		15	450	508	568	434	488	284,2	
		20	477	540	607	456	523	284,3	
		25	488	543	630	470	540	284,3	
		30	503	573	658	483	563	284,3	
		35	517	583	683	493	597	284,3	
		40	543	603	723	513	653	284,3	
		45	543	603	738	523	663	284,3	
		50	558	613	753	527	688	284,3	
6	1.21	0	285	285	285	285	285	285	
		10	463	509	538	436	473	285	
		15	520	573	608	488	544	285	
		55	563	603	708	528	646	285	
		63	585	641	753	548	688	285	
		80	588	641	760	549	698	285,5	

fază a încercării la stabilitate termică ( $t=1/4 T$ ) vitezele de încălzire sănt mari ( $\Theta_1'=1,1$  și  $\Theta_2'=2,9$  K/min) apoi se reduc, pe măsură ce crește durata de trecere a curentului electric prin îmbinarea sudată ( $\Theta_1'=0,3$  și  $\Theta_2'=0,8$  K/min la  $t=T$ , tabela 6.9). Se remarcă uniformitatea procesului de încălzire a componentelor sub efectul curentului electric, din 12 determinări experimentale de cîte lo ori s-au înregistrat valorile  $\Theta_1'=0,33$  K/min pentru Al și  $\Theta_2'=0,85$  K/min pentru Otel. Viteză de încălzire a sudurii Otel-Al variază însă în limite largi, de la  $\Theta_3'=0,8$  la 2,9 K/min. Această situație se explică prin faptul că, în etapa nestabilizată, o supraîncălzire locală a unei componente se echilibrează termic în masa îmbinării bimetal prin transfer în cealaltă componentă, modificînd starea de încălzire din planul sudurii.

In concluzie, s-a cercetat comportarea la stabilitate termică a îmbinărilor Otel-Al în cursul de curentul nominal  $I_n=300$  A, mărimile determinate experimental fiind timpul de trecere al curentului și modificarea temperaturii prin efect Joule-Lenz în MB și sudura bimetal. Normalitatea repartitiei celor 462 date urvenite din măsurători s-a verificat cu testul Chapiro-Wilk. S-au calculat constantele de timp ale încălzirii componentelor, s-au definit pe cale analitică și grafică parametrii de stare și cîmpul termic și s-au reprezentat curbele de încălzire ale îmbinărilor bimetal la încercarea de stabilitate termică. Pe această bază se apreciază că DPA<sub>4,5,6</sub> corespund, din punctul de vedere al conducerii curentului electric, pentru a fi utilizate în procesul de fabricație electrolitică a Al, densitatea de curent în condiții de exploatare fiind  $j=0,44$  A/mm<sup>2</sup> față de  $j=1,18$  A/mm<sup>2</sup>, cît s-a utilizat la încercările electrice de stabilitate termică.

#### 6.2.-Incercări dinamice la șocuri de curent

S-au încercat dinamic la șocuri de curent (figura 6.2) îmbinări Otel-Al sudate prin frecare cu diametrul de 18 mm, componenta de otel fiind executată respectiv din OL37, OL42, OL52 și OL15. La încercările efectuate fără ruperea probelor s-au utilizat îmbinări OL37-ATSi5Fe și OL15-ATSi5Fe, curentul nominal a fost de 1000 A iar densitatea de curent  $j=3,93$  A/mm<sup>2</sup> (tabela 6.10).

Din distribuția valorilor vitezei de creștere a temperaturii (tabela 6.11) se constată că, pînă la 350 K metalele fiind relativ reci, între componente are loc un important schimb de căldură prin sudura Otel-Al ( $\zeta_3' = 16 \text{ K/min}$ ) astfel încît ele se echilibrează termic, viteza de încălzire fiind egală ( $\zeta_1' = \zeta_2' \approx 12 \text{ K/min}$ ).

T A B E L A 6.11

Viteza de creștere  $\zeta'$  a temperaturii îmbinărilor Otel-Al în timpul încercării dinamice la socuri de curent  $\phi=18 \text{ mm}$ ,  $I_n=1000 \text{ A}$ ,  $j=3,93 \text{ A/mm}^2$ .

Nr.	Partea din crt. îmbinare	$\zeta' - \text{K/min}$							
		350	400	450	500	550	600	650	750
1.	Al	11,8	-	5,4	4,6	4,3	1,6	-	-
2.	Otel	-	12	-	-	-	8	-	6,3
3.	Sudură	16	-	7,6	4,8	4,5	-	1,3	-

Peste 350 K se micsorează intensitatea efectului de răcire a otelului din îmbinarea bimetal prin componenta de Al, viteza de încălzire păstrîndu-se comparativ la valori ridicate ( $\zeta_2' = 8 \text{ K/min}$  față de  $\zeta_1' = 4,3 \text{ K/min}$ ). Concomitent cu reducerea căldurii de transfer prin sudura Otel-Al se micsorează și viteza sa de încălzire  $\zeta_3'$ , de la 16 K/min la 4,5 K/min (tabela 6.11). Procesul de încălzire a îmbinărilor bimetal tinde să se stabilizeze termic, viteza de încălzire fiind descrescătoare în timp pentru MB și sudura Otel-Al, la același curent nominal.

Pentru cercetarea comportării îmbinărilor sudate prin frecare la rupere sub efectul curentului electric, s-a provocat distrugerea cu socuri de curent a acestor îmbinări. În acest scop, s-au efectuat 21 încercări la curentul nominal de 3000, 4000, 5000 A și densitatea de curent respectiv  $11,79 - 15,72 - 19,65 \text{ A/mm}^2$ , măsurîndu-se durata de trecere a curentului pînă la ruperea îmbinării (tabela 6.12). În timpul încercării, observarea comportării îmbinărilor bimetal la socuri de curent se limitează la modificările ce apar în componenta din otel, întrucît creșterea temperaturii pe toată durata încercării nu produce efecte vizibile cu ochiul liber în componenta din Al. Succesiunea fazelor pînă la ruperea termică a îmbinărilor bimetal este următoarea:

T A B E L A      6.12

Datete experimentale ale încercărilor de rupere la şocuri  
de curent a îmbinărilor bimetal sudate prin frecare,  $\phi=18$  mm.

Nr. Indicativul crt îmbinării bimetal	Componenata din otel	Curentul nominal		Densitatea de curent $A/mm^2$	Timpul pînă la rupere s
		A	$A/mm^2$		
1	6.17				82
2	6.23	OL 37	3.000	11,79	85
3	1.31	OLC 15			94
4	5.25				90
5	5.34	OL 52			94
6	6.13	OL 37	4.000	15.72	55
7	6.20				39
8	6.5				30
9	6.16				40
10	6.15				33
11	2.2	OL42			35
12	2.16	OL42			45
13	2.32				43
14	2.34				55
15	5.13	OL52			40
16	1.3	OL0 15			47
17	1.35				35
18	1.24				35
19	1.28				35
20	6.14	OL 37	5.000	19,65	45
21	5.24	OL 52			25

-extinderea unei nuante de albastru închis pe toată lungimea componentei din otel;

-conjurarea nucleului cu temperatura cea mai ridicată într-un punct aflat la jumătatea acestei lungimi;

-deschiderea la culoare către roșu aprins a nucleului central și păstrarea culorii initiale la capetele componentei din otel, pe portiuni de cîte 20 mm, ceea ce dovedește că sudura Otel-Al și clema de contact în circuitul electric sînt "puncte reci", prin care se pierde o parte din căldura produsă în componenta din otel prin efect Joule-Lenz;

-portiunea centrală își modifică culoarea ajungînd, în trepte, de la alb mat la alb strălucitor și în ultima fază la incandescență;

-în cazurile cercetate (tabela 6.12), componenta din otel a ajuns pe toată lungimea la alb strălucitor sau la incandescență și numai după aceea s-a produs desprinderea sudurii și topirea zonei adiacente din Al.

Examinînd aspectul îmbinărilor Otel-Al după încercarea dinamică la șocuri de curent (figura 6.7) se observă ruperea componentelor din otel la aceiași distanță de capătul liber, care corespunde cu zona adiacentă clemei de prindere în circuitul electric. Aceasta înseamnă că există o portiune în care intensitatea producerii căldurii prin efect Joule-Lenz este maximă și o portiune în care răcirea este maximă din cauza pierderilor de căldură prin borna de alimentare, în zona de contact a celor două portiuni producîndu-se o neomogenitate a cîmpului termic, care fragilizează materialul și provoacă ruperea componentei din otel. Intensitatea proceselor termice ce apar la șocuri de curent este atît de mare încît poate determina topirea completă a părții de otel din îmbinarea bimetal sudată prin frecare (figura 6.7,c). Concomitent cu solicitarea termică, sudura Otel-Al este solicitată mecanic, deformăția otelului care este încastrat în clema de prindere introducînd tensiuni importante în sudura bimetal și contribuind la ruperea acesteia. S-a constatat că bavura îndepărtată după sudarea prin frecare se manifestă ca un agent de răcire, atenuînd efectul termic al curentului în sudura Otel-Al.

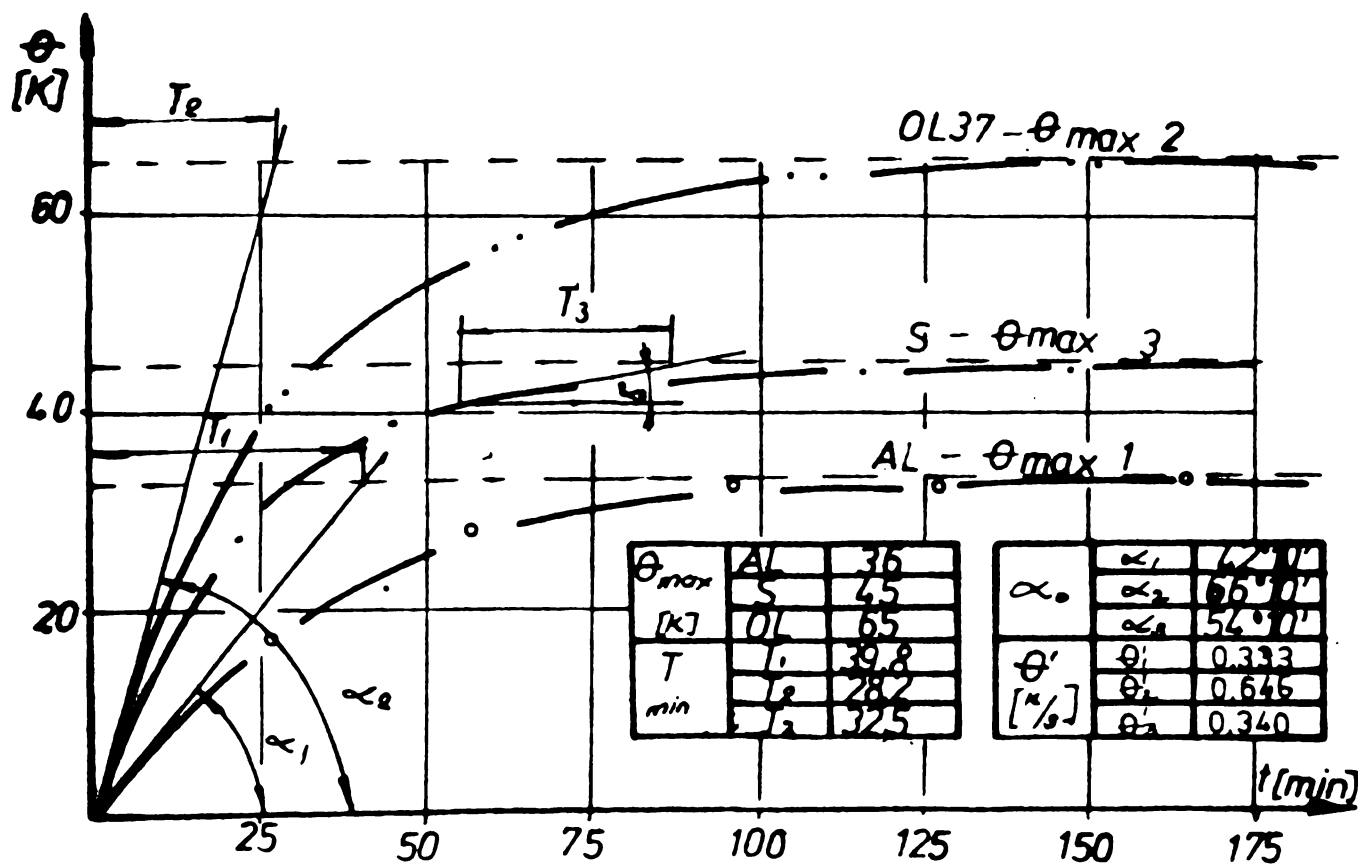
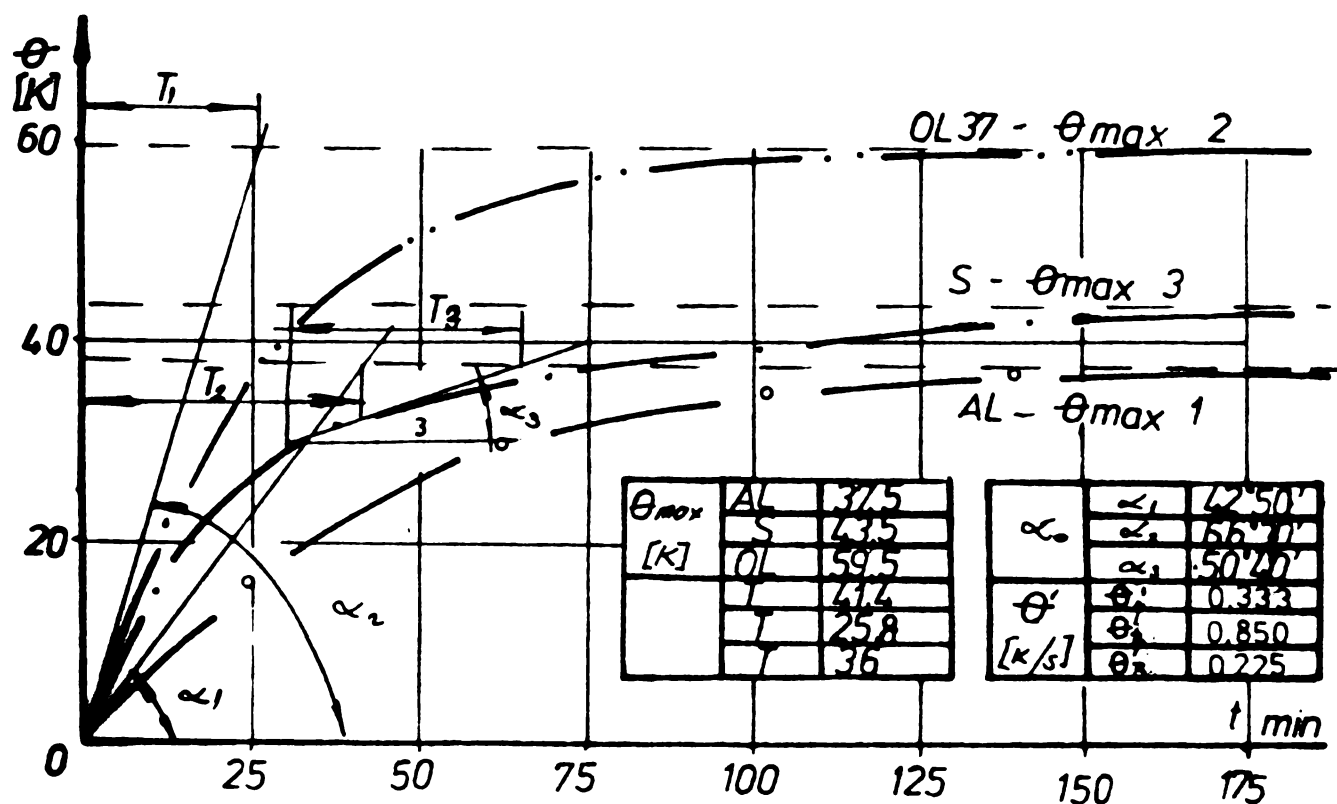


Fig.6.3. Curbele de încalzire la încercarea de stabilitate termică a îmbinărilor Otel-Al sudate prin freacă,  $I_H = 300$  A,  $j = 1,18 \text{ A/mm}^2$  : a - îmbinarea bimetal 6.19; b - îmbinarea bimetal 6.3.

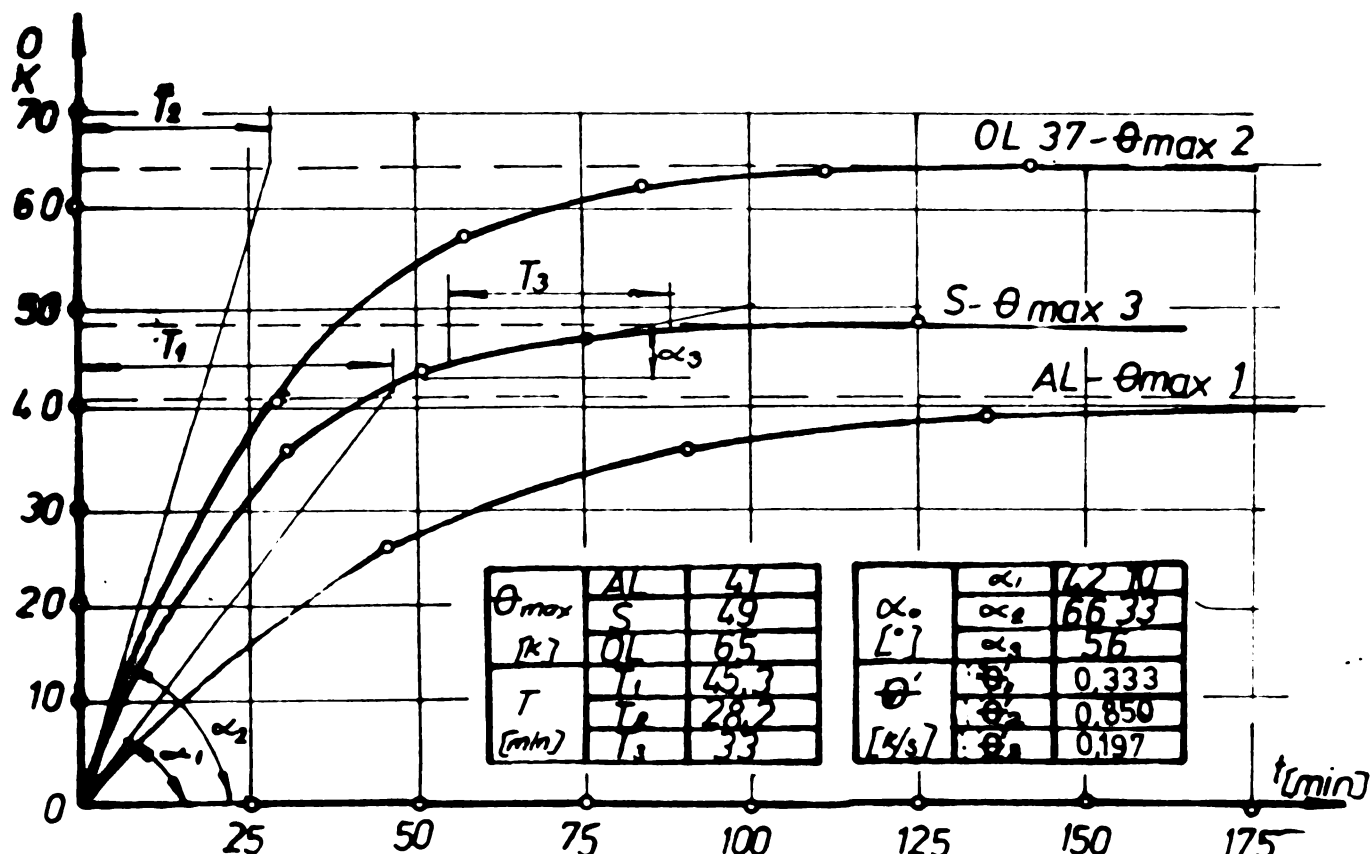
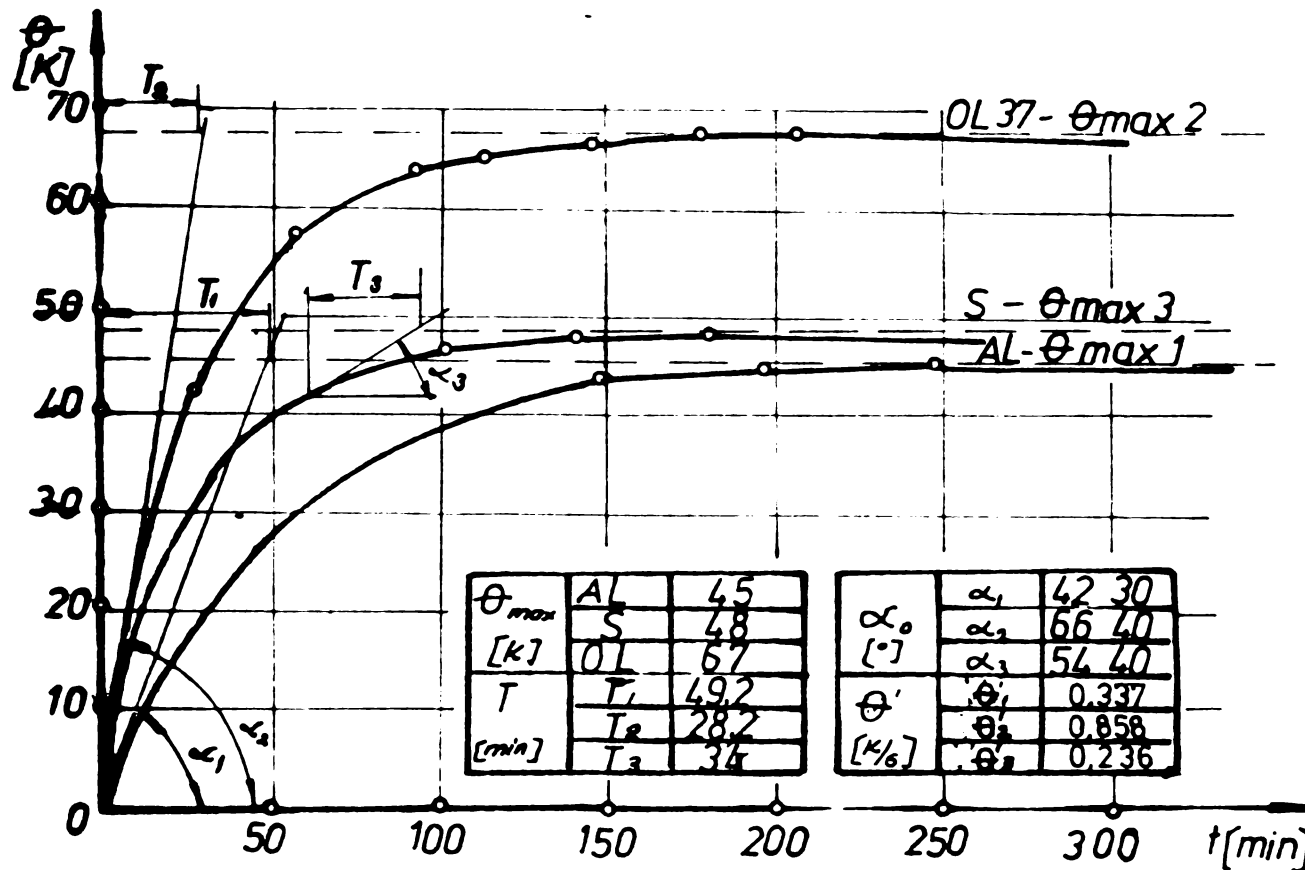


Fig.6.3.8 a - îmbinarea bimetal 6.5; d - îmbinarea bimetal 6.14.

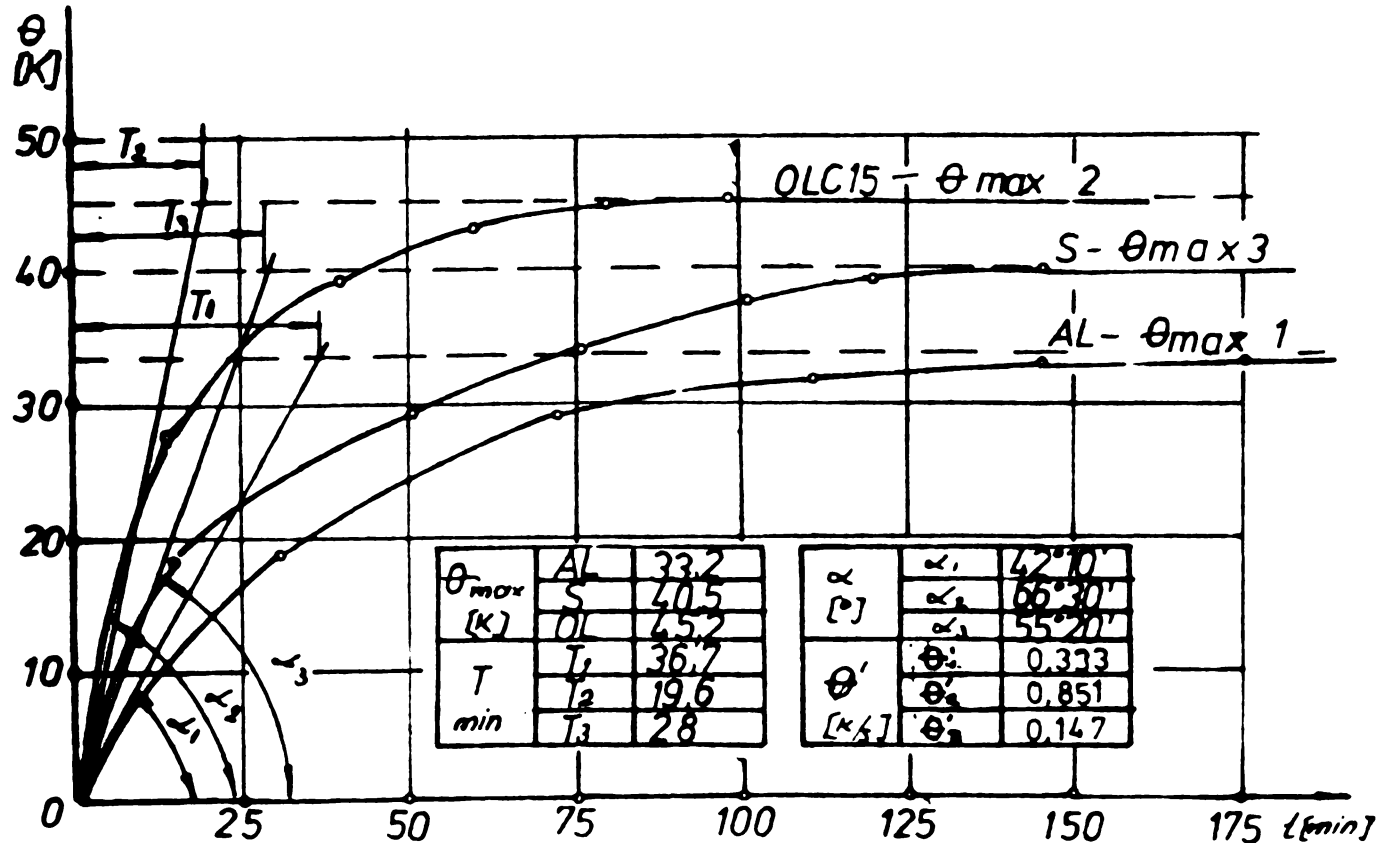
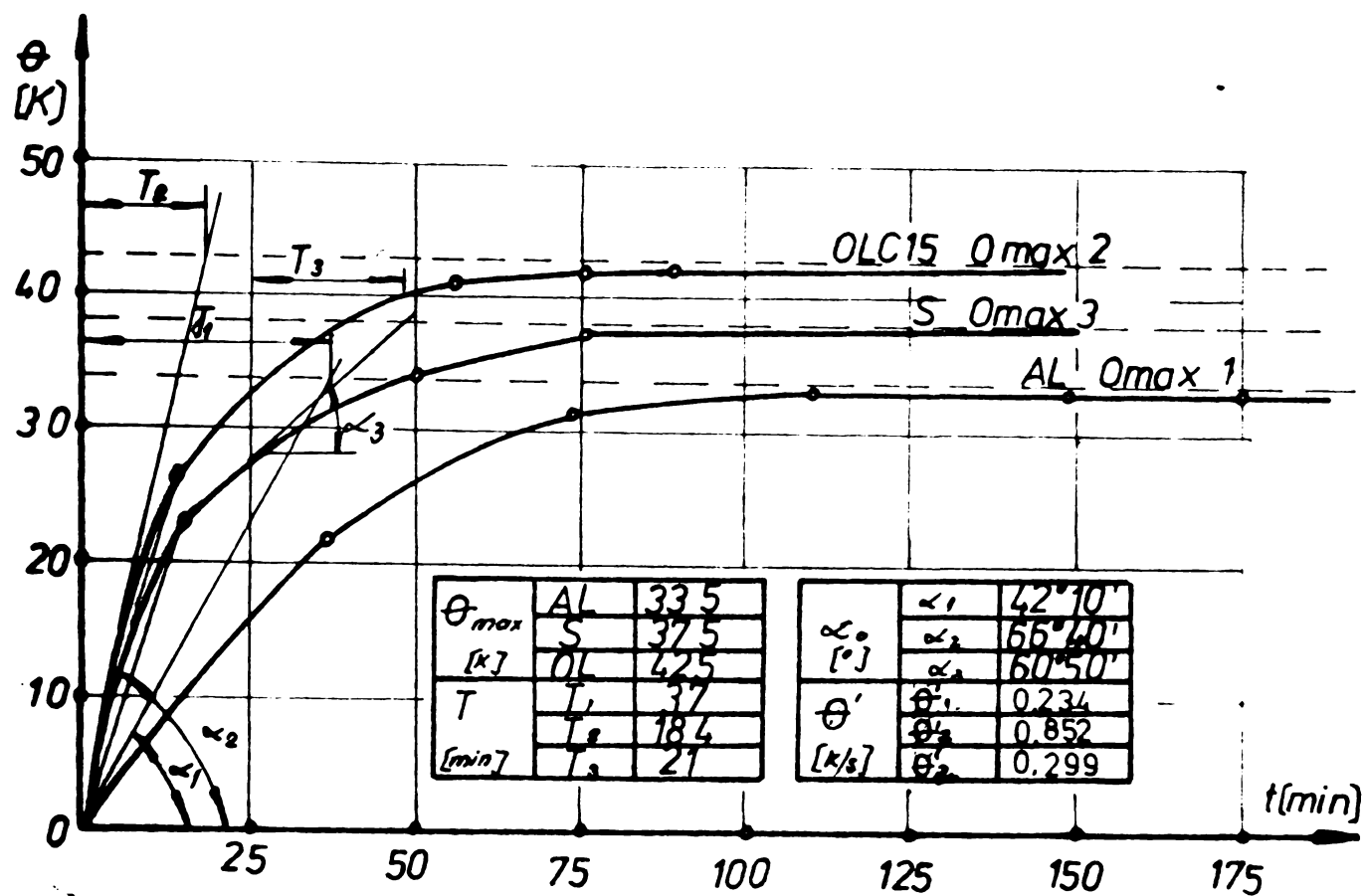


Fig. 6.3.-e) imbinarea bimetal 4.24; f) imbinarea bimetal 1.35

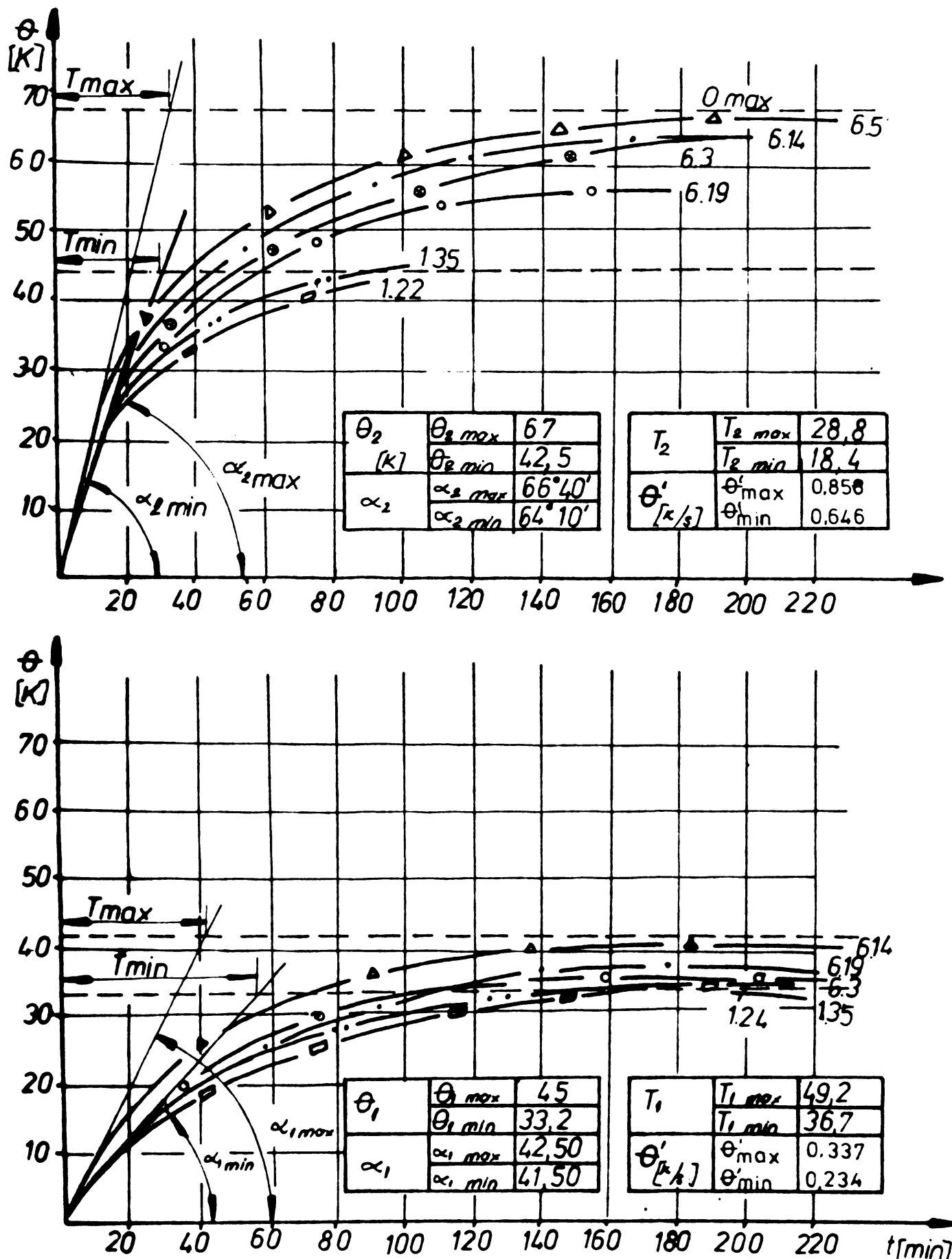


Fig.6.4. Curbele de încălzire la încercare de stabilitate termică a componentelor din Oțel-Al date prin frecare,  $I_h = 300 A$ ,  $j = 1,184 \text{ A/mm}^2$ : a - curbele compoziției din oțel și înclinările bimetal; b - curbele compoziției din Al și înbinărilor bimetal.

După încercarea dinamică la socuri de curent s-a urmărit obținerea pe cale analitică a diagramei  $t=f(I)$ , care să concorde cu datele provenite din experiment. În vederea stabilirii corelației între durată  $t$ , de trecere a curentului pînă la ruperea îmbinărilor Otel-Al sudate prin frecare și curentul nominal  $I_n$ , s-a utilizat următoarea relație:

$$t = \frac{a}{I_n^2} \quad (6.15)$$

Parametrul  $a$ , s-a determinat din expresia [30]:

$$\sum \log I_i \log t_i = 2 \sum \log t_i + \log a \sum \log t_i . \quad (6.16)$$

În stabilirea perechilor de valori  $t_i$ ,  $I_i$  s-au considerat rezultatele cuprinse în tabelele 6.1, 6.2, 6.10, 6.12. În urma efectuării calculelor se obține  $a = 661 \cdot 10^6$  și relația (6.15) devine:

$$t = \frac{661 \cdot 10^6}{I^2} , \quad (6.17)$$

iar după reprezentarea grafică (figura 6.8) se constată concordanța datelor experimentale cu funcția analitică.

În concluzie, îmbinările Otel-Al sudate prin frecare au fost ceritate dinamic la socuri de curent, utilizînd în acest scop valori ale curentului nominal de 1000, 3000, 4000 și 5000 A. Prin efectuarea încercărilor s-a urmărit comportarea îmbinărilor bimetal la densități de curent ( $3,93 \text{ A/mm}^2$ ) de 8, 9 ori mai mari față de cele utilizate în condițiile de exploatare ale DPA4,5,6 ( $0,44 \text{ A/mm}^2$ ), precum și modul în care se produce ruperea îmbinărilor sudate prin frecare sub acțiunea curentului electric la densități mari ( $11,79-15,72-19,65 \text{ A/mm}^2$ ), în acest sens fiind executate 252 măsurători. S-a constatat experimental că, în fază initială, viteza de încălzire prin efect Joule Lenz este anroniată în MB și sudură.

În creșterea duratei de trecere a curentului prin îmbinarea bimetal, viteza de încălzire în Al și sudură se reduce substanțial față de valoarea existentă în oțel, astfel, în intervalul  $500...600 \text{ K}$  ea este de 5 ori mai mică. Din această situație rezultă următoarele:

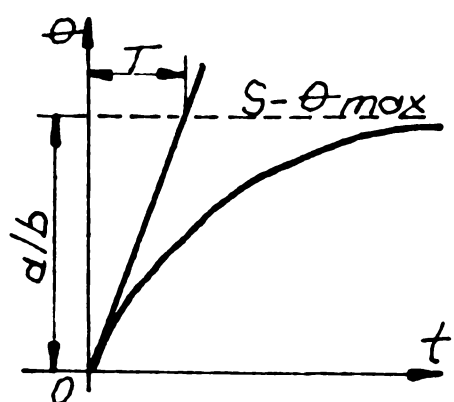


Fig. 6.5. Graficul functiei  $f(\theta)$

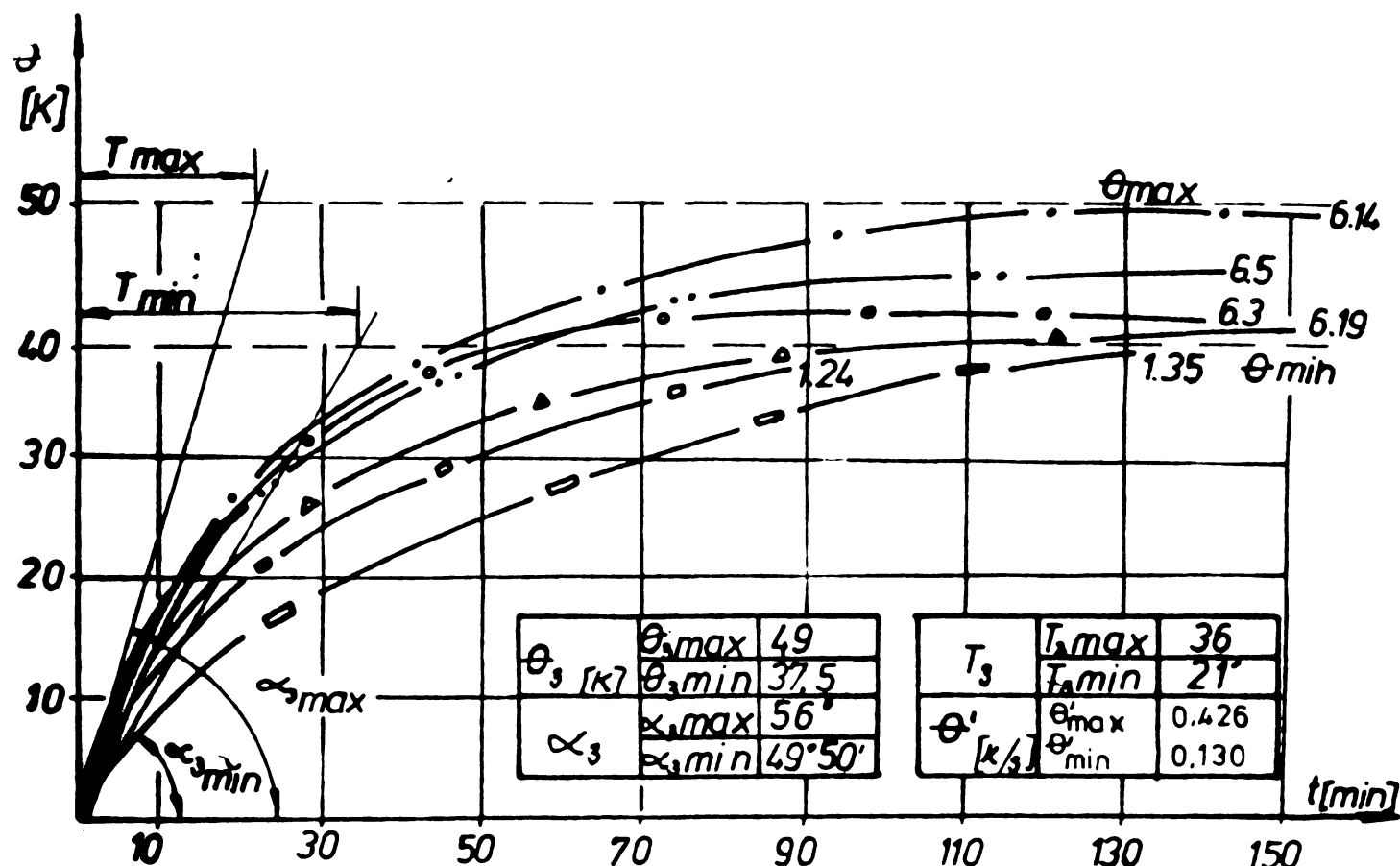


Fig. 6.6. Curvele de încălzire ale suportilor  
Otel - Al la încercarea de stabilitate  
termică a îmbinărilor bimetal,  $I_R = 300 A$   
 $j = 1,18 A/mm^2$ .

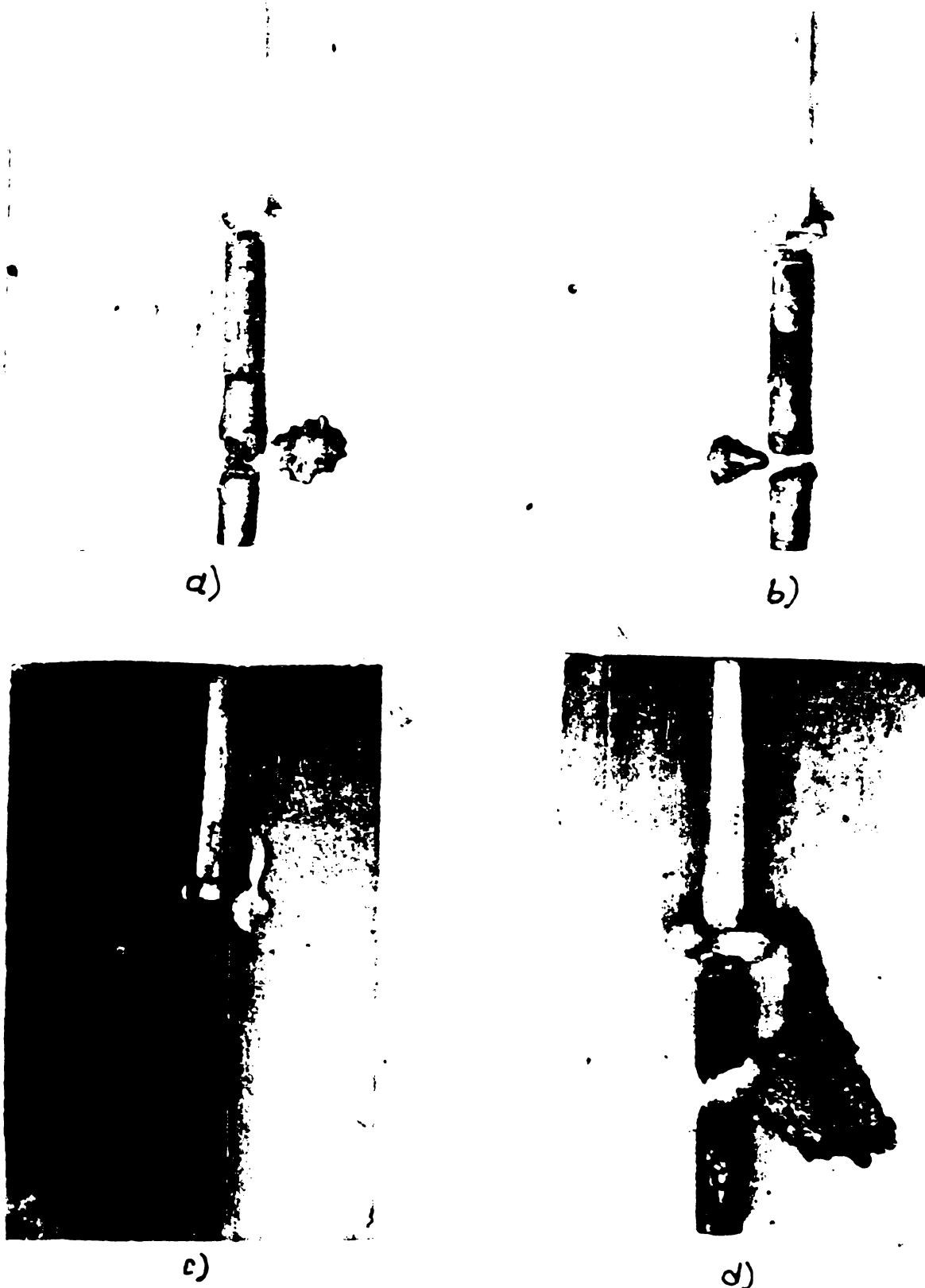


Fig.6.7.-Aspectul îmbinărilor Otel-Al după ruperea la  
șocuri de curent: a) OL37 - ATS15Fe,  $I_n = 5000$  A;  
b) OL37 - ATS15Fe,  $I_n = 4000$  A; c) OL15<sup>n</sup> - ATS15Fe,  $I_n = 3000$  A;  
d) OL37 - ATS15Fe,  $I_n = 3000$  A.

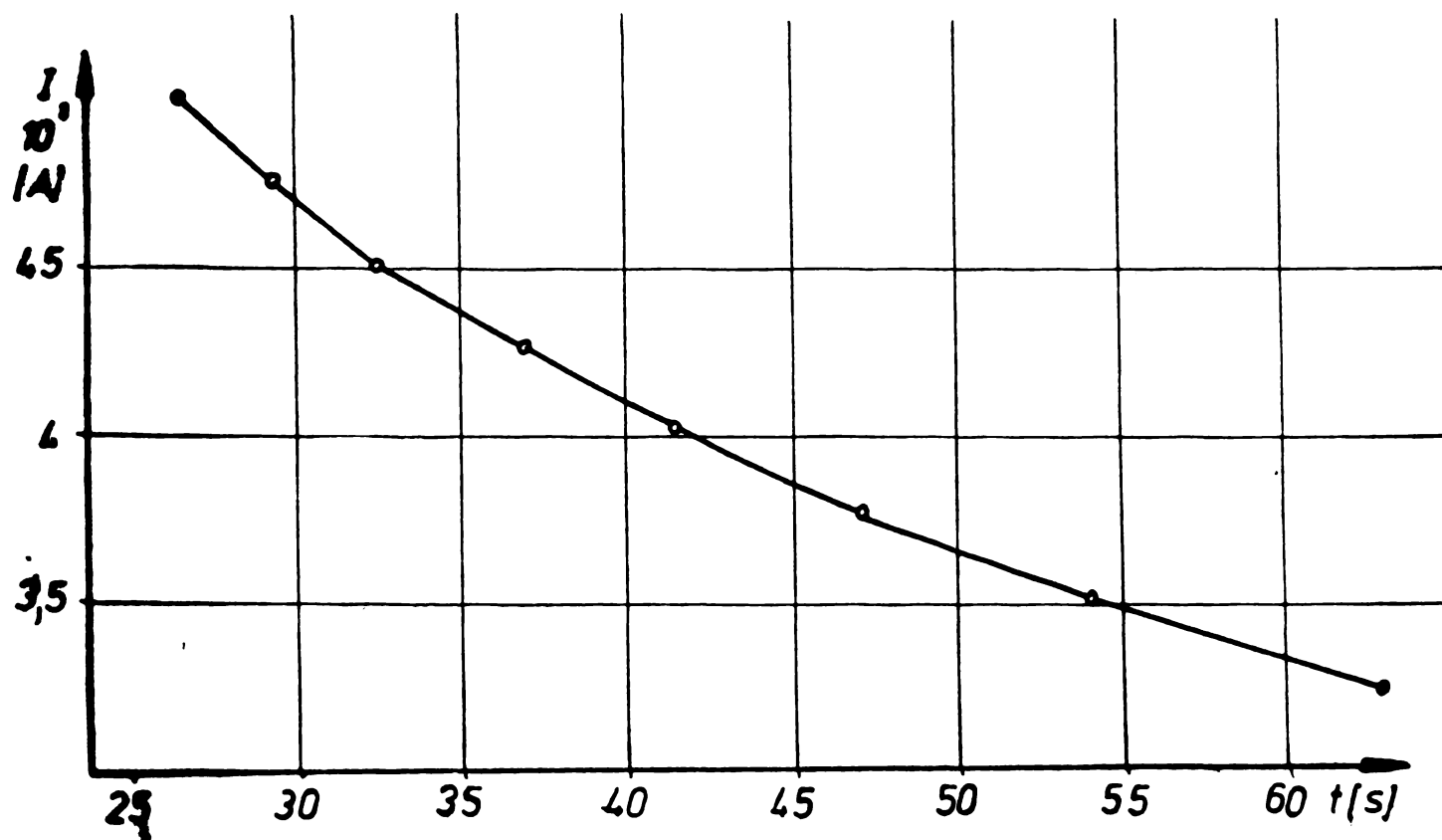


Fig.6.8.-Graficul funcției analitice  $t=f(I)$  de rupere a îmbinărilor Otel-Al prin șocuri de curent

-procesul de stabilizare termică este mai scurt la Al și suduri, fiind practic încheiat la 700 K;

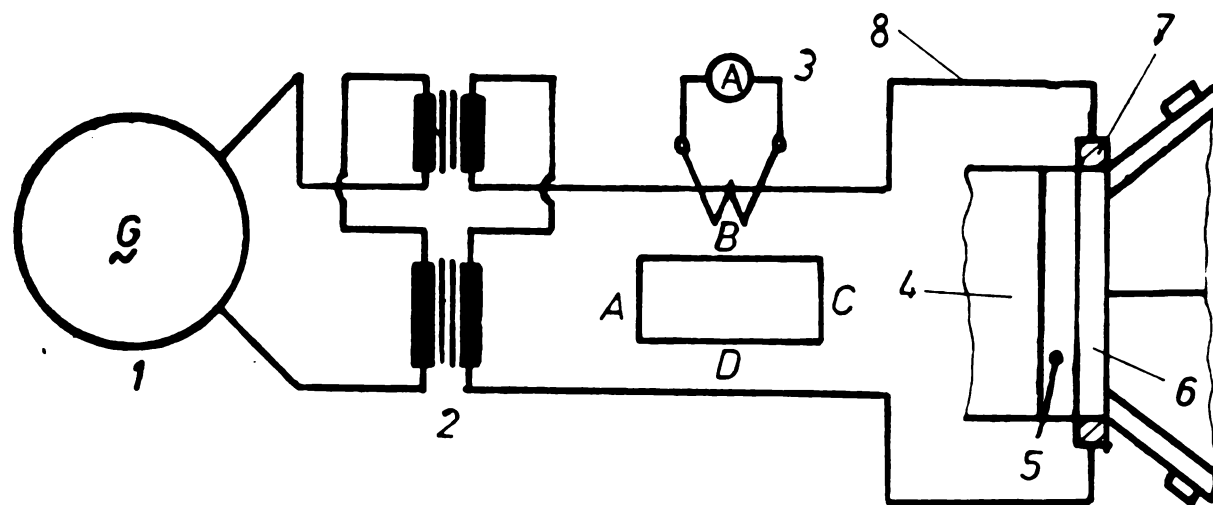
-producerea căldurii prin efect Joule Lenz în oțel este mai intensă decât transferul de căldură prin sudura bimetal în Al; astfel încât cele două componente nu se echilibrează termic;

-viteza ridicată de creștere a temperaturii (8 K/min la temperaturi mai mari de 600 K) conduce la supraîncălziri în oțel care pot determina topirea materialului dacă continuă acțiunea curentului electric.

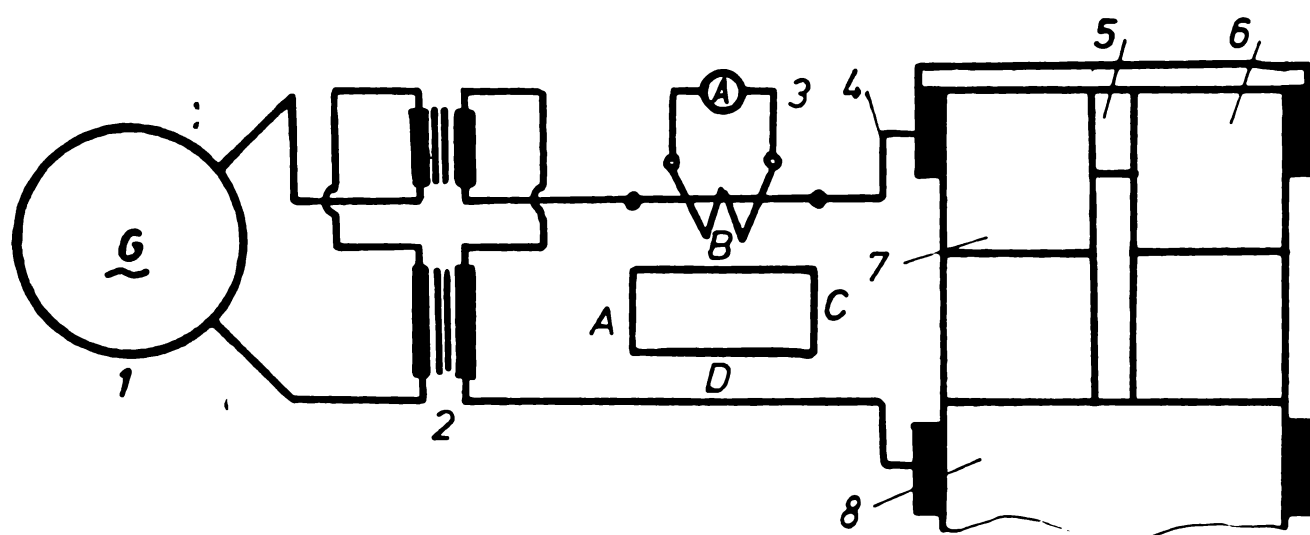
S-a provocat distrugerea îmbinărilor Otel-Al cu șocuri de curent, s-a analizat succesiunea fazelor pînă la ruperea termică și s-a examinat aspectul îmbinării după producerea ruperei. S-a constatat că ruperea sub acțiunea curentului a sudurii bimetal realizată prin frecare s-a produs concomitent cu ruperea, simplă sau multiplă, a componentei din oțel, urmare a neomogenității cimpului termic care produce vîrfuri de temperatură, acestea topind materialul pe toată grosimea.

**6.3.-Incercări electrice ale dispozitivelor port-anod**  
**DPA1 si DPA4**

S-au executat dispozitivele port-anod DPA1, DPA4 si s-au incercat electric, pentru a cerceta îmbinările Otel-Al sudate prin frecare ale DPA4 în comparație cu îmbinarea Otel-Al realizată la DPA1, cu o placă bimetal sudată prin explozie. Dispozitivele port-anod DPA1...6 sunt parcurse de curentul anodic  $I_a$  al cuvei de electroliză. DPA1, având o îmbinare Otel-Al sudată prin explozie, a fost încercat o singură dată la curentul nominal  $I_n = 5000 \text{ A}$  egală cu valoarea curentului anodic  $I_a$  (figura 6.9). DPA4, având patru îmbinări Otel-Al sudate prin frecare, a fost supus la două încercări: la prima s-au cercetat două îmbinări care au format două căi de curent în circuitul electric parcurs de curentul  $I_a/2 = 2500 \text{ A}$ , iar la a doua încercare s-au cercetat următoarele două îmbinări bimetal, la aceiasi valoare a curentului (figura 6.10). S-a măsurat temperatura componentelor și a sudurilor la diferite intervale de timp, s-a controlat temperatura mediului ambiant precum și a bornelor de alimentare, pe baza datelor experimentale apreciindu-se stabilitatea termică a DPA1,4 (tabelă 6.13, 6.14). Pentru aceste măsurări s-a utilizat un termometru electronic THERM 2112. S-a măsurat căderile de tensiune (tabelă 6.15) între punctele caracteristice ale îmbinărilor Otel-Al, în acest scop fiind folosit un voltmetru electronic. Temperatura și căderile de tensiune s-au determinat raportindu-se la aceleasi puncte de măsurare (figura 6.12). Punctele caracteristice au fost stabilite considerind că sudura prin frecare a DPA4 și sudura prin explozie a DPA1 se află, în cuva de electroliză, în același plan orizontal. Lungimea componentelor din oțel fiind aceeași, la îmbinările bimetal ale DPA1,4 s-a luat ca bază pentru efectuarea măsurătorilor planul punctelor 1,2,3,4,5 (figura 6.12), prin care, la DPA1,4 se realizează imbinarea tijei anodice din ATS15Fe cu tetrapodul din otel. Diferența de execuție între DPA1,4, constă din schimbarea procedeului de sudare a îmbinărilor bimetal și din lungimea componentei de Al, diferită la cele două dispozitive port-anod. Astfel, punctele 7 (figura 6.12) din tija anodică aparțin unui plan orizontal egal depărtat de planul sudurilor Otel-Al și reprezintă, de asemenea, puncte caracteristice ale DPA1,4.



**Fig.6.9.-Incerarea electrică a DPA1:** 1-generator sincron tip G.S.A.M., 390 kVA, 400 V, 563 A; 2-transformator monofazat 400/20, 10000 A; 3-transformator curent 10000/5 A; 4-tijă din ABS15Re; 5-componenta din Al a placii sudate prin explozie; 6-componenta din oțel a placii bimetal; 7-bare de contact din cupru; 8-bare din Al [125]



**Fig.6.10.-Incerarea electrică a DPA4:** 1-generator sincron tip G.S.A.M., 390 kVA, 400 V, 563 A; 2-transformator monofazat 400/20 1000 A; 3-transformator curent 10000/5 A; 4-bară din Al; 5-bară de contact din cupru; 6-componenta din oțel a îmbinării bimetal sudată prin frecare; 7-componenta din Al a îmbinării; 8-tijă din ABS15Re [125]

Valorile temperaturilor de stabilizare termică a DPA1,4 s-au comparat pe baza datelor obținute experimental (tabela 6.13, 6.14). S-a constatat (figura 6.11) că DPA4 asigură condiții mai bune de răcire și o temperatură de exploatare mai coborită a îmbinărilor Otel-Al față de DPA1.

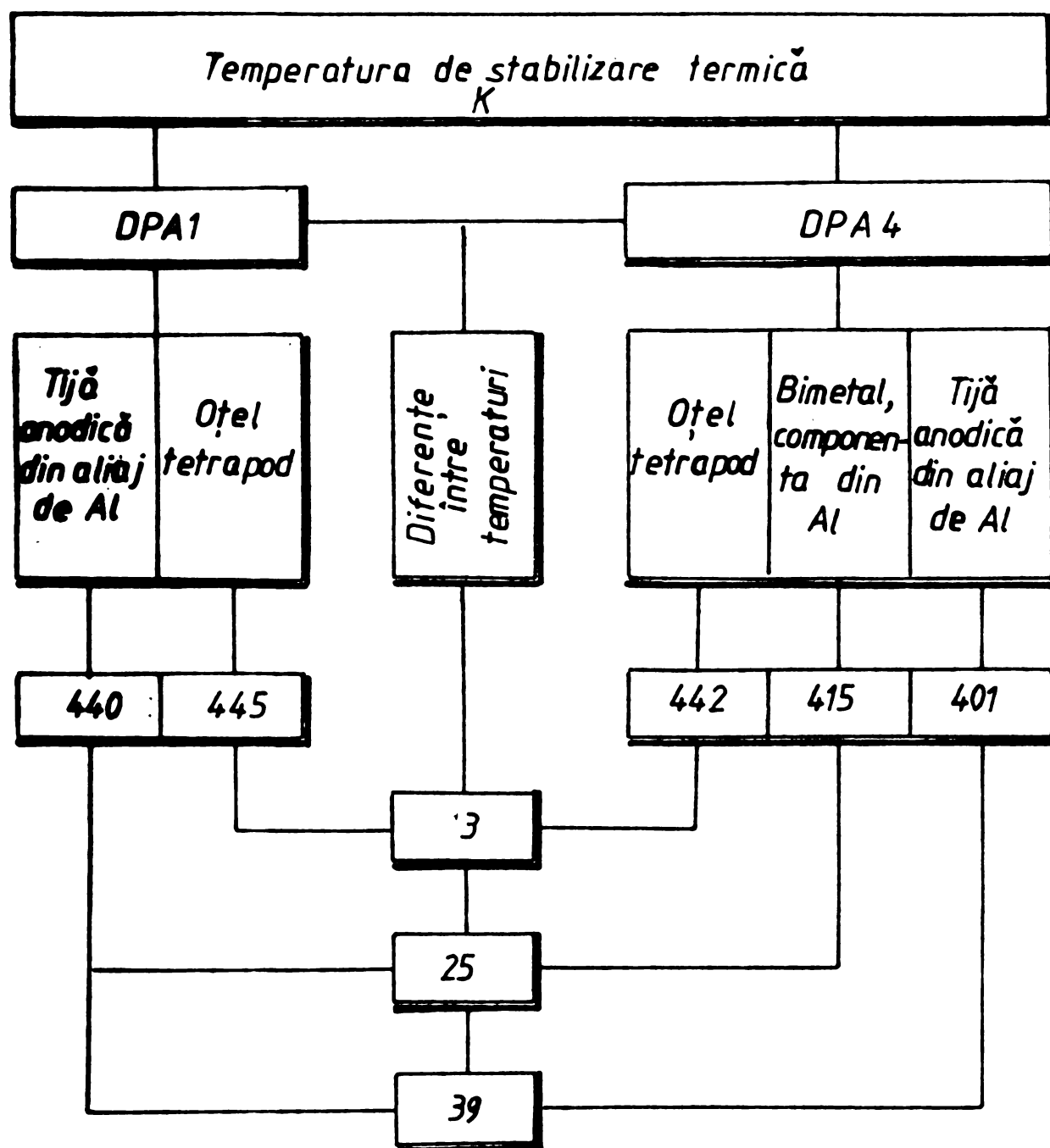


Fig.6.11.-Date comparative privind încălzirea DPA1,4 prin efect Joule Lenz

Explicația constă în faptul că placă sudată prin explozie se îmbină cu tija din aliaj de Al a DPAl printr-o cusătură MIG executată din trei straturi, față de 12 cîte se utilizează la sudurile de tip Al-Al ale DPA4. Astfel, în secțiunea redusă densitatea de curent fiind mai mare, încălzirea prin efect Joule-Lenz este mai puternică.

T A B E L A 6.13

Datele experimentale ale cercetării electrice a DPAl,  $I_n = 5000 \text{ A}$ .

Nr. crt.	Timbul plăcii bime- tal	Latura plăcii bime- tal	Temperatura în punctele de măsurare, $\text{K} - \text{K}$					
			Al	Sudură	Otel	Borne de alimentare	Al	Otel
1	2	3	4	5	6	7	8	9
1.	0		293	293	293	293	293	293
2.	90	A	403	403	428	348	371	293
3.	120	A	428	436	438	383	403	293
		B	428	436	448			
		C	428	435	-			
		D	423	437	448			
4.	150	A	433	433	440	393	409	293
		B	438	439	450			
		C	430	418	-			
		D	433	432	437	438	415	
5.	165	A	433	436	440	388	410	293
	:	B	440	441	455			
		C	430	437	-			
		D	437	441	448	397	419	

Căderile de tensiune în îmbinările Otel-Al ale DPAl, 4 (tabela 6.15) antrenează pierderi de energie electrică, la DPA4 reprezentând numai 19% comparativ cu DPAl (tabela 6.16).

T A B E L A 6.14

Datele experimentale ale cercetării electrice a DPA4,  $I_n = 2500 \text{ A}$ , prin cîte două îmbinări bimetal Otel-Al sudate prin frecare

Nr. crt.	Tim- pul	Imbină- rile Otel-Al	Temperatura în punctele de măsurare $\text{K} - \text{K}$								
			(figura 6.12)	1	2	18	19	3	4	14	
1.	0	1-2	348	378	336	323	-		335	338	331
2.	15		371	402	373	358	-	-	353	362	353
3.	45		379	404	383	371	-	-	364	370	363
4.	75		383	413	393	378	-	-	375	385	378
5.	85		385	415	395	380	-	-	375	386	382
6.	0	3-4	-	-	398	391	413	423	383	388	370
7.	45		-	-	408	405	428	508	508	403	380
8.	60		-	-	415	408	435	442	400	407	398
9.	105		-	-	415	412	436	442	403	408	401

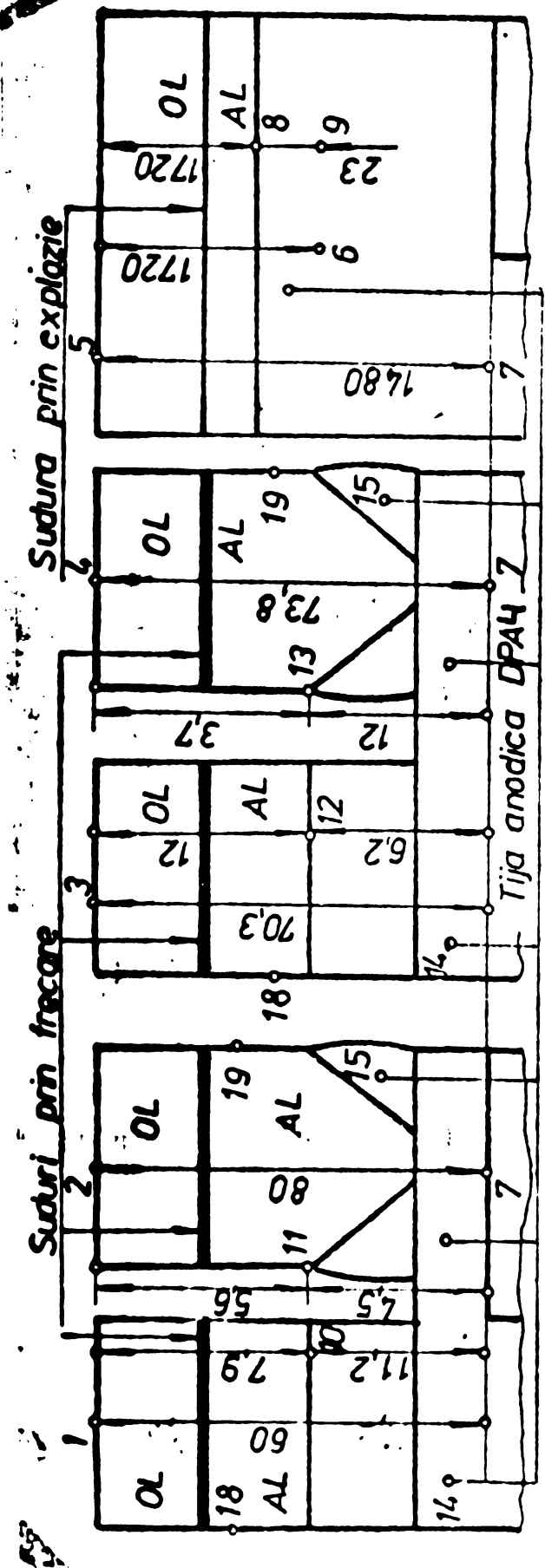


Fig. 6.12.-Punctele de măsurare și valorile căderilor de tensiune pe îmbinările sudate ale DPA4 și DPA4.

Căderile de tensiune pe îmbinările sudate ale DPA4.

T A B E L A 6.15

Dispozitivul port-anod	DPA 1	DPA 4
Punctele de măsurare (figura 6.12)	1 2 3 4 1 2 3 4 10 11 12 13	1 2 3 4 1 2 3 4 10 11 12 13
Căderile de tensiune mV	5-7 5-8 8-9 7 7 7 10 11 12 13 7 7 7	1480 1720 1720 2,3 60 80 70,3 73,8 7,9 5,6 12 3,7 11,2 4,5 6,2 12

Pierderi de putere și energie electrică în instalație Opel - Alte D.P.A 1,4

Jr.	Mărimea electrică considerată	D.P.A 1	D.P.A 4
1.	Căderi de tensiune $\triangle U$ $\frac{V}{V}$	Punctele de măsurare fig.6.10 Partiale $t \rightarrow t = 1$	$5 \quad \frac{1}{7} \quad \frac{1}{7} \quad \frac{2}{7} \quad \frac{3}{7} \quad \frac{4}{7}$ $1,48 \quad 0,06 \quad 0,08 \quad 0,0703 \quad 0,0738$ $1,48 \quad 0,2841$
2.	Pierderi de putere electrică $\triangle P$ $\frac{KW}{KW}$	$\triangle P = \triangle U \cdot I$ $I = 5000 \text{ A}$ $7,40$	$1,420$

3.	Pierderi de energie electrică $\triangle W$ $\frac{KWh}{KWh}$	$\Delta W = \Delta P \cdot t$ t: durata unui ciclu de utilizare în cure de selec- tiviză $t = 624 \text{ h}$	$886,08$
		În exprimare procentuală 100 %	$19 \%$

## 7.-ORGANIZAREA PROducțIEI DE SERIE A

### DISPOZITIVULUI PORT-ANOD

Dezvoltarea mereu crescîndă a cantității și complexității structurilor sudate a creat necesitatea concentrării fabricației în întreprinderi, secții sau sectoare separate ca unități industriale distințe. Această necesitate rezultă din următoarele considerente:

- prin centralizarea fabricației ansamblelor sudate se ajunge la o mai bună utilizare a spațiilor și utilajelor;
- prin natura lor, lucrările de sudare sunt o sursă de nocivități și degajări de gaze încărcate cu suspensii metalice care sunt foarte dăunătoare la o serie de lucrări;
- locurile de lucru unde se execută ansamblele sudate trebuie să fie dotate cu instalații specifice și utilaje auxiliare necesare proceselor tehnologice ale sudării, care nu se justifică în hale cu altă destinație.

#### 7.1.-Incadrarea execuției DPa 4,5,6 în criteriile de organizare a fabricației de structuri sudate

Organizarea producției dispozitivului port-anod vizează proiectarea unui atelier de producție cu capacitatea de 12.000 DP<sub>a</sub> 4,5,6/an. Dând caracterul producției există trei tipuri de organizare a fabricației: unicate sau serie mică, de serie și producție de masă. DP<sub>a</sub> 4,5,6 se încadrează în grupa de greutate 0,1...0,5 tone și la capacitatea de 12.000 bucăți/an rezultă că atelierul proiectat este de producție serie (tabela 7.1). În alegerea tipului de organizare a fabricației se tine cont că ansamblele sudate pot fi divizate [81]:

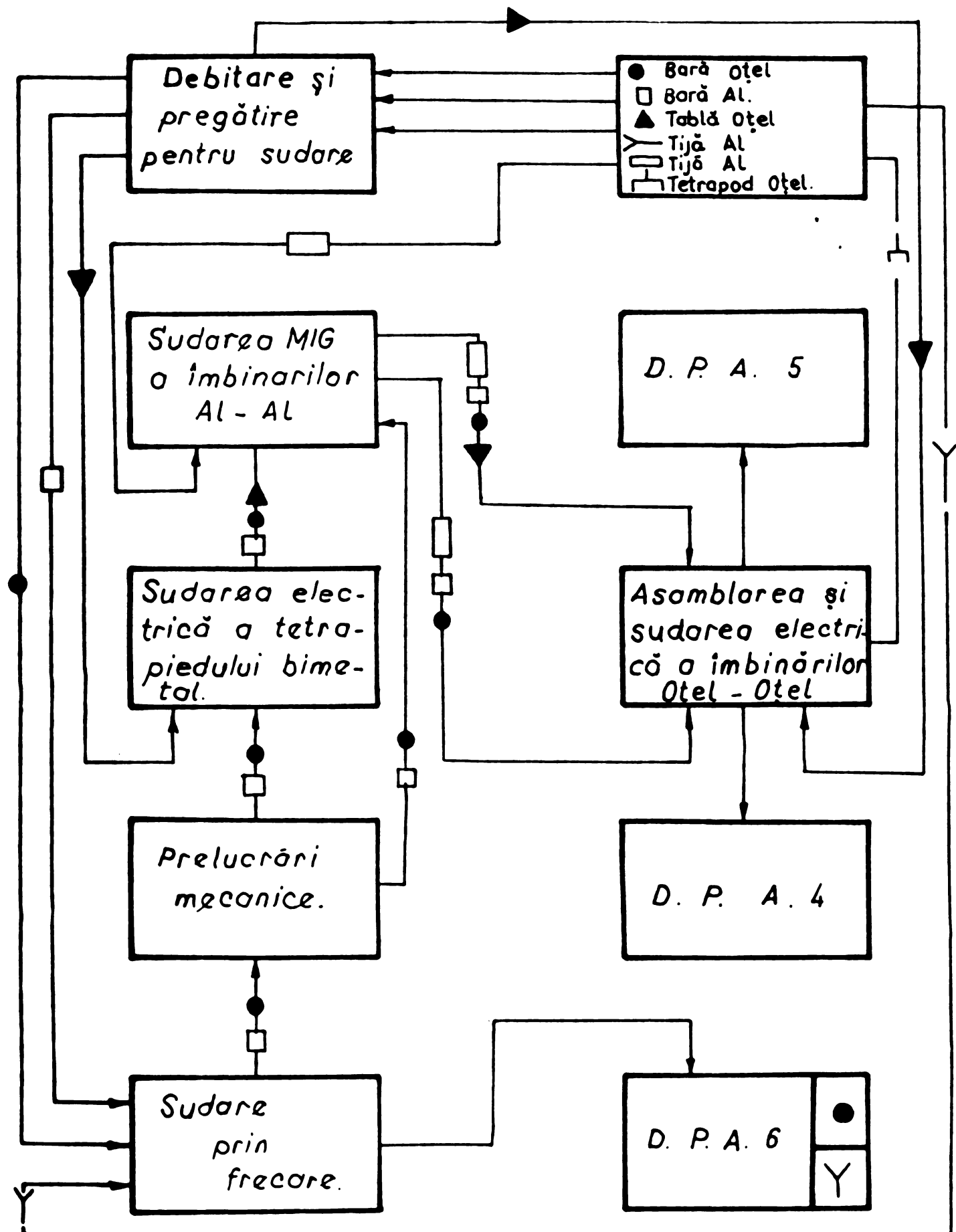
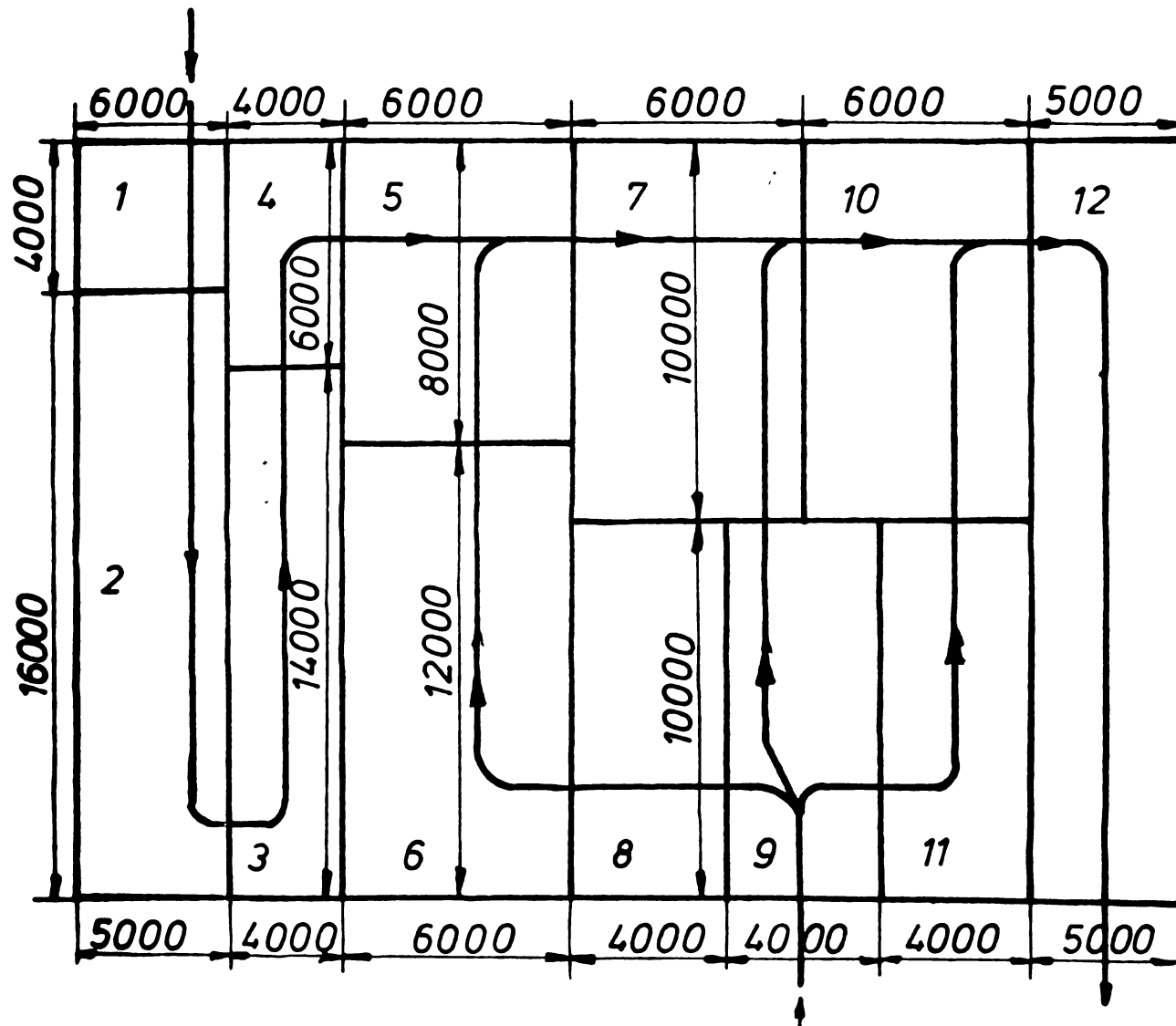


Fig.7.1.-Operări tehnologice în fabricația D.P. 4,5,6



**Fig.7.2.-Fluxul tehnologic în atelierul de fabricație a DPA 4,5,6;**  
**1-bare otel și bare Al; 2-tăiere mecanică; 3-strungire;**  
**4-sudare prin frecare; 5-asamblare bimetal; 6-frezare și**  
**găurire; 7-sudare MIG; 8-tăiere cu oxigen; 9-table din**  
**otel și tije din aliaj de Al; 10-asamblare generală;**  
**11-tetranozi din otel; 12-produse finite .**

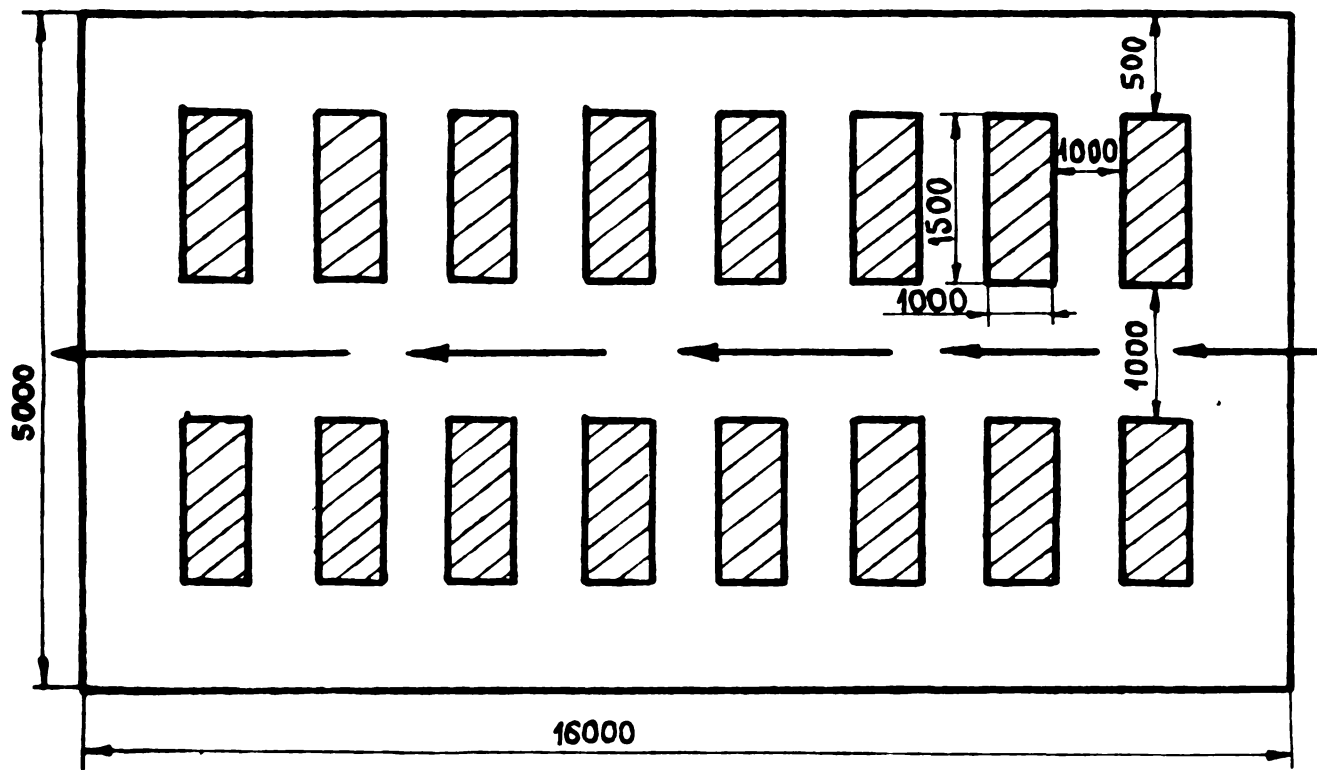


Fig.7.3.-Amplesarea fier-straelor alternative în fluxul tehnologic al sectorului 2.

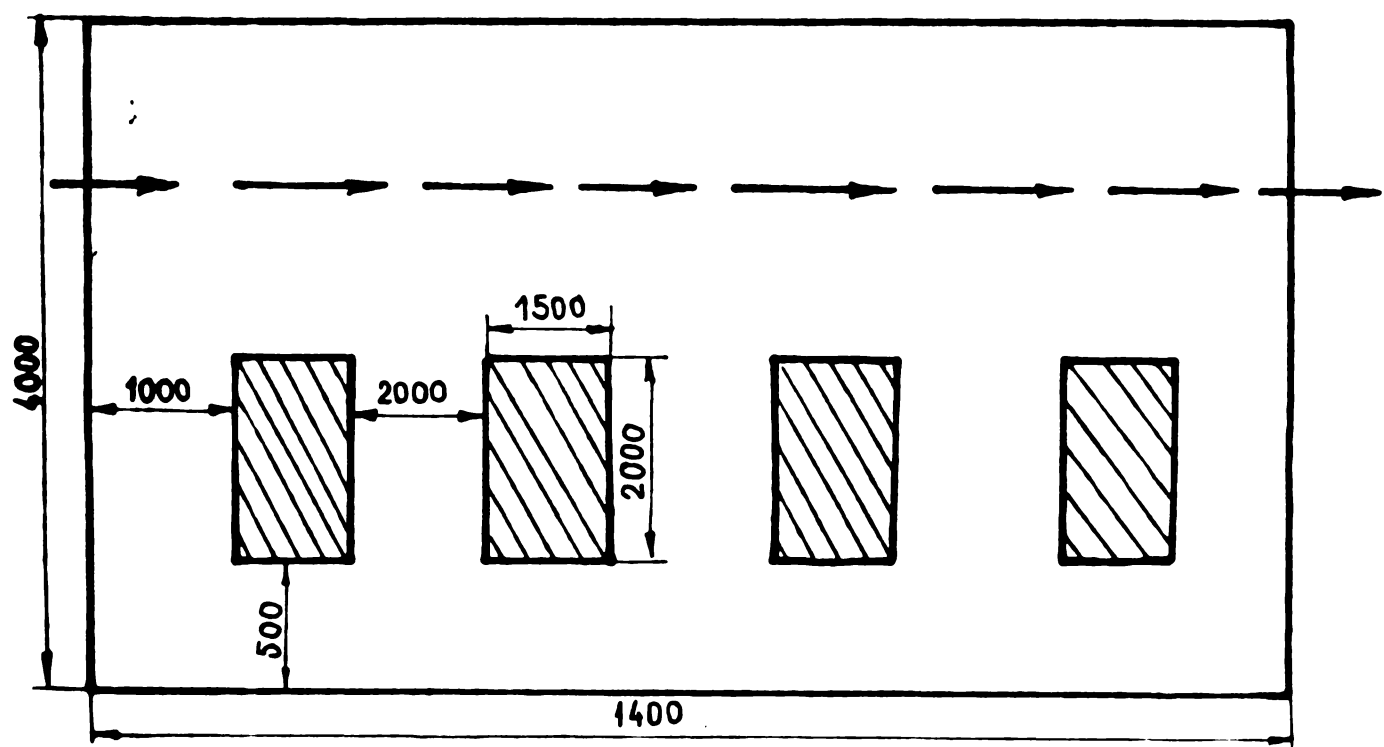


Fig.7.4.-Amplesarea strungurilor în fluxul tehnologic al sectorului 3.

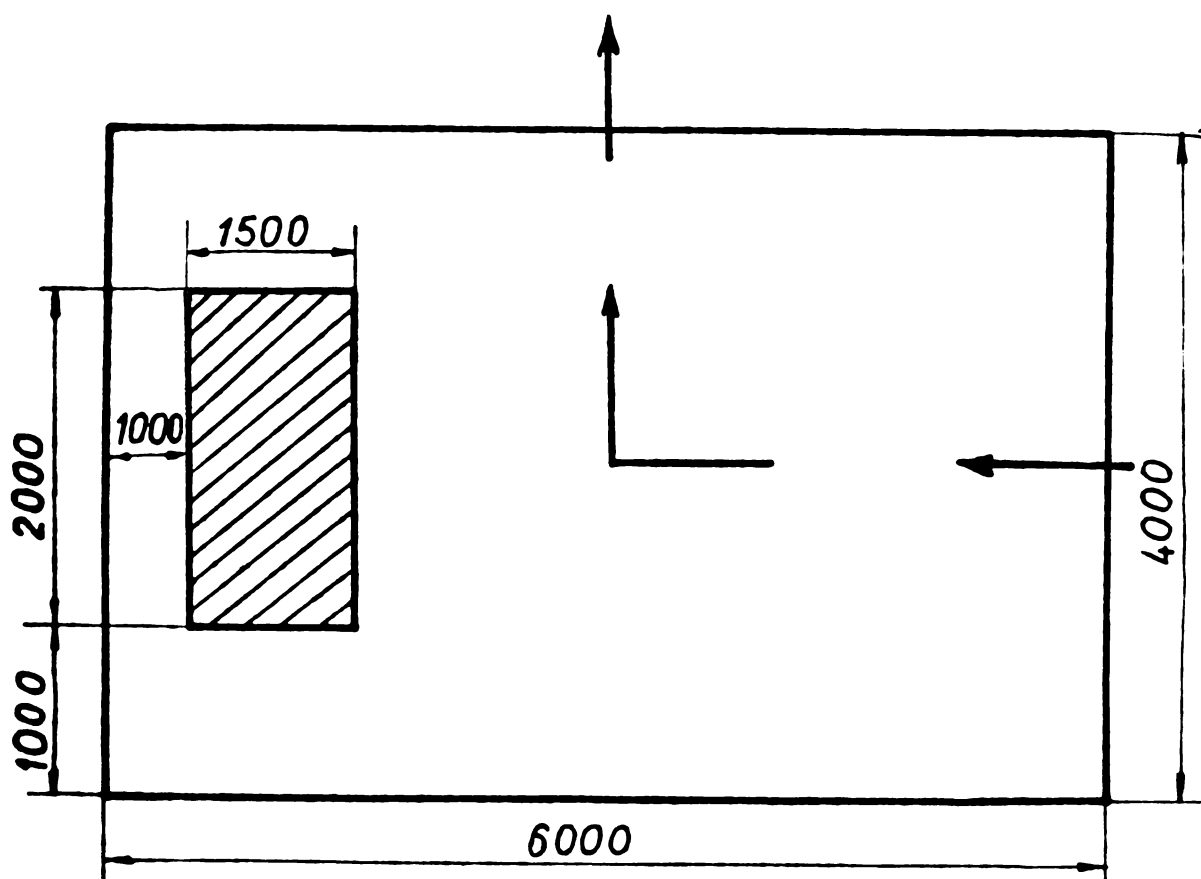


Fig. 7.5.-Amplesarea mașinii de sudat prin frecare în fluxul tehnologic al sectorului 4.

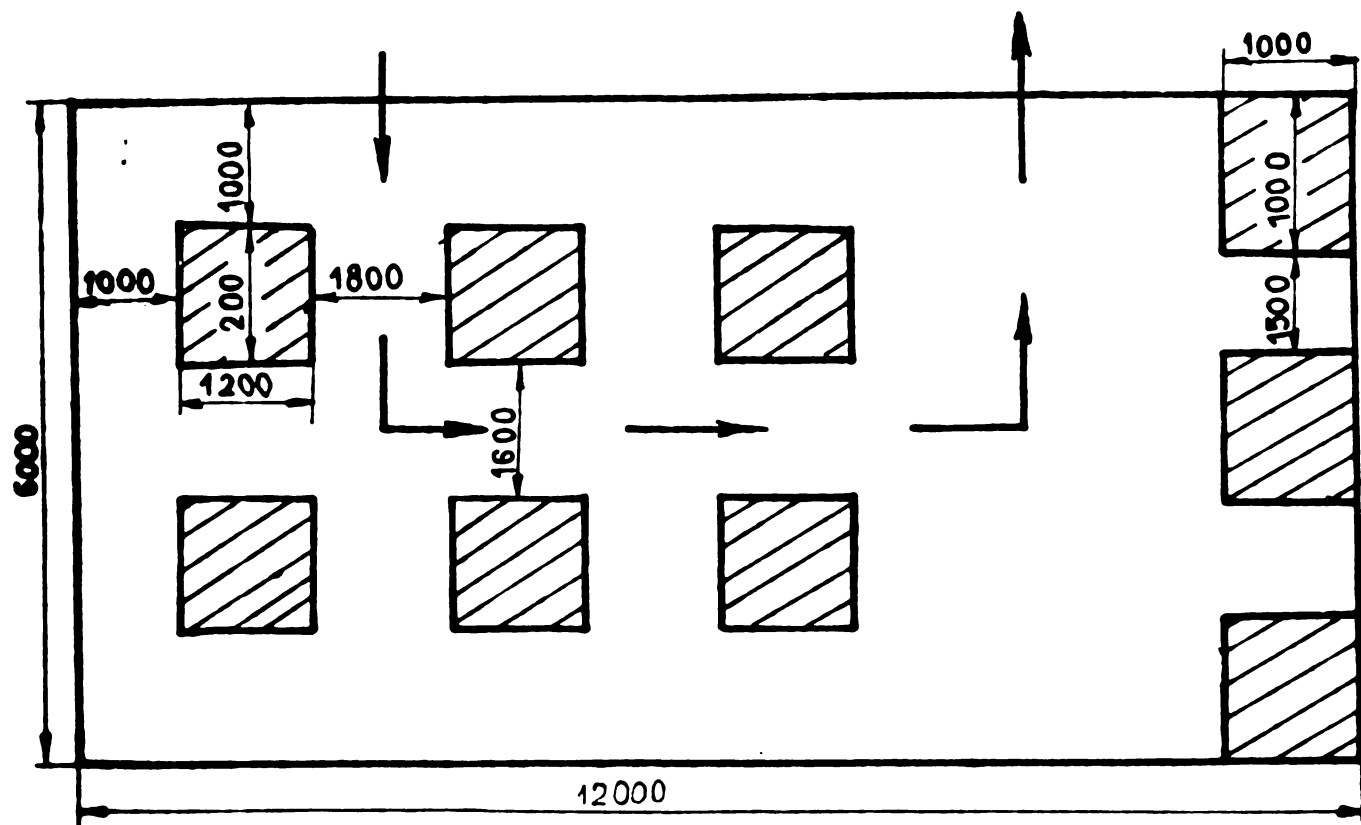


Fig. 7.6.-Amplesarea frezelor și mașinilor de găurit în fluxul tehnologic al sectorului 6.

T A B E L A 7.1

Programul de fabricație anuală a structurilor sudate [82]

Ansamble sudate (t)	Tipuri de fabricație			
	serie mică pînă la	serie	serie mare	m as a peste
sub 0,1	2.000	100.000	200.000	200.000
0,1...0,5	500	50.000	70.000	70.000
0,5...1,0	300	5.000	50.000	50.000
1,0...5,0	200	3.500	25.000	25.000
5,0...25,0	100	2.000	10.000	10.000

-după gabarit, în ansamble normale și de gabarit mare;  
-după greutate, în ansamble ușoare transportabile cu conveere și ansamble grele netransportabile cu conveere;  
-dună gradul de răspundere, în ansamble de mică răspundere (control periodic) și de mare răspundere, la care controlul integral al cusăturilor este strict necesar.

Potrivit acestor criterii, dispozitivele portabili sunt ansamble sudate cu gabarit normal, transportabile în conveere de mare răspundere în procesul de fabricație electrolitică a DPA. Dună procesul tehnologic operațiile predominante sunt cele de prelucrări mecanice în cadrul pregătirii pentru sudare și respectiv de sudare, utilizîndu-se în acest scop sudarea prin frecare. sudarea MIG și sudarea cu arc electric.

7.2.-Dimensionarea atelierului de fabricație a DPA 4,5,6

Analiza comparativă a procesului tehnologic al DPA 4,5,6 arată că cel mai scurt ciclu de fabricație îl are DPA 6, care rezultă direct din sudarea prin frecare

T A B E L A \_ 7 . 2

**Stabilirea numărului și a suprafeței utilizatorilor utilizate în fabricația DPA 4,5,6 [135...139]**

Nr. crt.	Operării în flux si nr. niese/operări	Norme de timp de operare	Total consumul mănușterii	Utilizatori		
				nr. utilajelor	tubul supratilitatii	utilizatorii la jumătatea lui
1	2	3	4	5	6	7
<b>Tăiere mecanică:</b>						
	-pt. 48.000 bare de otel <b>OL37</b> de 60 mm	0,50	27.840			
1.	-pt. 48.000 bare <b>Al</b> cu secțiune patrată cu latura 60 mm	0,16	7.680			
	-pt. 48.000 bare de otel <b>OL37</b> de 30 mm	0,52	24.960	16	<b>FA300</b>	1000 x 1500
	-pt. 48.000 bare <b>Al</b> cu secțiunea patrată cu latura de 60 mm (a două tăiere)	0,16	<u>7.680</u>			
			<u>68.160</u>			
<b>Tăiere manuală cu oxigen:</b>						
2.	-12000 plăci de otel <b>OL37</b> cu grosimea 10 mm	0,072	518,4		Generator	
	-12000 plăci de otel <b>OL37</b> cu grosimea 15 mm	0,079	568,8	1	acestila sunt tip SG	500x700
	-12000 plăci de otel <b>OL37</b> cu grosimea 20 mm	0,083	633,6		500x700 tub	
	-12000 plăci de otel <b>OL37</b> cu grosimea 30 mm	0,104	<u>748,8</u>		O <sub>2</sub>	
			<u>2505,6</u>			
<b>Tăiere mecanizată cu oxigen</b>						
3.	-12000 plăci de otel <b>OL37</b> cu grosimea 10 mm	0,034	410,4		Insta-	3000x2000
	-12000 plăci de otel <b>OL37</b> cu grosimea 15 mm	0,038	460,8	1	lărie de tăiat	
	-12000 plăci de otel <b>OL37</b> cu grosimea 20 mm	0,042	511,2		auto-	
	-12000 plăci de otel <b>OL37</b> cu grosimea 30 mm	0,049	<u>597,6</u>		mat	
			<u>1980</u>			

T A B E L A 7.2 (continuare)

1	2	3	4	5	6	7
	Găuri mecanică					
	-4 găuri $\phi 62$ x 12000 plăci otel OL37 de 10 mm	0,13	1560			
4.	-4 găuri $\phi 62$ x 12000 plăci otel OL37 de 15 mm	0,17	2040			
	-4 găuri $\phi 62$ x 12000 plăci otel OL37 de 20 mm	0,20	2400			
	-4 găuri $\phi 62$ x 12000 plăci otel OL37 de 30 mm	0,24	2880			
			8380			
	Găuri prin tăiere cu oxigen:					
	-4 găuri $\phi 62$ x 12000 plăci otel OL37 10 mm	0,064	768			
5.	-4 găuri $\phi 62$ x 12000 plăci otel OL37 15 mm	0,071	852			
	-4 găuri $\phi 62$ x 12000 plăci otel OL37 20 mm	0,080	960	1	SG	500 x 700
	-4 găuri $\phi 62$ x 12000 plăci otel OL37 30 mm	0,093	1116			
			5696			
	Pregătire pentru sudare prin strungire:					
6.	-conicitate suprafață frontală 48000 bare OL37 $\phi 60 = 4$	0,05	2400			2000x 1500
	-15 mm lungime la o extremitate rotind $\phi 60$ 48000 bare Al (patrat 60) $L_t = 720$ ml	0,06	2880	4	SN 320-750	
	-130 mm lungime 48000 bare OL37 de la $\phi 60$ la $\phi 30$ $L_t = 6240$ ml	0,24	1570 16800			
	Pregătire pentru sudare prin frezare:					
	-90 mm lungime pe două laturi pt. 48000 bare Al de la 60 la 40 $L_t = 4320$ ml	0,033	15840			
	-8x12 mm lungime pt. 48000 bare Al (frezare pt. prindere în bacuri) $L_t = 3840$ ml	0,10	4800	6	FUS	1'000x 1200

T A B E L A 7.2(continuare)

1	2	3	4	5	6	7
7.	-frezare plană 12000 bare bimetal spurafata de Al $S_f = 7,7 \times 10^5 \text{ mm}^2$ (rectificare	0,10 frezare 0,06 rectif.	1920			
	-frezare plană 12000 plăci otel OL37 150 x 150 $S_t = 27 \times 10^5 \text{ mm}^2$	0,13 frezare 0,09 rectif.	2640 <u>25200</u>			
8.	<b>Sudare prin frecare</b> 48000 bare OL37 48000 bare Al	0,05	2400	1	ZTAlo	750x 2000
9.	<b>Asamblare și sudare cu electrod metalic</b> 48000 bare bimetal + 12000 plăci otel OL37	0,60	28800	7	Conver- tizor sudare CSC tip CS5	2000 x 2000
10.	<b>Sudare MIG</b> pentru 12000 bare bimetal + 12000 tije Al	0,15	1800	1	MIG 400-1 MESSER GRIES- HAIM	3000 x 3000
11.	<b>Montaj general</b> pentru 12000 tije anodice + 12000 tetranozzi	0,60	7200	1	CSC CS 5	2000 x 2000

a componentei din otel cu tija din aliaj de al, aplicarea procedeelor de sudare MIG si cu arc electric nefiind nevoie (figura 7.1).

Introducerea materialelor în fluxul de fabricație al DPA 4,5,6 se efectuează prin stațiile 1 ( $4 \times 5$  m), 9 ( $4 \times 10$  m) și 11 ( $4 \times 10$  m) (figura 7.2). Sectorul 2 de tăiere mecanică ( $5 \times 16$  m) este prevăzut cu 16 fierăstrăe alternative

F.A.300 dispuse pe două rânduri de cîte opt cu distanță între ele de 1 m, conform normativelor N.T.S. (figura 7.3).

Sectorul 3 strunguri ( $4 \times 14$  m) are patru strunguri S.N. 320-750 așezate pe un rînd cu distanță între ele de 2 m, conform N.T.S. și în funcție de necesitățile producției (figura 7.4).

Sectorul 4 sudare prin frecare ( $4 \times 6$  m) cuprindea masina de sudare M.S.F.40 (figura 7.5).

Sectorul 5 asamblare bimetal ( $6 \times 8$  m) este înzestrat cu surse de curent continuu tip CS 5 pentru sudarea cu electrod metalic. În vederea asigurării unei ventilații corecte și sigure se procedează astfel:

- în cazul aspirației locale se asigură un debit de aspirație de  $70 \text{ L/S}$  la  $150 \text{ mm}$  arc sau  $280 \text{ L/S}$  la  $300 \text{ mm}$  arc;
- în cazul în care aspirația generală se face cu dispozitivele care nu se poate debloca gura de aspirație se va asigura un debit de  $7-11 \text{ m}^3/\text{min}$  și post de sudare, iar în cazul ventilației generale  $56 \text{ m}^3/\text{min}$  și post de sudare.

Sectorul 6 frezare și găurire ( $6 \times 12$  m) este dimensionat în funcție de dimensiunile utilajelor, normele N.T.S. și de necesități tehnologice. Are șase freze F.U.S. și trei mașini de găurit G 13 (figura 7.6).

Sectorul 7 sudare MIG (6 x 10 m) a fost dimensionat pentru instalatia VARIOMIG 400-1 Messer Griesheim. Supradimensionarea sectorului s-a facut datorita normelor N.T.S., a spatiilor adiacente pentru transport, a spatiilor pentru depozitarea subansamblelor in vederea raspalirii. Sudarea facindu-se in straturi multistupe. Ventilatia se face prin sistemul de la sectorul 5, cu care se invecineaza (figura 7.2).

Sectorul 8 tăiere cu oxigen (4 x 10 m) este dotat cu utilaj pentru tăierea manuală și mecanizată a tablelor din otel, masina automată de tăiere termică cu brat articulat **MATT-A**.

Masina **MATT-A** este echipată cu un arzător **ATOG-A** de tip "joasă presiune" destinat tăierii cu oxigen pe mașini automate a tablelor din otel cu grosimi 3...300 mm și conținut de carbon sub 0,25%, admitînd debitul de oxigen pînă la 3 daN  $m^3/h$  sau respectiv 1 N  $m^3/h$  și 0,2 bar, pentru acetilenă. Generatorul de acetilenă și tuburile de oxigen se găsesc în spații speciale amenajate, conform N.T.S.

Sectorul 10 asamblare generală dispozitiv port-anod (6x10 m) este prevăzut cu surse de sudare CWS-5 și se racordează la sistemul de ventilație al sectoarelor 5 și 7.

Dimensionarea atelierului de fabricație a dispozitivului port-anod s-a facut în funcție de suprafața utilajelor, de necesitatea unor spații pentru personal, transport și depozitarea subansamblelor. Transportul se asigură cu cărucioare metalice pe loturi de subansambla.

## 8. CONSIDERATII FINALE SI CONTRIBUTII ORIGINALE

Teza de doctorat cuprinde rezultatul studiilor și cercetărilor întreprinse de autor în domeniul aplicării industriale a sudării în metalurgia Al. Studiile și cercetările efectuate constau în optimizarea concepției și execuției dispozitivului port-anod, particularizându-se la sudarea îmbinărilor Oțel-Al. Partea experimentală s-a desfășurat în perioada 1979-1982 pe baza a cinci contracte de cercetare științifică [126,127,128], în valoare totală de 1.550.000 lei, din care 1.050.000 lei s-au folosit în cadrul programului de experimentări pentru aplicarea sudării prin frecare în metalurgia Al.

In baza lucrării elaborate se pot preciza următoarele considerațiuni finale și concluzii în ce privesc contribuțiile originale ale autorului.

### 8.1. Considerațiuni finale

Din analiza problemelor studiate și încercate în cadrul lucrării elaborate au rezultat următoarele considerațiuni finale:

8.1.1. Studiile și cercetările care fac obiectul prezentei teze au scos în evidență posibilitatea și oportunitatea aplicării procefului de sudare prin frecare în metalurgia Al, obținându-se stabilitatea procesului de sudare a îmbinărilor Oțel-Al, productivitate și consum energetic minim.

8.1.2. Modificările constructive ale dispozitivului port-anod sudat prin frecare, care s-au efectuat față de dispozitivul port-anod sudat prin explozie, nu au creat dificultăți privind debitarea și prelucrările mecanice ale semifabricatelor utilizate.

8.1.3. Controlul nedistructiv cu radiații penetrante al tijei anodice și componente din Al a îmbinărilor bimetal a pus în evidență defecte specifice pieselor turnate, în special goluri (5.1.5).

8.1.4. Cercetările efectuate pentru determinarea distribuției defectelor în cusătura Oțel-Al sudată prin frecare au arătat, prin examinare cu lichide penetrante, o creștere a numărului și mărimi defectelor dinspre suprafață către exa îmbinării sudate (figura 5.7).

8.1.5. Realizarea unei mașini specializate pentru sudarea directă a tetrapodului din oțel de tija din aliaj de Al este necesară, în vederea trecerii la fabricația de serie a dispozitivului port-anod sudat prin frecare. Conform discuțiilor preliminare, ISIM Timișoara se angajează să proiecteze o asemenea mașină. Parametrii principali ai mașinii de sudat prin frecare propuse, se prezintă în tabela 8.1.

8.1.6. Organizarea fabricației centralizate a dispozitivului port-anod, cu dotări corespunzătoare de scule, dispozitive și mașinii pentru prelucrări mecanice (tabela 7.2), devine necesară odată cu introducerea în producție a mașinii de sudat prin frecare specializate.

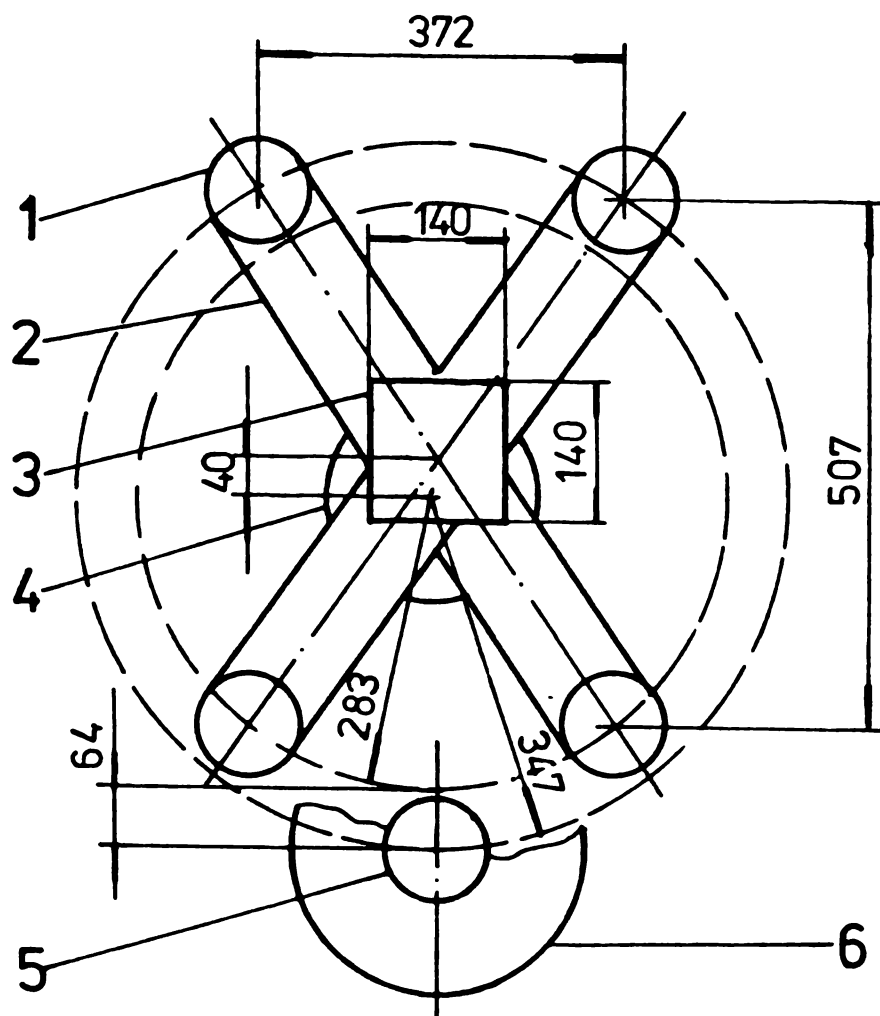


Fig.8.1. Poziția dispozitivului port-anod pe mașina de sudat prin frecare: 1) terminație din Al; 2) rami-ficație; 3) coloana tijei din Al; 4)dispozitiv de poziționare; 5) componentă din oțel; 6) mandrină hidraulică.

8.1.7. Cercetările întreprinse în prezenta teză se pot extinde la partea catodică a circuitului electric al cuvei. În acest scop se pot stabili soluții privind aplicarea sudării prin frecare pentru înlocuirea plăcii Oțel-Al sudată prin explozie, cu care se îmbină, în prezent, benzile din Al cu tija catodică din oțel (3,4 figura 1.2).

8.1.8. Introducerea pe scară largă în producție a dispozitivului port-anod sudat prin frecare poate aduce importante economii valutare, prin diminuarea importului de plăci bimetal sudate prin explozie (1.2).

Economiile se pot estima la un total de cca. 6...lo mil. lei valută/an.

## 8.2. Contribuții originale

În capitolele 2-3 ale lucrării, care cuprind problemele privind sudarea dispozitivului port-anod, precum și în capitolele 5-6, care conțin date despre controlul calității și încercările electrice ale îmbinărilor Oțel-Al, sunt prezentate o serie de rezultate originale care constituie revendicări tehnico-științifice ale autorului. Dintre acestea se evidențiază:

8.2.1. - Optimizarea tehnologiei de sudare în mediu de gaz protector a dispozitivului port-anod utilizat în metalurgia Al, cu scopul creșterii siguranței în funcționare și a duratei de exploatare (3.2, 3.3.2, 5.2.1).

8.2.2. Concepția, proiectarea și construirea unui dispozitiv port-anod sudat prin frecare, care se obține fără îmbinări sudate Al-Al și Oțel-Oțel comparativ cu dispozitivul port-anod utilizat în prezent. Această realizare formează obiectul unui brevet de invenție [10].

8.2.3. - Optimizarea alegerii materialului pentru îmbinarea Oțel-ATSi5Fe sudată prin frecare. S-au experimentat șapte mărci de oțeluri: OL37, OL42, OL52, OLC15, 25MoCr11, 33MoCr11, 30MoCrNi20. Cercetările au demonstrat că îmbinarea sudată OL37-ATSi5Fe dă rezultatele cele mai bune (2.1,5.1.1).

8.2.4. Concepția, proiectarea și realizarea unor dispozitive pentru sudarea îmbinărilor Al-Al cu răcirea sudurilor prin frecare în timpul sudării MIG și electrice a dispozitivului port-anod (figurile 3.8,3.14,4.2,4.3).

T A B E L A 8.1

Caracteristici tehnice ale mașinii specializate de sudare prin frecare a dispozitivului port-anod.

Nr. crt.	Denumirea caracteristicii	U/M	Valoare
1	2	3	4
1.	Secțiunea maximă a componentelor de sudat (OL37 -ATSi5Fe)	mm <sup>2</sup>	6500
2.	Lungimea maximă a componentelor		
	- în mandrină hidraulică	mm	300
	- în menghină hidraulică, cu sprijin suplimentar		3000
3.	Turația componentei în mișcare de rotație	rot min	700 1450
4.	Forța de frecare maximă	kN	300
5.	Forța de refulare maximă		450
6.	Timpul de frecare	sec	10...40
7.	Timpul de refulare		3...10
8.	Cursa maximă a saniei	mm	500
9.	Dispozitiv de rotire a tijei anodice pentru poziționarea ramificațiilor din Al în dreptul componentei din oțel; distanța între axa de rotație a dispozitivului și axa mandrinei (figura 8.1):		
	- distanță minimă		283
	- distanță maximă		347
10.	Tensiunea de alimentare	V	3 x 380
11.	Puterea motorului de antrenare	kW	50
12.	Productivitatea mașinii la secțiunea maximă a componentelor de sudat	suduri ora	24
13.	Dimensiuni de gabarit	mm	
	- partea mecanică		4000 x 2300 x 2000
	- panoul hidraulic		1300 x 1400 x 1800
	- dulapul electric de comandă		700 x 500 x 1300

8.2.5. Elaborarea unor criterii de apreciere a calității componentelor din Al pentru admiterea sau respingerea lor de la sudarea prin frecare a dispozitivului port-anod, pe baza controlului radiografic (tabela 5.11).

8.2.6. Cercetîndu-se corelația dintre temperatura de exploatare și rezistența la rupere a îmbinărilor Otel-Al sudate prin frecare, rezultă că intervalul critic s-a obținut pentru un plafon de 1000 ore de funcționare, ceea ce corespunde cu 1,48 cicluri de utilizare în cuvele de electro-liză(5.1.3).

8.2.7. Prin cercetarea microstructurală a îmbinărilor bimetal sudate prin frecare se stabilește că zona influențată termic a componentei din Al este 15...20 mm. Nu se constată prezența unor constituenți fragilizați în îmbinarea Otel-Al, (figura 5.15...5.18).

8.2.8. Prin concepția constructivă și tehnologia de execuția utilizată, pierderile de energie electrică pe îmbinările Otel-Al sudate prin frecare reprezintă numai 19% din pierderile existente pe îmbinarea bimetal a dispozitivului port-anod sudat prin explozie, (tabela 6.16).

NOTATII FOLOSITE IN TEXT

- A<sub>5</sub> - alungirea la rupere  
a<sub>p</sub> - coeficient care estimează stabilitatea temperaturii  
c - căldura specifică  
d<sub>n</sub> - diametru nominal  
E - modul de elasticitate  
I<sub>a</sub> - intensitatea curentului anodic  
I<sub>n</sub> - intensitatea curentului nominal  
j - densitatea de curent  
KCU - reziliență  
L - lungimea conductorului  
LL - limita superioară a temperaturii de lucru  
MB - metal de bază  
m - masa conductorului  
- media populației originare  
n - turăția motorului  
- numărul valorilor determinate experimental  
P - puterea electrică  
p<sub>f</sub> - presiunea de frecare  
p<sub>r</sub> - presiunea de refulare  
R - rezistența electrică  
R<sub>m</sub> - rezistența la rupere la tracțiune  
R<sub>p</sub> - limita de curgere a materialului  
R<sub>r</sub> - rezistența tehnică de durată  
R<sub>xy</sub> - coefficientul corelației simple de sondaj  
S - secțiunea îmbinării  
- abaterea medie pătratică  
S<sub>r</sub> - suprafața de răcire  
T - constanta de timp a încălzirii  
t - timpul în S, min, h  
t<sub>c</sub> - valoarea de sondaj a testului Student  
t<sub>f</sub> - timp de frecare  
t<sub>r</sub> - timp de refulare  
t<sub>t</sub> - valoarea teoretică a testului student  
U - tensiunea  
UL - limita inferioară a temperaturii de lucru  
v<sub>r</sub> - viteza relativă  
W - valoarea calculată a testului SW  
W<sub>n</sub> - valoarea critică a testului

- w - energie  
 $X_f$  - valoarea cea mai frecventă a mărimii măsurate  
 $\bar{X}$  - media de sondaj  
ZIT - zona influențată termic  
 $\alpha$  - coeficient unghiular al curbei de încălzire  
- nivelul de încredere al calculului statistic  
 $\lambda_r$  - coeficient de transmitere a căldurii  
 $\delta$  - grosimea materialului  
 $\epsilon$  - deformația specifică  
 $\phi$  - diametru  
 $\rho$  - densitatea materialului  
- rezistivitate  
 $\rho_{xy}$  - coeficientul de corelație în populația originară  
 $\sigma$  - tensiunea de încovoiere efectivă  
 $\tilde{\sigma}$  - tensiunea de încovoiere cumulată  
 $\theta$  - temperatura  
 $\theta_{med}$  - temperatura mediului ambient  
 $\theta'$  - viteza de creștere a temperaturii  
 $\Delta t_a$  - scurtarea axială  
 $\Theta$  - încălzirea conductorului electric  
 $\Theta'$  - viteza de încălzire

PRESCURTARI FOLOSITE IN TEXT

- Al - aliaj cu bază de aluminiu ATSi5Fe  
MIG - sudare cu arc electric în mediu de gaz inert, cu electrod fuzibil  
Otel-Al - îmbinare sudată cu componente OL37-ATSi5Fe.

B I B L I O G R A F I E

- Directivele Congresului al XII-lea al Partidului Comunist Român cu privire la dezvoltarea economico-socială a României în cincinalul 1981-1985 și orientările de perspectivă pînă în 1990**, București, Editura Politică, 1979
- Programul P.C.R. de făurire a societății sociale multilateral dezvoltate și înaintare a României spre comunism**, București, Editura Politică, 1975
- Programul directivă de cercetare științifică, dezvoltare tehnologică și de introducere a progresului tehnic în perioada 1981-1990 și direcțiile principale pînă în anul 2000**, Editura Politică, 1979
- Ceausescu Nicolae**, Raport la cel de al XIII-lea Congres al Partidului Comunist Român, Bucuresti, Editura Politică, 1979
- Ceausescu Nicolae**, Exponere la Congresul Consiliilor oamenilor muncii din industrie, construcții și transporturi, București, Editura Politică, iunie, 1977
- Ceausescu Nicolae**, Cuvîntare la consfătuirea cu cadrele de conducere din industrie, construcții, transporturi și agricultură, București, Editura Politică, martie 1979
- Ceausescu Nicolae**, Cuvîntare la Plenarul comună a CC al PCR și Consiliului suprem al dezvoltării economice și sociale a României, Bucuresti, Editura Politică, iulie 1979
- 1.-**Antonescu, I.**, Boarnă, C., Dobosan, C., Stoianovici, P., **Sudarea prin presiune**, Editura Tehnică, București, 1969
- 2.-**Antilă, V.**, Posibilități, probleme actuale și perspective în controlul nedistructiv cu radiații penetrante, A VI-a sesiune de comunicări tehnico-științifice, Reșița 1971
- 3.-**Antilă, V.**, Tendințe actuale în dezvoltarea controlului nedistructiv aplicat la structuri sudate, Sesiunea de lucrări tehnico-științifice, Sibiu, 1972

- 4.-**Antilă, V.**, Probleme actuale în domeniul datorii unitătilor nucleare cu surse de radiații penetrante, Consfătuirea tehnico-științifică cu tema "Aplicarea procedeelor eficiente de sudare în constructia de nave", Constanța, 18-20 octombrie 1973
- 5.-**Antilă, V.**, Procedee de sudare a aluminiului și a aliajelor sale, Referat în cadrul pregătirii de doctorand, 1977
- 6.-**Antilă, V.**, Defectele îmbinărilor sudate din aluminiu, Referat în cadrul pregătirii de doctorand, 1978
- 7.-**Antilă, V.**, Sensibilitatea imaginii radiografice, Referat în cadrul pregătirii de doctorand, 1978
- 8.-**Antilă, V.**, Efectul încastrării burelor asupra rezistenței îmbinărilor bimetal, Sesiunea de comunicări științifice, I.S.R., 1982
- 9.-**Antilă, V.**, Brici, I., Frecvența apariției defectelor în îmbinări sudate, Sesiunea Națională a Jucurilor științifice studențești, Baia Mare, 1975
- 10.-**Antilă V.**, Economu, V., Negoitescu, S., Procedeu de sudare a tijei anodice, Brevet de inventie nr.70000 - 1982
- 11.-**Antilă, V.**, Iorga, S., Contribuții la cercetarea metalografică a îmbinărilor aluminiu-oțel sudate prin frecare, Buletin științific studențesc, București, 1980
- 12.-**Antilă, V.**, Negoitescu, St., Controlul calității îmbinărilor și ansamblelor sudate pentru echipamente metalurgice, Consfătuirea tehnico-științifică cu tema "Probleme de sudură la construcția echipamentelor metalurgice", Răsita, 18 octombrie, 1974
- 13.-**Antilă, V.**, Negoitescu St., Controlul sudurilor și construcțiilor sudate, Curs Lito IPTV Timișoara, 1978
- 14.-**Antilă, V.**, Organizarea controlului defectoscopic nedistructiv la fabricarea structurilor sudate, Sesiunea de comunicări tehnico-științifice, Întreprinderea Independența Sibiu, 16 mai, 1973
- 15.1., Antilă V., și alții, Optimizarea tehnologiei de sudare a îmbinării dintre placă bimetal sudată prin explozie și tija anodică, Protocol contract de cercetare științifică, beneficiar Intreprinderea de Aluminiu, Slatina, nr.335  
16.06.1979

- 15.-**Dv-Antilă, V.**, și alții, Sudarea și controlul îmbinărilor **Al-Al** în construcții de nave, Protocol contract de cercetare științifică, beneficiar **Santierul N val Drobeta Turnu Severin**
- 16.-**Antilă, V.**, și alții, Cercetări privind aplicarea sudării prin frecare la îmbinările bimetal de tip **Al-Fe** pentru dispozitivul port-anod, Protocol
- 17.-**Antilă, V.**, și alții, Extinderea procedeului de sudare prin frecare a tijelor cu dispozitivul de prindere a anozilor **aluminiu-fier**, Protocol contract de cercetare științifică beneficiar Intreprinderea de Aluminiu, Slatina, nr.144  
8.08.1981
- 18.-**Antilă, V.**, în colectiv, Tehnologia sudării cu flacără de gaze și procedee conexe, IPTVTimișoara, 1980
- 19.-**Araky, I.**, Skinada, K., Quality assurance on the friction welding processes, Dvs Berichte 28, Annual assembly, 1973
- 20.-**Astrop, A.W.**, Thompson, Double ended friction welder for axle cases, In Machinery and production Engineering, 17.12.1969
- 21.-**Behramann H.**, Glockenturm aus aluminium, **Aluminium**, 43, 1967, 113, 179-185
- 22.-**Boarnă, C.**, Dehelean, D., Arjoca, I., Procedee neconvenționale de sudare, Editura Facla, Timișoara, 1980
- 23.-**Bogoevici, N.**, Electrotehnica și măsurări electrice, Editura didactică și pedagogică, București, 1979
- 24.-**Breazu, M.**, Streza, I., Variante moderne de sudare **MIG și MAG**, CNIT, MEI, Cursuri de perfecționare în domeniul sudării, vol.12, 1972
- 25.-**Calderale, P.M.**, Sinteză cercetărilor asupra sudării prin frecare, Revista Italiana della saldatura, nr.5, 1970
- 26.-**Chalvet, M.**, Le soudage par friction, In Ingénieurs et techniciens, nr.237, 1969
- 27.-**Ciocârdia, C.**, Ungureanu, I., Bazele cercetării experimentale în tehnologia construcțiilor de mașini, Editura didactică și pedagogică, București, 1979
- 28.-**Giucu, G.**, ș.a., Statistica matematică și cercetări operaționale, Editura didactică și pedagogică, București, 1974

- 29.-Claydon, D.B.W., Chrustie, C.A.J., Galliers, J.R.,  
Masinelles MIG - Senkrechtschiweissen von Aluminium,  
Aluminium 43, 1967
- 30.-Constantinescu, I., Golumbanici, D., Militaru, C., Prelucrarea datelor experimentale cu calculatoare numerice,  
Editura Tehnică, Bucureşti, 1980
- 31.-Cozma, I., Realizări și aplicații ale sudării în mediu de gaze protectoare la Uzina UPrUC ragărăș, CNIT, MGI, Cursuri de perfecționare în domeniul sudării, vol.12, 1972
- 32.-Cranfield, J., Newpipe welding technique could save time and money, In Oil gaz international, vol.10, nr.2, 1970
- 33.-Daus, J., Teilautomatische MIG-Impuls - Schweißelange ZIS - Informationsblatt M496-72-Halle
- 34.-Drews, P., Meyer, B., Schidt, J., Developement and application of a computer system for friction welding, Doc.IIS-IIW III-581-78
- 35.-Duffin, F., Bahrani, S.S., Advances in welding processe, The Welding Institute, England, 1974
- 36.-Echim, I., Rezultate obținute la sudarea aluminiului în mediu protector de argon, Comunicările celei de a V-a conferințe de sudură, Timișoara, 1965
- 37.-Ellis, C.R.G., Needham, J.C., Quality control in friction welding, Doc IIS-IIW, III, 460-72
- 38.-Ellis, C.G., Friction welding at BWRA, IIS-Varșovia, 1968
- 39.-Endter, H., Fachkunder für Schweißer, Bd.I.12, Auf Berlin VEB Verlag Technik, 1975
- 40.-Friedrich, K., Nimz, H., MIG - Kehlnaht schweissen am Al Legierungen in "S" Position, ZIS Informationsblatt M 526 73, Halle
- 41.-Galan, P., Entwicklung und Stand des Reibschweissens, in Schweißtechnik, Heft 6, 1970
- 42.-Galle, K.V., Friction welding, simple, clean and accurate in The engineer, 20.11.1969
- 43.-Ganowski, F.N., Practical consideration for friction welding, Welding Engineer, 5, 1973
- 44.-Ghizdavu, V., Construcția mașinilor de sudat prin frecare, Cursuri de perfecționare în domeniul sudării, CNIT, MICM vol.12, 1972

- 45.-Ghizdavu, V., Sudarea prin frecare a unor metale, Buletinul Academicii Militare Generale, nr.4, 1964
- 46.-Ghizdavu, V., Menele rezultate obținute la sudarea prin frecare, Comunicările celei de a V-a conferințe de sudură și încercări de metale, Timisoara, 1965
- 47.-Gilde, W., colectiv, Erhöhung der Dauerfestigkeit von stark gerosteten Blechen durch Plastüberzüge und Einsatzmöglichkeiten von Plastsehaum, Schweißtechnik, 14, nr.6, 1964
- 48.-Gidea, S., Protopopescu, M., Aliaje neferoase, Editura Tehnică, Bucuresti, 1965
- 49.-Haug, A., Freitragender geschweisster Grossraumkassewagen aus Aluminium für chemische Ladegüter, Schweissen, 19, 1967, Heft 9, S420-S423
- 50.-Iakusina, M.G., Compararea cîtorva metode de apreciere a rezistenței tehnologice a aliajelor din aluminiu la sudare, Sudura, nr.8, 1962
- 51.-Iliescu, D.V., Vodă, V.Gh., Statistică și toleranțe, Editura Tehnică, București, 1977
- 52.-Isnas, C., s.a., Cercetări experimentale privind existența efectului Sommerfeld la rectificare, Buletinul Institutului Politehnic, Bucuresti, tom 30, nr.1., 1976
- 53.-Ivancenco, Al., Considerații cu privire la unele tendințe noi în proiectarea ansamblurilor sudate, Construcția de mașini, 20, 1968, nr.9
- 54.-Kiesche, M., Einstellwerte für das MIG Impulsschweißen von Al 99,5, ZIS, Informationsblatt M 415-69, Halle
- 55.-Kleacikin, Ia.L., Sudarea metalelor și aliajelor neferoase, Editura Tehnică, București, 1966
- 56.-Kolker, I.D., Matematicheski analiz točnosti mehaniceskoi obrabotki detalei, Izdatelstvo Tehnica, 1976
- 57.-Kunis, M.I., Korabler, A.I., Instalație pentru sudarea prin frecare construită dintr-un strung, Traducere din limba rusă, Sudura, nr.12, 1958
- 58.-Lucas, W., Effect of friction pressure. forge pressure and weld time on joint strength and microstructure of mild steel friction-welds, Metal construction en British Welding Journal 8, 1975
- 59.-Mandaus, I., Voboril, I., Svárování trením, Strojírenská výroba, 9, nr.1, 1959

- 60.-**Mantel, W.**, Die MIG schweissung von Aluminium legierungen, Rev. Aluminium, RFG, nr.9, 1964
- 61.-**Mantel, W.**, Metalurgische probleme des schweissen von aluminium und seinem legierungen, Rev. Aluminium, RFG, nr.3, 1969
- 62.-**Matting, A.**, Des Schweißen der leichmetalle und seine Randgebiete, Düsseldorf. Deutscher Verlag, für schweiss technik (DVS) GmbH, 1959
- 63.-**Mihoc, Gh.**, Urseanu, V., Sondaje și estimări statistice, Editura Tehnică, București, 1977
- 64.-**Mikloši, C.**, Sudarea metalelor, Editura Tehnică, București, 1965
- 65.-**Moineagu, C.**, s.a., Statistica, Editura științifică și enciclopedică, București, 1976
- 66.-**Müller, W.**, MIG, Schweißen mit impuls moduliertem Gleichstrom, Schweißtechnik, 8, 1969
- 67.-**Nicolascu, A.**, Căută, T., Procedee moderne de sudare si metalizare, CDPT al MIM, București, 1972
- 68.-**Niculescu, T.D.**, Preda, I., Construcții metalice din aluminiu Editura Tehnică, București, 1966
- 69.-**Nikolaev, G.A.**, Svarka V, Mašinostrojenie, vol.1, Moscva, 1978
- 70.-**Okerblom, N.O.**, Constructivo - tehnologhicescoe proiectirovaniye svarnih constructii, Moscva, Ed. Mašinostrojenie, 1964
- 71.-**Okerblom, N.O.**, Necotorie soobrojenica o perspektivah razvitiia svarnih constructii. Avtomaticescaia svarka, nr.4, 1965
- 72.-**Oliver, H.P.H.**, Ziemann, G.G., Bauten mit aluminium auf der Expo 1967 in Montreal, Aluminium 43 (1967), H.2, S.131,132
- 73.-**Paton, B.E.**, Tehnologia svarki metalov i splavov pl-vleniem Ed. Mašinostroenie, Moscva, 1975
- 74.-**Paton, B.E.**, Tehnologia elektroceskoi svarki ulavleniem, Mašghiz, Moscva, 1973
- 75.-**Pliva, L.**, Tehnický stav a hospodarsky vyznam svárování trením, Zváranie XVIII, nr.7, 1969
- 76.-**Poș, G.**, Sudarea cu arc electric în mediu de argon a pieselor din Al și din aliajele sale, IDT, București, 1962
- 77.-**Popovici, Vl.**, s.a., Lucrări de laborator la Tehnologia sudării electrice, LITO IPT. 1967

- 78.-Popovici, Vl., Tendințe noi în cadrul curselor și utilajelor pentru sudare electrică, CNIT, MEI, Cursuri de perfecționare în domeniul sudării, vol.I, 1970
- 79.-Popovici, Vl., Tendințe noi în construcție utilajelor de sudare sub strat de flux, mediu de gaze protectoare și în baie de zgură, CNIT, MEI, Cursuri de perfecționare în domeniul sudării, vol.I, 1970
- 80.-Popovici, Vl., Sudarea în mediu de gaze protectoare, CNIT, MEI, Cursuri de perfecționare în domeniul sudării, vol.5, 1971
- 81.-Popovici Vl., Scheme de organizare și tendințe noi în construcție sectiilor de structuri sudate, CNIT, MEI, Cursuri de perfecționare în domeniul sudării, vol.II, 1971
- 82.-Popovici, Vl., Organizarea și dotarea fabricilor și secțiilor de structuri sudate, CNIT, MEI, Cursuri de perfecționare în domeniul sudării, vol.II, 1971
- 83.-Popovici, Vl., Procedee moderne de sudare, CNIT, MEI, Cursuri de perfecționare în domeniul sudării, Bucuresti, vol.12, 1972
- 84.-Popovici, Vl., Antilă, V., Tehnici de control a calității ansamblurilor sudate pentru echipamente metalurgice, Resita; 1973
- 85.-Popovici, Vl., Ivancenco, al., Utilajele sudării electrice, EDP, Bucuresti, 1968
- 86.-Popovici, Vl., Negoitescu, st., Popovici, C., Considerații privind sursele de sudare în mediu de gaze protectoare, CNIT, MEI, Cursuri de perfecționare în domeniul sudării, vol. 5, 1971
- 87.-Popovici, Vl., Salagean, Tr., Automatizarea proceselor tehnologice ale sudării, EDP Bucuresti, 1965
- 88.-Popovici, Vl., Salagean, T., Negoitescu, Str., Mecanizarea și automatizarea proceselor de sudare, IPTVT, Timișoara, 1975
- 89.-Primke, K., Fachkunde für Schweißer, Band 3 Aluminium schweißen, VEB Verlag Technik, Berlin, 1976
- 90.-Razdui, F.I., Sitalov, V.P., Svoob soedineniea aluminiea so staliu, Svarocinoe proizvodstvo, nr.7, 1962

- 91.-**Rîkalin, N.N.**, Rascioti lărglevi procesov eri svárke,  
M-sghiz, Moscva, 1973
- 92.-**Rumiski, L.Z.**, Prelucrarea matematică a datelor experimentale, Editura Tehnică, Bucuresti, 1974
- 93.-**Sălăgean, T.**, Fenomene fizice si metalurgice la sudarea oțelurilor cu arcul electric, Editura Academiei RSR, Bucuresti, 1963
- 94.-**Sălăgean, T.**, Energie liniară si secțiunea custruirii ca factori ce controlează procesele termice la sudarea cu arc electric, Studii si cercetari metalurgice, nr.2, Bucuresti, 1973
- 95.-**Sălăgean, T.**, Tehnologia sudării cuprului, nichelului, metalelor active si refractare, Editura ODPT, 2, 1974
- 96.-**Sălăgean, T.**, Sudarea cu arcul electric, Editura Facla, Timișoara, 1977
- 97.-**Schaefer, R.**, Reibschweissen von Kunststoffen, Schweissen und Schneiden, 22, Heft 2, 1970
- 98.-**Schaefer, R.**, Reinschweissen von Metallen, Industrienzeiger 89, Heft 10, 1967
- 99.-**Șorobetiu, L.**, Sudarea electrică în mediu de protecție cu amestec de gaze, CNIT, MEI, Cursuri de perfecționare în domeniul sudării, vol.12, 1972
- 100.-**Seferian, D.**, Metallurgia sudării, Centrul de documentare și publicații tehnice al industriei metalurgice, Bucuresti, 1971
- 101.-**Seregi, C.**, Neure Beispiele aus dem Metall Ingeieurbau in Ungarn, Aluminium 43, 167, Heft 5, 5300
- 102.-**Sontea, S.**, Cercetarea factorilor metalurgici si tehnologici care influentează sudarea unor aliaje de aluminiu de înaltă rezistență de tip AlZnMg, Teză de doctorat, 1969
- 103.-**Sontea, S.**, Electrozi pentru sudarea aluminiului si cuprului, CNIT, MEI, Cursuri de perfecționare în domeniul sudării, 1973
- 104.-**Sontea, S.**, Probleme tehnologice la sudarea oțelurilor, metalelor si aliajelor neferouse în argon, CNIT, MEI, Cursuri de perfecționare în domeniul sudării, vol.5, 1971
- 105.-**Sontea, S.**, Studiul sudabilității țevilor din aliaje de Al de tipul AlMg5, Centrul de cercetări al Intreprinderii Electropuțere Craiova, 1968

- 106.-**Taylor, E...**, s.a., Friction welding of SAP, Welding and metal fabrication, 14, 1962
- 107.-**Tiron, M.**, Prelucrarea statistică și informațională a datelor de măsurare, Bucuresti, Editura tehnică, 1977
- 108.-**Tîrziu, V.**, Utilajul și tehnologia sudării prin frecare, CNIT, MEI, Cursuri de perfecționare în domeniul sudării, vol.12, 1972
- 109.-**Tkacev. V.N.**, s.a., Svarka v uglekistom gaze provolkoi Sv o,8 pokrîtoi aliuminiev im sôlavom, Svarocinoe proizvodstvo, nr.3, 1972
- 110.-**Trusculescu, M.**, Studiul metalelor, EDP, Bucuresti, 1977
- 111.-**Tschatschłowski, T.A.**, Lachowiancki, I.G., Das sicken von Blechelementen in Aluminium Konstruktionen zur Vermeinderung der Vorformungen aus dem Schweißvorgang Svarovinoe Proizvodstvo, 12, 1966, Heft 12, S.35-37
- 112.-**Valea, I.**, Electrozi și fluxuri de sudare, Editura Tehnică Bucuresti, 1971
- 113.-**Vavilov, A.F.**, Voinov, B.P., Svarka treniem Masinostroenie, Moscova, 1964
- 114.-**Vill, V.I.**, Svarka metallov treniem, Masinostroenie, Leningrad, 1970
- 115.-**Vizkelety, K.**, Aluminium Dickbleschweissung mit Hochstrombogen ohne Nahtvorbereitung, MIZ MITT., 9, 1967, Heft 5, S 743-761
- 116.-**Voinov, V.P.**, Boldirev, R.N., Impulsive friction welding The present state of applications of electron beam welding and friction welding, Public coloquium, IIW, 1973
- 117.-**Wanschkuhn, F.**, Aliaje de aluminiu în special AlZnMg pentru construcții sudate, Rev.Metal.nr.3, 1965
- 118.-**Wanschkuhn, F.**, Aluminium Legierungen insbesondere der Gattung AlZnMg 1 für Schweißkonstruktionen, Mettal. nr.3-19, 1965
- 119.-**Zarecinski, A.V.**, Koleciko, A.A., Komplecsno mehánizirovannoe proizvodstva scarnih ram jeleznodorojnykh istern Svarocinoe proizvodstvo, nr.1. 1972
- 120.- **xxx** Aluminium Taschenbuch 12. II. 15 Aufl. Herausgeber Aluminium Zentrale, e.v., Düsseldorf, Aluminium Verlag GmbH 1963/1974

- 121.- x x x L'Aluminium, Tome 1, Production - Propriétés Alliages Fabrication des demi produits, Fabrications annexes par les Inginieur du Groupe Dechinez, Ed. Eyrolles, Paris, 1964
- 122.- x x x Aluminium Wauschkuhr Liegesungen insbesondere der Gattung AlZnMg 1 für Schweiss, Konstruktionen Metall nr.3, 19, 1965
- 123,- x x x Atlas international al defectelor de turnare, Editura Tehnică, Bucuresti, 1977
- 124.- x x x CCSIT Electronutere Craiova, Laborator de mare putere, Informare tehnică, nr.520082, 6.06.1980
- 125.- x x x CCSIT, Electronutere Craiova, Laborator de mare putere, Informare tchnică, nr.520085, 14.06.1980
- 126, A.- x x x Contract de cercetare stiintifică, Beneficiar, Intreprinderea de Aluminiu Slatina, 1979
- 126, B.- x x x Contract de cercetare stiintifică, Beneficiar Santierul Naval Drobeta Turnu Severin, 1979
- 127.- x x x Contract de cercetare stiintifică, Beneficiar Intreprinderea de Aluminiu Slatina, 1980
- 128, A.- x x x Contract de cercetare stiintifică, Beneficiar Intreprinderea de Aluminiu Slatina, 1981
- 128, B.- x x x Contract de cercetare stiintifică, Beneficiar Intreprinderea de Aluminiu Slatina, 1982
- 129.- x x x Institutul de sudură și încercări de metale, Sudarea prin frecare a aluminiului, aliajelor de aluminiu cu OL37, nr.1763 si nr.1781, Timisoara, 1981
- 130.- x x x Institutul de sudură și încercări de materiale, Rezultatele încercării la flăaj a îmbinărilor oțel-aluminiu Timișoara, Buletin nr.1366, 10.02.1981
- 131.- x x x Instructiuni tehnologice pentru fabricarea electrolitică a aluminiului, I.Al.Slatina, 4790, 1974
- 132.- x x x Le soudage par friction, Soudage, nr.62, 1966 și nr.64, 1967
- 133.- x x x Masini de sudare prin micro frictiune, British Welding Journal, 1970
- 134.- x x x New friction welding developments, Welding and metal fabrication, nr.3, 1969

- 135.- \*\*\* Normativ tehnic de tip de lucru pentru sudare electrică, oxacetilenică și tăiere cu fierastrău oxacetilenică, **MICM**, 1975
- 136.- \*\*\* Normativ tehnic grupat pe tempi de muncă la prelucrări la mașini de găurit, **MICM**, 1973
- 137.- \*\*\* Normativ tehnic la regimuri de aschieri și tempi auxiliari la strunjirea metalelor, **MICM**, 1975
- 138.- \*\*\* Normativ tehnic pentru debitarea materialelor în ferestrau circular și alternativ, **MICM**, 1975
- 139.- \*\*\* Normative tehnice de regimuri de aschieri și tempi auxiliari la frezare, **MICM**, 1975
- 140.- \*\*\* Simpozionul internațional de sudare prin frâdere, Tokyo, 1968, Doc.IIS-IIW, III 375-69
- 141.- \*\*\* **SISTEMA** echipamentelor de sudare, tăiere și lipire din **RSR**
- 142.- \*\*\* Soudure des Clads, Pechiney, Paris, 21.12.1970
- 143.- \*\*\* Stapellauf der Queen Elisabeth, Aluminium 43, 1967 Heft 10, § 640
- 144.- \*\*\* **STAS** 201/1 - 71 Aliaje de aluminiu turnate în piese
- 145.- \*\*\* **STAS** 782-64, Defectele pieselor turnate; Clasificare și terminologie
- 146.- \*\*\* **STAS** STAS 4600-75 Turnarea metalelor. Terminologie
- 147.- \*\*\* **STAS** 6287-67, Piese turnate din metale și aliaje neferoase. Abateri limită și adausuri de prelucrare
- 148.- \*\*\* **STAS** 7122-72, Statistică matematică. Prezentarea și prelucrarea datelor experimentale și de observație
- 149.- \*\*\* ~~umsetzbare~~ strassenbrücken aus vorgeferigten aluminiumbauteilen in Japan, Aluminium 43, 1967, Heft 5, § 304
- 150.- \*\*\* Welding Engineer, SUA, 52, nr.1, ianuar 1967
- 151.- \*\*\* Welding handbook, Editurs, AWS, New York, 1975
- 152.- \*\*\* Wer schweist Hert auf uns, Universal tiefpunkt, schweiss material GmbH
- 153.- Ionescu, N., Sudarea prin explozie cu aplicatii în industria construcțiilor de mașini și industria de lucruri, Teză de doctorat, 1978
- 154.- Philinchuk, W.. Welding Forming and cutting with explosive, **ASTME**, Paper, nr.350, vol.61, Book 1 of 24 mai 1961

- INFORMARE TEHNICA -

In zilele de 8,9,10,12,13,14,16,20-05-1980 s-au executat încercări pentru verificarea din punct de vedere termic a barelor bimetal de tip Al-Fe, prezентate de Institutul de Subingineri Reșița.

Prescriпii de incercare conform indicaпiilor date de Institutul de Subingineri Reșița prin tov. sef lucrări ing. V. Anjilă care a participat la probe în zilele de 15-16-05-1980.

In timpul probelor de încălzire s-a verificat barele în următoarele valori ale curentului de încercare 300A; 1000A; 3000A; 4000A; 5000A ;diametrul barelor = 18 mm.  
măsurarea temperaturilor s-a făcut cu termometru electronic TERM 2112. Rezultatul acestor încercări este indicat în tabelul nr.1.

Nr. Ora Val. crt. Temperatura °C barele elec- de trecute	tred măsu- prin ap. OL rare (A)	Sd	Al	Borne alimen-		Temp. med. °C.....	Timpul de te- and.	Temp. pire °C
				OL	Al			
temp.	a							
OL-37 062	10	150	31	28	27	30	25	16
	10,30	"	31	28	27	30	25	16
	11,15	300	60	52	47	55	42	17
	11,45	"	67	58	52	62	46	17
	12,15	"	75	58	54	72	50	17,6
	12,45	"	76	62	55	73	51	17,7
	13,15	"	77	62	56	74	52	18
	13,45	"	77	62	56	74	52	18
629	9	"	56	45	40	52,5	36	17
	9,30	"	69	54	42	65	40	17
	10	"	73	56	49	68	47	17
	10,30	"	73	60	49	70	48	17,5
	11	"	77	61	52	74	51	17,5
	11,30	"	77	61	55	74	52	17,5
	12	"	77	61	55	74	52	17,5
	12,30	"	77	61	55	74	52	17,5

.....	.....	.....	.....	.....	.....	.....	.....	.....	.....	.....
OLC-35	13	4000								47"
	125	4000								35"
	124	4000								35"
	128	4000								35"
OLC-42	22	4000								35"
	216	4000								45"
	232	4000								43"
	234	4000								55"
OLC-15	131	2000								1'34"
.....	.....	.....	.....	.....	.....	.....	.....	.....	.....	.....

Utilajul folosit a fost următorul :

- Transformator tip RDES 15/380 - 2U ( 380/0-380 V )
- Transformator curenti intregi (0-380)V ( 0-1500 V )
- Transformator curent măsură 1500 /5 A
- Generator tip G 3 A H 390 kVA , 400 V, 563 A
- Transformatori coperitori 400 /20V I = 10.000 A
- Transformator curent măsură 10.000 /5A
- Ampermetru clasa 0,2

OBS: La electrozii OL-37 cu nr. 613; 614; 617; 623 și OLC-15 nr. 131  
13, 124, 125 și OL-42 cu nr. 22 ; 216; 232; 234 s-a observat  
următoarele :

In teste casurile pe toate lungimea pînă în planul îmbinării  
se ajuns la alb strălucitor sau la incandescentă , în timpul urmă-  
tor a avut loc o incălzire puternică a zonei sudate și a celei adia-  
cente din aluminiu , după care s-a produs ruperere.

In momentul ruperii s-a desprins îmbinarea sudată și s-a topit  
capitul barei din aluminiu în porțiunea adiacentă.

Incălzirea șelului nu s-a făcut uniform în unele cazuri  
constituindu-se pe lungimea componentei topirea metalului de bază pe  
toate secțiunile în același timp ca îmbinarea sudată ( proba la  
3000 A ( OCL-15 ) și 4000 A ( OL-37 )

La ruperea îmbinării contribuie deformația puternică a  
șelului care introduce tensiuni suplimentare foarte mari în îm-  
binarea sudată. La electrozii cu devură, la locul de sudură, se  
topeste înainte șelul și spaii se desface sudura. La electrozii fără  
devură șelul nu se topesc întotdeauna sudura.

LADMARU M. EN. ETAKB  
Ing. De inginer  
Institutul

R.S. PROBA,  
Ing. Araduțu Călin  
Ina. Istrate M. 4000V

## INFORMARE TEHNICA

În zilele de 5-6 iunie 1980 s-au executat încercări pentru verificarea din punct de vedere termic a dispozitivului port-senzor cu plăcuță bimetal, și a dispozitivului port-senzor prevăzut cu bare bimetal de tip Al-Fe sudate prin frecare și a 4 electrozi din Cu-52.

În cele două dispozitive s-au măsurat și căderile de tensiune :

Prestricții de incercare, conform indicațiilor date de Institutul de Subîngineri Reșița prin tev. Sef Încercări ing. Valeriu Angili care a participat la probe pe totă durata probei. Măsurarea temperaturilor s-a făcut cu termometru electronic model 2112.

Resultatul acestor încercări este următorul :

1.-> Dispozitivul port - senzor cu plăcuță bimetal Al-Fe.

Dispozitivul a fost parcurs de curent astfel:

$I_a = 0,00$  = 500mA

$0,30$  = 750mA

$10,50$  = 5000mA , valoare care s-a menținut constantă pe tot timpul probei . Temperatura maximă pe suprafețele  $A_1,A_2,A_3,A_4$  ) conform fig. 1 ) au fost :

Zab. 1.  
Bare alimentare

	Al	Sd	OL	OL	Al
A	160	163	167	120	137
B	163	164	182	-	-
C	157	164	200	-	-
D	164	168	175	180	150

În căderile de tensiune între punctele indicate în fig. 2 au fost :

Tab. 2

Bară alimentare	= 314 mV
Al - Sd	= 1,72 V
Al + Sd	= 2,3 mV
Sd - Sd	= 1,72 V

2.-> Dispozitivul port-senzor cu bare bimetal Al-Fe sudate prin frecare.

Dispozitivul a fost parcurs de curent, în 2 etape prin cîte 2 bare bimetal ,în punctele de măsurare a temperaturii și a căderilor de tensiune sint indicate în fig. 3.

Tab.3

-2-

I incarcare = 2500 A

Bare 1 - 2

Cea de măsurare  
a temperaturii °C

Punctele de măsurare

	1	2	3'	4'	3	4	5	6	7
9,45	75	105	63	50	-	-	62	65	58
10,00	98	129	100	85	-	-	80	89	80
10,30	106	131	110	98	-	-	91	97	90
11,00	110	140	120	105	-	-	102	112	105
11,10	112	142	122	107	90	90	102	113	109

Bare 3 - 4

11,45	-	-	125	118	140	150	110	115	97
12,20	-	-	135	132	145	155	125	130	107
12,45	-	-	142	135	162	169	127	134	125
13,30	-	-	142	139	163	169	130	135	129

Variația de tensiune (mV) au fost

Tab.4

	2-3'	1-4'	3-7'	4-7'	1-7	2-7
11,10	5,6mV	7,9mV	6,2mV	11,2mV	60 mV	80 mV
13,30	4-3'	3-4'	3'-7	4'-7	3-7	4-7
13,30	3,7mV	12mV	4,5mV	12mV	70,3mV	73,8mV

Material Nr.electrod Val.curantului  
trecut prin  
electrod (A)Timpul de topire  
(minute)

1	2	3	4
65-52	525	3000	1'30"
	534	3000	1'34"
	513	4000	0,40"
	524	5000	0,25"

SNT IMP.

Ing. G. Barincea

DRCGANT,

Ing. Arăduțu C. C. Gh.

Ing. Istrate H.

Pag.5  
Tab.5  
Desen 3  
Exemplare 4

## SUDAREA PRIN FRECARE A ALUMINIULUI, ALIAJELOR DE ALUMINIU CU OL37

Lucrarea reprezintă obiectul comenziilor nr. 575 și nr. 01762 a Institutului politehnic "Traian Vuia" înregistrate la ISIM Timișoara cu nr. 1763 și nr. 1781.

### 1. Considerații teoretice privind sudarea aluminiului și a aliajelor sale cu diverse oțeluri

La sudarea aluminiului și aliajelor sale cu diverse mărci de oțeluri unele rezultate s-au obținut utilizând sudarea la rece.

Sudarea prin alte proceeede la temperaturi ridicate nu a dat rezultate satisfăcătoare datorită apariției unui fenomen de difuzie reactivă.

Acesta constă dintr-un proces de difuzie în urma căruia se formează legături chimice ale componentelor aluminiului și fierului formând o serie de astfel de legături, compuși intermetalici cu fragilitate mare. De obicei acest fenomen cuprinde toată zona sudurii și cu cât stratul de compuși intermetalici este mai gros cu atât îmbinarea este mai fragilă. S-a stabilit astfel că numai la straturi suficient de subțiri  $\leq 3\mu$  m de compuși intermetalici îmbinarea nu se fragilizează.

De aceea toate formele de sudare prin topire pentru îmbinările aluminiului <sup>cu</sup> diverse oțeluri sunt inutilizabile.

Spre deosebire de acestea sudarea prin frecare datorită specificului ei s-a dovedit a fi unul din proceeedele cele mai favorabile. În urma realizării sudurilor prin frecare, aluminiul nu ajunge pînă la topire și procesele de difuzie din acest motiv nu sunt activizate; metalul se încălzește în volum nu prea

mari și se răcește repede, ceea ce întrerupe procesul de difuzie și apoi prin refulare în urma deformării plastice a metalului compusii intermetalici se îndepărtează în bavură.

Experimental s-a stabilit că durata ciclului de sudare trebuie să fie destul de mare pentru a asigura încălzirea oțelului, pentru a permite formarea în cantități suficiente a nodurilor de prindere și pentru a asigura distrugerea și evacuarea peliculelor de **oxid** din îmbinare.

Pentru realizarea unor suduri de bună calitate a aluminiului cu un oțel, suprafața frontală a componentei din oțel trebuie să fie strict perpendiculară pe axa de rotație (în cazul unui joc care depășește 0,2 mm scade brusc calitatea îmbinării sudate). De asemenea suprafața frontală a componentei din aluminiu trebuie curățată înainte de sudare de grăsimi și de alte pelicule de absorbție cu ajutorul unei perii rotative din oțel cum de altfel se procedează în mod obișnuit înainte de sudarea la rece a aluminiului.

Sudurile realizate supuse încercărilor la tracțiune statică au o rezistență comparabilă cu a materialului de bază, respectiv cu aluminiul. Examinările macro-microscopice au evidențiat existența unei zone de aluminiu presate cu grosimea pînă la 0,1 mm adiacente la îmbinare.

Cercetările efectuate au arătat, de asemenea posibilitatea sudării prin frecare a aluminiului și a aliajelor sale cu oțeluri aliate în special cu oțeluri inoxidabile. La sudarea unor asemenea componente pot fi utilizate și regimuri mai dure caracterizate de presiuni specifice mai ridicate asociate cu tempi de sudare mai scurți deoarece în acest caz procesele de difuzie sunt incetinite.

Este important de subliniat că îmbinarea aluminiului cu oțel, realizată utilizînd sudarea prin **frecare** și nefragilă poate deveni fragilă în cazul încălzirii ulterioare a piesei sudate. O asemenea încălzire pînă la temperaturi, care depășesc unele valori critice, activează procesele de difuzie în zona îmbinării,

In urma măsurătorilor de duritate rezultă că valoările duratăilor determinante sunt cuprinse între 111 și 211 HB pentru OL37 respectiv între 44,1 și 48 HB pentru ATSi5Fe.

2.1.3. Aspectul macro-microstructural al materialelor de bază este prezentat în buletirul de examinare nr. 503 din 22.12.1981.

2.1.4. Prepararea materialelor în vederea sudării întru sudarea prin frecare componentele de sudat trebuie să respecte următoarele condiții:

- suprafetele frontale ale componentelor de sudat să fie curățite în prealabil cu peria de sârmă rotativă,
- abaterea de la perpendicularitate a suprafetelor frontale să nu depășească 0,2 mm,

Nerespectarea acestor prescripții atrage după sine:  
- nerespectarea timpului de frecare (datorită pierderilor de timp pentru ca suprafetele frontale de sudat să devină paralele;

- obținerea unei suduri necorespunzătoare deoarece la astfel de îmbinări șteful nu se deformează decât foarte puțin comparabil cu aluminiul.

## 2.2. Experimentări de sudare

Experimentările de sudare s-au efectuat pe o mașină de sudat prin frecare LSF-4C. Cu această mașină se sudează prin frecare continuă. Viteza de rotație utilizată a fost de 1460 rot/min. Valurile celor 5 parametri de sudare (**presiunea de frecare, presiunea de refulare, timpul de frecare, timpul de frânare și timpul de refulare**) s-au ales pronind de la date culese din literatura de specialitate /1/; /2/; /3/; și /4/, luându-se în considerare:

- secțiunea componentelor de sudat,
- calitatea artefieralelor,
- performanțele roginii de sudat.

regiunile de sudare utilizate la experimentări au fost studiate din următoarele puncte de vedere:

- rezistența la tracțiune statică,
- aspectul macro- și microstructural.

#### Incercarea la tracțiune

2.2.1. Condiția de calitate impusă sudurilor prin frecare de beneficiar a fost acest că la tracțiune să reziste la o forță de rupere minimă de 1000N. Experimentările de sudare au condus din acest punct de vedere că regiul de sudare prezintă un defect. Se poate observa că sudat un număr de 10 piese care au fost apoi supuse în vederea incercării la tracțiune.

Forța piezoclor pentru incercarea la tracțiune, prezentată în figura 1, a fost impusă de forma componentelor de sudat și a fost acceptată de către beneficiar și executant. Rezultatele obținute sunt surprinse în tabelul 3.

Tabelul 3. Rezultatele incercărilor la tracțiune

Materiale	Regim de sudare						Rezultatele împotriva tracțiunii	
	Presiune de frecare refuzare (bar)	Presiune de frecare refuzare (bar)	Timp de frecare (sec)	Timp de fricare (sec)	Timp de refuzare (sec)	Scurgere axială (mm)	F <sub>max</sub> (N)	Locul ruperii
0L30+AT3;5 Fe	30	60	20,40	0,80	1,92	24,6 23,8 26,7 22,3 25,6 25,2 23,6 24,0 23 23,5	177000	nd.
							154000	HB
							139000	HB
							151000	HB
							14000	nd.
							131000	HB
							120000	HB
							137000	HB
							154000	HB
							183000	HB



M. I. C. M. - D. G. T.

**INSTITUTUL DE SUDURĂ ȘI ÎNCERCĂRI DE MATERIALE  
TIMIȘOARA**

Bv. Mihai Viteazul nr. 30  
Telefon : director i 54 70 cont. şef 1 32 68 centrala 2 47 40  
Telex nr. 43 365 isim r  
Cont la B. N. R. S. R. 30 162 03 01



Referitor :

Scrisoarea nr. nr.

1366 / 10.11.1981

Către,

**Institutul de subingineri - RESITA**  
Bv. Lenin nr. 1  
Catedra de electrotehnica și sudură

Vă transmitem rezultatele definitive ale încercării la fluaj a îmbinărilor sudate otel-aluminiu. Rezultatele parțiale ale acestor încercări au fost predate în noiembrie 1980.

În tabelul 1 sunt cuprinse condițiile în care au fost efectuate încercările la fluaj.

Tabelul 1

Nr. ort.	Tensiunea /MPa/	Temperatura /K/	Timpul de rupere /h/
1.	80	433	18,0
2.	80	433	8,0
3.	80	413	68,0
4.	80	413	46,0
5.	80	393	251,5
6.	80	393	205,0
7.	60	473	17,0
8.	60	473	4,0
9.	60	453	95,3
10.	60	453	78,0
11.	60	433	180,2
12.	60	433	240,2
13.	40	473	205,5
14.	40	473	129,0
15.	40	453	471,0
16.	40	453	409,0
17.	40	433	1405,0
18.	40	433	1745,0

În urma preluorării acestor rezultate pe calculatorul electronic FELIX C 256 s-au obținut rezistențele tehnice de durată (tabelul 2).

Tabelul 2

Nr. ort.	Metoda de extrapolare	R <sub>T</sub> /5000			/MPa/ /K/	R <sub>T</sub> /10.000		
		403	413	423		403	413	423
1.	Larson Miller	62,15	55,89	50,26		58,86	52,86	47,47
2.	Larson Miller corectată	51,55	49,59	42,10		47,53	42,87	38,66
3.	Soherby Dorn	50,58	45,63	41,37		46,36	41,83	37,92
4.	Manson Succop	49,02	45,31	41,37		45,39	41,45	37,85

Prin transmiterea rezultatelor de mai sus obligațiile referitoare la înnoerăriile căre au făcut obiectul comenziile menționate le considerăm îndeplinite.

DIRECTOR,

prof. Traian Sălăgean  
mem. al Academiei RSR



SEF LABORATOR,

dr. ing. Voicu Safta

*T. H. S.*

INTreprinderea de aluminiu  
- SLATINA -  
C.P. 1100, Slatina - ROMANIA

AVIZ CTE - I.Al. SLATINA

Nr. 53 / 16. I. 1984

5

OBIECTUL AVIZARII: Extinderea procedeului de sudare prin frecare a tijelor cu dispozitivul de prindere a anozilor aluminiu - fier

BENEFICIAR: Intreprinderea de aluminiu Slatina

RESPONSABIL: Institutul de subingineri Regita

CONTRACT NR.: 144/1981

COMISIA DE AVIZARE Președinte: ing.Orzăță Alex. - director  
Membrii: ing.Bălu Ioan - dir.adj.tehnic prod.  
ing.Slavescu G. - ing.șef UA  
sing.Cecog Gh. - șef 85  
ing.Duță A. - ing.bir.tehnic  
ing.Drăganciu I. - ing.bir.tehnic  
ing. Munteanu E. - ing.bir.tehnic  
sing.Văduva Sanda - bir.tehnic  
Secretar: ing.Economu V. - șef hirou tehnic

PRESENTAREA LUCRARII

Executantul a elaborat o tehnologie privind extinderea procedeului de sudare prin frecare a tijelor cu dispozitivul de prindere a anozilor, aluminiu-fier.

S-a realizat un prototip pentru sudarea prin frecare aliajul de aluminiu ATS15Fe și etajul de mără 0L 37.

Dobitarea barelor din aliaj ATS15Fe s-a executat din tije anodice, utilizate la I.Al.Slatina. După debitare, barele din aliaj de aluminiu au fost frezate rezultând un pătrat cu latura de 60 mm.

Regimul de sudare prin frecare este caracterizat de următorii parametrii:

- viteză de rotație: 1460 rot/min,
- presiunea de frecare: 30 bari
- presiunea de refulară: 60 bari
- timpul de frecare 20,48 secunde
- timpul de frinare 0,80
- timpul de refulară 1,92 sec.

...  
...//...

După asamblarea cu anazi, tijele astfel confectionate au fost introduse în ouvele de electroliză. După un ciclu de funcționare s-au desprins de la sudura prin frecare, în timpul împărțării fontei de încastrare.

AVIZ CTE - I.AL.SLATINA

Urmare analizei lucrării supusă avizării, Consiliul tehnic-economic al I.Al.Slatina

" AVIZEAZA FAVORABIL "

studiu de cercetare "Extinderea procedeului de sudare prin frecare a tijelor cu dispozitivul de prindere a anozilor aluminiu-fier", cu recomandarea ca în cursul anului 1982 cercetătorul să studieze și să realizeze un nou tip de tije din aliaj ATSi5Fe care la partea inferioară să aibă 4 brațe din același aliaj cu tija, de care să se sudeze prin frecare rondoanele de OL de ø 90 mm care se vor asambla cu anozii.

Se evită în acest fel sudura Al-Al și Fe-Fe care duc la fragilitatea imbinării prin frecare.

PRESEDINTE



DIRECTOR

ing.Qrzăță Alex.

ing.Bălu Ioan

ing.Slavescu C.

sing.Cocog Gh.

ing.Drăgănciu I.

ing.Duță A.

ing.Munteanu E.

sing.Văduva S.

SECRETAR

SEN. BIROU TEHNIC,

ing.Economu V.



CONSELIUl NAȚIONAL PENTRU ȘTIINȚĂ SI TEHNOLOGIE  
OFICIUL DE STAT PENTRU INVENTII SI MĂRCI  
București, str. I. Ghica nr. 5, sector 3  
Cod 70016, C.P. 52

- 127 02. 1982
- către,
  - U.I.Ch.
  - Întreprinderea de aluminiu Slatina
  - ing. Valeriu Antilă

## HOTARIRE Nr. 12 din 15.01.1982

Comisia de inventii din sectorul IV examinind documentația necesară brevetării invenției cu titlu: "Procedeu de sudare a tijei polilice din aliaj de aluminiu"

înregistrată la OSIM sub nr. 000590 la data de 22.01.1980 dosar OSIM nr. 99938 precum și studiul comparativ al invenției.

### HOTARÂSTE:

a. acordarea brevetului de invenție, nr. 79000, titularului Intreprinderea de aluminiu - Slatina

certificat (e) de inventator, nr. 79000, autorului (lor) ing. Valeriu Antilă, ing.

Vladimir Economu, ing. Stelian Negoițescu, ing. Dietrich Mihail, sing. Gheorghe

învenția cu titlu menționat/reformulat.

b. — Invenția este principală/complementară la invenția brevet nr.

cu data de înregistrare

Termenul de valabilitate al brevetului de inventie este: 22.01.1980-22.01.1995 cu condiția titularul să achite taxele de nouătate în vigoare conform Decretului

— Motivarea acestei hotăriri este arătată pe verso. nr. 363/1976

c. Publicarea rezumatului invenției în Buletinul pentru inventii și Mărci;

d. trimiterea spre publicare a descrierii invenției, în vederea eliberării actului de protecție solicitat;

e. ~~În vederea eliberării actului de protecție se va publica descrierea invenției, în vederea brevetării, în vederea eliberării actului de protecție~~

Față de cele de mai sus, constatăndu-se că sunt îndeplinite condițiile prevăzute de art. 61, al 1<sup>o</sup> din Legea 62/1974, se scoate de sub regimul „strict secret” invenția cu titlu de mai sus.

Publicarea datelor din descrierea invenției poate face numai după îndeplinirea condițiilor de la litere „b”, sau după caz, litera „d”.

Titularul are obligația legală să achite taxele de tipărire, publicare și eliberare.

Hotărîrea poate fi contestată la Comisia pentru soluționarea contestațiilor, privind inventiile din cadrul Oficiului de Stat pentru Inventii și Mărci, în termenul de trei luni de la comunicarea preștelui hotărîrii.

### PREȘEDINTE,

Numele și prenumele

ing. Dojna Manioalica

semnată

### MEMBRI:

Numele și prenumele

ing. Livia Rădulescu

semnată

Decă nu este cazul, punctul „d” se va anula.

ing. Livia Popescu

J.P.

Expunere de motive:

... Studiu/tehnic de examinare s-a bazat pe brevetul francez nr.2411062 publicat la data de 06.07.1979, intitulat "Procedeu de asamblare a pieselor dintr-un aliaj de aluminiu și a pieselor din oțel", cl.int. B 23 K 19/00.

Comparind soluția conform inventiei cu cea prezentată în materialul documentar se constată că prima prezintă elemente de nouitate și progres tehnic.

Revendicările 1 la 3 ale inventiei conțin elemente de nouitate și progres tehnic și ca atare se admit.

x

x x

Față de cele de mai sus se constată că inventia îndeplinește prevederile legale de acordare a brevetului de inventie.